



Транзистор тестер  
с микроконтроллером АВР.  
Прибор для определения и измерения

электронные компоненты,

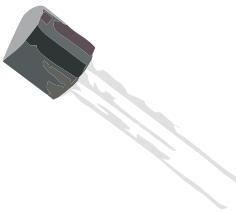
Советы по сборке оборудования.

Инструкция по модификации  
программное обеспечение Тестер ЭРЭ



1 — || — 3  
329pF

с АВР



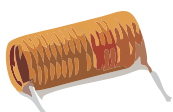
микроконтроллером

BJT-PNP  
hFE=226  
Ie=1.6mA  
Ube=673mV+

PIN 1=C 2=B 3=E  
BJT-PNP  
hFE=226  
Ie=1.6mA

и минимумом дополнительных элементов

Версия 1.13к



Карл-Хайнц Кёббелер  
х\_куеббелер\_щеб.де

русский перевод Сергей Базыкин

Модифицированное издание

от бм-магиц

(C)

1 — □ — 3  
0.1Ω L=.05mH

1 — ▲ — 3  
Uf=670mV  
25pF-17pF @0-5V  
Ir=.80μA

18 февраля 2020 г.



1 — □ — 2  
2205 Ω

1 — □ — 3  
10.08 kΩ



13.05.2019/MOR

N-E-MOS  
Vt=3.1V  
Cg=2.86nF  
RDS=.2Ω +

N-E-MOS  
Vt=3.1V  
Cg=2.86nF  
3 — ▶ — 2 Uf=598mV+

N-E-MOS  
Vt=3.1V  
Cg=2.86nF  
PIN 1=G 2=D 3=S

# Оглавление

<b>1 Характеристики</b>	<b>6</b>
<b>2 Аппаратные средства</b>	<b>10</b>
2.1 Шема Тестера . . . . .	10
2.2 Улучшения и расширения к прибору . . . . .	12
2.2.1 Защита портов ATmega . . . . .	12
2.2.2 Измерение стабилитронов с напряжением более 4 В . . . . .	13
2.2.3 Генератор частоты . . . . .	13
2.2.4 Измерение частоты . . . . .	14
2.2.5 Использование поворотного энкодера . . . . .	14
2.2.6 Подключение графического дисплея . . . . .	16
2.2.7 Подключение графического цветного дисплея . . . . .	21
2.3 Указания по сборке Тестера . . . . .	23
2.4 Доработки для версий Тестера Маркус Ф. . . . .	23
2.5 Расширенная шема с ATmega644 или ATmega1284 . . . . .	25
2.6 Шема с использованием ATmega1280 или Arduino MEGA . . . . .	27
2.7 Китайские клоны с символьным дисплеем . . . . .	29
2.8 Китайские клоны с графическим дисплеем . . . . .	30
2.9 Китайские наборы с графическими дисплеями . . . . .	34
2.10 И еще один клон из Хиланд M644 . . . . .	35
<b>3 Инструкция пользователя</b>	<b>38</b>
3.1 Проведение измерений . . . . .	38
3.2 Меню дополнительных функций для ATmega328 . . . . .	39
3.3 Самопроверка и калибровка . . . . .	43
3.4 Специальные возможности использования . . . . .	44
3.5 Проблемы при определении элементов . . . . .	44
3.6 Измерение транзисторов Н-П-Н и П-Н-П . . . . .	45
3.7 Измерение JFET и транзисторов Д-MOS . . . . .	46
3.8 Измерение E-MOS транзисторов и IGBT . . . . .	46
3.9 Измерение ёмкости конденсаторов . . . . .	46
3.10 Измерение индуктивности . . . . .	47
<b>4 Программирование Тестера</b>	<b>48</b>
4.1 Конфигурирование Тестера . . . . .	48
4.2 Программирование микроконтроллера . . . . .	61
4.2.1 использовать под Линуш . . . . .	61
4.2.2 операционная система Линуш . . . . .	61
4.2.3 использовать под Линуш . . . . .	62
4.2.4 установить программные пакеты . . . . .	62

4.2.5	загрузка источников . . . . .	62
4.2.6	использование интерфейсов . . . . .	62
4.2.7	членство в группе . . . . .	63
4.2.8	рабочее пространство . . . . .	63
4.2.9	Использование программы ЩинАВР в ОС Щиндоцс . . . . .	64
4.3	Поиск неисправностей . . . . .	66
<b>5</b>	<b>Описание процедур измерения</b>	<b>68</b>
5.1	Измерение полупроводниковых элементов . . . . .	70
5.1.1	Измерение П-Н-П транзистора или П-Чаннел-МОСФЕТ . . . . .	71
5.1.2	Измерение Н-П-Н транзистора или Н-Чаннел-МОСФЕТ . . . . .	73
5.1.3	Упрощенная блок-схема тестирования транзисторов . . . . .	76
5.1.4	Измерение диодов . . . . .	78
5.1.5	Результаты различных измерений . . . . .	79
5.2	Измерение резисторов . . . . .	83
5.2.1	Измерение резистора с резисторами 680 Ом . . . . .	83
5.2.2	Измерение резистора с резисторами 470 кОм . . . . .	85
5.2.3	Результаты измерений резистора . . . . .	86
5.3	Измерение конденсаторов . . . . .	91
5.3.1	Разрядка конденсатора . . . . .	91
5.3.2	Измерение конденсаторов большой ёмкости . . . . .	91
5.3.3	Измерение конденсаторов малой ёмкости . . . . .	94
5.3.4	Измерение очень малых значений ёмкости методом выборки . . . . .	96
5.3.5	Измерение эквивалентного сопротивления ЕСР . . . . .	97
5.3.6	Измерение ЕСР, первый метод . . . . .	100
5.3.7	Измерение ЕСР, второй метод . . . . .	103
5.3.8	Потеря напряжения после импульса зарядки, Влосс . . . . .	109
5.3.9	Отдельное измерение ёмкости и ЕСР . . . . .	110
5.3.10	Результаты измерения ёмкости конденсаторов . . . . .	111
5.3.11	Автоматическая калибровка при измерении конденсаторов . . . . .	115
5.4	Измерение индуктивностей . . . . .	119
5.4.1	Результаты измерений индуктивности . . . . .	120
5.4.2	Измерение малых индуктивностей методом отбора проб . . . . .	120
5.5	Функция самопроверки . . . . .	124
5.5.1	Некоторые результаты функции самопроверки . . . . .	128
5.6	Измерение частоты . . . . .	132
5.6.1	Калибровка частоты по ГПС- или ГЛОНАСС-приёмникам . . . . .	133
5.6.2	Калибровка частоты с помощью тактового модуля . . . . .	134
<b>6</b>	<b>Генератор сигналов</b>	<b>136</b>
6.1	Генератор частоты . . . . .	136
6.2	Широтно-импульсный генератор . . . . .	136
<b>7</b>	<b>Известные ошибки и проблемы</b>	<b>138</b>
<b>8</b>	<b>Специальные модули программного обеспечения</b>	<b>140</b>
<b>9</b>	<b>Список текущих дел и новые идеи</b>	<b>141</b>

Комментарий по этому вопросу:

При переводе на другой язык тексты на рисунках и диаграммах, которые на оригинальном английском, тоже переведены.

- Добавлен подраздел 2.10 (клон из Хиланд М644).
- В раздел 4.1 был добавлен предметный программист.
- И наконец, подраздел 4.2.1 (программирование под Линуш) был добавлен, 'Линуш' новички также имеют успех.

Автор был проинформирован об этих мерах.

К сожалению, насколько мне известно, документ еще не обновлялся.

- Я не получил положительный ответ сам.
- Поскольку я считаю, что дополнения важны для "новичков в Линуш это издание оправдано.

Оригинал, конечно, может быть достигнут ниже [1].

02/20/20

бм-магиц

# Вступление

## Основные мотивы

Каждый радиолюбитель знает следующую задачу: Вы выпаяли транзистор из печатной платы или достали один из коробки. Если на нем есть маркировка, и у Вас уже есть паспорт или Вы можете получить документацию об этом элементе, то все в порядке. Но если документация отсутствует, то Вы понятия не имеете, что это за элемент. Традиционный подход измерения всех параметров сложный и трудоемкий. Элемент может быть Н-П-Н, П-Н-П, Н или П-канальным МОСФЕТ транзистором и т.д. Идея Маркус Ф. заключалась в том, чтобы переложить ручную работу на АВР микроконтроллер.

## Начало моей работы над проектом

Моя работа с программным обеспечением Тестера от Маркус Ф.[2] началась, потому что у меня были проблемы с моим программатором. Я купил печатную плату и элементы, но не смог запрограммировать ЕЕпром АТмега8 с драйвером Щиндоцс без сообщения об ошибке. Поэтому я взял программное обеспечение от Маркус Ф. и изменил все обращения из памяти ЕЕпром к Флаш памяти. Анализируя программное обеспечение для того, чтобы сохранить память в других местах программы, у меня появилась идея изменить результат функции РеадАДЦ из единиц АЦП на милливольты ( $mV$ ). Размерность в  $mV$  необходима для любого вывода значения напряжения. Если функция РеадАДЦ возвращает значения непосредственно в  $mV$ , я могу сохранять преобразования для каждого выходного значения. Размерность в  $mV$  можно получить, если суммировать результаты 22 показаний АЦП, сумму умножить на 2 и разделить на 9. Таким методом максимальное значение получится  $\frac{1023 \cdot 22 \cdot 2}{9} = 5001$ , что идеально соответствует нужной размерности измеренных значений напряжения в  $mV$ . Кроме того дополнительно была надежда, что увеличение, от передискретизации, разрешения АЦП может способствовать улучшению считанного с АЦП напряжения, как описано в АВР121 [6]. В оригинальной версии функция РеадАДЦ накапливающая результат 20 измерений АЦП и делица потом на 20, так что результат равен оригинальному разрешению АЦП. Т.е., по этому пути повышение разрешения АЦП невозможно. Так что я должен был сделать небольшую работу, чтобы изменить функцию РеадАДЦ, а это заставило проанализировать всю программу и изменить все «иф статеменц» в программе, где запрашиваются значения напряжения. Но это было только началом моей работы!

Появлялось все больше и больше идей, чтобы сделать измерения более быстрыми и точными. Кроме того хотелось расширить диапазон измерений сопротивлений и ёмкостей. Формат вывода информации на ЛЦД-дисплей был изменен, теперь для диодов, резисторов и конденсаторов использующиеся символы, а не текст. Для получения дополнительной информации необходимо ознакомиться со списком доступных функций в главе 1. Планируемые работы и новые идеи представлены в главе 9. Кстати, теперь я могу программировать ЕЕпром АТмега в операционной системе Линуш без ошибок.

Здесь я хотел бы поблагодарить разработчика и автора программного обеспечения Маркус Фрејек, который предоставил возможность продолжить начатую им работу. Кроме того, я хотел бы сказать спасибо авторам многочисленных обсуждений на форуме, которые помогли мне найти новые задачи, слабые места и ошибки. Далее я хотел бы поблагодарить Маркус Ресчке, который разрешил мне публиковать его яркие версии программного обеспечения на сервере СВН. Кроме того, некоторые идеи и программные модули Маркус Р. были интегрированы в мою собственную версию программного обеспечения.

Также Щолфганг СЧ. проделана большая работа по адаптации проекта под дисплей с контроллером ST7565. Большое спасибо ему за адаптацию микропрограммы 1.10к к текущей версии.

Я должен поблагодарить также Асцо Б., который разработал новую печатную плату для повторения другими радиолюбителями. Следующую благодарность я хотел бы отправить Дирк Ш., который разработал порядок сборки этой печатной платы. У меня никогда не хватило бы времени заниматься всеми этими вещами одновременно с моими разработками программного обеспечения. Ощущение времени не позволяет и в дальнейшем развивать программное обеспечение на том же уровне. Спасибо за многочисленные предложения по улучшению Тестера членам местного отделения «Деуцчер Аматеур Радио Цлуб (ДАРЦ)» из Леннеstadt. Кроме того, я хотел бы сказать спасибо за интеграцию метода дискретизации радиолюбителя Пиетер-Тјерк (ПАЗФШМ). С помощью этого метода измерения маленьких значений емкости и индуктивности заметно улучшено. На завершение, спасибо Ницк Л из Украины, за поддержку идей своими прототипами плат, предложение некоторых дополнений и поддержку изменений в русской документации.

# Глава 1

## Характеристики

1. Работает с микроконтроллерами ATmega8, ATmega168 или ATmega328. Также возможно использовать ATmega644, ATmega1284, ATmega1280 или ATmega2560.
2. Отображение результатов на символьном LCD-дисплее 2ш16 или 4ш20. Если используетеся микроконтроллер с объемом флэш-памяти, минимум 32к, то также можно применить графический дисплей 128ш64 пикселя с контроллером ST7565 или SST306. При этом 4-проводной интерфейс SPI или I<sup>2</sup>C шина должны быть подключены вместо 4-битного параллельного интерфейса для SST306 контроллера. Для контроллеров HT7108 или KC0108 Вы должны использовать преобразователь последовательно-параллельного интерфейса 74ХЦ(T)164 или 74ХЦ(T)595. Дисплей с контроллером ПЦФ8812 или ПЦФ8814 может быть использован только без больших иконок для транзисторов, так как размер дисплея 102ш65 или 96ш65 пикселей недостаточен.
3. Запуск - однократное нажатие кнопки ТЕСТ с автоотключением.
4. Возможна работа от автономного источника, т.к. ток потребления в выключенном состоянии не превышает 20 nA.
5. Чтобы уменьшить ток потребления в режиме ожидания измерения, программное обеспечение, начиная с версии 1.05к, использует режим сна (Сleep Mode) для микроконтроллеров ATmega168 или ATmega328.
6. Автоматическое определение Н-П-Н и П-Н-П биполярных транзисторов, Н- и П-канальных МОСFET транзисторов, JFET транзисторов, диодов, двойных диодов, тиристоров и симисторов. Для тиристоров и симисторов уровень открытия должен быть досягаем для тестера. Для ИГБТ транзисторов сигнал 5 V должен быть достаточным для открытия транзистора.
7. Автоматическое определение расположения выводов элемента.
8. Измерение коэффициента усиления и порогового напряжения база эмиттер биполярного транзистора.
9. Транзисторы Дарлингтона идентифицируются по пороговому напряжению и коэффициенту усиления.
10. Обнаружение защитного диода в биполярных и МОСFET транзисторах.
11. Измерение порогового напряжения затвора, значение емкости затвора и  $R_{DSon}$  до напряжение затвора около 5 V в транзисторах МОСFET.
12. Измерение порогового напряжения затвора и величины ёмкости затвора МОСFET.

13. Измерение одного или двух резисторов с изображением  символа резистора и точностью до 4 десятичных цифр. Все символы пронумерованы соответственно номерам щупов Тестера (1-2-3). Таким образом, потенциометр также может быть измерен.
14. Разрешение измерения сопротивления до  $0,01 \Omega$ , а величина измерения - до  $50 M\Omega$ .
15. Определение и измерение одного конденсатора с изображением символа конденсатора  Определение и измерение одного конденсатора с изображением символа конденсатора и точностью до четырех десятичных цифр. Ёмкость конденсатора может быть замерена от  $25 pF$  ( $8 MHz$ ,  $50 pF - 1 MHz$ ) до  $100 mF$ . Разрешение измерения составляет  $1 pF$  ( $8 MHz$ ).
16. ЕСР конденсатора измеряется с разрешением  $0,01 \Omega$  для конденсаторов ёмкостью более  $20 nF$  и отображается числом с двумя значащими десятичными цифрами. Это возможно только для ATmega168 или ATmega328.
17. Для конденсаторов ёмкостью выше  $5000 pF$  может быть определена потеря напряжения после воздействия импульса зарядки. Потеря напряжения дает оценку добротности (качества) конденсатора.
18. Определение до двух диодов с изображением их символов  или  в правильном порядке. Дополнительно отображается прямое падение напряжения на диоде.
19. Светодиод (ЛЕД) определяется как диод с прямым напряжением выше, чем у обычного диода. Два светодиода в одном 3-х выводном корпусе также определяются, как два диода.
20. Стабилитроны могут быть определены, если их обратное напряжение пробоя ниже  $4,5 V$ . Они отображаются, как два диода, и могут быть идентифицированы, как стабилитроны, только по напряжению. Номера выводов, соответствующие символу диода, в этом случае, идентичны. Реальный вывод анода диода можно идентифицировать только по падению напряжения (около  $700 mV$ )!
21. Если определяется более чем 3 диода, число диодов отображается дополнительно с сообщением о том, что элемент поврежден. Это может произойти, только если диоды присоединены ко всем трем выводам, и, по крайней мере, один из диодов - стабилитрон. В этом случае необходимо произвести измерения, подсоединив к двум щупам Тестера сначала одну пару из трех выводов элемента, затем - любую другую пару выводов элемента.
22. Измерение величины ёмкости одиночного диода в обратном направлении. Биполярный транзистор может также быть проанализирован, если подключить базу и коллектор или базу и эмиттер. Если используется ATmega с объемом флэш-памяти более 8K, то измеряется обратный ток диода с разрешением  $2 nA$ . Значение выводится на дисплей, если оно больше нуля.
23. Одним измерением можно определить назначение выводов выпрямительного моста.
24. Конденсаторы ёмкостью ниже  $25 pF$  обычно не определяются, но могут быть измерены вместе с параллельным диодом или параллельным конденсатором, ёмкостью более  $25 pF$ . В этом случае из результата измерения необходимо вычесть ёмкость подключенного параллельно элемента. Для контроллеров, имеющих по крайней мере 32K флэш-памяти осуществляется автоматический переход на циклический режим измерения, если конденсатор с более чем  $25 pF$  подключен к TP1 и TP3. В этом режиме измерения конденсаторов Вы можете измерить ёмкость конденсаторов ниже  $25 pF$  в TP1 и TP3 напрямую.

25. Для резисторов сопротивлением ниже  $2100 \Omega$ , если АТмега с объемом более чем 16К флэш-памяти, измеряеца индуктивность. Иконка индуктивности  будет показана за иконкой . Диапазон измерений от  $0,01 mH$  до  $20 H$ , но точность не высока. Получить результат измерения можно только с единственным подключенным элементом.
26. Время тестирования большинства элементов составляет приблизительно 2 секунды. Измерение ёмкости или индуктивности могут увеличить время тестирования.
27. Программное обеспечение может конфигурироваться, чтобы произвести ряд измерений прежде, чем питание будет отключено.
28. В функции самопроверки встроен дополнительный генератор частоты на  $50 Hz$ , чтобы проверить точность тактовой частоты (только для контроллеров с объемом более чем 32К флэш-памяти).
29. Подключаемое, в режиме самопроверки, оборудование для тарировки внутреннего выходного сопротивления порта и смещения нуля при измерении ёмкости (только для контроллеров с объемом более чем 16К флэш-памяти). Для тарировки необходимо подключить к щупам 1 и 3 внешний высококачественный конденсатор ёмкостью между  $100 nF$  и  $20 \mu F$  чтобы измерить величину компенсации напряжения смещения аналогового компаратора. Это уменьшит ошибки измерения ёмкости конденсаторов до  $40 \mu F$ . Этот же конденсатор применяеца при коррекции напряжения внутреннего ИОН, замеренного для подстройки масштаба АЦП при измерении с внутренним ИОН.
30. Отображение обратного тока коллектора  $I_{CE0}$  при отключеной базе (с разрешением  $1 \mu A$ ) и обратного тока коллектора при короткозамкнутых выводах базы и эмиттера  $I_{CES}$  (только для АТмега с объемом флэш-памяти больше 16К). Эти значения отображаюся если они не равны нулю (главным образом, для германиевых транзисторов).
31. Для АТмега с объемом флэш-памяти не менее 32К тестер запускает циклический тест сопротивления резисторов, как только резистор будет обнаружен в тестовых контактах 1 (ТЬ) и 3 (ТПЗ). Если вы выбрали дополнительное измерение индуктивности для функции циклического теста резисторов в Макефиле, задав параметр РМЕТЕР\_ЩИТХ\_Л, то индуктивность также может быть определена и измерена в этом режиме. Этот циклический режим работы обозначаеця [Р] или [РЛ] справа в первой строке экрана дисплея. Таким же образом запускаеця циклическое измерение ёмкости, если конденсатор, обнаружен в ТЬ и ТПЗ. Этот режим работы отображаеця символом [Ц] справа в первой строке. В циклическом teste конденсаторов, возможно определение ёмкостей от  $1 pF$ . Но для автоматического запуска циклического теста ёмкость конденсатора должна быть больше  $25 pF$ . Цпециальные режимы могут быть завершены нажатием клавиши **ТЕСТ**. Тестер вернеца к обычному режиму работы.
32. Из диалогового меню можно выбрать измерение частоты на порту ПД4 для АТмега. Разрешение составляет  $1 Hz$  для измеряемых частот выше  $33 kHz$ . Для более низких частот разрешение может быть до  $0,001 mHz$  с измерением среднего периода. Вы должны ознакомиться с подразделом измерения частоты 2.2.4 на странице 14 для уточнения деталей подключения сигнала частоты.
33. Из меню, при отключенной функции последовательного порта, можно вызвать функцию измерения напряжения до  $50 V$  при использовании делителя 10:1 на порту ПЦ3. Если используеца АТмега328 в корпусе ПЛЦЦ, то для измерения можно использовать один из дополнительных портов вместе с УАРТ. Если присуцтвует шема измерения стабилитронов

(ДЦ-ДЦ преобразователь), измерение стабилитронов также возможно с помощью этой функции, нажав кнопку **ТЕСТ**.

34. Из меню можно выбрать функцию генератора частоты на тестовом контакте ТЪ (ПБ2 порт ATmega). В настоящее время можно предварительно выбрать частоты от 10 Hz до 2 MHz.
35. Из диалогового меню функций можно выбрать вывод фиксированной частоты с возможностью выбора ширины импульса на тестовом контакте ТЪ (ПБ2 порт ATmega). Ширина может быть увеличена на 1% при кратковременном нажатии или на 10% при более длительном нажатии кнопки **ТЕСТ**.
36. Из диалогового меню функций можно запустить отдельное измерение ёмкости с измерением ЕСР. Только конденсаторы от 2  $\mu F$  до 50 mF могут быть измерены в шеме, так как используя низкое, около 300 mV напряжение.
37. Если Ваш контроллер ATmega имеет по крайней мере 32К флэш-памяти (Mega328), у Вас есть возможность использовать метод дискретизации АЦП, который позволяет испытывать конденсаторы с ёмкостью меньше 100 pF с разрешением 0,01 pF. С применением этого же метода, можно также измерять индуктивность катушки меньше 2 mH со значительно большей точностью путем создания резонансного контура с параллельно включённым конденсатором известной ёмкости.

Вы должны убедиться, что все конденсаторы разряжены перед началом любых измерений.

Тиристоры и симисторы могут быть обнаружены, если испытательный ток выше тока удержания. Некоторые тиристоры и симисторы нуждаются в более высоких токах, чем этот Тестер может обеспечить. Доступный ток тестирования только 6 mA! Также ИГБТ могут быть обнаружены, если 5 V достаточно для их открытия. Заметьте, что многие дополнительные функции могут быть доступны при использовании контроллеров с достаточным объемом памяти, таких как ATmega168. Однако только при использовании контроллеров, в которых, по крайней мере 32 kB флэш-памяти, таких как ATmega328 или ATmega1284 доступны все функции.

**Внимание:** Перед подключением убедитесь, что **конденсаторы разряжены!** Тестер может быть повреждён и в выключенном состоянии. Есть только небольшая защита в портах ATmega.

Если требуется проверить элементы, установленные в шеме, то оборудование должно быть озодединено от источника питания, и должна быть полная уверенность, что **остаточное напряжение** ощущается в оборудовании.

# Глава 2

## Аппаратные средства

### 2.1 Шема Тестера

Шема на рисунке 2.1 основана на шеме Маркус Ф., из проекта АВР Трансистортестер [2]. Измененные или перемещенные элементы отмечены зеленым цветом, дополнительные элементы отмечены красным цветом.

Небольшие изменения внесены в электронный выключатель питания, который создавал проблемы в некоторых реализациях. Резистор Р7 уменьшен до  $3,3\text{ k}\Omega$ . Конденсатор Ц2 уменьшен до  $10\text{ nF}$ . Р8 перенесен так, чтобы вывод порта ПД6 был подключен к конденсатору Ц2 через него, а не непосредственно.

Дополнительные блокировочные конденсаторы должны быть установлены у выводов питания АТмега и у выводов стабилизатора напряжения. Добавлен один дополнительный подтягивающий резистор на  $27\text{ k}\Omega$  к выводу порта ПД7 (вывод 13 АТмега). В этой модификации программное обеспечение отключает ВСЕ внутренние подтягивающие резисторы АТмега.

Добавлен дополнительный кварц на  $8\text{ MHz}$  с конденсаторами Т1, Т2 на  $22\text{ pF}$ . Точность кварца дает возможность более точного измерения времени для того, чтобы измерить ёмкость конденсатора.

Новая версия программного обеспечения может использовать переключение масштаба напряжения АЦП. Скорость переключения зависит от внешнего конденсатора Т на АРЕФ (вывод 21 АТмега). Чтобы избежать замедления на величину большую, чем необходимо, ёмкость этого конденсатора должна быть уменьшена до  $1\text{ nF}$ . Можно вообще удалить конденсатор Т. Для адаптации программного обеспечения к конкретной шеме необходимо посмотреть опции в макефиле в разделе конфигурации 4 на странице 48.

Соотношение резисторов Р11/Р12 определяет величину напряжения для контроля разряда батареи питания. Я приспособил свое программное обеспечение к оригиналу от Маркус Ф. [2] с величинами резисторов  $10\text{ k}\Omega$  и  $3,3\text{ k}\Omega$ . Сопротивление резисторов в делителе напряжения можно установить в макефиле.

Дополнительное опорное напряжение  $2,5\text{ V}$ , поданное напорт ПЦ4 (АДЦ4), может использоваться, чтобы проверить и откалибровать Тестер на имеющееся напряжение ВЦЦ (не обязательно). В качестве ИОН можно использовать ЛМ4040-АИЗ2.5 (0,1%), ЛТ1004ЦЗ 2.5 (0,8%) или ЛМ336-32.5 (0,8%).

Если не установлен ИОН и не предусмотрена защита с использованием реле, Вы должны установить подтягивающий резистор Р16 к ПЦ4 с высоким номиналом ( $47\ k\Omega$ ). Это поможет программному обеспечению обнаружить ощущающий ИОН. Дополнительный интерфейс ИСП был добавлен для упрощения загрузки новых версий программного обеспечения.

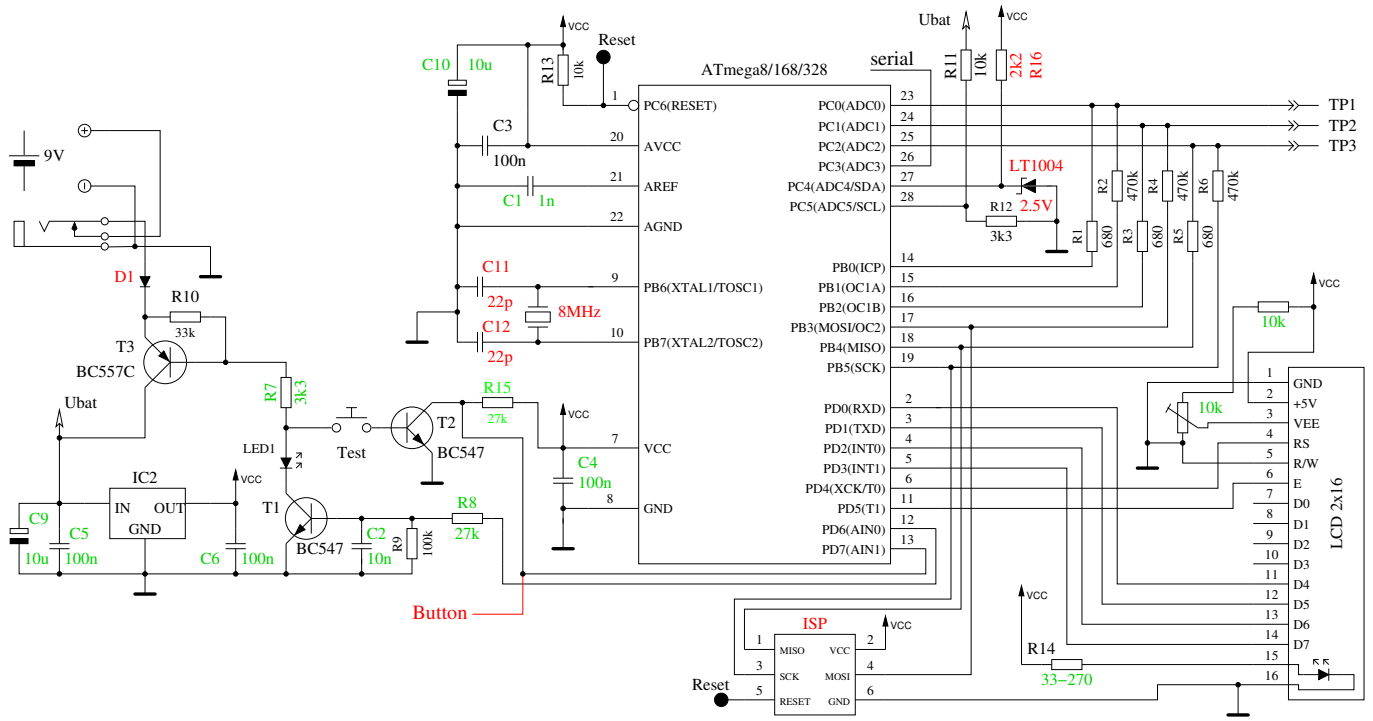


Рис. 2.1. Новая шема Тестера

Таблица 2.1 показывает назначение портов Д для различных дисплеев и дополнительных подключений. Для интерфейса SPI сигнал ЛЦД-ЦЕ присутствует на порту ATmega. Вход сигнала ЦЕ (Chip Enable) дисплея также может быть подключен к ГНД вместо подключения его к выходу сигнала ЛЦД-ЦЕ ATmega.

Порт	Символьный ЛЦД	СТ7565 ЛЦД	СТ7920 ЛЦД сериал	НТ7108 ЛЦД сериал	СС7306 И <sup>2</sup> Ц	Дополнительная функция
ПД0	ЛЦД-Д4	ЛЦД-РЕСТ	ЛЦД-РЕСТ	595-ПЦЛК		
ПБ	ЛЦД-Д5	ЛЦД-РС		ЛЦД-ЦС2		Энкодер 2
ПЦ	ЛЦД-Д6	ЛЦД-СЦЛК	ЛЦД-Б0	164-595-ЦЛК	ЛЦД-СДА	
ПS	ЛЦД-Д7	ЛЦД-СИ		ЛЦД-ЦС1		Энкодер 1
ПД4	ЛЦД-РС			ЛЦД-РС 164-595-СЕР		Внешняя частота
ПД5	ЛЦД-Е	(ЛЦД-ЦЕ)	ЛЦД-ЕН	ЛЦД-ЕН	ЛЦД-СЦЛ	
ПД7	кнопка	кнопка	кнопка	кнопка	кнопка	

Таблица 2.1. Назначение контактов порта Д для подключения различных дисплеев

Программное обеспечение может изменять назначение выводов порта Д для удобства разводки ЛЦД-дисплея. В таблице 2.2 показаны варианты подключения для версии Стрип Грид и подключения графического индикатора к микроконтроллеру ATmega328. Также указано использование входов портов для дополнительных функций. При подсоединении графического адаптера к плате версии Стрип Грид (опция СТРИП\_ГРИД\_БОАРД1) функция измерения частоты не может

быть использована, потому что порт ПД4 (T0) используется. Но это соединение используется в китайской версии с графическим дисплеем. В большинстве случаев дополнительные функции, такие как использование энкодера или частотометра проще реализовать в версии тестера с символьным дисплеем, потому что все сигналы данных присутствуют в разъеме подключения дисплея.

Порт	Симв. LCD 11	С7565 LCD 11	С7565 LCD СТРИП_ГРИД	Дополнительная функция
ПД0	кнопка			
ПЭ	ЛЦД-Д7	ЛЦД-СИ	ЛЦД-А0 (PC)	Энкодер 2
ПЦ	ЛЦД-Д6	ЛЦД-СЦЛК	ЛЦД-РЕСТ	
ПS	ЛЦД-Д5	ЛЦД-А0 (PC)	ЛЦД-СЦЛК	Энкодер 1
ПД4	ЛЦД-Д4	ЛЦД-РЕСТ	ЛЦД-СИ	Внешняя частота
ПД5	ЛЦД-Е	(ЛЦД-ЦЕ)		
ПД7	ЛЦД-РС	кнопка		

Таблица 2.2. Назначения портов с опцией СТРИП\_ГРИД\_БОАРД

## 2.2 Улучшения и расширения к прибору

### 2.2.1 Защита портов ATmega

Для защиты ATmega вводится один из двух вариантов схемы защиты из представленных на рисунке 2.2. В первом варианте контакты обесточенного реле защищают ATmega при ощущении напряжения питания. Контакты будут разомкнуты программно, как только начнется измерение.

Во втором варианте защита при помощи диодов уменьшает вероятность повреждения портов ATmega при подключении конденсатора с остаточным напряжением.

Следует заметить, что ни одна схема не дает полной гарантии защиты ATmega от остаточного заряда конденсатора. Поэтому, перед тестированием, конденсатор обязательно разрядить!

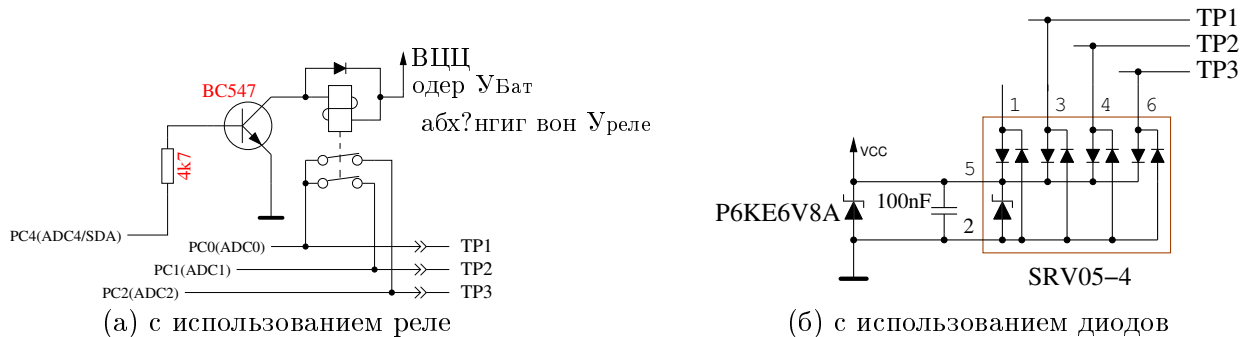


Рис. 2.2. Защита входов ATmega

Вы можете улучшить защиту, установив реле с тремя группами контактов, как показано на рисунке 2.3. Разрядный ток ограничен резисторами, входы ATmega отключены в защищенном режиме. Следует помнить, что тестер не защищен в режиме последовательных (циклических) измерений.

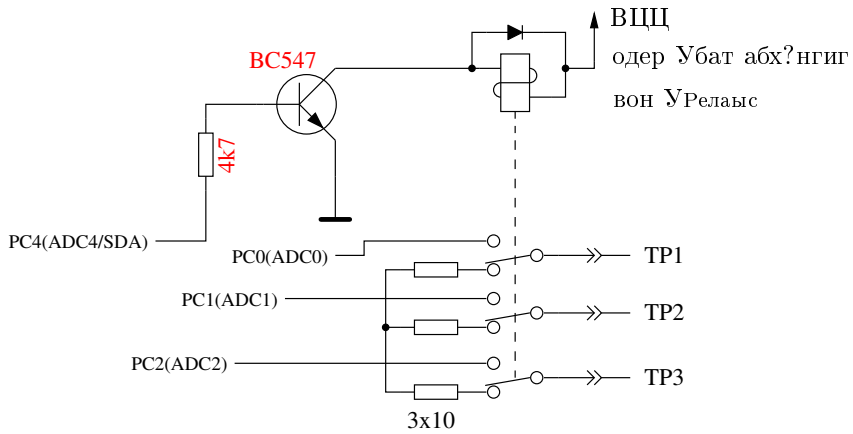


Рис. 2.3. Улучшенная защита с реле

## 2.2.2 Измерение стабилитронов с напряжением более 4 В

Если UART не требуется, порт ПЦЗ может использоваться в качестве аналогового входа для измерения внешнего напряжения. Напряжение может составить до 50 V с дополнительным резистивным делителем 10:1. На рисунке 2.4 представлена шема для измерения напряжение пробоя стабилитрона при низком уровне на порте ПД7 АТмега. Тестер показывает внешнее напряжение, пока Вы держите кнопку **ТЕСТ** нажатой. Ток, потребляемый от батареи питания, при этом возрастает, примерно, на 40 mA.



Рис. 2.4. Шема для измерения параметров стабилитронов

Резистивный делитель 10:1 может быть использован для измерения внешних напряжений при выборе из меню дополнительных функций в АТмега328. Присутствие ДЦ-ДЦ преобразователя для измерения стабилитронов не мешает, так как кнопка не удерживается в нажатом состоянии и, соответственно, ДЦ-ДЦ преобразователь обесточен. Таким образом, можно измерять напряжение постоянного тока до 50 V только положительной полярности, обязательно соблюдая полярность.

## 2.2.3 Генератор частоты

Из меню дополнительных функций, при использовании АТмега, можно выбрать генератор частоты. В настоящее время поддерживаются выбор частот в диапазоне от 1 Hz до 2 MHz. Выходной сигнал 5 V через резистор 680 Ω выводится на тестовый контакт Тъ. В качестве сигнала ГНД, при этом, можно использовать ГНД ДЦ-ДЦ преобразователя или тестовый контакт Тъ. Тестовый контакт ТП3 подсоединен к ГНД через резистор 680 Ω. Конечно, Вы также можете использовать порт ПБ2 для подключения отдельной шемы усилителя-формирователя. Но вход этой шемы не должен создавать большую нагрузку для порта АТмега.

## 2.2.4 Измерение частоты

Для использования дополнительной функции измерения частоты, потребуема незначительная доработка Тестера. Для измерения частоты используем порт ПД4 (T0/ПШИНТ20) АТмега. Этот же порт используется для подключения ЛЦД-дисплея. В стандартном варианте к порту ПД4 подключен сигнал ЛЦД-РС, в варианте стрип грид - сигнал ЛЦД-Д4. Для обоих сигналов порт ПД4 может быть переключен на ввод, если в данный момент не требуется выводить информацию на ЛЦД-дисплей.

Однако, лучше использовать дополнительную шему подключения, изображенную на рисунке 2.5. Напряжение на выводе порта ПД4 (ЛЦД-РС или ЛЦД-Д4) должно быть установлено около 2,4 V при отключенной АТмеге или подстроено во время измерения частоты АТмега, чтобы получить лучшую чувствительность к входному сигналу. Во время регулировки ЛЦД-дисплей должен быть установлен, потому что подтягивающие резисторы индикатора могут изменить установленное напряжение.

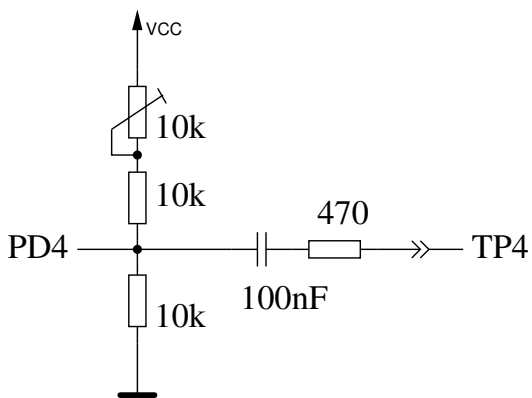


Рис. 2.5. Дополнительная шема для измерения частоты

## 2.2.5 Использование поворотного энкодера

Для более удобного доступа к Меню дополнительных функций для АТмега328, Вы можете дополнить шему, установив инкрементальный энкодер с кнопкой. Рисунок 2.6 показывает шему подключения к тестеру с символьным ЛЦД. Все сигналы для подключения поворотного инкрементального энкодера доступны в разъеме подключения ЛЦД. По этому, модернизация возможна для большинства существующих тестеров. Во многих случаях графический ЛЦД собран на переходной плате и подключен к контактам, предназначенным для подключения символьного ЛЦД. Таким образом, модернизация в этих случаях также возможна.

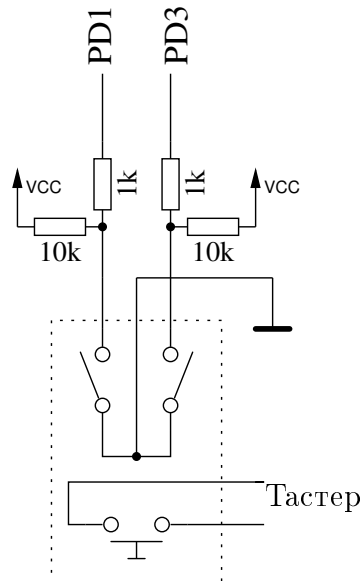


Рис. 2.6. Шема подключения поворотного энкодера

На рисунке 2.7 показана особенность работы двух типов поворотных инкрементальных энкодеров. В версии 1 полная последовательность состояния переключателей проходит при повороте на два фиксированные положения. Количество полных циклов в два раза меньше чем количество фиксированных положений за оборот энкодера. В версии 2 при повороте на одно фиксированное положение генерируется полный цикл состояния контактов. В этом случае количество фиксированных положений соответствует количеству циклов за оборот энкодера. Иногда, в таких энкодерах, в каждом фиксированном положении состояния переключателей всегда одинаково.

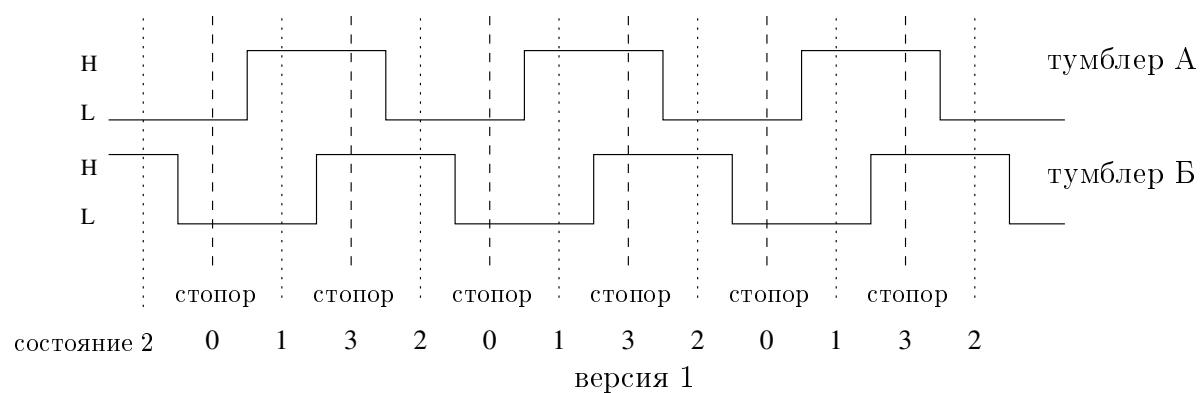
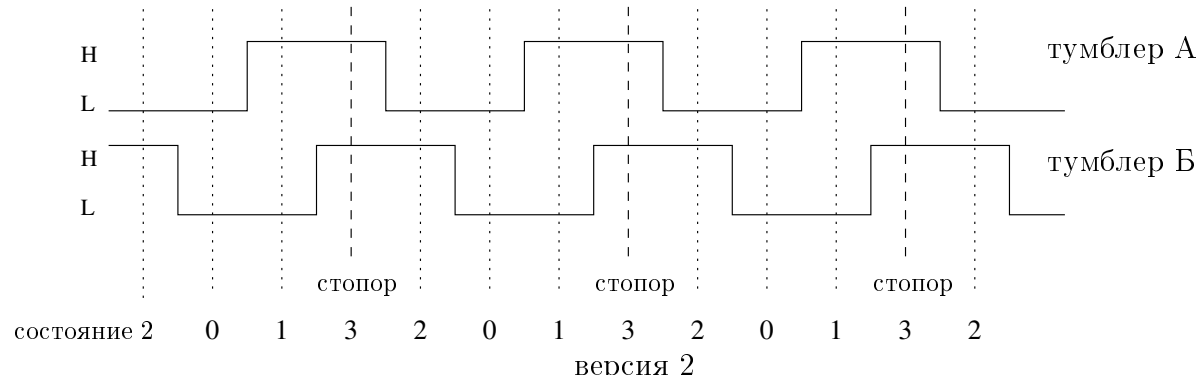


Рис. 2.7. Особенности двух типов поворотных инкрементальных энкодеров

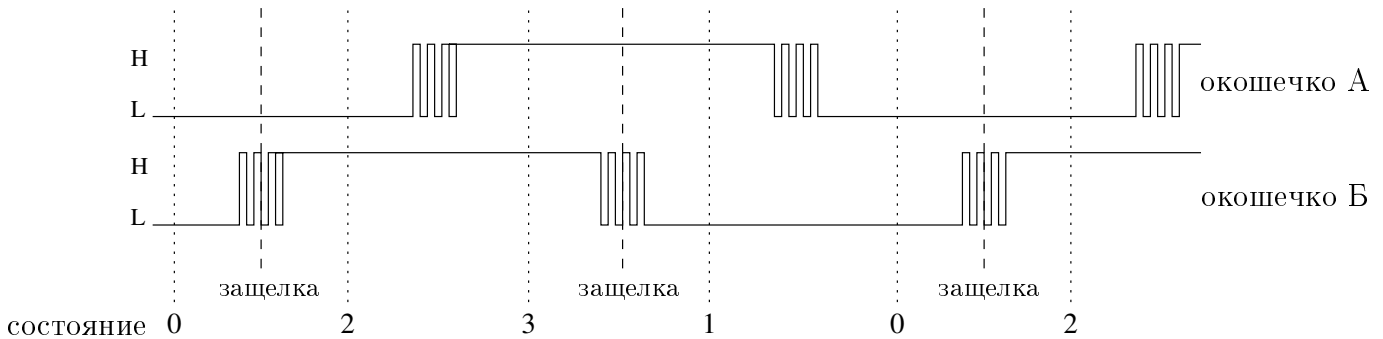
Рисунок 2.8 показывает работу энкодера, который имеет не только «дребезг» контактов но и неустойчивое состояние переключателя в точке фиксации. Каждое изменение состояния переключателей определяется программой и сохраняется в циклический буфер. Поэтому, последние три состояния переключателей можно проверить после каждого изменения состояния. Для каждого цикла переключения состояний, в общей сложности четыре последовательности могут быть определены для каждого направления вращения.

Если за одну фиксированную позицию осуществляется один, полный, цикл состояний переключателей то для правильного подсчета достаточно контролировать состояние переключателя в одном канале (ЩИТХ\_РОТАРЫ\_СЩИТЧ<sub>2</sub> или 3).

Если для генерации полного цикла состояний переключателей требуется поворот на две фиксированные позиции, как показано на рисунке 2.8, Вы должны контролировать последовательность переключения в двух каналах (ЩИТХ\_РОТАРЫ\_СЩИТЧ<sub>1</sub> и 3).

Для энкодеров без фиксации, Вы можете выбрать любую чувствительность к углу поворота. Значение 2 и 3 устанавливает низкую чувствительность, 1 среднюю чувствительность и 5 высокую чувствительность.

Подсчет импульсов (количество «вверх», количество «вниз») может быть обеспечен подбором определенного алгоритма, но, в то же время, может быть утрачен из-за неустойчивого состояния контактов переключателей в точке фиксации.



Возможные состояния слева направо:

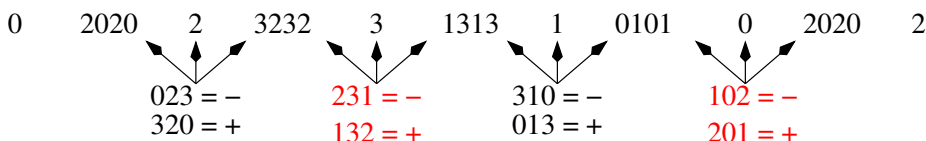


Рис. 2.8. Энкодер с «дребезгом» контактов переключателей

Если энкодер не доступен или не целесообразен из-за конструктивных соображений, вместо двух контактов энкодера, Вы можете подсоединить две независимые кнопки для перемещения «Вверх» и «Вниз». В этом случае значение опции ЩИТХ\_РОТАРЫ\_СЩИТЧ, для корректной работы программы, должно быть установлено 4.

## 2.2.6 Подключение графического дисплея

Большое спасибо Щолфганг Сч. за выполненную работу по поддержке прибором китайской версии дисплея с контроллером СТ7565. В настоящее время вы также можете подключить графический LCD (128x64 пикселей) с контроллером СТ7565. Поскольку контроллер СТ7565 подключается по последовательному интерфейсу, то только четыре сигнальных линии используются. Два вывода порта D ATmega могут быть использованы для других задач. ATmega процессор должен иметь, по крайней мере, 32 kB флеш-памяти для поддержки графического дисплея. СТ7565 контроллер использует рабочее напряжение 3,3 V. Поэтому требуется дополнительный

стабилизатор 3,3 V. Документация к контроллеру СТ7565 не допускает прямого подключения логических сигналов уровня 5 V. Для согласования логических уровней сигналов 5 V и 3,3 V можно использовать шему, приведенную на рисунке 2.9 с использованием микрошемы преобразователя уровней 74ХЦ4050. Вы можете попробовать применить вместо четырех элементов 74ХЦ4050 четыре резистора, примерно 2,7 kΩ. Падение напряжения на резисторах предотвратит увеличение напряжения на входах графического контроллера больше чем напряжение питания 3,3 V, а дополнительные диоды на входах графического контроллера не допустят попадания выходного сигнала 5 V от АТмега. Вы должны убедиться, что форма сигналов с резисторов могут быть правильно восприняты входами контроллера СТ7565.

В любом случае, при применении элементов микрошемы 74ХЦ4050 форма сигнала на выходе графического контроллера точнее соответствует форме выходного сигнала с АТмега.

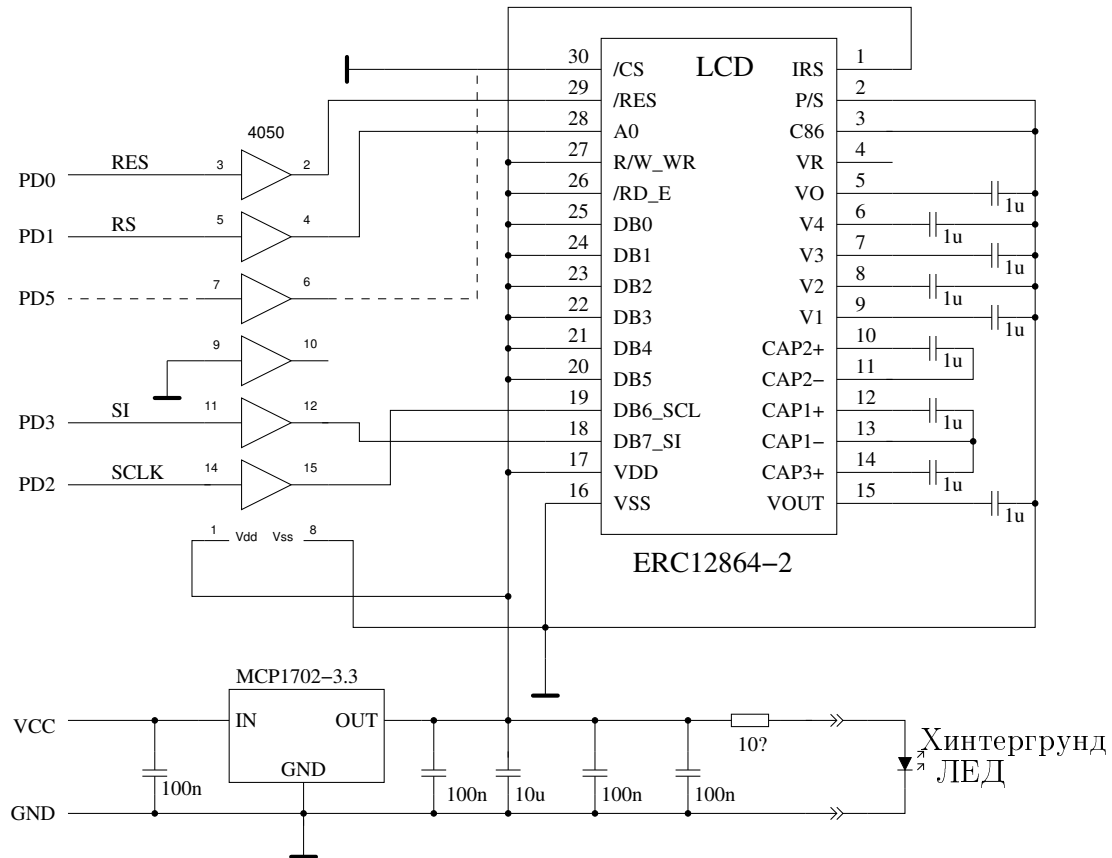


Рис. 2.9. Подключение графического дисплея с контроллером СТ7565

В таблице 2.3 показаны другие альтернативы подключения АТмега328 или других микроконтроллеров по интерфейсу SPI (ЛЦД\_ИНТЕРФАЦЕ\_МОДЕ14) или для трехпроводного соединения (ЛЦД\_ИНТЕР). Различные типы подсоединений для одного типа процессора могут быть выбраны с помощью опции в макефайле СТРИП\_ГРИД\_БОАРД. Назначение контактов разъема определено в файле цонфиг.х. Если Вам нужно иное подключение, Вы должны назначить новый номер кода для опции СТРИП\_ГРИД\_БОАРД и задать настройку подключения в файле цонфиг.х.

Контроллер СТРИПГРИДБОАРД Сигнал:	m644	m1280	m1280	m328	m328	m328	m328
		-	1	-	1	2	5
РЕС	ПБ4	ПА0	ПА4	ПД0	ПД4	ПД0	ПЦ
ЕН, ЦЛК	ПБ6	ПА2	ПА2	ПЦ	ПЦ	ПЦ	ПС
РС, Д/Ц	ПБ5	ПА1	ПА3	ПТБ	ПС	ПС	ПТБ
Б0, МОСИ	ПБ7	ПА3	ПА1	ПС	ПТБ	ПТБ	ПД4
ЦЕ, ЦС	ПБ3	ПА4	ПА5	ПД5	ПД5	ПД5	ПД5

Таблица 2.3. Подключение по SPI для различных контроллеров

Обычно СТ7565 или ССТ306 контроллер подключаеца по 4-проводному SPI интерфейсу. Но с контроллером ССТ306 Вы также можете подключить индикатор по интерфейсу I<sup>2</sup>C использав ПЦ как СДА и ПД5 как СЦЛ сигнал. Сигналы СДА и СЦЛ должны быть подтянуты резисторами около 4,7 kΩ к напряжению 3,3 V. Пример подключения ОЛЕД дисплея показан на рисунке 2.10. Сигналы шины I<sup>2</sup>C реализованы только путем переключения портов АТмега к 0 V. Перед подключением подтягивающих резисторов к напряжению 5 V, Вы должны убедиться, что Ваш контроллер допускает уровень сигнала 5 V. Обычно входы контроллера дисплея защищены диодами, которые понижают уровень сигнала до 3,3 V. Вы должны убедиться, что в АТмега записана программа с поддержкой интерфейса I<sup>2</sup>C до того, как дисплей будет подсоединен. Если Вы записали в контроллер микропрограмму с поддержкой другого интерфейса, то на выводах АТмега могут присутствовать сигналы с уровнем 5 V.

Так, как я обнаружил влияние на результаты теста модуля ОЛЕД через шину VCC, рекомендую установить дополнительную развязку из последовательного резистора 68 Ω и разделительного конденсатора 10 μF. Вместо 68 Ω резистора можно также использовать индуктивность 1 mH. Без дополнительного фильтра мой тестер с дисплеем ОЛЕД определял остаточные токи в коллекторах биполярных транзисторов.

Также нужно проверить расположение выводов Вашего ОЛЕД дисплея. Некоторые модули имеют отличие в расположении GND и VCC.

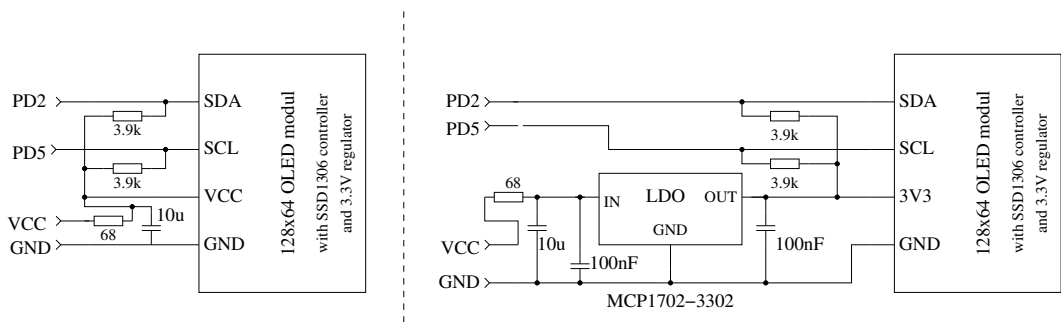


Рис. 2.10. Подключение графического ОЛЕД дисплея с I<sup>2</sup>C интерфейсом

Для подключения к контроллерам серии АТмегаб44 вместо портов ПБ3 (СЦЛ) и ПБ4 (СДА) используюца порты ПД5 и ПЦ. Для микроконтроллеров серии АТмега1280 используюца контакты ПА5 (СЦЛ) и ПА4 (СДА). Для замены символьного дисплея на графический можно использовать переходную печатную плату-адаптер с разъемом аналогичным символному ЛЦД, так как все сигналы и питание на нем доступны.

Намного проще подключить дисплей с контроллером СТ7920, потому что контроллер поддерживает напряжение питания 5 V. Дисплей должен поддерживать режим 128ш64 точек. Модуль дисплея с контроллером СТ7920 может быть подключен по 4-бит параллельному интерфейсу или по специальному, последовательному интерфейсу, согласно рисунка 2.11.

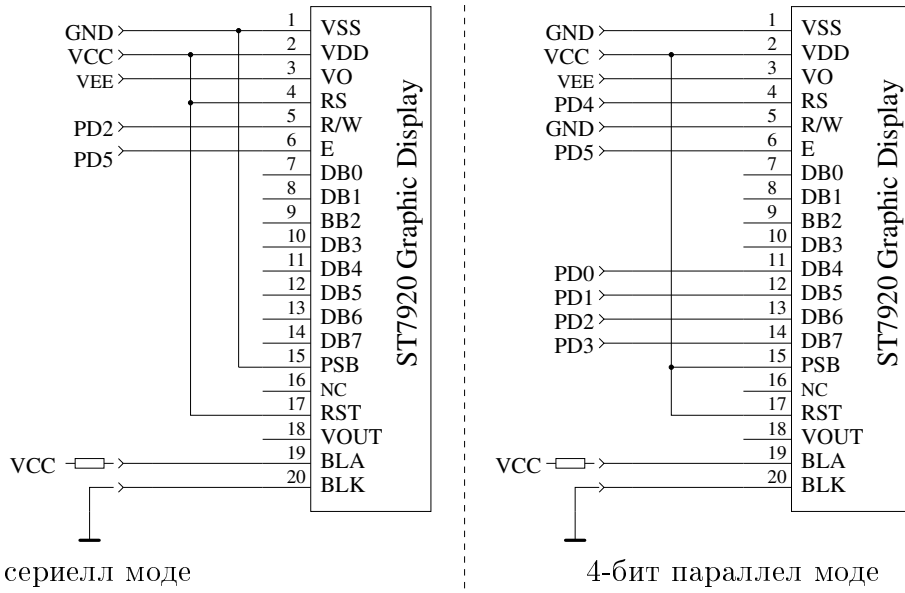


Рис. 2.11. Подключение индикатора с контроллером СТ7920

Для двух типов подключения индикатора с контроллером СТ7920 в Макефиле должна быть установлена опция «ШИХ\_ЛЦД\_СТ7565 и 7920». Кроме того, при подключении по последовательному интерфейсу, надо установить и опцию «ЦФЛАГС ы -ДЛЦД.ИНТЕРФАЦЕ\_МОДЕ15».

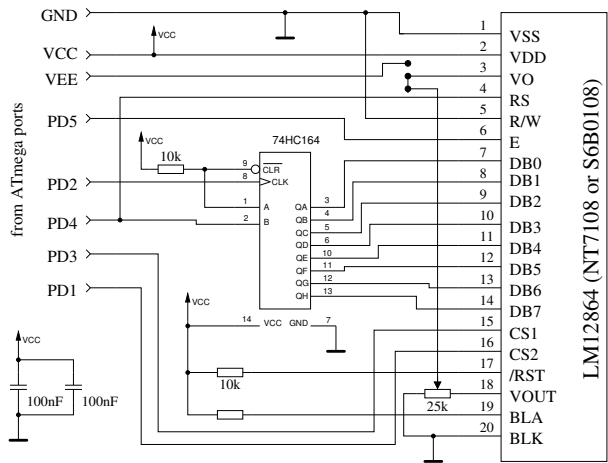
В таблице 2.4 показано подключение различных микроконтроллеров по последовательному интерфейсу с опциями ИНТЕРФАЦЕ\_МОДЕ 5 (СТ7920) и 7 (ССТ803).

Контроллер СТРИП_ГРИД_БОАРД	м644	м644	м1280	м328
Сигнал:	-	1		
ЕН	ПБ3	ПБ6	ПА5	ПД5
Б0, Р/Щ	ПБ4	ПБ7	ПА4	ПЦ
РЕСЕТ	ПБ2	ПБ4	ПА0	ПД0

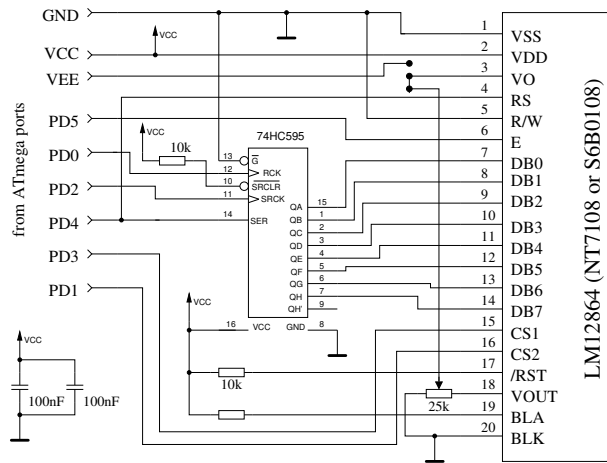
Таблица 2.4. Порты для последовательного подключения различных контроллеров

Так же как и в случае применения других графических индикаторов, для дисплея с контроллером СТ7920, опциями ЛЦД\_СТ7565\_X\_ФЛИП и ЛЦД\_СТ7565\_B\_ФЛИП можно изменить ориентацию выводимого изображения.

Особым случаем является подключение дисплеев с контроллером НТ7108 (КС0108, С6Б0108). Поскольку эти дисплеи используют только параллельный 8-битный интерфейс, необходимо применение последовательно - параллельного преобразователя интерфейсов. Простейший способ – использование микросхемы 74ХЦТ164 или 74ХЦТ595. Вариант такого подключения показан на рисунке 2.12.



(а) с использованием 74ХЦТ164



(б) с использованием 74ХЦТ595

Рис. 2.12. Подключение графического дисплея с НТ7108 контроллером

Так как некоторые модули ЛЦД различаются по расположению выводов, перед подключением Вы должны проверить цоколёвку Вашего дисплея. Некоторые различия в расположении выводов для серии ЛЦД АБГ128064 приведены в таблице 2.5.

Сигнал	128064Х	128064Г	128064Ц	128064Б
ВДД (5В)	1	2	4	2
ВСС (ГНД)	2	1	3	1
ВО (Драйве)	3	3	(5)	3
ДБ0-ДБ3	4-7	7-10	9-12	7-10
ДБ4-ДБ7	8-11	11-14	13-16	11-14
ЦС1	12	15	1	15
ЦС2	13	16	2	16
Ресет	14	17	-	17
Р/Щ	15	5	7	5
РС	16	4	6	4
Е	17	6	8	6
ВЕЕ	18	18	-	18
ЛЕДА	19	19	17	(19)
ЛЕДК	20	20	18	-

Таблица 2.5. Различие в цоколёвке НТ7108 модулей

В таблице 2.6 показано подключение по последовательному интерфейсу индикаторов НТ7108 к различным микроконтроллерам.

Контроллер Сигнал:	m644	m1280	m328
ЕН	ПБ3	ПА5	ПД5
РС	ПБ2	ПА4	ПД4
Б0	ПБ2	ПА4	ПД4
ЦС1	ПБ7	ПА3	ПS
ЦС2	ПБ5	ПА1	ПТ
ЦЛК	ПБ6	ПА2	ПЦ
ПЦЛК	ПБ4	ПА0	ПД0

Таблица 2.6. Подключение индикаторов с HT7108 по последовательному интерфейсу

Вы также можете использовать дисплей с контроллером ПЦФ8814, который обычно используется, например, в Нокиа 1100. Вы должны проверить, какой интерфейс контроллера используется в Вашем модуле дисплея. Контроллер ПЦФ8814 может поддерживать SPI-интерфейс 3-х проводной или 4-х проводной, I<sup>2</sup>C-интерфейс и специальный 3-х проводной, который ждёт сигнал данные/команда в качестве первого бита в 8 битных данных. Потому, что дисплей поддерживает только 9Ш65 пикселей, большие иконки для транзисторов не используются с этим контроллером. Вывод результатов похож на вывод для символьных дисплеев. Как и большинство графических дисплеев, этот контроллер работает с 3,3 V. Поэтому требует преобразователь уровней логических сигналов для 5 V выходов ATmega. Для SPI интерфейса и 3-х проводного интерфейса Вы можете использовать опцию в макефиле ЛЦД\_СПИ\_ОПЕН\_ЦОЛ («открытый коллектор» портов ATmega). Вы должны использовать «Пулл-Уп» резисторы или не устанавливать опцию ПУЛЛУП\_ДИСАБЛЕ в макефиле. В настоящее время с контроллером ПЦФ8814 протестирован только 3-х проводной интерфейс.

Порт	ПЦФ8814 SPI	ПЦФ8814 3-х проводной	ПЦФ8814 I <sup>2</sup> C	Дополнительная функция
ПД0	ЛЦД-РЕСет	ЛЦД-РЕСсет		
ПТ	ЛЦД-Д/Ц	ЛЦД-СЦЕ		Энкодер 2
ПЦ	ЛЦД-СЦЛК	ЛЦД-СЦЛК	ЛЦД-СДИН	
ПS	ЛЦД-СДИН	ЛЦД-СДИН		Энкодер 1
ПД4				Внешняя частота
ПД5		ЛЦД-ЕН	ЛЦД-СЦЛК	

Таблица 2.7. Назначение контактов для различных типов интерфейсов контроллера ПЦФ8814

Исходный код для поддержки контроллера ПЦФ8812 с 102ш65 пикселей также реализован, но, пока, не тестировался.

## 2.2.7 Подключение графического цветного дисплея

В предложениях китайских продавцов встречаются дешевые модули цветных дисплеев с интерфейсом SPI. На рисунке 2.13 показан вид сзади двух поддерживаемых дисплеев с 128ш128 и 128ш160 пикселей. Размер модулей очень мал, поэтому текст и символы очень мелкие. Но, в целом, внешний вид четкий и ясный.



Рис. 2.13. Вид сзади двух цветных ЛЦД

Модуль 128ш128 пикселей использует контроллер ИЛИ9163. Модуль 128ш160 пикселей использует контроллер очень близкий к ST7735 контроллеру. Модули тестировались с платой адаптера, которая соединяет сигналы СПИ и питание выводов для нормального отображения символов. Адаптация выходных уровней 5 V сигналов АТмега к уровню 3,3 V сигналов входов контроллера обеспечивается последовательными  $10k\Omega$  резисторами. Наличие подсветки (ЛЕД) обязательно, т.к. без нее выводимую информацию невозможно прочесть. Из-за высокого разрешения по вертикали можно отобразить несколько текстовых строк в этих модулях. Для дисплея 128ш128 пикселей можно отобразить 8 строк текста шрифтом 12ш8, для дисплея 128ш160 пикселей получим 10 строк текста. На рисунке 2.14 Вы можете видеть результат измерения германиевого транзистора на дисплее 128ш128 пикселей.

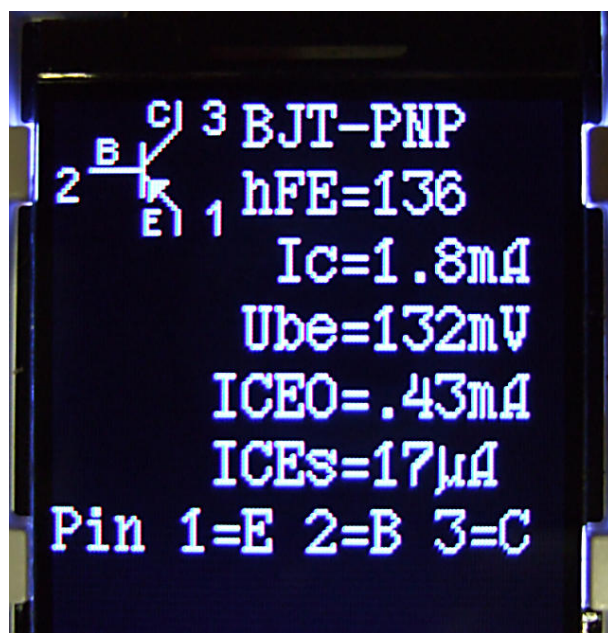


Рис. 2.14. Измерение биполярного ПНП транзистора

Цветность модулей в настоящее время не используется. Цвет фона и цвет отображаемых элементов можно изменить в файле LCD\_defines.h или в Макефиле. Контроллер использует программное 16-битное управление цветностью. Цвет отображаемой информации может быть изменен параметром LCD\_FG\_COLOR, а цвет подсветки параметром LCD\_BG\_COLOR .

## 2.3 Указания по сборке Тестера

В Тестере может использоваться LCD-дисплей 2ш16, программно совместимый с HD44780 или ST7036. Вы должны учитывать ток, необходимый для подсветки, некоторым LCD-дисплеям нужен ток ниже, чем другим. Я пытался применить OLED-дисплей, но он стал причиной помех при измерениях для ATmega, и я его **не** рекомендую. Также использование OLED-дисплея вызвало проблему загрузки специального символа для отображения резистора.

Чтобы получить максимальную точность измерения, резисторы R1 - R6 680 Ω и 470 kΩ должны быть точными (0,1%). В Тестере могут использоваться ATmega8, ATmega168 и ATmega328. Для возможности использовать все функции, рекомендуется установить ATmega328.

Сначала Вы должны собрать все элементы Тестера на печатной плате без микроконтроллера. В качестве ИЦ2 рекомендуется использовать стабилизатор с малым падением напряжения MC702-5002, потому что он потребляет всего 2 μA и может выдавать 5 V при входном напряжение всего 5,4 V. Но он несовместим по выводам с известным 78L05 в корпусе TO92 .

После проверки правильности монтажа, необходимо подсоединить батарею или источник питания к плате без LCD-дисплея и микроконтроллера. При нажатой кнопке TEST должно присутствовать напряжение 5 V на выводах питания микроконтроллера и LCD дисплея. Если отпустить кнопку TEST, напряжение должно исчезнуть. Если напряжения в норме, то необходимо отключить питание, **правильно** вставить микроконтроллер и подключить LCD-дисплей. Перед подключением LCD дисплея необходимо внимательно проверить правильность соединения выводов питания LCD дисплея (т.к. на некоторых LCD дисплеях они подключены наоборот) с ГНД и ВЦЩ платы Тестера!

Если Вы уверены, что все в порядке, можно подсоединить питание. Если Вы уже запрограммировали ATmega, то можете кратковременно нажать кнопку TEST. При кратковременном нажатии кнопки TEST светодиод LED и подсветка LCD-дисплея должны включиться. Если Вы отпускаете кнопку TEST, светодиод LED не должен гаснуть как минимум несколько секунд (зависит от установленных параметров при компиляции программного обеспечения). Заметьте, что программное обеспечение для микроконтроллера должно быть для используемого типа микроконтроллера. Программа для ATmega8 не работает на ATmega168!

## 2.4 Доработки для версий Тестера Маркус Ф.

**Контроль напряжения.** Проблема проявляется следующим образом: Тестер немедленно отключается при каждом включении. Причиной может стать установка фьюзов (Макефиле) контроля за понижением напряжения питания ATmega на 4,3 V. Происходит это следующим образом: порт ПД6 пытается зарядить конденсатор C2 100 nF до уровня ВЦЩ, что вызывает провал напряжения ВЦЩ (5 V). Для решения проблемы конденсатор C2 может быть уменьшен до < 10 nF. Если возможно, то включить последовательно в цепь ПД6 резистор сопротивлением более > 220 Ω.

**Улучшение питания шемы.** Если Тестер запускаеца при нажатии на кнопку **ТЕСТ**, но ключ сразу же отпускаеца, то часто причина этой проблемы в питании. Проблема порождена большим током подсветки LCD-дисплея. Резистор R7 к базе П-Н-П-транзистора T3 был величиной  $27\ k\Omega$ , чтобы уменьшить потребление энергии. Чтобы улучшить переключение при более низком напряжении батареи или при низком коэффициенте усиления П-Н-П транзистора T3, необходимо уменьшить сопротивление до  $3,3\ k\Omega$ .

**Дополнительный подтягивающий резистор порта ПД7.** Ощущение подтягивающего резистора, после короткого времени, работа заканчиваеца выключением Тестера с сообщением «Тимеут». Программное обеспечение формируеца с опцией ПУЛЛУП\_ДИСАБЛЕ, т. е. все внутренние подтягивающие резисторы отключены. По этой причине напряжение порта ПД7 не определено, если уровень не переключен кнопкой **ТЕСТ** или транзистором T2 к ГНД. Внешний резистор сопротивлением  $27\ k\Omega$  к ВЦЦ решает эту проблему.

**Конденсатор Т в АРЕФ.** Многие используют на контакте АРЕФ конденсатор на  $100\ nF$  так же, как и Маркус Ф. Пока не было необходимости менять опорное напряжение АЦП - это было хорошим решением. Программное обеспечение для ATmega168 и ATmega328 использует автоматический выбор внутреннего опорного напряжения АЦП  $1,1\ V$ , если входное напряжение ниже  $1\ V$ . Это позволяет улучшить разрешение АЦП при небольших входных напряжениях. К сожалению, переключение опорного напряжения от  $5\ V$  до  $1,1\ V$  происходит очень медленно. По этой причине нужно учитывать дополнительное время ожидания  $10\ ms$ . При уменьшении величины конденсатора до  $1\ nF$ , это время может быть существенно уменьшено. Я не заметил ухудшения качества измерения при этом изменении. Даже с удалённым конденсатором нет существенного изменения результатов измерения. Если Вы предпочитаете оставить конденсатор на  $100\ nF$ , то можете отключить опцию НО\_АРЕФ\_ЦАП в Макефиле, для активации увеличения времени ожидания в программе.

**Установка кварца на  $8\ MHz$ .** Вы можете установить кварц на  $8\ MHz$  с задней стороны печатной платы непосредственно к портам ПБ6 и ПБ7 (выводы 9 и 10). Моя собственная доработка была сделана без конденсаторов  $22\ pF$  и работала хорошо со всеми проверенными ATmega. Вы так же можете, выбрав фьюзы, использовать внутренний генератор на  $8\ MHz$  для получения лучшего разрешения по времени при стабильных измерениях величины ёмкостей.

**Сглаживание питающего напряжения.** В оригинальной шеме Маркус Ф. применен только один конденсатор  $100\ nF$  по напряжению ВЦЦ. Это не дает приемлемую фильтрацию. Вы должны, по крайней мере, использовать конденсаторы ёмкостью  $100\ nF$  около выводов питания ATmega и возле выводов входа и выхода стабилизатора напряжения. Дополнительные конденсаторы  $10\ \mu F$  (электролитические или tantalовые) на входе и выходе стабилизатора напряжения повышают устойчивость напряжения. Танталовый СМД конденсатор  $10\ \mu F$  легче использовать со стороны печатных дорожек, и он имеет обычно более низкое значение ЕСР.

**Выбор микроконтроллера ATmega.** Для основных функций Тестера возможно использование ATmega8, Флаш память в ней используеца практически на 100%. ATmega168 или ATmega328 совместимы по выводам с ATmega8, я могу рекомендовать замену. При использовании ATmega168 или ATmega328 Вы получаете следующие преимущества: Самопроверка с автоматической калибровкой.

Улучшение качества измерения с автоматическим переключением масштаба АЦП.

Измерение индуктивностей при сопротивлении ниже  $2100\ \Omega$ .

Измерение величины ЕСР конденсаторов с ёмкостью выше  $20\ nF$ .

Измерение резисторов ниже  $10 \Omega$  с разрешением  $0,01 \Omega$ .

Использование порта ПЦ3 в качестве последовательного выхода или аналогового входа для измерения внешнего напряжения.

**Ощущающие прецизионное опорное напряжение.** Программное обеспечение должно обнаружить недостающие элементы опорного напряжения на выводе ПЦ4. В этом случае при включении питания во второй строке LCD-дисплея должно появиться сообщение «Но ВЦЦ 1 ш.шВ». Если это сообщение появляется при установленном ИОН, Вы должны подключить резистор  $2,2 k\Omega$  между выводом ПЦ4 и ВЦЦ.

## 2.5 Расширенная шема с ATmega644 или ATmega1284

Расширенная шема для контроллеров ATmega644/1284 разработана совместно с Ницк Л. из Украины. Шема 2.15 позволяет расширить диапазон измеряемых частот, а также содержит шему тестирования кварцев. Хотя расширенная шема почти идентична шеме на рисунке 2.1, назначение портов несколько отличается. Поворотный энкодер на шеме 2.6 должен быть подключен к ПБ5 и ПБ7 (вместо ПБ и ПС). Оба сигнала, а также ВЦЦ и ГНД доступны на разъеме программирования ISP. Таким образом, подключение поворотного энкодера не должно вызвать затруднений. Делитель 16:1 в 74ХЦ4060 всегда используется для частот выше  $2 MHz$ . Он также может быть использован для частот от  $24 kHz$  до  $400 kHz$  для повышения точности измерения частоты с помощью подсчета периода. Для коммутации переключений (делитель частоты и кварцевый генератор) используется аналоговый переключатель 74ХЦ4052. Таблица 2.8 показывает варианты подключения дисплея к портам ATmega324/644/1284. Подключение индикатора с использованием интерфейса I<sup>2</sup>C возможно только для индикаторов с контроллером ССТ306. Сигналы интерфейса I<sup>2</sup>C требуют установки подтягивающих резисторов  $4,7k\Omega$  к напряжению  $3,3 V$ . Сигналы шины I<sup>2</sup>C реализованы только путем переключения портов ATmega к  $0 V$ .

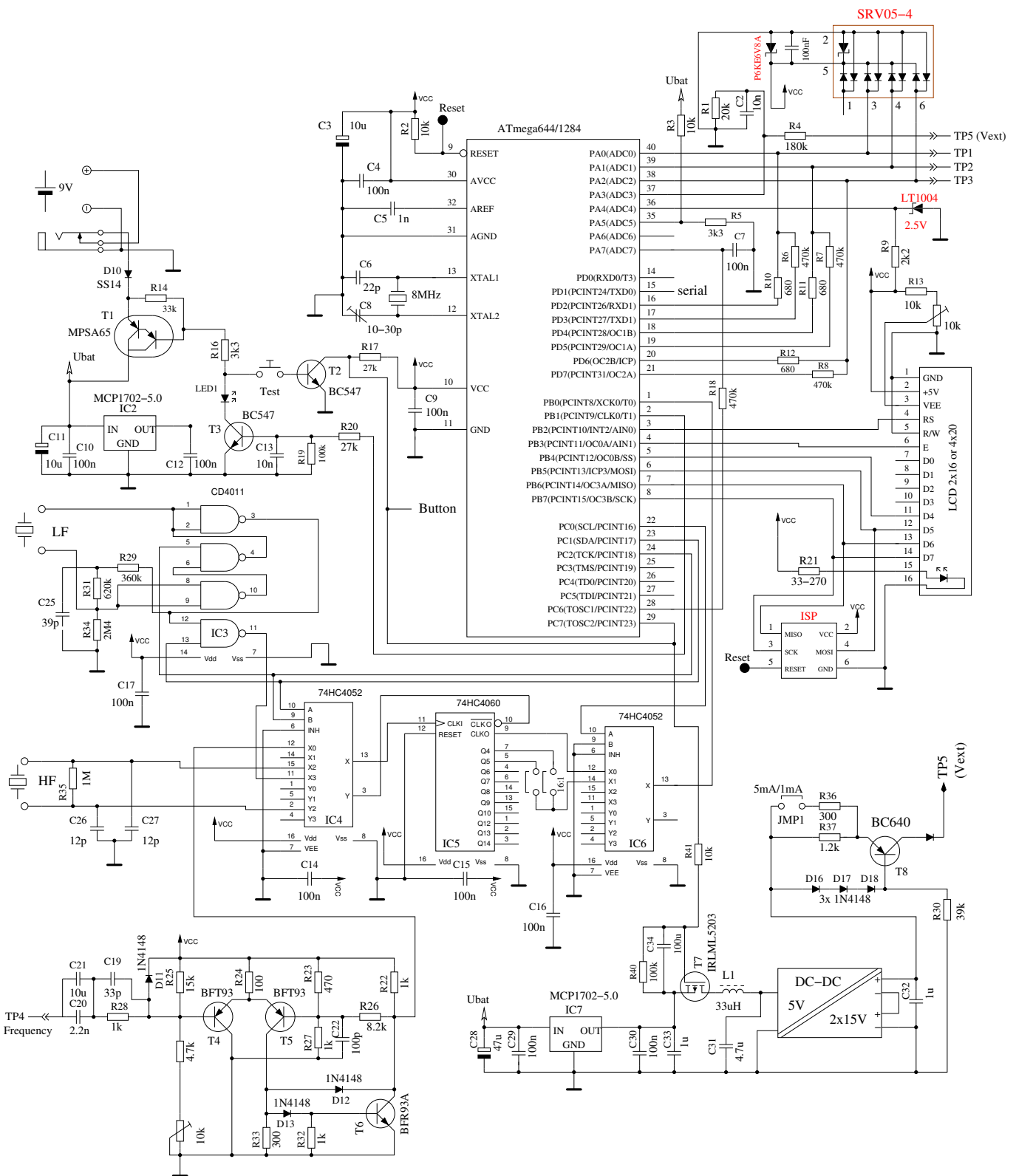
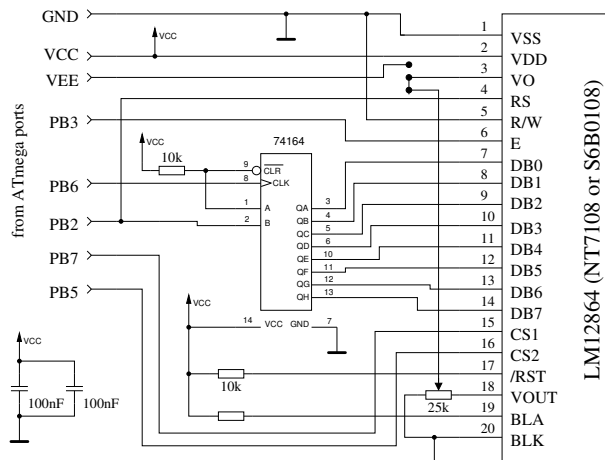


Рис. 2.15. Расширенная шема Транзистор Тестера с ATмега644

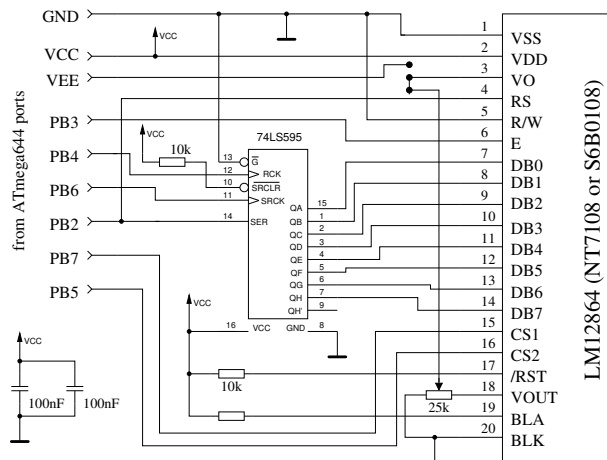
Порт	Символьный ЛЦД	Графический ЛЦД СПИ 4-шире	Графический ЛЦД И <sup>2</sup> Ц	Дополнительные функции
ПБ2	ЛЦД-РС			
ПБ3	ЛЦД-Е	(ЛЦД-ШЕ)	ЛЦД-СЦЛ	
ПБ4	ЛЦД-Д4	ЛЦД-РЕСТ	ЛЦД-СДА	
ПБ5	ЛЦД-Д5	ЛЦД-РС		ИСП-МОСИ поворотный энкодер 2
ПБ6	ЛЦД-Д6	ЛЦД-СЦЛК		ИСП-МИСО
ПБ7	ЛЦД-Д7	ЛЦД-СИ		ИСП-СЦК поворотный энкодер 1

Таблица 2.8. Подключения дисплеев к портам АТмега324/644/1284

Вы также можете подключить дисплей с контроллером HT7108 (KC0108, С6Б0108) к тестеру, собранному на АТмега644 или АТмега1284 используя небольшую шему подключения показанную на рисунке 2.16. Вы также должны учитывать различие в назначении контактов дисплейных модулей с контроллерами HT7108, как показано в таблице 2.5 на странице 20.



(а) при использовании 74ХЦТ164



(б) при использовании 74ХЦТ595

Рис. 2.16. Подключение дисплея с контроллером HT7108 к АТмега644/1284

## 2.6 Шема с использованием АТмега1280 или Ардуино Мега

Тестер может быть создан с использованием микроконтроллера АТмега1280 или АТмега2560, а также построен на базе Ардуино Мега. Шема показана на рисунке 2.17. Назначения контактов Ардуино для подключения дисплея указаны зеленым цветом. Компоненты, показанные красным цветом, не обязательны для правильной работы Тестера. Контроллер АТмега2560 имеет большое количество портов, но только один порт имеет функции, необходимые для обеих методик измерения частоты. Порт должен быть одновременно таймером/счетчиком для подсчета внешних импульсов и поддерживать внешнее прерывание при изменении уровня сигнала. Этими функциями обладает только один порт ПЕ6 (T3/ИНТ6). На остальных портах таймеров/счетчиков ПД7 (T0), ПД6 (T1), ПХ7 (T4) и ПЛ2 (T5) ощущается внешнее прерывание. К сожалению, порт ПЕ6 не подключен к ленточному гнезду Ардуино. Порт ПЕ5 (вывод 7) подключен к контакту 3 разъема ШИМ и перемычкой может быть соединен с портом ПЕ6 (вывод 8) АТмега2560.

Выходной сигнал генератора частоты можно получить на порту ПБ6 (ОТБ). Это порт подключен к контакту 12 разъема ШИМ. ИСП-разъем не требуется, так как программа может быть установлена при помощи загрузчика USB Ардуино Мега. С использованием загрузчика есть небольшая задержка запуска программы.

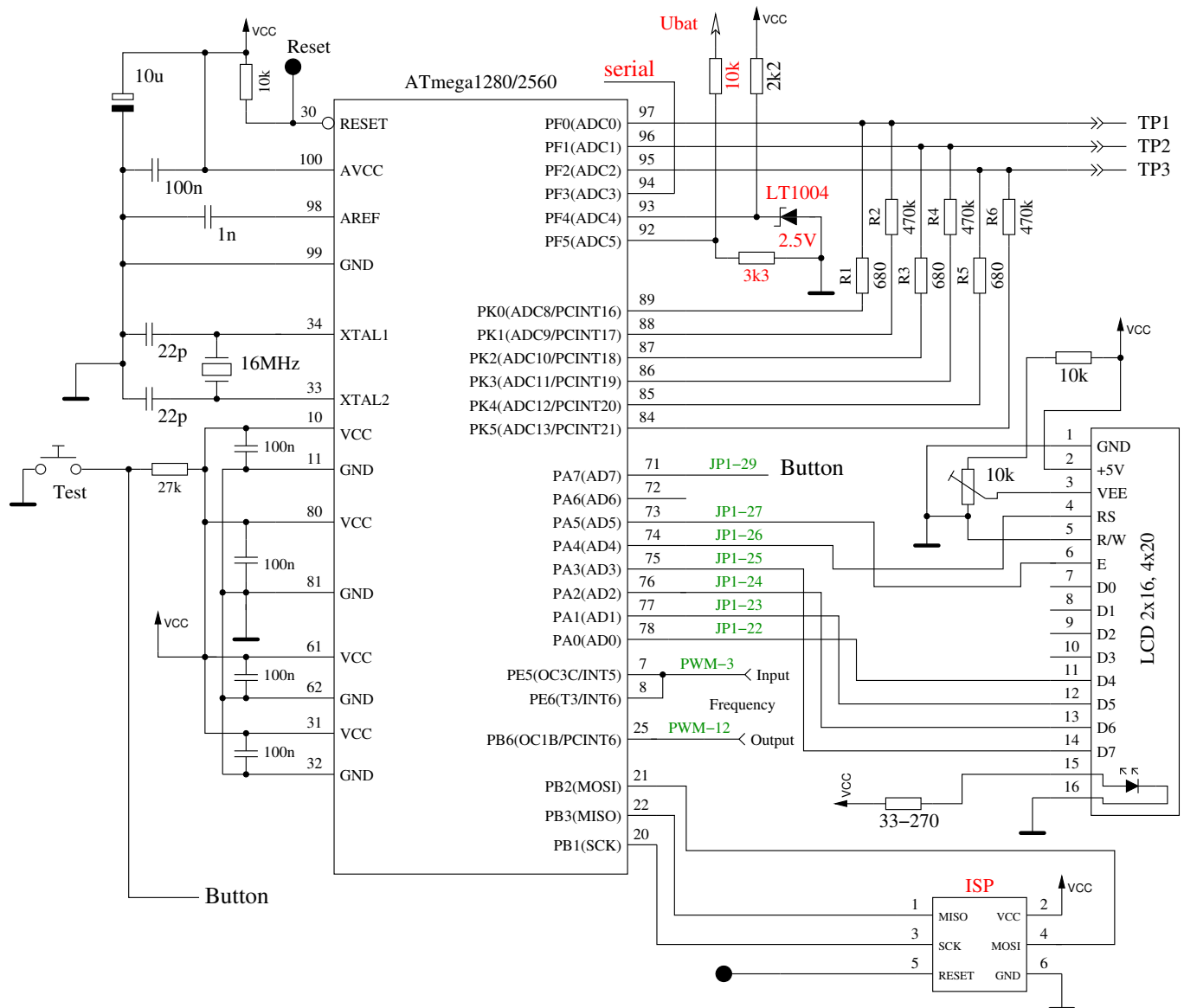


Рис. 2.17. Шема Тестера с использованием ATmega1280, ATmega2560 или Ардуино Мега

Конечно, Вы можете подключить все поддерживаемые дисплеи и к ATmega1280 или ATmega2560 в соответствии с таблицей 2.9.

Порт	Символьный LCD	С7565 СПИ	С7920 serial	Н7108 serial	ССБ306 И <sup>2</sup> Ц	Дополнительные функции
ПА0	LCD-D4	LCD-PREST	LCD-PESET	XH595-РЦК		
ПА1	LCD-D5	LCD-РС		LCD-ЦС2		2 канал энкодера
ПА2	LCD-D6	LCD-СЦЛК		XH64-ЦЛК		
ПА3	LCD-D7	LCD-СИ		LCD-ЦС1		1 канал энкодера
ПА4	LCD-РС		LCD-Б0	LCD-РС XH64-СЕР	LCD-СДА	
ПА5	LCD-Е	(LCD-ЦЕ)	LCD-ЕН	LCD-ЕН	LCD-СЦЛ	
ПА7	кнопка					

Таблица 2.9. Подключение различных дисплеев к ATmega1280/2560

## 2.7 Китайские клоны с символьным дисплеем

По имеющейся у меня информации, Тестер с символьным индикатором выпускают в Китае в двух версиях. Первая модель первого дизайна от Маркус Ф. без порта ISP. ATmega8 помещен в панельку, поэтому, Вы можете заменить его на ATmega168 или ATmega328. Для этой версии Вы должны рассмотреть все пункты раздела 2.4. Для лучшей стабилизации напряжения питания дополнительный керамический конденсатор на 100  $nF$  должен быть установлен поблизости ВЦЦ-ГНД и выводов АВЦЦ-ГНД ATmega. Потому, что в тестере ощущается разъем ISP, Вы должны его смонтировать или использовать для программирования ATmega программатор с внешним разъемом. Кроме того, Вы должны иметь в виду, что, если Вы устанавливаете кварц на 8 MHz, то у Вашего внешнего программатора ISP должна быть частота синхронизации или кварц для программирования.

Вторая версия Тестера с элементами СМД. Там установлен ATmega168 в СМД корпусе 32TЧФП. К счастью, установлен разъем ISP с 10 контактами для программирования. Я проанализировал версию платы «2.1 2012/11/06». Нашел одну ошибку - элемент «Т»: установлен стабилитрон, а должен быть точный ИОН на 2,5 V. Стабилитрон необходимо удалить, а на его место установить ИОН LM4040AI32.5 или LT1004ЦЗ-2.5. Недостающее опорное напряжение учитывается программным обеспечением даже, если ИОН не установлен. Мой образец был поставлен с программным обеспечением версии 1.02к. Разъем ISP с 10 контактами не был установлен, и я изготавлил переходник от ISP6 к ISP0. У моего программатора цепь ГНД подведена к контакту 10, а на плате цепь ГНД подведена к контактам 4 и 6 ISP. Маркировка ATmega168 была стёрта, и не было никакой документации. Фьюзы блокировки ATmega были установлены таким образом, что бы считывание памяти было невозможно. Но установить программное обеспечение версии 1.05к удалось без проблем. У другого пользователя есть проблемы с программным обеспечением той же самой версии 1.05к. У этого пользователя китайская плата «2.2 2012/11/26». Программное обеспечение начинает работать, если установить дополнительный керамический конденсатор 100  $nF$  между выводами АВЦЦ (вывод 18) и ГНД (вывод 21) ATmega. Программное обеспечение версии 1.05к использует режим сна ATmega в течение времени ожидания измерения. По этой причине ток потребления изменяется часто и регулятор напряжения нагружается больше. Далее я заметил, что напряжение ВЦЦ блокировано керамическим конденсатором 100  $nF$  и электролитическим конденсатором 220  $\mu F$  поблизости от 78L05. Входное напряжение 9 V блокировано теми же самыми конденсаторами, но не на входе стабилизатора, а в эмиттере П-Н-П-транзистора (параллельно батарее). Дорожка от ATmega168 до испытательного порта настолько тонкая, что сопротивление 100  $m\Omega$  не сможет быть измерено. Это будет причиной измерения сопротивления минимум 0,3  $\Omega$  для двух соединённых выводов. При измерении ЕСР эту величину обычно можно скомпенсировать. Программное обеспечение, начиная с версии 1.07к, учитывает это смещение для того, чтобы измерять резисторы сопротивлением ниже 10  $\Omega$ .

## 2.8 Китайские клоны с графическим дисплеем

Новые сборки тестера, как, например, версия от Фиш8840 используют 128x64 точки графический дисплей. Эта версия использует модифицированную логику управления питанием и кнопками. Рисунок 2.18 показывает часть модифицированной схемы.

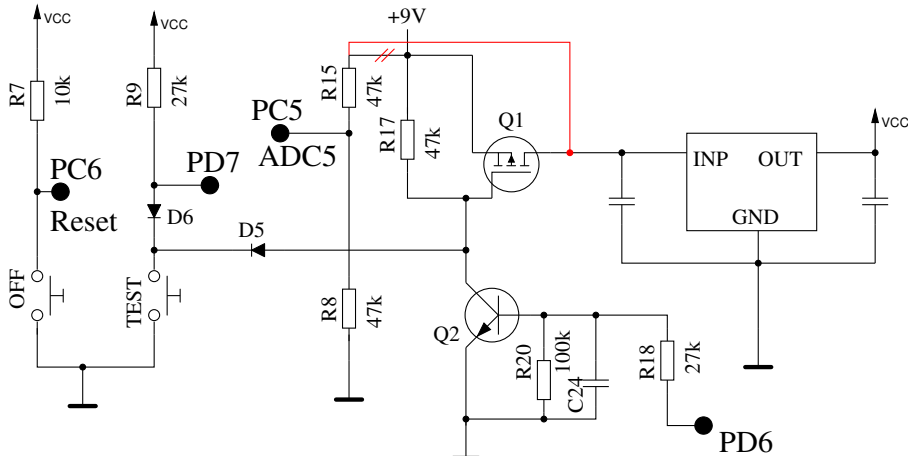


Рис. 2.18. Часть схемы версии от Фиш8840

Как Вы можете видеть, вместо ишодного коэффициента делителя, соотношение сопротивлений резисторов в цепи измерения напряжения батареи, Р8 и Р15 выбрано 2:1. Кроме того, резистор Р15 соединен непосредственно с батареей, что приводит к потреблению энергии в выключенном состоянии. Резистор Р15 должен быть подключен к стоку Ч1 или на вход регулятора напряжения для предотвращения ненужного расхода энергии батареи. Соответствующие изменения в печатной плате изображены на рисунке 2.19. Резистор Р15 осоединён от дорожки, идущей от Р17 к Д5 и при помощи эмалированной проволоки подсоединен к стоку Ч1.

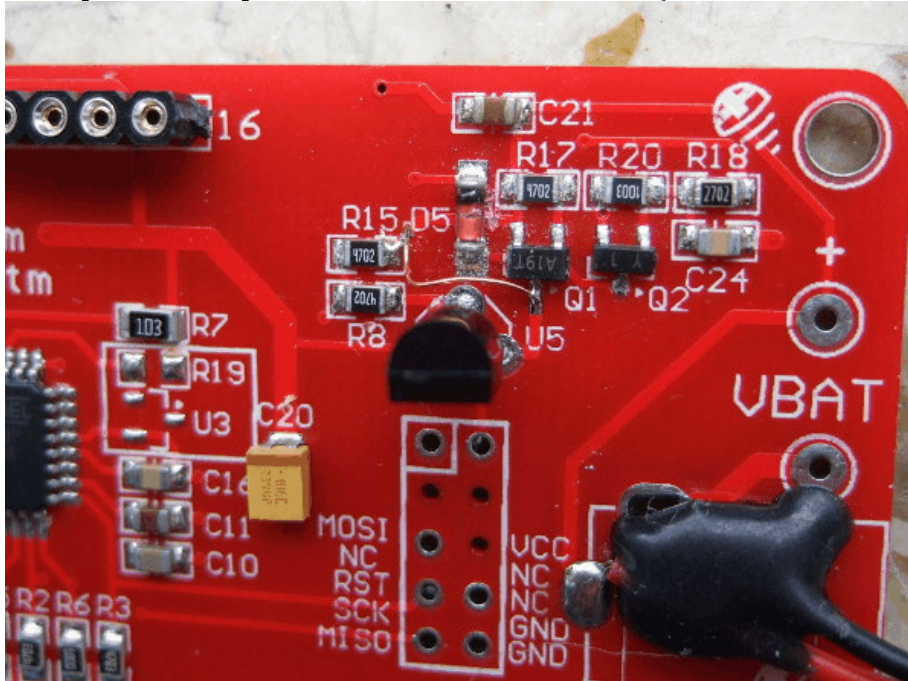


Рис. 2.19. Вариант изменения в печатной плате Фиш8840

Коэффициент делителя для измерения напряжения батареи должен быть задан в Макефиле (например: BAT\_НУМЕРАТОР166) после внесения изменений в оригинальное программное обеспечение.

Для адаптации рабочего напряжения к напряжению контроллера дисплея, модуль дисплея тестера Фиш8840 оснащен регулятором напряжения 3,3 V. Уровень логических сигналов от ATmega – 5 V. Для адаптации уровня логических сигналов ATmega к уровню сигналов контроллера дисплея рекомендуется адаптер, изображенный на рисунке 2.20. Сигнальные линии четырех

данных оснащены четырьмя резисторами  $2.7\text{ k}\Omega$  подсоединенными последовательно для каждого сигнала на небольшой макетной плате. Для подсоединения платы дисплея к плате тестера Фиш8840, в этом случае, необходимо использовать более длинные или дополнительные межплатные дистанцирующие стойки.



(а) Вид дисплея с адаптером

(б) Полностью собранный Тестер

Рис. 2.20. Адаптер для коррекции подключения дисплея

Вместо приведенной выше модификации, Вы можете также использовать специальный режим вывода сигналов 4 СПИ АТмега, задав опцию в макефиле `ЛЦД_СПИ_ОПЕН_ЦОЛ`. С помощью этой опции, выходы не достигают уровня ВЦЦ, так как во время выхода высокого уровня подключающая «подтягивающие резисторы» на весь период высокого уровня. Если опция `ПУЛЛУП_ДИС` задана, то необходимо установить дополнительный внешний резистор для сигнала «РЕСЕТ» (`ПД0`). Поскольку сигналы данных никогда не достигают уровня ВЦЦ, уровень 3,3 V контроллера дисплея не будет превышен. В моей версии тестера Фиш8840, все сигналы дисплея подключены напрямую к разъему дисплея. Таким образом, Вы можете подготовить печатную плату для подключения символьного дисплея, если на ней установлен ответный разъем и потенциометр для регулировки уровня контрастности. Однако контакт 15 для подсветки подключающейся непосредственно к ВЦЦ Тестера. Если Вы подключаете дисплей по такой схеме, Вы должны проверить, наличие ограничительного резистора подсветки на плате модуля дисплея. Конечно, Вы должны скомпилировать программное обеспечение для такого подключения дисплея. Такая аппаратная доработка проверена для платы Фиш8840.

Все попытки изменить программное обеспечение Вы делаете на свой страх и риск. Никаких гарантий не может быть дано по поддержанию новых версий. К сожалению, исходная китайская микропрограмма не может быть сохранена из-за установленных битов защиты АТмега328. Так что нет способа вернуть прибор в исходное состояние.

Дополнительная версия с графическим дисплеем ЩЕИ\_М8 печатной платы изображена на рисунке 2.21. Эта сборка использует аккумулятор LiIon AA размера в качестве источника питания, который может быть заряжен от микро УСБ разъема. Эксплуатировать Тестер можно также без аккумулятора, при питании только от УСБ.

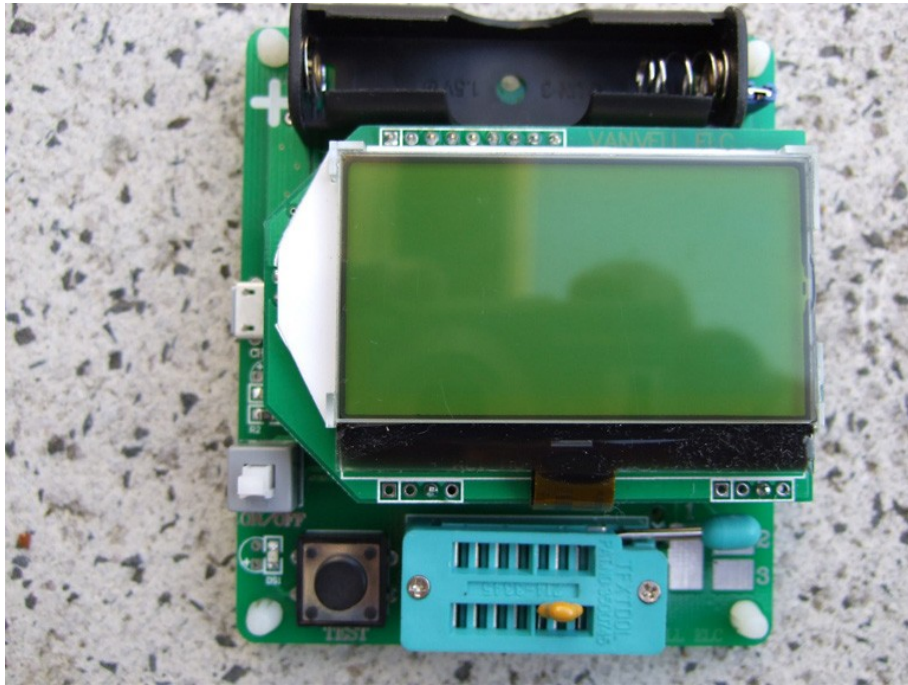
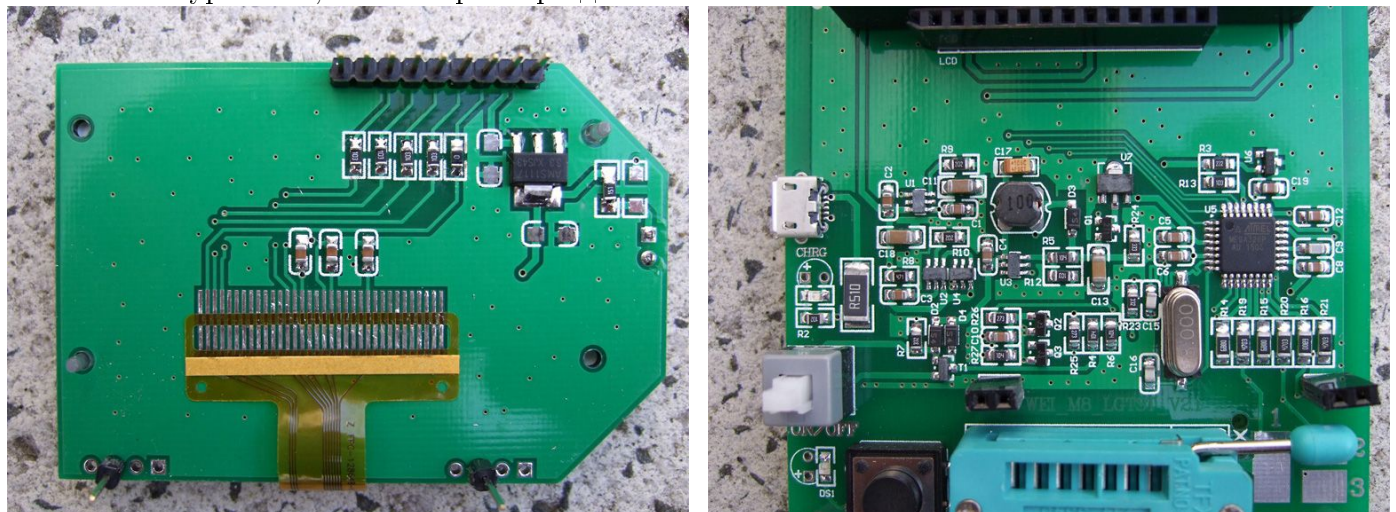


Рис. 2.21. Китайский клон ЩЕИ\_M8

Отрадно, что сигнальные линии дисплея (на плате адаптера) оснащены резисторами, включёнными последовательно. Вы можете увидеть резисторы на рисунке 2.22 слева. Таким образом, Вы не должны бояться, что 5 V сигналы ATmega могут вызвать чрезмерное увеличение предельного логического уровня 3,3 V контроллера дисплея.



(а) Плата адаптера дисплея

(б) Основная плата

Рис. 2.22. Тестер ЩЕИ\_M8 в разобранном виде

При обновлении до версии 1.12к обнаружены некоторые проблемы. Если установить Ештендед Фусе 0ш04 (0шФЦ), как рекомендуется, некоторые измерения вызывали сброс процессора из-за короткого провала напряжения «Броун Оут». Я добавил дополнительный керамический конденсатор  $4.7 \mu F$  по входу регулятора напряжения и  $10 \mu F$  керамический конденсатор на выходе (ВЦЦ) регулятора. И до, и после обновления я заметил, что в биполярных транзисторах, на этой плате, определяется дифференциальный ток коллектора (ИЦЕО или ИЦЕс) около  $1\mu A$ . После замены неизвестного ЛДО регулятора напряжения на МЦЬ702-5002 этот эффект исчез. Рисунок 2.23 показывает измененную печатную плату с конденсаторами и регулятором МЦЬ702, установленными навесным монтажом. Если Вы не желаете прислушиваться к совету, Вы должны установить Ештендед Фусе 0ш07 (0шФФ) для поддержания бесперебойной работы. С этой настройкой кратковременные провалы не будут обнаружены.

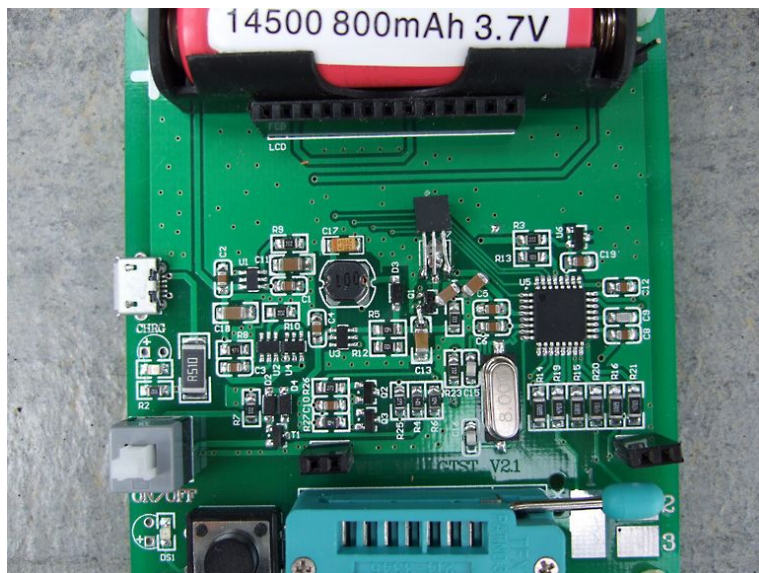
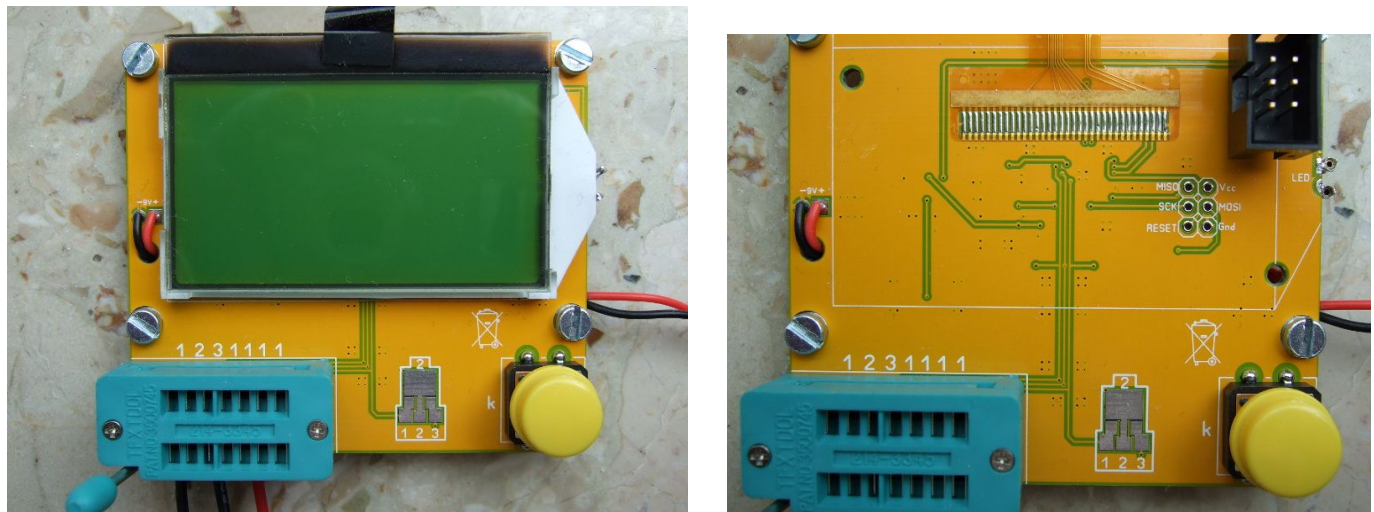


Рис. 2.23. Тестер ЩЕИ\_М8 после модификации

Дополнительная китайская версия с графическим дисплеем – тестер «ЛЦД-Т4» на печатной плате с жёлтой маской. Я снял дисплей для замены программного обеспечения на новую версию. На правом рисунке 2.24 Вы можете увидеть в правом верхнем углу отверстия для установки ИСП разъёма с правильной разводкой для 6-ти контактного подключения программатора. Для программирования ATmega я не устанавливал штыревой разъём. Я только вставил штыревой разъем в отверстия и придержал разъём шлейфа во время программирования. При таком способе штыревой разъём может быть легко удален и дисплей установлен на место для возвращения первоначального вида прибора. Китайское программное обеспечение может быть заменено на версию 1.12к без каких-либо заметных проблем. Установка Ештендед Фусе 0ш04 (0шФЦ) для проверкиброса из-за короткого провала напряжения «Броун Оут» каких либо сюрпризов не принесла.



(а) В собранном виде

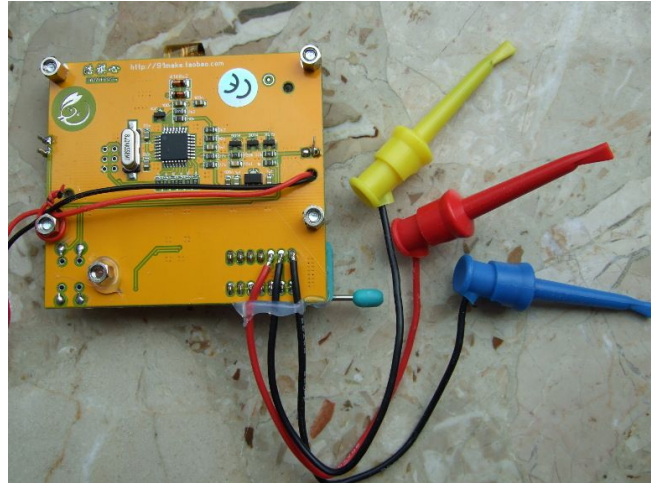
(б) Со снятым дисплеем

Рис. 2.24. Внешний вид Т4 тестера

Вы можете увидеть стойки 5 mm и обновленные кабели с зажимами измерения на фотографии задней стороны на рисунке 2.25. Поскольку сигналы данных для графического контроллера дисплея не имеют преобразователя логических уровней ( $5 V \rightarrow 3.3 V$ ), рекомендуется установить опцию ЛЦД\_СПИ\_ОПЕН\_ЦОЛ. В связи с тем, что плата не может быть легко модернизирована «пулл-уп» резисторы могут быть использованы путем отключения опции ПУЛЛУП\_ДИСАБЛЕ в макефиле. Эта плата является меньше практичной для последних расширений, а также замену дисплея трудно реализовать.



(а) Сторона компонентов



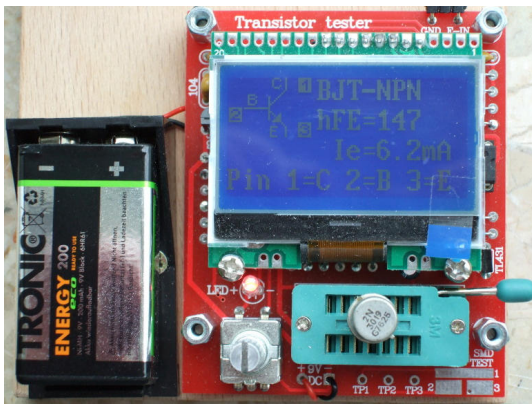
(б) С кабелями измерения

Рис. 2.25. Обратная сторона Т4 тестера

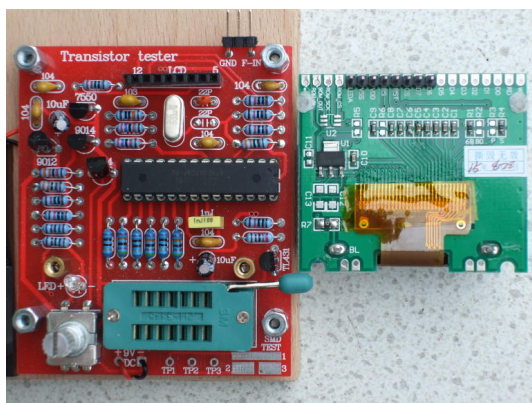
Еще одна версия китайского клона с графическим дисплеем имеет название «ГМ328». В этой версии адаптер графического индикатора подключен через 16-пиновый разъем к основной плате. Порт ПД5 АТмега подключен через вывод 6 разъема на ЦЕ (Чип Енабле) вход графического контроллера. Сигнал СЕ также подключен к 0 V (ГНД) на плате адаптера. Результатом такого подключения будет короткое замыкание в случае переключения порта ПД5 АТмега на выход 5 V. В новых версиях программного обеспечения выводится сигнал ЦЕ, даже если он не является необходимым. Для правильной работы «ГМ328» тестера с новыми версиями, Вы должны оциединить сигнал ЦЕ (порт ПД5 АТмега) от вывода 6 в разъеме графического адаптера.

## 2.9 Китайские наборы с графическими дисплеями

Появились две новые версии набора с графическим дисплеем и поворотным энкодером. Первый набор использует дисплей с контроллером ST7565 или совместимым (128x64 пикселей). В дополнение к поворотному энкодеру, предусмотрен вход для измерения частоты. Для тестовых площадок используется 14-контактный разъем Тештоол, три контакта под пайку терминалов для подключения кабелей и тестовые площадки для теста деталей СМД. На фотографии 2.26 показан смонтированный прибор. Один из двух нагрузочных конденсаторов кварца 22 pF заменен триммером. Триммером можно подстроить частоту генерации кварца для повышения точности в режиме частотомера и генератора.



(а) смонтированный вид

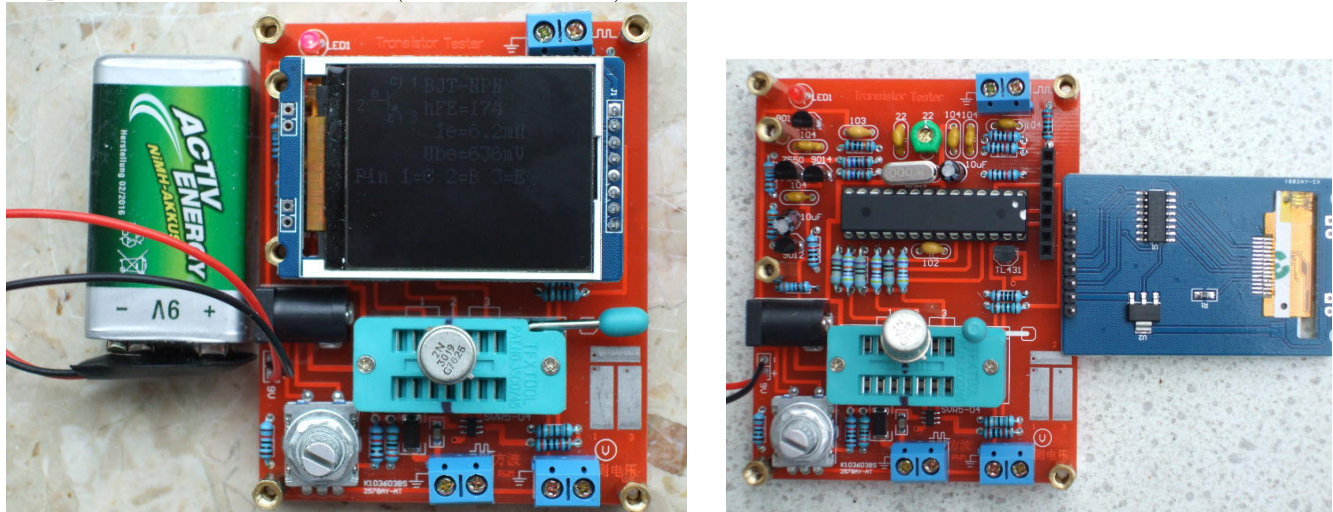


(б) со снятым дисплеем

Рис. 2.26. Собранный набор с дисплеем 128x64 пикселей

Позже появился набор, который использует цветной дисплей с контроллером ST7735 (160x128 пикселей), дополнительно оснащен входом для измерения напряжения и выходом для генератора частот. Но выход генератора не буферизирован, он просто подключен параллельно к контакту

TP2. Вольтметр может измерять положительное постоянное напряжение до 50 V. Преобразователь напряжения ДЦ-ДЦ для измерения стабилитронов не предусмотрен. На фотографиях 2.27 показан этот собранный набор. Кроме того, в этой версии один нагрузочный конденсатор кварца 22 pF заменен триммером (зеленого цвета).



(а) смонтированный вид

(б) со снятым дисплеем

Рис. 2.27. Собранный набор с цветным 160x128 пикселей дисплеем

Оба набора используют ATmega328P в DIP корпусе с установкой в панельку и не оснащены разъемом ИСП для обновления более новыми версиями программного обеспечения. Первый комплект использует только выводные компоненты для монтажа печатной платы. Я получил результат измерения резисторов 680  $\Omega$  и 470  $k\Omega$  с допуском 0.1% в этом китайском комплекте. Также в набор добавлен конденсатор 220 nF для калибровки. Комплект с цветным дисплеем оснащен разъемом для подключения внешнего источника питания постоянного тока вместо 9 V батареи. Некоторые СМД компоненты были смонтированы на основной плате, так что собрать тестер из этого набора не сложная задача. Небольшой недостаток версии с цветным дисплеем — скорость вывода на экран. Особенно это заметно при перемещении по пунктам меню. В любом случае, цветной дисплей имеет большее разрешение, что позволяет отобразить больше информации сразу.

Оба набора используют стабилизатор напряжения 3.3 V для питания контроллера дисплея на плате индикатора. Только контактный разъем должен быть припаян на печатной плате дисплея. В цветной версии набора используется буфер ЦД4050, для адаптации логических уровней сигнала. Я не обнаружил каких-либо элементов для адаптации уровней сигнала на плате с дисплеем ST7565. Вероятно, выбранная версия контроллера допускает уровни сигнала 5 V с ATmega328. Я не обнаружил защитные диоды на входе сигналов со стороны питания 3.3 V для данного типа контроллера.

## 2.10 И еще один клон из Хиланд М644

Эта реплика основана на принципиальной электрической схеме Ника Л. из Украины, см. Иллюстрацию 2.15 на странице 26.

**Тестер работает с кнопкой, которая является одновременно кнопкой и кодером.**  
Предлагает следующие дополнения:

- частота измерения
- генератор ф
- 10-битный ШИМ
- импульсный энкодер
- измерение кварца
- Определение напряжения и десятков диодов (почти до 50В).

Плата оснащена 8 МГц квадратом. 16 МГц квадрат будет лучше. Модифицировать триммер (более точную частоту) сложно.

Контакты для интерфейса ISP находятся в 6-контактном ряду отверстий под подключаемый модуль дисплея, который занят следующим образом:

**слева направо:** 1 -сброс; 2 -СЦК; 3 -МИСО; 4 -МОСИ; 5 -5В; 6 -ГНД.

Чтобы иметь возможность обновить тестер, вам нужен относительно простой кабель можете создать себя. При поставке испытательное основание с нулевым усилием соединяется с платой через соединительные планки.

В тестере, показанном ниже, основание было припаяно непосредственно, и полоса сокета сохранена с этим. Припаяны к существующему ленточному кабелю с разъемом и закреплены термоусадочной трубкой.

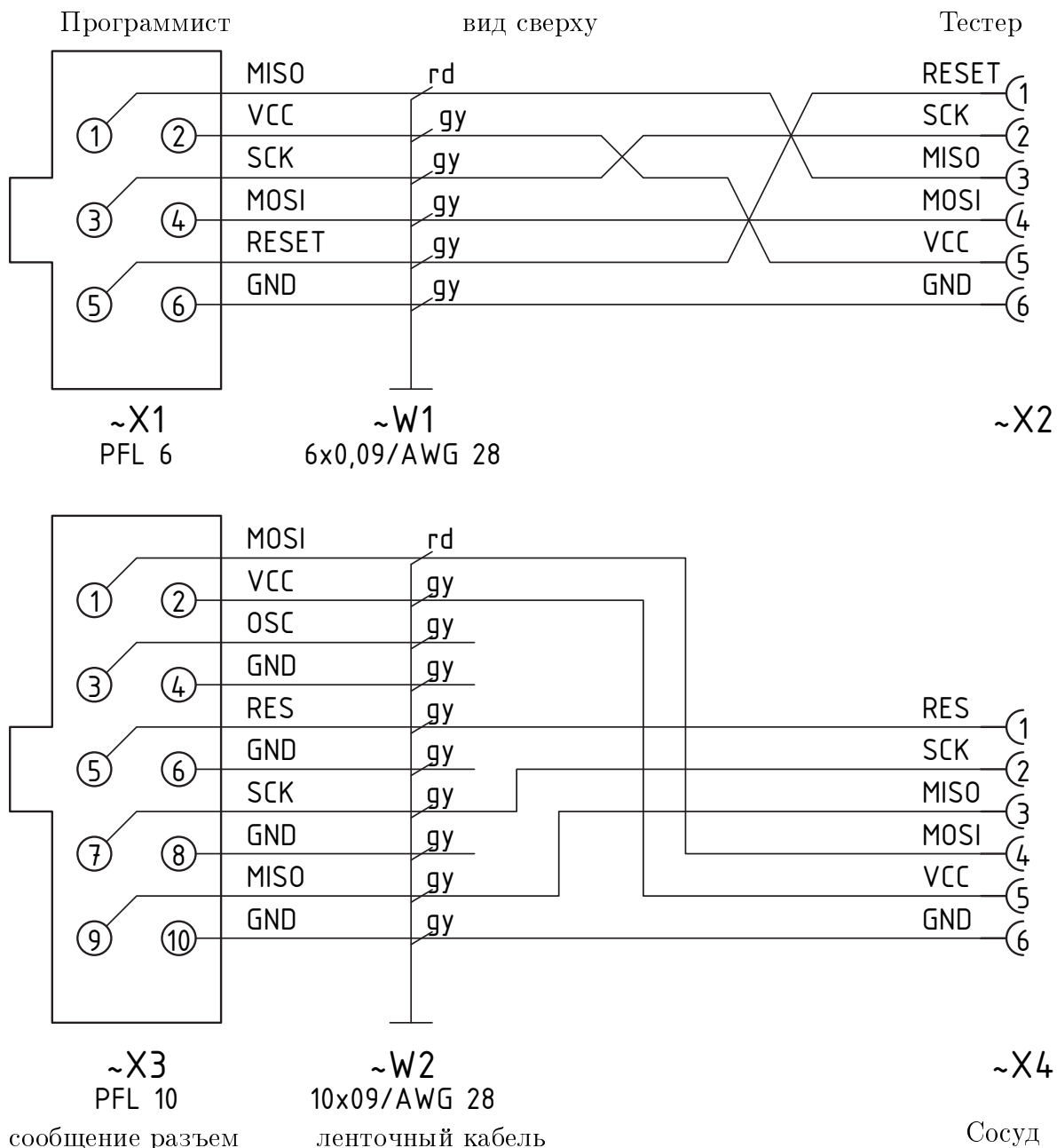
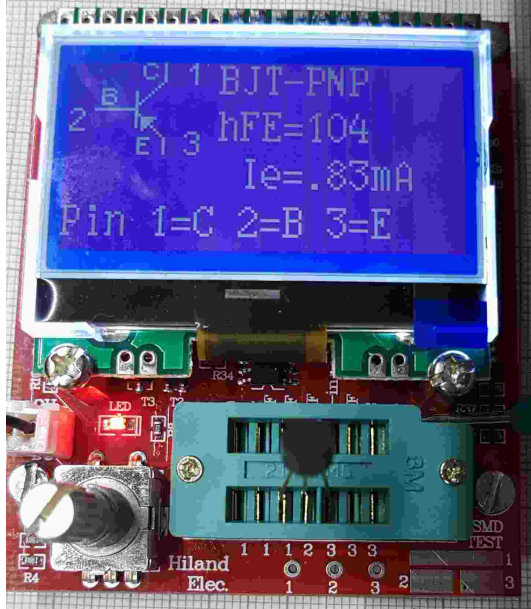
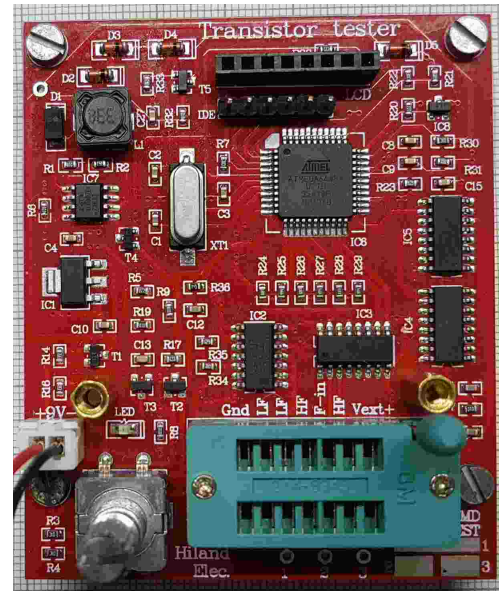


Рис. 2.28. 6 и 10-контактный кабель для программирования



(а) ниже ТЬ до ТПЗ для определения компонента



(б) штифты выше для меню выбора и ИДЕ

Рис. 2.29. Хиланд Тестер с тестовой базой и дисплеем 128 ш 64 пикселей

**Тестовые порты ТЬ, ТЬ и ТПЗ** используя для автоматического распознавания компонентов и находящаяся на доске с номерами **1,1,1; 2; 3,3,3** в.

То же имя можно найти в поле теста СМД

и есть возможность паять свой собственный тестовый кабель.

**Тестпорт ТЬ** также используя для вывода специальной функции "Ф-Генератор". Контакты с маркировкой **ЛФ** предназначены для измерения кристаллов кварца с низкой резонансной частотой,

и выводы с меткой **ХФ** предназначены для кристаллов с высокой резонансной частотой.

Пин **Ф-ин** используя вместе с **Гнд** для частоты специальной функции. И вывод **Вешть** также используя с **Гнд** для измерения напряжения и использует измерение стабилитрона.

# Глава 3

## Инструкция пользователя

### 3.1 Проведение измерений

Использовать Тестер просто, но требующая некоторые пояснения. В большинстве случаев провода с «крокодилами» подключающиеся к испытательным портам разъемами. Также могут быть подключены гнезда для транзисторов. В любом случае Вы можете подключаться тремя выводами к трем испытательным портам в любой последовательности. Если у элемента есть только два вывода, Вы можете подключаться к любым двум испытательным портам. Обычно полярность элемента не важна, Вы можете подключать выводы электролитических конденсаторов в любом порядке. Обычно минусовой вывод подключающийся к испытательному порту с более низким номером. Полярность непринципиальна, потому что измерительное напряжение находящаяся между 0,3 V и 1,3 V. После подключения элемента, Вы не должны касаться его во время измерения. Если он не вставляется в гнездо, то Вы должны прижать его через непроводящую прокладку. Вы не должны также прикасаться к изоляции проводов, связанных с испытательными портами - результаты измерения могут быть искажены. После вывода на дисплей сообщения «Тестинг...», результат измерения должен появиться, примерно, после двух секунд. При измерении ёмкости конденсатора время окончания может увеличиваться пропорционально ёмкости.

Продолжительность измерения Тестера, зависит от конфигурации программного обеспечения.

**Режим однократного измерения.** Если Тестер сконфигурирован для однократного измерения (ПОЩЕР\_ОФФ параметр установлен), то он отключающийся автоматически, после отображения результата в течение 28 секунд. Следующее измерение можно начать в течение времени отображения или после отключения, вновь нажав кнопку **ТЕСТ**. Следующее измерение может быть сделано с тем же самым или другим элементом. Если Вы не установили электронные элементы для автоотключения, то последний результат измерения будет отображаться, пока Вы не начнете следующее измерение или не выключите питание (необходим внешний выключатель).

**Режим бесконечных измерений.** Этот режим являющийся конфигурацией без автоотключения. Обычно эта конфигурация используется, если не установлен транзистор автоотключения. В этом случае, параметр ПОЩЕР\_ОФФ отключающийся в Макефиле. Для этого режима необходим внешний выключатель. Тестер будет повторять измерения, пока питание не будет отключено.

**Режим многократных измерений.** В этом режиме Тестер отключающийся не после одного измерения, а после заданного числа измерений. В этом случае параметру ПОЩЕР\_ОФФ присваивается числовое значение, например 5. В стандартном режиме Тестер отключающийся после 5 измерений без определения элемента. Если какой-либо элемент определен тестом, Тестер отключающийся

после 10 измерений. Первое измерение с неизвестным элементом после серии измерений известных элементов обнулит результаты известного измерения. Также первое измерение известного элемента обнулит результат неизвестных измерений. Если элементы подключаюся периодически, то этот алгоритм может привести к почти бесконечной последовательности измерений без нажатия кнопки **ТЕСТ** в начале. В этом режиме есть характерная особенность длительности отображения. Если для того, чтобы включить Тестер, кнопка **ТЕСТ** нажата коротко, то результат измерения отображается в течение 5 секунд. Если Вы нажимаете и держите кнопку **ТЕСТ** до первого сообщения, то дальнейшие результаты измерения отображаются в течение 28 секунд. Следующее измерение можно начать ранее, если нажать кнопку **ТЕСТ** во время отображения результата.

## 3.2 Меню дополнительных функций для АТмега328

Если меню дополнительных функций доступно, то оно будет отображено после продолжительного ( $> 500\ ms$ ) нажатия на кнопку **ТЕСТ**. Эта функция также доступна для других микроконтроллеров с объемом флэш-памяти не меньше 32К. Выбираемые функции отображаются во второй строке дисплея в 2-х строчном LCD или, как отмеченные, в третьей строке для 4-х строчных LCD. В 4-х строчных LCD во второй и четвертой строке отображается предыдущий и последующий пункт меню соответственно. После длительного времени ожидания, без каких либо действий, программа выходит из меню, возвращаясь к нормальной функции транзистор тестера. При кратковременном нажатии на кнопку **ТЕСТ**, осуществляется переход к следующему пункту меню. При длительном нажатии кнопки **ТЕСТ** выбирается или запускается отображаемая функция меню. После индикации последнего пункта меню «считч офф» происходит переход на первый пункт меню.

Если в Вашем тестере установлен поворотный энкодер, Вы можете вызывать меню дополнительных функций также быстрым поворотом энкодера, когда результат предыдущего теста отображается. Функции меню можно выбрать медленным вращением энкодера в одном или другом направлении. Выбор или запуск отображаемого пункта меню осуществляется только нажатием кнопки **ТЕСТ**. Параметры выбранной функции также могут быть выбраны медленным вращением энкодера. Быстрым поворотом энкодера осуществляется возврат в меню дополнительных функций.

**Фречуенцы (частотомер)** Дополнительная функция «Фречуенцы» (частотомер) использует порт ПД4 АТмега, который также подключен к LCD-дисплею. Сначала измеряется частота. Если частота ниже  $25\ kHz$ , то дополнительно измеряется период входного сигнала, и значение этой частоты может быть вычислено с точностью до  $0,001\ Hz$ . Если параметр ПОЩЕР\_ОФФ установлен в Макефиле, то продолжительность измерения частоты ограничена до 8 минут. Измерение частоты может быть закончено нажатием кнопки **ТЕСТ** и Тестер перейдет в меню функций.

**Ф-Генератор (генератор частот)** Если выбрана функция «Ф-Генератор» (генератор частоты), то можно сгенерировать любую частоту между  $1\ Hz$  и  $2\ MHz$ . Вы можете задавать значение генерируемой частоты только в самом старшем разряде отображаемого в строке числа. Для старших разрядов чисел частот от  $1\ Hz$  до  $10\ kHz$  значения цифр изменяются от 0 до 9. Для старших разрядов чисел задаваемой частоты выше  $100\ kHz$  значения цифр изменяются от 0 до 20. В первой позиции строки задания частоты отображается символ  $>$  или  $<$ , более продолжительное ( $> 0.8$  с) нажатие кнопки **ТЕСТ** осуществляет переход к старшему разряду в задаваемой частоте. Переход к младшему разряду числа задаваемой частоты, возможен при нажатии кнопки **ТЕСТ**  $> 0.8$  с только тогда, когда

символ < отображаеца. Символ < отображаеця если в старшем разряде значение цифры равно 0 и текущая частота не ниже 1 Hz. Если выбрана частота 100 kHz или выше, то символ > заменяеца на букву Р. Более продолжительное (> 2 с) нажатие кнопки **ТЕСТ** приведет к отключению генератора частоты и возврату к меню функций.

**10-бит ПЦМ (10-бит ШИМ)** Дополнительная функция «10-бит ПЦМ» (10-бит ШИМ) генерирует фиксированную частоту с возможностью регулировки ширины импульса на тестовом контакте ТЬ. При кратковременном (< 0,5 с) нажатии кнопки **ТЕСТ** ширина импульса увеличиваеца на 1%, с более длинным нажатием кнопки **ТЕСТ** импульс увеличиваеца на 10%. Если значение превысило 99%, то 100% вычитаеца из результата. При установленном параметре ПОЩЕР\_ОФФ в Макефиле, генератор завершит работу после 8 минут без нажатия кнопки **ТЕСТ**. Завершить работу генератора можно так же длительным (> 1.3 с) нажатием кнопки **ТЕСТ**.

**ЦЕСР~ТЬ:3** Дополнительной функцией «ЦЕСР~ТЬ:3» можно выбрать отдельное измерение ёмкости и ЕСР конденсаторов с помощью тестовых контактов ТЬ и ТПЗ. Конденсаторы от 2  $\mu F$  до 50  $mF$  могут быть измерены. Поскольку напряжение измерения составляет лишь около 300 mV, в большинстве случаев конденсатор может быть измерен непосредственно в шеме без предварительного демонтажа. При установленном параметре ПОЩЕР\_ОФФ в Макефиле, количество измерений ограничено до 250, но может быть начато немедленно снова. Серия измерений может быть завершена при длительном нажатии кнопки **ТЕСТ**.

**Циклическое измерение сопротивлений** Пунктом меню 1—■—3 запускаеца циклическое измерение резисторов, подключённых к ТЬ и ТПЗ. Этот режим работы будет обозначен символами [Р] справа в первой строке дисплея. Потому что метод измерения ЕСР не используется в этом режиме, разрешение измерения резисторов меньше 10  $\Omega$  только 0.1  $\Omega$ . Если функция измерения сопротивлений настроена с дополнительным измерением индуктивности, то символы 1—■—■■■—3 будут отображаться в пункте меню. Тогда циклическая функция измерения сопротивлений включает проверку индуктивности для резисторов меньше 2100  $\Omega$ . В этом режиме справа в первой строке дисплея отобразяца символы [РЛ]. Для резисторов меньше 10  $\Omega$  используется тот же метод измерения что и для измерения ЕСР, если индуктивность не обнаружена. Таким образом, точность измерения резисторов меньше 10  $\Omega$  может достигать значения 0.01  $\Omega$ . Измерения повторяюся без нажатия кнопки **ТЕСТ**. При нажатии кнопки **ТЕСТ** осуществляеца выход из режима в меню. Циклический режим измерений запускаеца автоматически, если резистор подключен к ТЬ и ТПЗ и нажата кнопка **ТЕСТ** из основного режима измерений. Из режима циклического измерения резисторов тестер, по нажатию кнопки **ТЕСТ**, возвратиця в основной режим измерений.

**Циклическое измерение ёмкостей** Пунктом меню 1—■—3 запускаеца циклическое измерение ёмкости конденсаторов в ТЬ и ТПЗ. Этот режим работы будет обозначен символами [Ц] справа в первой строке дисплея. В этом режиме конденсаторы от 1  $pF$  до 100  $mF$  могу быть измерены. Измерения повторяюся без нажатия кнопки **ТЕСТ**. При нажатии кнопки **ТЕСТ** осуществляеца выход из режима в меню. Так же, как и для резисторов, циклический режим измерений запускаеца автоматически, если конденсатор подключен к ТЬ и ТПЗ в основном режиме измерений. После автоматического запуска циклического измерения ёмкостей тестер, по нажатию кнопки **ТЕСТ**, возвратиця в основной режим измерений.

**Ротары енцодер (Энкодер)** Дополнительная функция «Ротары енцодер» (поворотный энкодер) позволяет проверить энкодер. Три контакта энкодера должны быть подключены в любой последовательности к тестовым контактам перед запуском функции. После запуска функции нужно не слишком быстро повернуть ручку энкодера. Если тест завершился успешно, то во второй строке ЛЦД будет символически отображено срабатывание контактов энкодера в каналах. Тестер определяет общий вывод двух каналов. Кроме того, определяющее состояние контактов при остановке. Если контакты замкнуты, то отображающееся «Ц», если разомкнуты, то отображающееся «о». Результат теста энкодера с всегда разомкнутыми контактами в фиксированных позициях отображающееся во второй строке в течении двух секунд как «1-/2-/3 о». Для такого энкодера количество фиксированных позиций соответствует количеству импульсов в каждом канале. Если будут обнаружены замкнутые контакты каналов в фиксированных позициях, то во второй строке дисплея отобразится «1—2—3 Ц» в течении двух секунд. Мне не известны поворотные энкодеры, которые имели бы замкнутые контакты в двух каналах одновременно при фиксированной позиции. Промежуточное состояние контактов каналов между фиксированными позициями также отображающееся в строке 2 в течении короткого времени (< 0.5s) без символов «о» или «Ц». Если Вы будете использовать энкодер для выбора в меню дополнительных функций, Вы должны установить опцию Макефиле ЩИТХ\_РОТАРЫ\_СЩИТЧ12 для энкодеров с всегда разомкнутыми контактами («о») и установить опцию ЩИТХ\_РОТАРЫ\_СЩИТЧ11 для энкодеров с разным состоянием контактов (открытым «о» или закрытым «Ц») в фиксированных позициях.

**Ц( $\mu F$ )-корректион** С помощью этой функции меню Вы можете изменить значение поправки измерения большой ёмкости конденсаторов. Величину этой поправки Вы можете задать параметром Ц\_X\_КОРР в Макефиле. Значения выше нуля уменьшают величину ёмкости на заданный процент, значения ниже нуля увеличивают результат измерения ёмкости на заданный процент. Краткое нажатие кнопки снижает значение коррекции на 0,1 %, более длинное нажатие увеличивает значение коррекции. Очень длительное нажатие сохранит значение коррекции и осуществит выход в меню. Особенностью метода испытаний конденсаторов большой ёмкости является то, что конденсатор с низким качеством, как электролитический, будет измерен с завышенным результатом значения ёмкости. Конденсатор с низким качеством можно обнаружить по более высокому значению параметра ВЛОСС. В конденсаторах высокого качества, при тестировании, ощущается ВЛОСС или его значение не более 0,1 %. Для регулировки этого параметра Вы должны использовать только высококачественные конденсаторы ёмкостью больше 50  $\mu F$ . Кстати, я считаю, что значение точности измерения ёмкости электролитических конденсаторов неважно потому, что значение ёмкости зависит от температуры и напряжения постоянного тока при его эксплуатации.

**Селфтест (Режим самотеста)** Дополнительная функция «Селфтест» (Режим самотеста) позволяет сделать полную самопроверку с калибровкой. Производится самопроверка по тестам T1 - T7 и калибровка с внешним конденсатором.

**Волтаге (вольтметр)** Дополнительная функция «Волтаге» (вольтметр) доступна, только если отключена функция последовательного порта или используется АТмега с не менее чем 32 выводами (ПЛЦЦ) и один из дополнительных портов АДЦ6 или АДЦ7 используется для измерения. Так как к порту ПЦЗ (или АДЦ6/7) АТмега подключен делитель 10:1, то максимальное внешнее напряжение может быть не более 50 V. Установленный ДЦ-ДЦ преобразователь для теста стабилитронов может быть включен при нажатии кнопки **ТЕСТ**. Таким образом, стабилитроны тоже могут быть измерены. При установленном параметре ПОЩЕР\_ОФФ в Макефиле и без нажатия кнопки **ТЕСТ** продолжительность

измерения ограничена до 4 минут. Измерение может быть закончено также очень длительным (> 4 с) нажатием кнопки **ТЕСТ**.

**Цонтраст (контрастность)** Этой функцией можно выбрать уровень контраста для графических дисплеев с контроллерами которые поддерживают программную регулировку контраста. Значение может быть уменьшено при очень коротком нажатии кнопки **ТЕСТ** или поворотом влево энкодера. Длительным нажатием кнопки **ТЕСТ** (> 0,4 с) или поворотом вправо энкодера можно увеличить уровень. Выход и запоминание выбранного значения в энергонезависимой памяти ЕЕпром осуществляется очень длительным нажатием кнопки **ТЕСТ** (> 1.3 с).

**БацкЦолор (цвет фона)** Для возможности выбора цвета фона в цветных дисплеях этот пункт меню необходимо активировать с помощью опции ЛЦД\_ЧАНГЕ\_ЦОЛОР в макефиле. Должен быть установлен энкодер. Вы можете выбрать красный, зеленый и синий цвет при более длительном удержании кнопки. Интенсивность выбранного цвета, отмеченного значком » в колонке 1, может быть изменена путем поворота энкодера.

**ФронтЦолор (цвет выводимой информации)** Для возможности выбора цвета выводимого шрифта и символов в цветных дисплеях этот пункт меню необходимо активировать с помощью опции ЛЦД\_ЧАНГЕ\_ЦОЛОР в макефиле. Должен быть установлен энкодер. Вы можете выбрать красный, зеленый и синий цвет при более длительном удержании кнопки. Интенсивность выбранного цвета, отмеченного значком » в колонке 1, может быть изменена путем поворота энкодера.

**Шоцдата (Информация о ТТ)** Функция «Шоцдата» (Информация о ТТ), кроме номера версии программного обеспечения, показывает данные калибровки. Нулевое сопротивление (Р0) между тестовыми площадками 1: 3, 2: 3 и 1: 2, соответственно. Кроме того, отображает сопротивление выходов портов по отношению к (5 V) напряжению питания (РиХи) и по отношению к (0 V) ГНД (РиЛо). Так же показывает значения нулевой ёмкости (Ц0) во всех комбинациях тестовых площадок (1: 3, 2: 3, 1: 2 и 3: 1, 3: 2 2: 1). Затем отображающиеся значения коррекции для компаратора (РЕФ\_Ц) и для опорного напряжения (РЕФ\_Р). Для графических дисплеев, также будут показаны все применяемые иконки и символы используемого шрифта. Каждая страница отображается в течение 15 секунд, но, Вы можете выбрать следующую страницу нажатием кнопки **ТЕСТ** или поворотом энкодера вправо. Поворотом энкодера влево, Вы можете посмотреть последнюю страницу или вернуться на предыдущую страницу.

**Сщитч офф** Дополнительная функция «Сщитч офф» позволяет выключить Тестер немедленно.

**Трансистор (тестер транзисторов)** Конечно, Вы также можете выбрать функцию «Трансистор» (тестер транзисторов), чтобы вернуться к нормальному режиму измерений Тестера.

При установленном параметре ПОЩЕР\_ОФФ в Макефиле, все дополнительные функции ограничены во времени, чтобы предотвратить разряд батареи.

### 3.3 Самопроверка и калибровка

Если программное обеспечение конфигурирующее с функцией самопроверки, то самопроверка может быть запущена при соединении всех трёх испытательных портов вместе и нажатии кнопки **ТЕСТ**. Чтобы начать самопроверку необходимо в течение 2-х секунд повторно нажать кнопку **ТЕСТ**, иначе Тестер продолжит нормальные измерения.

Если самопроверка запущена, то будут проведены все тесты самопроверки, представленные в главе 5.5.

Если тестер сконфигурирован с активированным меню дополнительных функций (опция **ЩИТХ\_МЕНУ**), полная самопроверка, тест T1 - T7, выполняющаяся только при выборе функции «Селфтест» из меню дополнительных функций. Кроме того, при каждом вызове функции из меню, производящая калибровка с внешним конденсатором. В противном случае эта часть калибровки делающаяся только первый раз. Таким образом, автоматическую калибровку можно осуществить быстрее.

Повторения тестов самопроверки можно избежать, если нажать и удерживать кнопку **ТЕСТ**. Таким образом, Вы можете пропустить не интересующие Вас тесты самопроверки, и наблюдать интересующие Вас тесты самопроверки, отпуская кнопку **ТЕСТ**. Тест 4 закончивающийся автоматически, если Вы разъедините все три испытательных порта (удалите «закоротку»).

Если в Макефиле выбрана функция **АУТО\_ЦАЛ**, в режиме самопроверки будет откалибровано смещение нуля для измерения ёмкости. Для задачи калибровки важно, что бы «закоротка» между тремя испытательными портами была удалена во время теста 4. Во время калибровки (после теста 6), Вы не должны прикасаться ни к одному из испытательных портов или подключенных кабелей. Шупы должны быть теми же самыми, которые будут использоваться для дальнейших измерений. Иначе смещение нуля для измерения ёмкости не будет правильно скомпенсировано. Величина внутреннего сопротивления порта определяющаяся в начале каждого измерения с этой опцией.

Если Вы выбрали функцию самплингАДЦ в Макефиле опцией «**ЩИТХ\_СамплингАДЦ 1**», два специальных шага включающиеся в калибровочную процедуру. После измерения нулевых значений ёмкости, также проводящая измерение нулевых значений ёмкости для функции самплингАДЦ (**Ц0самп**). В последнем шаге калибровки требуется установка конденсатора в тестовые контакты ТП 1 и ТП 3 для дальнейшего теста катушек с малой индуктивностью  $1\text{---}3 \ 10\text{-}30\text{nF}[\mu\text{H}]$ . Значение ёмкости этого конденсатора должно быть между  $10\text{ nF}$  и  $30\text{ nF}$ , для получения резонансной частоты при последующем испытании индуктивностей менее чем  $2\text{ mH}$  с параллельным подключением в контур этого же конденсатора. Для теста катушек с более чем  $2\text{ mH}$  индуктивностью обычный метод измерения должен дать достаточную точность. Использовать параллельное соединение конденсатора для этого метода измерения не эффективно.

После измерение нулевых значений ёмкости потребуя высококачественный конденсатор с любым значением между  $100\text{ nF}$  и  $20\text{ }\mu\text{F}$ . Когда на дисплее отобразится текст  $1\text{---}3 >100\text{nF}$ , Вы должны подсоединить к испытательным выводам ТП 1 и ТП 3 подготовленный конденсатор. Конденсатор следует подключать не раньше, чем это сообщение отобразится на дисплее. С помощью этого конденсатора, будет скомпенсировано напряжение смещения аналогового компаратора, для более точного измерения ёмкости. Дополнительный выигрыш для измерений АЦП при использовании внутреннего ИОН, с тем же самым конденсатором, дает применение опции **АУТОСЦАЛЕ\_АДЦ** для получения лучших результатов измерения резисторов.

Если функция самопроверки не запрограммирована для выбора из дополнительного меню, то калибровка с внешним конденсатором производится при первой калибровке. Калибровку с внешним конденсатором можно повторить, выбрав соответствующий пункт дополнительного меню.

Смещение нуля для измерения ЕСР будет задано выбором опции ЕСР\_ЗЕРО в Макефиле. Нулевые значения ЕСР для всех трёх комбинациях выводов определяются при каждой самопроверке. Этот метод измерения ЕСР используется также при измерении величин резисторов ниже  $10\ \Omega$  с разрешением  $0,01\ \Omega$ .

### 3.4 Специальные возможности использования

При включении Тестер показывает напряжение батареи питания. Если напряжение ниже предела, то после напряжения батареи отображается предупреждение. Если Вы используете 9 V аккумулятор, то его необходимо как можно скорее заменить или перезарядить. Если Вы используете Тестер с 2,5 V ИОН, то во второй строке в течение 1 секунды будет отображено напряжение питания в виде «ВЦЩш.шшВ».

Конденсаторы должны быть разряжены перед каждым измерением. Иначе Тестер может быть повреждён еще до того, как будет нажата кнопка **ТЕСТ**. При измерении элементов без демонтажа, оборудование должно быть полностью отключено от источника питания. Кроме того, Вы должны быть уверены, что остаточное напряжение в оборудовании ощущается. У каждого электронного оборудования внутри есть конденсаторы!

При попытке измерить малые величины резисторов, Вы должны учитывать сопротивление разъёмов и кабелей. Очень важно качество и состояние разъёмов, а также, сопротивление кабелей, используемых для измерения. То же самое надо учитывать при измерении ЕСР конденсаторов. При использовании тонкого кабеля величина ЕСР  $0,02\ \Omega$  может вырасти до  $0,61\ \Omega$ . Если возникает необходимость в подключении испытательных щупов, то необходимо обеспечить надежное подключение или их припаять. Тогда не обязательно каждый раз делать перекалибровку для измерения конденсаторов с малыми ёмкостями, если измерения проводятся с или без измерительных щупов. Для калибровки нулевых сопротивлений это значение имеет, если измерения проводятся с подключением выводов непосредственно в разъеме тестера или на концах измерительных щупов. Только в последнем случае сопротивление кабеля и зажимов щупов будет учтено при перекалибровке. Если у Вас есть сомнения, то Вы можете проверить сопротивление замкнутых щупов при предварительной калибровке с использованием перемычек непосредственно в разъеме тестера.

Не стоит ожидать от Тестера высокой точности результатов, особенно при измерении ЕСР и индуктивности. Вы можете ознакомиться с результатами моей серии испытаний в главе 5 на странице 68.

### 3.5 Проблемы при определении элементов

Вы должны иметь в виду, интерпретируя результаты измерения, что схема Тестера разработана для слаботочных полупроводников. В нормальных условиях измерения измерительный ток может достигнуть приблизительно  $6\ mA$ . Мощные полупроводники часто имеют трудности с идентификацией и измерением величины ёмкости перехода из-за тока утечки. Тестер так же не может выдать достаточно тока для открывания или удержания мощных тиристоров или

симисторов. Таким образом, тиристор может быть определен как Н-П-Н транзистор или диод. Также возможно, что тиристор или симистор определяются как неизвестный элемент.

Другая проблема - идентификация полупроводников со встроенным резистором. Например, диод база-эмиттер транзистора БУ508Д не может быть определен из-за параллельно подсоединеного внутреннего резистора на  $42\ \Omega$ . Поэтому параметры транзистора также не могут быть измерены. Также есть проблема с обнаружением мощных транзисторов Дарлингтона. Часто встречающиеся внутренние резисторы база - эмиттер, которые усложняют идентификацию элемента при малом измерительном токе.

### 3.6 Измерение транзисторов Н-П-Н и П-Н-П

Для нормального измерения три вывода транзистора подключаются в любой последовательности к испытательным входам Тестера. После нажатия на кнопку **ТЕСТ** Тестер показывает в первой строке тип (Н-П-Н или П-Н-П), возможный встроенный защитный диод коллектор-эмиттер и последовательность выводов. Диодный символ показывается в правильной полярности. Вторая строка показывает коэффициент усиления  $\beta$  или  $hFE$  и ток, при котором при котором этот коэффициент определен. Если используется шема измерения с общим эмиттером для определения  $hFE$ , то тестер отобразит ток коллектора  $I_C$ . Если используется общий коллектор для определения коэффициента усиления, то будет показан ток эмиттера  $I_E$ . Следующие параметры выводятся последовательно друг за другом во второй строке для двухстрочных дисплеев. Для дисплеев с большим количеством сток следующие параметры выводятся до заполнения последней строки. Если для вывода всей информации строк дисплея не достаточно, то последующая информация выводится в последней строке через некоторое время или, раньше, по нажатию кнопки **ТЕСТ**. Если имеется больше параметров для отображения чем строк в дисплее, то символ  $\ddot{\wedge}$  отображается в последней строке. Следующим отображается пороговое напряжение база-эмиттер. Если возможно измерить обратный ток коллектора при разомкнутой базе  $I_{CEO}$  и обратный ток коллектора при замкнутых выводах базы и эмиттера  $I_{CES}$  то эти значения также будут отображены. Если защитный диод установлен, падение напряжения  $U_f$  будет показано, как последний параметр. В шеме с общим эмиттером у Тестера есть только два варианта, чтобы задать базовый ток:

1. Резистор на  $680\ \Omega$  ограничивает базовый ток приблизительно величиной  $6,1\ mA$ . Этот ток слишком велик для маломощных транзисторов с большим значением  $\beta$ , потому что база насыщается. Поскольку ток коллектора также измеряется через резистор  $680\ \Omega$  то ток коллектора не может достигнуть величины, определяемой большим значением  $\beta$ . Версия программного обеспечения от Маркус Ф. измеряет пороговое напряжение база-эмиттер по этой шеме (Уф...).
2. Резистор на  $470\ k\Omega$  ограничивает базовый ток величиной  $9,2\ \mu A$ . Версия программного обеспечения от Маркус Ф. вычисляет  $\beta$  по этой шеме (ХФЕ 1...).

Программное обеспечение Тестера измеряет величину  $\beta$  дополнительно по шеме с общим коллектором. На дисплей выводится наибольшее значение из обоих методов измерений. Шема с общим коллектором имеет преимущество, т. к. базовый ток уменьшен отрицательной обратной связью, соответствующей величине  $\beta$ . В большинстве случаев, более точный результат измерения, может быть достигнут этим методом для мощных транзисторов с резистором на  $680\ \Omega$  и для транзисторов Дарлингтона с резистором на  $470\ k\Omega$ . Пороговое напряжение база-эмиттер Уф теперь измеряется при том же самом токе, что и для определения величины  $\beta$ . Однако, если Вы хотите узнать пороговое напряжение база-эмиттер с током измерения приблизительно  $6\ mA$ ,

то Вы должны отключить коллектор и сделать новое измерение. При этом подключении на дисплей выводится пороговое напряжение база-эмиттер при токе 6 mA. Так же на дисплей выводится ёмкость в обратном включении перехода (диода). Конечно, Вы таким же образом можете проанализировать переход (диод) база-коллектор.

В германиевых транзисторах измеряется обратный ток коллектора при разомкнутой базе  $I_{CEO}$  и обратный ток коллектора при короткозамкнутых выводах базы и эмиттера  $I_{CES}$ . Обратный ток коллектора отображается во второй строке индикатора перед отображением  $\beta$  в течение 5 секунд или до следующего нажатия на кнопку **ТЕСТ** (только для ATmega328).

При охлаждении германиевого транзистора обратный ток может уменьшиться.

### 3.7 Измерение JFET и транзисторов Д-МОС

Поскольку структура типа JFET симметрична, исток и сток этого транзистора не могут быть определены. Обычно один из параметров этого транзистора - ток транзистора с затвором, на том же уровне напряжения, как и исток (затвор соединен с истоком). Этот ток часто выше, чем ток, который может быть достигнут в шеме измерения с резистором на 680 Ω. По этой причине резистор на 680 Ω подключен к истоку. Таким образом, с ростом тока истока на затворе получают отрицательное напряжение смещения. Тестер показывает ток истока в этой шеме и, дополнительно, напряжение смещения затвора. Таким образом, могут быть выделены различные модели. Транзисторы Д-МОС (обеднённый) измеряются тем же методом.

### 3.8 Измерение Е-МОС транзисторов и ИГБТ

Вы должны знать, что для обогащенных МОС транзисторов (П-Е-МОС или Н-Е-МОС) с малой величиной ёмкости затвора, измерение порогового напряжения затвора ( $V_{th}$ ) является более сложным. Вы можете получить более точную величину этого напряжения, если подсоедините конденсатор величиной в несколько nF, параллельно к переходу затвор-исток. Пороговое напряжение затвора будет измерено при токе приблизительно 3,5 mA для П-Е-МОС и 4 mA для Н-Е-МОС. РДС или, правильнее,  $R_{DSon}$  для Е-МОС транзисторов измеряется с напряжением затвора почти 5 V, что, вероятно, не является самым низким значением. Кроме того, сопротивление РДС определяется при низком токе стока, что ограничивает возможность точного определения значения сопротивления. Часто в случае ИГБТ, а иногда и с улучшенными МОП-транзисторами доступных в тестере 5 V недостаточно для управления транзистором через затвор. В этом случае батарея, примерно 3 V, поможет сделать обнаружение и измерения с помощью тестера. Батарея подключается к затвору транзистора одним полюсом, а другой полюс батареи подключается к тестовому порту (ТП) вместо затвора транзистора. Если батарея подключена с правильной полярностью, напряжение батареи добавляется к управляющему напряжению тестера, и обнаружение транзистора более вероятно. Значение напряжения батареи должно быть добавлено к измеренному тестером пороговому напряжению затвора, для получения правильного итогового порогового напряжения этого компонента.

### 3.9 Измерение ёмкости конденсаторов

Значения ёмкости всегда вычисляются из постоянной времени по течению операции заряда конденсатора через встроенный резистор. Для небольших конденсаторов использующиеся резисторы 470 kΩ при измерении времени до достижения порогового напряжения. При тестировании

больших, ( $10 \mu F$  и более) конденсаторов оценивающая время при зарядке импульсами с резисторами  $680 \Omega$  и вычисляющая ёмкость. Совсем небольшая величина ёмкости может быть измерена с помощью метода самплингАДЦ. Для анализа импульс зарядки повторяющаяся много раз, напряжение контролирующее с временным сдвигом АЦП АДЦ С'Х с использованием тактов процессора. Для полного преобразования АЦП, с другой стороны нужно 1664 циклов процессора! До 250 значений АЦП определяющая и рассчитывающая от кривой напряжения ёмкости. Если функция самплингАДЦ была включена в Макефиле, все конденсаторы  $100 pF$  измеряющие методом самплингАДЦ (цифровой-метр режим [Ц]). При тактовой частоте 16 MHz можно получить точность до  $0,01 pF$ . Процесс калибровки нулевой ёмкости представляет собой особую проблему. Метод определения ёмкости самплингАДЦ применен всегда, когда Вы видите результат измерения ёмкости в  $pF$ . Между прочим, ёмкость переходов отдельных диодов может быть измерена с помощью этого метода. Поскольку метод может измерять ёмкость и при зарядке и при разрядке, два значения измерений ёмкости отображаются. Из-за разной ёмкости направления переходов диода, значения различаются.

### 3.10 Измерение индуктивности

Нормальное измерение индуктивности основано на измерении постоянной времени при росте тока. Предел обнаружения составляет около  $0,01 mH$ , если сопротивление катушки ниже  $24 \Omega$ . Для большего сопротивления разрешение составляет только  $0,1 mH$ . Если сопротивление выше  $2,1 k\Omega$ , этот метод не может быть использован для измерения индуктивности. Результаты измерений отображаются во второй строке (сопротивление и индуктивность). С помощью метода самплингАДЦ и резонансной частоты могут быть измерены катушки с большими значениями индуктивности. Если эффект обнаружен, измеренное значение частоты и добротности Ч отображается дополнительно в строке 3.

Метод измерения резонансной частоты может быть использован для определения значения индуктивности, если достаточно большой конденсатор с известной ёмкостью подключен параллельно малой индуктивности ( $<2 mH$ ).

При параллельном подключении к измеряемой индуктивности конденсатора использующий метод резонансной частоты, индуктивность нормального измерения в этом случае не отображается, а значение сопротивления отображается в строке 1. Для этого резонансного контура добротность Ч также вычисляется и её значение отображается за значением частоты, в строке 3. Этот тип измерения индуктивности можно определить по первой позиции в строке 2, за которым следует текст « иф » и далее значение предполагаемой, параллельно подключенной, ёмкости.

Значение ёмкости этого параллельного конденсатора, в настоящее время, может быть задано только ёмкостью конденсатора, который был использован во время проведения калибровки (1—3 10 –  $30nF(L)$ ).

Для дисплеев с двумя строчками, контент для третьей строки показывается с временной задержкой в строке 2.

# Глава 4

## Программирование Тестера

### 4.1 Конфигурирование Тестера

Пакет программного обеспечения для Тестера доступен с исходными кодами. Компиляцией модулей управляют с помощью Макефиле. Разработка была сделана в операционной системе Линуш Убунту с ГНУ тоолчайн (гцц версия 4.5.3). Можно использовать и другие операционные системы, например, Щиндощс. Чтобы загрузить скомпилированные данные во Флаш память и память ЕЕпром программойavrдуде (версия 5.11свн) загружают Макефиле и указывают «маке upload». Программаavrдуде [13] доступна для операционных систем Линуш и Щиндощс. Ц-компилятор ГНУ гцц также поддерживает программным обеспечением АВР Студио и ЩинАВР [17],[18] в операционной системе Щиндощс. Вы можете запрограммировать АТмега данными (.хеш и.ееп) также и другими инструментами, но только моя версия Макефиле автоматически загрузит правильные данные в выбранный микроконтроллер.avrдуде загружает данные в АТмега, если Сигнатура Бытес, подключённого АТмега, идентичны выбранному. Если Вы измените Макефиле, то все программное обеспечение нужно будет скомпилировать вновь, указав команду «маке» или «маке upload». Программное обеспечение, скомпилированное для АТмега8, не работает на АТмега168. Программное обеспечение, скомпилированное для АТмега328, не работает на АТмега168! Исключением из этого правила является программное обеспечение, скомпилированное для АТмега168, эти данные могут также использоваться для АТмега328 без изменений. Будьте внимательны, если Вы не используете мой Макефиле.

При правильном выборе установок, мое программное обеспечение запускается на недоработанных аппаратных средствах от Маркус Ф. Вы должны установить ПАРТНО1М8, и НЕ устанавливать опции НО\_АРЕФ\_ЦАП и ПУЛЛУП\_ДИСАБЛЕ. Тактовая частота может также быть установлена 8 MHz с фьюзами, указывающими, что кварц не требуется!

Для конфигурирования программного обеспечения Вашего Тестера доступны следующие опции, определенные в Макефиле.

**ПАРТНО** Описывает целевой микроконтроллер:

м8 1 АТмега8  
м168 оп м168п 1 АТмега168  
м328 оп м328п 1 АТмега328  
м644 оп м644п 1 АТмега644  
м1284п 1 АТмега1284  
м1280 1 АТмега1280  
м2560 1 АТмега2560  
Пример: ПАРТНО 1 м168

**ЩИТХ\_МЕНУ** Активирует меню выбора функций для АТмега328. Вы сможете выбрать некоторые дополнительные функции работы прибора из меню при длительном (> 0,5 s) нажатии кнопки **ТЕСТ**.

Пример: ЦФЛАГС Ы -ДЩИТХ\_МЕНУ

**МАШ\_МЕНУ\_ЛИНЕС** Эта опция указывает максимальное количество строк для выбора отображаемых функций меню. Обычно количество строк выводится в соответствии с количеством строк дисплея. Поскольку пунктов меню больше чем строк доступных на дисплее, выбор циклически прокручиваеца. Обработка вывода на дисплей во время циклического обмена требует значительного времени, особенно для больших цветных многострочных дисплеев. Ограничивая количество строк этой опцией, время вывода во время выбора меню может быть уменьшено, что ускоряет работу. Значение для этой опции по умолчанию равно 5.  
Пример: ЦФЛАГС й1 -ДМАШ\_МЕНУ\_ЛИНЕС13

**ЩИТХ\_РОТАРЫ\_СЩИТЧ** Использование поворотного инкрементального энкодера в качестве опции для быстрого доступа в меню дополнительных функций (смотрите описание 2.6 в разделе Улучшения и расширения к прибору). Если количество циклов переключения контактов, за каждый оборот Вашего энкодера, соответствует количеству фиксированных позиций, Вы должны установить значение ЩИТХ\_РОТАРЫ\_СЩИТЧ12 или 3. Если полный цикл переключения требует поворота энкодера на две фиксированные позиции, то опцию ЩИТХ\_РОТАРЫ\_СЩИТЧ нужно установить 11. Установка опции ЩИТХ\_РОТАРЫ\_СЩИТЧ равной 5 выбирает максимальное разрешения энкодера. Каждый цикл переключения в двух каналах дает 4 результата состояния счетчиков. Обычно этот параметр полезен только для энкодеров без фиксации. Значение опции ЩИТХ\_РОТАРЫ\_СЩИТЧ равной 4 необходимо, если установлено две отдельные кнопки «Вверх» и «Вниз» вместо энкодера. Не используйте значение 4 если у Вас установлен энкодер!

Пример: ЦФЛАГС й1 -ДЩИТХ\_РОТАРЫ\_СЩИТЧ11

**ЧАНГЕ\_РОТАРЫ\_ДИРЕЦТИОН** Опция позволяет программно изменить направление движения курсора при повороте энкодера. Опция ЧАНГЕ\_РОТАРЫ\_ДИРЕЦТИОН равнозначна физической перестановке выводов каналов энкодера.

Пример: ЦФЛАГС й1 -ДЧАНГЕ\_РОТАРЫ\_ДИРЕЦТИОН

**РОТАРЫ\_2\_ПИН1ПЦ** Опция позволяет программно изменить назначение порта ПБ. Лучшее решение для подключения инкрементального энкодера это порт ПБ и ПС. Так как первый проект использовал ПЦ вместо ПБ, то вернуться к старому варианту Вы можете, переопределив ПБ и установив следующую опцию настройки по умолчанию: ЦФЛАГС й1 -ДРОТАРЫ\_2\_ПИН1ПЦ Для второго канала энкодера можно использовать любой свободный порт ПД указав его номер.

Пример: ЦФЛАГС й1 - ДРОТАРЫ\_2\_ПИН1ПЦ

**УИ\_ЛАНГУАГЕ** Определяет выбранный язык

В настоящее время доступны:

ЛАНГ\_БРАСИЛ, ЛАНГ\_ЦЗЕЧ, ЛАНГ\_ДАНИШ, ЛАНГ\_ДУТЧ, ЛАНГ\_ЕНГЛИШ, ЛАНГ\_ГЕРМАН, ЛАНГ\_ХУНГАРИАН, ЛАНГ\_ИТАЛИАН, ЛАНГ\_ЛИТХУАНИАН, ЛАНГ\_ПОЛИШ, ЛАНГ\_РУССИАН, ЛАНГ\_СЛОВАК, ЛАНГ\_СЛОВЕНЕ, ЛАНГ\_СПАНИШ и ЛАНГ\_УКРАИНИАН. Русский или украинский язык требует ЛЦД-дисплей с кириллической кодировкой.

Пример: УИ\_ЛАНГУАГЕ 1 ЛАНГ\_РУССИАН

**ЛЦД\_ЦЫРИЛЛИЦ** Необходима для некоторых ЛЦД-дисплеев с кодировкой для европейских или кириллических языков. Символы  $\mu$  и  $\Omega$  ощущают в их кодировке. Если Вы выбрали эту опцию, то оба символа отображаются на ЛЦД-дисплее программно.

Пример: ЦФЛАГС й1 -ДЛЦД\_ЦЫРИЛЛИЦ

**ЛЦД\_ДОГМ** Должна быть установлена, если применяется ЛЦД-дисплей с контроллером СТ7036 (тип ДОГ-М). Контрастность ЛЦД-дисплея устанавливают командами программного обеспечения

Если значение контраста изменено не корректно и на дисплее ничего не видно, то Вы можете попытаться его отрегулировать при просмотре дисплея под большим углом. Если и это не решило проблему, то надо переписать содержимое ЕЕПРОМ при помощи ИСП программатора.

Пример: ЦФЛАГС Ъ1 -ДЛЦД\_ДОГМ

**ФОУР\_ЛИНЕ\_ЛЦД** Предусматривает установку символьного 4ш20 ЛЦД для более детального отображения дополнительной информации. Для графических контроллеров 128x64 установка этой опции не обязательна, так как для них информация выводится всегда в четыре строки.  
Пример: ЦФЛАГС Ъ1 -ДФОУР\_ЛИНЕ\_ЛЦД

**ДД\_РАМ\_ОФФСЕТ** Некоторые символные дисплеи используют различные ДД-РАМ стартовые адреса для начала каждой строки. Обычно для строки 1 начальный адрес ДД-РАМ 0. Некоторые дисплеи, например ТТ604 или ТТ602 используют 128 (0ш80) для начала строки 1. Эта опция может разрешить такую проблему.

Пример: ЦФЛАГС Ъ1 -ДД\_РАМ\_ОФФСЕТ 1 128

**ЛЦД\_ЛИНЕ\_ЛЕНГТХ120** Задает количество символов, выводимых в одну строку для отображения на ЛЦД. Следует заметить, что для графических индикаторов 128x64 выводится 16 символов в строку. Этот параметр игнорируется для таких индикаторов.

Пример: ЦФЛАГС Ъ1 -ДЛЦД\_ЛИНЕ\_ЛЕНГТХ120

**ДПАГЕ\_МОДЕ** При применении индикатора 4ш20 ЛЦД или графического индикатора 128x64 точек, позволяет изменить способ выбора пунктов меню: неподвижный курсор в третьей строке с перемещением пунктов меню или перемещаемый курсор по пунктах меню.

Пример: ЦФЛАГС Ъ1 -ДПАГЕ\_МОДЕ

**ЩИТХ\_ЛЦД\_СТ7565** Эта опция должна устанавливаться при использовании графического 128ш64 точек ЛЦД с контроллером СТ7565, который подключен по последовательному интерфейсу СПИ или И<sup>2</sup>Ц. Для этого типа дисплея должны быть установлены дополнительные параметры, которые указаны в таблице 4.1. При использовании контроллера СТ7565 Вы должны установить значение этого параметра 1 или 7565. Вы также можете использовать совместимый контроллер ССТ6306 вместо контроллера СТ7565. Это должно быть сделано путем установки переменной ЩИТХ\_ЛЦД\_СТ7565 1 1306. Поддерживаются дисплеи с контроллером ПЦФ8812 или ПЦФ8814, если опция установлена правильно. Также может быть подключен дисплей с контроллером СТ7920 или НТ7108. Для контроллера НТ7108 нужно использовать последовательно-параллельный преобразователь интерфейсов 74ХЦ(T)164 или 74ХЦ(T)595.

Пример: ЩИТХ\_ЛЦД\_СТ7565 1 1

**ЛЦД\_ИНТЕРФАЦЕ\_МОДЕ** Для контроллера ССТ6306 возможно использование интерфейса И<sup>2</sup>Ц с адресом 0ш3ц вместо 4-проводного СПИ интерфейса. Для использования такой возможности, значение параметра ЛЦД\_ИНТЕРФАЦЕ\_МОДЕ установите равным 2. Для контроллера СТ7920, при подключении по специальному последовательному интерфейсу, этот параметр должен быть установлен равным 5. Все возможные, на текущий момент, значения ЛЦД\_ИНТЕРФАЦЕ\_МОДЕ и ЩИТХ\_ЛЦД\_СТ7565 указаны в таблице 4.1.

Тип дисплея	Интерфейс	ЩИТХ_ЛЦД_СТ7565	ЛЦД_ИНТЕРФАЦЕ_МОДЕ
символьный 16ш2, символьный 20ш4	4-Бит параллел 4-Бит SPI I <sup>2</sup> C	Параметр отключён (0)	Параметр отключён (1) 4 2
графический СТ7565	4-Бит SPI	1 или 7565	Параметр отключён (4)
графический СТ7565	I <sup>2</sup> C	1 или 7565	2
графический ССТ306	4-Бит SPI	1306	Параметр отключён (4)
графический ССТ306	I <sup>2</sup> C	1306	2
графический СТ7920	4-Бит параллел	7920	Параметр отключён (1)
графический СТ7920	2-Бит сериаl	7920	5
графический НТ7108 или КС0108	8-Бит параллел и 74ХЦТ164	7108	Параметр отключён (6)
графический ПЦФ8812	SPI	8812	Параметр отключён (4)
графический ПЦФ8814	SPI I <sup>2</sup> C 3-проводной	8814 8814 8814	Параметр отключён (4) 2 3
графический ИЛИ9163 128ш128 Цолор	4-Бит SPI	9163	Параметр отключён (4)
графический СТ7735 128ш160 Цолор	4-Бит SPI	7735	Параметр отключён (4)

Таблица 4.1. Настройка интерфейса подключаемого дисплея

В таблице значение кода в скобках указано для справки и используеца внутрипрограммно. По этому, параметр, значение которого указано в скобках, при использовании такого дисплея должен быть отключён в макефиле.

Пример: ЦФЛАГС ы -ДЛЦД\_ИНТЕРФАЦЕ\_МОДЕ12

**ЛЦД\_SPI\_ОПЕН\_ЦОЛ** С опцией ЛЦД\_SPI\_ОПЕН\_ЦОЛ уровень сигнала данных SPI интерфейса не достигает непосредственно уровня ВЦЦ. Низкий уровень сигнала равен уровню ГНД, а высокий уровень ограничен использованием «подтягивающих» резисторов АТмега. Если опция ПУЛЛУП\_ДИСАБЛЕ установлена, то требуеца внешний резистор для сигнала РЕСЕТ. Для других сигналов внутренние «подтягивающие» резисторы АТмега используюся, даже если опция ПУЛЛУП\_ДИСАБЛЕ установлена.

Пример: ЦФЛАГ ы -ДЛЦД\_SPI\_ОПЕН\_ЦОЛ

**ЛЦД\_I2C\_АДДР** Адрес для контроллера ССТ306 при подключении по интерфейсу I<sup>2</sup>C . Вы можете выбрать два варианта: 0ш3ц если вывод контроллера Д/Ц подключен к ГНД и 0ш3д если к ВЦЦ.

Пример: ЦФЛАГС ы -ДЛЦД\_I2C\_АДДР10ш3д

**ЛЦД\_СТ7565\_РЕСИСТОР\_РАТИО** Эта опция позволяет выбирать соотношение резисторов, для внутреннего регулятора напряжения контроллера СТ7565. На практике обычно эти значения от 4 до 7. Возможна установка значений от 0 до 7.

Пример: ЛЦД\_СТ7565\_РЕСИСТОР\_РАТИО 1 4

**ЛЦД\_СТ7565\_X\_ФЛИП** Эта опция позволяет перевернуть выводимое на ЛЦД изображение по горизонтали. Возможные значения: 0 - без поворота; 1 - с переворотом.

Пример: ЦФЛАГС ы -ДЛЦД\_СТ7565\_X\_ФЛИП 1 1

**ЛЦД\_СТ7565\_X\_ОФФСЕТ** Горизонтальное адресное пространство контроллера (132) больше чем видимая область ЛЦД (128). В зависимости от конструктивной особенности модуля, для правильного отображения, может понадобиться задать значения 0, 2 или 4.

Пример: ЦФЛАГС Ъ1 -ДЛЦД\_СТ7565\_X\_ОФФСЕТ 1 4

**ЛЦД\_СТ7565\_В\_ФЛИП** Эта опция позволяет перевернуть выводимое на ЛЦД изображение по вертикали. Значение 0 - без переворота, 1 - с переворотом изображения по вертикали.

Пример: ЦФЛАГС Ъ1 -ДЛЦД\_СТ7565\_В\_ФЛИП 1 1

**ВОЛУМЕ\_ВАЛУЕ** Для контроллеров СТ7565 или ССТ306 можно переопределить значение контрастности. Для контроллера СТ7565 значение должно быть между 0 и 63. Для контроллера ССТ306 значение нужно выбрать от 0 до 255.

Пример: ЦФЛАГС Ъ1 -ДВОЛУМЕ\_ВАЛУЕ 1 25

**ЛЦД\_СТ7565\_Ы\_СТАРТ** С этой опцией Вы можете установить первую строку правильно, т.е. вверху экрана. Первая строка в некоторых версиях дисплеев смещена к середине видимой области. Для такого варианта дисплея, Вы можете сместить первую строку к верху видимой области, если опция установлена 32 (половина высоты видимой области).

Пример: ЦФЛАГС Ъ1 -ДЛЦД\_СТ7565\_Ы\_СТАРТ 1 32

**ЛЦД\_ЧАНГЕ\_ЦОЛОР** Эта опция расширяет функции меню и позволяет изменить цвет фона и цвет выводимой информации. Если значение установлено равным 2, то цвета синий и красный меняются местами. Вы можете выбрать эту опцию только для цветных дисплеев (контроллер СТ7735 или ИЛИ9163).

Пример: ЦФЛАГС Ъ1 -ДЛЦД\_ЧАНГЕ\_ЦОЛОР1

**ЛЦД\_БГ\_ЦОЛОР** Задав 16-битное значение, можно выбрать цвет фона. Как правило, старшие 5 битов использующиеся для красного цвета, средние 6 битов использующиеся для зеленого цвета, а младшие 5 битов использующиеся для синего цвета. Иногда биты для красного и синего цвета меняются местами. Вы можете выбрать эту опцию только для цветных дисплеев (контроллер СТ7735 или ИЛИ9163).

Пример: ЦФЛАГС Ъ1 -ДЛЦД\_БГ\_ЦОЛОР10ш000ф

**ЛЦД\_ФГ\_ЦОЛОР** Этим 16-битным значением Вы можете выбрать цвет выводимой информации. В приведенном примере – белый цвет для текста и символов. Вы можете выбрать эту опцию только для цветных дисплеев (контроллер СТ7735 или ИЛИ9163).

Пример: ЦФЛАГС Ъ1 -ДЛЦД\_ФГ\_ЦОЛОР10шффф

**ФОНТ\_8Ш16** Вы должны выбрать размер шрифта для графического контроллера. Доступны следующие размеры символов шрифтов с именем «ФОНТ\_» из нижеперечисленных (ширина X высота). Размеры 6Ш8, 8Ш8, 7Ш12, 8Ш12, 8Ш14, 8Ш15, 8Ш15тхин, 8Ш16 и 16Ш16тхин сейчас доступны. Шрифты 8x16 и 8x16тхин наиболее эффективно используют графическое пространство дисплея 128ш64 пикселя.

Пример: ЦФЛАГС Ъ1 -ДФОНТ\_8Ш16

**ЦФЛАГС Ъ1 -ДБИГ\_ТП** Опция позволяет незначительно увеличить шрифт номеров выводов ТП на графическом изображении.

Пример: ЦФЛАГС Ъ1 -ДБИГ\_ТП

**ЦФЛАГС Ъ1 -ДИНВЕРСЕ\_ТП** Опция позволяет вывести номера выводов на графическом изображении инверсно - «черное на белом». Использование опции ИНВЕРСЕ\_ТП автоматически отключает опцию БИГ\_ТП, поскольку требуется место для обрамления.

Пример: ЦФЛАГС Ъ1 -ДИНВЕРСЕ\_ТП

**СТРИП\_ГРИД\_БОАРД** Эта опция позволяет изменить назначения выводов порта D для подключения дисплея. Более подробное описание Вы можете найти в описании аппаратных средств главы 2.1 на странице 10. Вы также можете выбрать альтернативное подключение выводов ATmega к графическому индикатору. Для китайского клона «T5» Вы должны установить значение СТРИП\_ГРИД\_БОАРД15. При альтернативном назначении контактов для графического дисплея подключение кнопки **ТЕСТ** остается неизменным.

Пример: ЦФЛАГС й1 -ДСТРИП\_ГРИД\_БОАРД

**ЩИТХ\_СЕЛФТЕСТ** Если Вы выбираете эту опцию, программное обеспечение будет включать функцию самодиагностики. Самодиагностика будет начата, если Вы соедините все 3 испытательные порты вместе «перемычкой» и нажмете кнопку **ТЕСТ**. Если функция выбрана, запускающаяся только калибровка. Самодиагностика T1 - T7 возможна только при выборе функции из дополнительного меню.

Пример: ЦФЛАГС й1 -ДЩИТХ\_СЕЛФТЕСТ

**НО\_ТЕСТ\_T1\_T7** Эта опция отключает выполнение функций самодиагностики T1 - T7. Эти тесты самодиагностики полезны для обнаружения ошибок в аппаратных средствах, например, неправильного измерения сопротивлений или проблемы с изоляцией. Если Вы уверены, что оборудование исправно, то для ускорения калибровки Вы можете пропустить самодиагностику T1 - T7, установив эту опцию. При включеной опции тесты T1 - T7 самодиагностики запускаются только из дополнительного меню «Селфтест». Если с микроконтроллером ATmega168 использующим оба метода измерения xFE, то функции самодиагностики T1 - T7 пропускаются автоматически.

Пример: ЦФЛАГС й1 -ДНО\_ТЕСТ\_T1\_T7

**ШОРТ\_УНЦАЛ\_МСГ** Если тестер не откалиброван, то отображающееся сообщение для процессоров, по крайней мере, 32 K флэш-памяти. Это напоминание с кратким описанием, как тестер может быть откалиброван. Это описание не отображающееся, если Вы установите опцию ШОРТ\_УНЦАЛ\_МСГ в Макефиле. С этой опцией, тестер отображает только краткое напоминание, состоящее из одной строки. Это уменьшает требуемый объем флэш-памяти, а также время показа для пользователей, которые уже знают, как осуществить калибровку тестера.

Пример: ЦФЛАГС й1 -ДШОРТ\_УНЦАЛ\_МСГ

**НО\_ИЦОНС\_ДЕМО** Эта опция отключает дополнительную демонстрацию значков и вывод набора символов с помощью функции меню «Показать данные». Это уменьшает требуемый объем флэш-памяти, а также время отображения для пользователя.

Пример: ЦФЛАГС й1 -ДНО\_ИЦОНС\_ДЕМО

**ЩИТХ\_РОТАРЫ\_ЧЕЦК** Эта опция позволяет использовать дополнительную функцию меню для проверки поворотного энкодера. Для теста Вы должны подключить энкодер к тестовым контактам ТЬ, ТЪ и ТПЗ. Обратите внимание, что Вы не можете проверить встроенный энкодер тестера! Вы также можете использовать энкодер для удобства работы тестера с опцией ЩИТХ\_РОТАРЫ\_СЩИТЧ.

Пример: ЦФЛАГС й1 -ДЩИТХ\_РОТАРЫ\_ЧЕЦК

**НО\_ФРЕЧ\_ЦОУНТЕР** С помощью этой опции Вы можете отключить функцию частотомера тестера. Это особенно полезно, если контакт ПД4 (ATmega328) не может использоваться вместе с подключенным дисплеем. Соответствующая пункт в меню функций не будет отображаться. Это также сэкономит требуемый объем флэш-памяти.

Пример: ЦФЛАГС й1 -ДНО\_ФРЕЧ\_ЦОУНТЕР

**ЩИТХ\_ФРЕЧУЕНЦЫ\_ДИВИДЕР** Эта опция добавляет пункт меню для задания значения предделителя при измерении частоты. Коэффициент может быть выбран в 1: 1, 1: 2, 1: 4, 1: 8, 1:16, 1:32, 1:64 и 1: 128. Этот параметр полезен, если частота измеряется с использованием внешнего предделителя, подключённого к тестеру. Выводимое значение частоты и периода измерений будут учитывать выбранный коэффициент предделителя.

Пример: ЦФЛАГС Ы<sub>1</sub> -ДЩИТХ\_ФРЕЧУЕНЦЫ\_ДИВИДЕР

**ЩИТХ\_СамплингАДЦ** С этой опцией, тестер использует метод дискретизации АЦП при определенных измерениях. Используясь время дискретизации АЦП с шагом 1, 4 или 16 тактов процессора для повторяющихся сигналов и быстрые изменения напряжений могут быть оценены. Время зарядки маленьких конденсаторов ниже 100  $pF$  может контролироваться с разрешением 0,01  $pF$  при тактовой частоте процессора 16  $MHz$ . С помощью параллельно подключенного конденсатора, по резонансной частоте ЛЦ-контура, может быть определена индуктивность маленьких катушек ниже 2  $mH$ . Если ёмкость параллельного конденсатора известна, индуктивность катушки может быть рассчитана с высокой точностью, исходя из резонансной частоты. В качестве дополнения, по значению резонансной частоты, может быть оценена добротность Ч контура. Этую особенность можно включить установкой опции ЩИТХ\_СамплингАДЦ. При калибровке дополнительно измеряется нулевые значения ёмкости для метода дискретизации, и после этого измеряется значение ёмкости устанавливаемого конденсатора для ЛЦ-контура при определении индуктивности неизвестной катушки.

Пример: ЩИТХ\_СамплингАДЦ 1 1

**ЩИТХ\_ШТАЛ** Если функция СамплингАДЦ включена и в тестере установлен 16  $MHz$  кварц (ОП\_МХЗ 1 16), то эта опция позволяет тестировать кварцы и резонаторы. Если возможно, то определяются частоты для шем с параллельным и последовательным резонансом, а также параметр  $C_m$  – эквивалентная ёмкость механической колебательной системы резонатора.

Пример: ЦФЛАГС Ы<sub>1</sub> -ДЩИТХ\_ШТАЛ

**ЩИТХ\_УЖТ** Эта опция позволяет проводить дополнительные тесты для однопереходных транзисторов. Если функция СамплингАДЦ включена, тестер пытается построить генератор с тестируемым транзистором. Тип УЖТ обнаруживается и без функции СамплингАДЦ, но без опции ЩИТХ\_УЖТ однопереходные транзисторы определяются как двойной диод.

Пример: ЦФЛАГС Ы<sub>1</sub> -ДЩИТХ\_УЖТ

**ЩИТХ\_ПУТ** Эта опция позволяет проводить дополнительный тест программируемых однопереходных транзисторов (PUT). Без этого параметра PUT обычно определяется как биполярный транзистор.

Пример: ЦФЛАГС Ы<sub>1</sub> -ДЩИТХ\_ПУТ

**ФЕТ\_Идсс** Эта опция позволяет проводить дополнительные измерения для вычисления тока стока Идсс, если ток не выше 60  $mA$ . Оценка и расчет тока выполняются с примерно среднеквадратичной точностью.

Пример: ЦФЛАГС Ы<sub>1</sub> -ДФЕТ\_Идсс

**ФРЕЧУЕНЦЫ\_50Х3** Сигнал 50 Гц будет генерироваться на выводах испытательных портов 2 и 3 в течение одной минуты в конце самодиагностики. Эта опция должна быть установлена только для особых случаев - проверки функции задержки.

Пример: ЦФЛАГС Ы<sub>1</sub> -ДФРЕЧУЕНЦЫ\_50Х3

**НО\_ЦОММОН\_ЦОЛЛЕЦТОР\_XФЕ** Эта опция отключает метод измерения хФЕ транзисторов по шеме с общим коллектором. По умолчанию включены оба метода для измерения

**ХФЕ**, но в памяти программ микроконтроллера ATmega168 не хватает места для функций самодиагностики. С помощью этой опции Вы можете освободить память микроконтроллера ATmega168 для функций самодиагностики T1-T7.

Пример: ЦФЛАГС Ы1 -ДНО\_ЦОММОН\_ЦОЛЛЕЦТОР\_ХФЕ

**НО\_ЦОММОН\_ЕМИТТЕР\_ХФЕ** Эта опция отключает метод измерения ХФЕ транзисторов по шеме с общим эмиттером. По умолчанию включены оба метода для измерения ХФЕ, но в памяти программ микроконтроллера ATmega168 не хватает места для функций самодиагностики. С помощью этой опции Вы можете освободить память микроконтроллера ATmega168 для функций самопроверки T1-T7.

Пример: ЦФЛАГС Ы1 -ДНО\_ЦОММОН\_ЕМИТТЕР\_ХФЕ

**АУТО\_ЦАЛ** В процедуре самодиагностики будет дополнительно измерено смещение нуля при измерении ёмкости. Дополнительно будут измерены смещение аналогового компаратора (РЕФ\_Ц\_КОРР) и (РЕФ\_Р\_КОРР) напряжение смещения внутреннего опорного напряжения, если Вы подключите качественный конденсатор с величиной ёмкости от 100  $nF$  до 20  $\mu F$  к выводам испытательных портов 1 и 3 после измерения смещения нуля при измерении ёмкости. Все найденные величины будут записаны в EEPROM и будут использоваться для дальнейших измерений автоматически. Значения выходного сопротивления порта будут определяться в начале каждого измерения.

Пример: ЦФЛАГС Ы1 -ДАУТО\_ЦАЛ

**ЩИТХ\_АУТО\_РЕФ** Опция позволяет автоматически считывать опорное напряжение, чтобы получить фактический коэффициент, для измерения малых величин ёмкостей (ниже 40  $\mu F$ ). Пример: ЦФЛАГС Ы1 -ДЩИТХ\_АУТО\_РЕФ

**РЕФ\_Ц\_КОРР** Определяет смещение для опорного напряжения в  $mV$ . Эта опция применяется для коррекции величины ёмкости при измерении небольших ёмкостей конденсаторов. Величина коррекции 10 пунктов понижает результат измерения приблизительно на 1%. Если опция АУТО\_ЦАЛ выбирается вместе с опциями ЩИТХ\_СЕЛФТЕСТ, РЕФ\_Ц\_КОРР то величина смещения будет равна разнице измеренного напряжения тестируемого конденсатора и внутреннего опорного напряжения.

Пример: ЦФЛАГС Ы1 -ДРЕФ\_Ц\_КОРР12

**РЕФ\_Л\_КОРР** Определяет дополнительное смещение в  $mV$  к опорному напряжению при измерении величины индуктивности. Смещение РЕФ\_Л\_КОРР и соответствующая величина смещения при калибровке будет дополнительно использоваться при измерении индуктивности. Значение РЕФ\_Л\_КОРР будет вычтено для измерения без резистора 680  $\Omega$  и добавлено при измерении с резистором 680  $\Omega$ . Величина коррекции в 10 пунктов изменяет результат измерения приблизительно на 1%.

Пример: ЦФЛАГС Ы1 -ДРЕФ\_Л\_КОРР10

**Ц\_Х\_КОРР** Определяет величину коррекции при измерении больших ёмкостей. Увеличение значения параметра на 10 пунктов понижает результат измерения на 1%.

Пример: ЦФЛАГС Ы1 -ДЦ\_Х\_КОРР10

**ЩИТХ\_УАРТ** Опция позволяет использовать порт ПЦЗ для последовательного вывода данных (протокол B24). Если опция не выбрана, порт ПЦЗ может использоваться для измерения внешнего напряжения с делителем 10:1. С дополнительной шемой Вы можете проверить напряжение пробоя стабилитронов, большее, чем 4,5 V. Это измерение повторяется с частотой 3 раза в секунду, пока Вы не отпустите кнопку ТЕСТ.

Пример: ЦФЛАГС Ы1 -ДЩИТХ\_УАРТ

**ТЧФП\_АДЦ6** Опция ТЧФП\_АДЦ6 определяет возможность использования аналогового входа АДЦ6 АТмега в корпусе ТЧФП или ЧФН вместо АДЦ3 (ПЦЗ). С этой опцией возможно измерение внешнего напряжения, независимо от использования ПЦЗ в качестве УАРТ. АДЦ6 вход использует для измерения стабилитронов или внешнего напряжения в зависимости от выбора из диалогового меню в АТмега328.

Пример: ЦФЛАГС Ы1 -ДТЧФП\_АДЦ6

**ТЧФП\_АДЦ7** Опция ТЧФП\_АДЦ7 определяет возможность использования аналогового входа АДЦ7 АТмега в корпусе ТЧФП или ЧФН вместо ПЦЗ (АДЦ3). С этой опцией возможно измерение внешнего напряжения, независимо от использования ПЦЗ в качестве УАРТ. Если эта опция используется без опции ТЧФП\_АДЦ6, то измерение стабилитронов и внешнего напряжения производится с использованием входного аналогового порта АДЦ7 при выборе из дополнительного меню в АТмега328. Если опция установлена совместно с ТЧФП\_АДЦ6, то измерение стабилитронов доступно на АДЦ6, а внешних напряжений на обеих портах в зависимости от выбора из дополнительного меню АТмега328. Оба входных порта АДЦ должны быть оборудованы резистивными делителями 10:1.

Пример: ЦФЛАГС Ы1 -ДТЧФП\_АДЦ7

**ЩИТХ\_ВЕШТ** Разрешает измерять внешнее напряжение с использованием резистивного делителя 10:1. Если не выбрана опция ТЧФП\_АДЦ6 или ТЧФП\_АДЦ7 для АТмега168 или АТмега328, то порт ПЦЗ используется для измерения внешнего напряжения. Опция ЩИТХ\_УАРТ, в этом случае, должна быть отключена.

Пример: ЦФЛАГС Ы1 -ДЩИТХ\_ВЕШТ

**РМЕТЕР\_ЩИТХ\_Л** при выборе этой опции в режиме циклических измерений сопротивлений резисторов в ТЬ и ТПЗ можно измерять и индуктивность. Такой режим работы отображается символами [РЛ] в конце первой строки дисплея. При включении этого, дополнительного, теста индуктивности время измерения сопротивлений резисторов ниже 2100  $\Omega$  увеличивается. Так же резистор меньше 10  $\Omega$  не может быть измерен методом ЕСР без этой опции, так как нет данных что индуктивность не подключена, а из-за того, что в методе измерения ЕСР используя короткие импульсы тока, индуктивность не может быть измерена. Сопротивление резистора меньше 10  $\Omega$  измеряется только с разрешением 0.1  $\Omega$  без этой опции, так как только метод измерения ЕСР способен обеспечить разрешение 0.01  $\Omega$ . При установке этой опции все предыдущие ограничения не влияют на результат, но время теста увеличивается.

Пример: ЦФЛАГС Ы1 -ДРМЕТЕР\_ЩИТХ\_Л

**ЦАП\_ЕМПТЫ\_ЛЕВЕЛ** Эта опция определяет уровень напряжения для разряженного конденсатора (в mV). Вы можете установить значение уровня выше 3 mV, если Тестер не успевает разряжать конденсатор. Это происходит в случае, если Тестер заканчивает измерение за более длительное время с сообщением «Целл!».

Пример: ЦФЛАГС Ы1 -ДЦАП\_ЕМПТЫ\_ЛЕВЕЛ13

**АУТОСЦАЛЕ\_АДЦ** Позволяет автоматически переключать опорное смещение АЦП или к ВЦЦ или к внутреннему ИОН. Внутренний ИОН 2,56 V для АТмега8 и 1,1 V для остальных микроконтроллеров АТмега. Для АТмега8 автоматическое переключение опорного напряжения не используется.

Пример: ЦФЛАГС Ы1 -ДАУТОСЦАЛЕ\_АДЦ

**РЕФ\_Р\_КОРР** Определяет смещение для внутреннего опорного напряжения АЦП в mV. Это смещение учитывается при переключении с ВЦЦ базового АЦП на внутренний ИОН АЦП и может быть использовано при измерении резисторов. Если Вы выберете опцию

**АУТО\_ЦАЛ** в режиме самодиагностики, это значение будет дополнительной величиной к найденному напряжению смещения в опции АУТО\_ЦАЛ.

Пример: ЦФЛАГС ы1 -ДРЕФ\_Р\_КОРР110

**ECP\_ЗЕРО** Определяет смещение нуля при измерении малых сопротивлений и ECP. Смещение нуля для любых комбинаций тестовых выводов определяется в режиме самодиагностики и заменяет предустановленное смещение нуля. Эта величина будет вычтена из всех измерений сопротивлений до  $10 \Omega$  и ECP.

Пример: ЦФЛАГС ы1 -ДЕСР\_ЗЕРО129

**НО\_АРЕФ\_ЦАП** Сообщает программному обеспечению, что у Вас нет конденсатора ( $100 nF$ ), установленного на выводе АРЕФ (вывод 21). Это позволяет сократить задержку для АУТОСЦАЛЕ\_АДЦ при переключении на другой ИОН. Конденсатор на  $1 nF$  не вносит искажений в результаты измерений. На рисунке 4.1а и 4.1б показано время переключения с конденсатором на  $1 nF$ . Вы можете видеть, что переключение от  $5 V$  до  $1,1 V$  намного медленнее, чем переключение назад, от  $1,1 V$  до  $5 V$ . Если у Вас установлен конденсатор на  $100 nF$ , время переключения будет дольше в 100 раз!

Пример: ЦФЛАГС ы1 -ДНО\_АРЕФ\_ЦАП

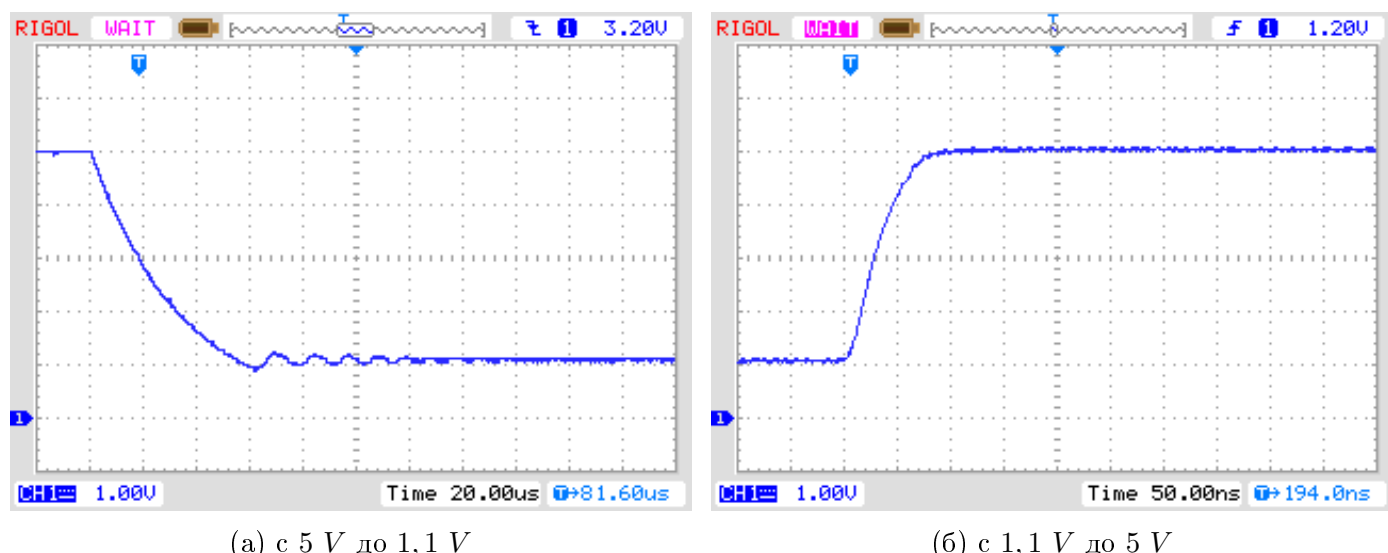


Рис. 4.1. Переключение АРЕФ с ёмкостью  $1 nF$

**РЕФ\_Р\_КОРР** гибт еинен Оффсет ф?р дие интерне Референз-Спаннунг ин мВ-Еинхейтен ан.

Мит диесем Оффсет канн еине Дифференз бei дер Умсалтунг дер Референзспаннунг ф?р дие Щидерстандсмессунг абгегличен щерден. Щенин дие АУТО\_ЦАЛ-Оптион гещ?хлт щурде, ист диесер Щерт нур еин Оффсет зу дер гефунденен Спаннунгс-Дифференз ин дер АУТО\_ЦАЛ Функцион.

Бейспиел: ЦФЛАГС ы1 -ДРЕФ\_Р\_КОРР110

**ОП\_МХ3** Сообщает программному обеспечению, на какой частоте в  $MHz$  будет функционировать Ваш Тестер. Программное обеспечение проверено только на  $1 MHz$ ,  $8 MHz$  и, дополнительно, на  $16 MHz$ .  $8 MHz$  рекомендуется для лучшего разрешения при измерении ёмкости и индуктивности.

Пример: ОП\_МХ3 1 8

**РЕСТАРТ\_ДЕЛАЫ\_ТИЦС** Если ATmega168 или ATmega328 использующая с внутренним РЦ-генератором вместо кварца, то величина установки должна быть 6. Если это значение

не установлено, то при выходе из СЛЕЕП МОДЕ АТмега с кварцем, программное обеспечение оцчитывает задержку в 16384 такта.

Пример: ЦФЛАГС Ы1 -ДРЕСТАРТ\_ДЕЛАЫ\_ТИЦС16

**УСЕ\_ЕЕПРОМ** Опция позволяет использовать для размещения фиксированного текста и таблиц память ЕЕпром. В противном случае используя программа память Флаш. Рекомендуется использовать память ЕЕпром (опция установлена).

Пример: ЦФЛАГС Ы1 -ДУСЕ\_ЕЕПРОМ

**ЕБЦ\_СТЫЛЕ** Опция задает стиль отображения результатов при определении назначения выводов элементов. Если активна опция ЦФЛАГС Ы1 -ДЕБЦ\_СТЫЛЕ то информация о расположении выводов транзистора будет отображаться относительно назначения выводов, например: «ЕБЦ1231» или «ЕБЦ 1312». Опция вида ЦФЛАГС Ы1 -ДЕБЦ\_СТЫЛЕ:321 позволяет закрепить вывод информации относительно обратного расположения тестовых портов в приборе, например: «3211БЦЕ» или «3211ЕБЦ». Если эти опции не активны, то формат вывода будет базироваться относительно тестовых выводов в порядке «1231...», например: «1231БЦЕ» или «1231ЕБЦ».

Пример: ЦФЛАГС Ы1 -ДЕБЦ\_СТЫЛЕ

**НО\_НАНО** Определяет, что десятичная приставка «нано» не будет использоваться при отображении измеренных результатов. Значения отображаются в  $\mu F$  вместо  $nF$ .

Пример: ЦФЛАГС Ы1 НО\_НАНО

**НО\_ЛОНГ\_ПИНЛАЙОУТ** позволяет избежать длинного стиля отображения назначения выводов « Пин 11Е 21Б 31Ц ». Если опция установлена, используется короткий стиль отображения назначения выводов « Пин 1231ЕБЦ ».

Пример: ЦФЛАГС Ы1 НО\_ЛОНГ\_ПИНЛАЙОУТ

**ПУЛЛУП\_ДИСАБЛЕ** Определяет, что Вы не нуждаетесь во внутренних подтягивающих резисторах. Если Вы выбрали эту опцию, то у Вас должен быть установлен внешний резистор с вывода ПД7 (вывод 13) к ВЦЦ. Эта опция предотвращает возможное влияние подтягивающих резисторов на результаты измерений в измерительных портах (порт Б и порт Ц).

Пример: ЦФЛАГС Ы1 -ДПУЛЛУП\_ДИСАБЛЕ

**АНЗ\_МЕСС** Эта опция определяет количество считанных значений АЦП для вычисления среднего значения. Вы можете выбрать любое значение между 5 и 200 для подсчета среднего значения одного измерения АЦП. Более высокие значения дают большую точность, но увеличивают время измерения. Одно среднее значение измерений АЦП со значением 44 требует приблизительно 5 ms.

Пример: ЦФЛАГС Ы1 -ДАНЗ\_МЕСС155

**ПОЩЕР\_ОФФ** Эта опция включает функцию автоматического выключения питания. Если Вы не установите эту опцию, измерения будут идти бесконечно, пока не будет отключено питание прибора. Если у Вас Тестер без шемы отключения питания, то Вы можете не выбирать ПОЩЕР\_ОФФ. Если Вы не установили опцию ПОЩЕР\_ОФФ для прибора с авто отключением, то Тестер можно выключить из меню выбора функций при активизированной опции ЩИТХ\_МЕНУ. Вы можете также определить, после скольких измерений без определения элемента Тестер выключится. Тестер также отключит питание после вдвое большего числа измерений, сделанных последовательно без неудавшегося поиска элемента. Это позволяет избежать полного разряда батареи, если Вы забыли оцепединять тестируемый элемент. Выбор определяется как ЦФЛАГС Ы1 -ДПОЩЕР\_ОФФ15 для 5 последовательных измерений

без определения элемента. Тестер также выключает после 10 измерений с определением элемента. Если любая последовательность измерений будет прервана другим типом, то измерения продолжаются. Результат измерения отображается на дисплее в течение 28 секунд для однократного измерения, для многократного измерения время отображения уменьшено до 5 секунд (выбор в конфиг.х). Если кнопка **ТЕСТ** нажата более длительное время, то время отображения для многократного измерения также 28 секунд. Максимальное значение 255 (ЦФЛАГС ы -ДПОЩЕР\_ОФФ1255).

Пример 1: ЦФЛАГС ы -ДПОЩЕР\_ОФФ15

Пример 2: ЦФЛАГС ы -ДПОЩЕР\_ОФФ

**БАТ\_ЧЕЦК** Позволяет проверять напряжение батареи питания. Если Вы не выбираете эту опцию, то на ЛЦД-дисплее вместо напряжения будет отображаться номер версии программного обеспечения. Эта опция полезна для версии Тестера, работающей от автономного источника питания, чтобы напомнить о разряде источника питания.

Пример: ЦФЛАГС ы -ДБАТ\_ЧЕЦК

**БАТ\_ОУТ** Позволяет отображать напряжение батареи на ЛЦД-дисплее (если выбрана опция БАТ\_ЧЕЦК). Если в цепи питания 9 V установлен диод, то для правильного измерения выходного значения необходимо учесть напряжение падения на нем (в mV), для этого используйте БАТ\_ОУТ 1600. Также этой опцией можно учитывать падение напряжения на транзисторе T3. Пороговый уровень не влияет на уровни проверки напряжения (БАТ\_ПООР).

Пример 1: ЦФЛАГС ы -ДБАТ\_ОУТ1300

Пример 2: ЦФЛАГС ы -ДБАТ\_ОУТ

**БАТ\_ПООР** Установка нижнего уровня напряжения батареи, задаваемого в mV. Если нижний уровень составляет больше чем 5,3 V, то уровень предупреждения о разряде батареи на 0,8 V выше, чем указанный нижний уровень. Если нижний уровень составляет 5,3V или менее, то уровень предупреждения о разряде батареи на 0,4 V выше, чем указанный нижний уровень. Если нижний уровень ниже 3,25 V, то уровень предупреждения о разряде батареи на 0,2 V выше, чем указанный нижний уровень. Если нижний уровень ниже 1,3 V, то уровень предупреждения о разряде батареи на 0,1 V выше, чем указанный нижний уровень. Установка нижнего уровня 5,4 V не рекомендуется для перезаряжаемых 9 V аккумуляторов, потому что это увеличивает риск повреждения аккумулятора из-за глубокого разряда! Если Вы хотите использовать 9 V аккумулятор, то рекомендуется использовать Реады To Use тип аккумулятора из-за более низкого саморазряда.

Пример для лошадиных регуляторов (5,4 V): ЦФЛАГС ы -ДБАТ\_ПООР15400

Пример для 7805 типе регулятор (6,4 V): ЦФЛАГС ы -ДБАТ\_ПООР16400

**ДЦ\_ПШР** Уровень напряжения в mV измеренного при тесте напряжения питания Тестера, выше которого устанавливается режим «ДЦ\_Пшр\_Моде». Обычно Тестер работает от батареи и при этом все дополнительные функции ограничены во времени. В режиме «ДЦ\_Пшр\_Моде», предполагается, что Тестер работает от внешнего блока питания, поэтому дополнительные функции работают без ограничения по времени. Потому что ДЦ-ДЦ преобразователь не работает при входном напряжении меньше 0.9 V, режим «ДЦ\_Пшр\_Моде» также устанавливается, если обнаружено напряжение питания батареи ниже 0.9 V.

Пример: ЦФЛАГС ы -ДДЦ\_ПШР19500

**БАТ\_НУМЕРАТОР** значение числителя сокращённой дроби при расчёте резистивного делителя для измерения напряжения батареи. В рекомендованном делителе напряжения, состоящего из резистора 10 kΩ и резистора 3.3 kΩ, Вы получите следующее выражение:  $\frac{10000+3300}{3300} = \frac{133}{33}$ .

Пример: ЦФЛАГС ы -ДБАТ\_НУМЕРАТОР133

**БАТ\_ДЕНОМИНАТОР** значение знаменателя из сокращённой дроби при расчёте резистивного делителя для измерения напряжения батареи.

Пример: ЦФЛАГС ѿ -ДАТ\_ДЕНОМИНАТОР133

**ЕШТ\_НУМЕРАТОР** значение числителя сокращённой дроби при расчёте резистивного делителя для измерения внешнего входящего напряжения. Если делитель состоит из резистора  $180\ k\Omega$  и резистора  $20\ k\Omega$ , то соотношение будет:  $\frac{180000+20000}{20000}$ . После сокращения дроби получим:  $\frac{10}{1}$ .

Пример: ЦФЛАГС ѿ -ДЕШТ\_НУМЕРАТОР110

**ЕШТ\_ДЕНОМИНАТОР** значение знаменателя сокращённой дроби при расчёте резистивного делителя для измерения внешнего входящего напряжения.

Пример: ЦФЛАГС ѿ -ДЕШТ\_ДЕНОМИНАТОР11

**ИНХИБИТ\_СЛЕЕП\_МОДЕ** Запрещает использование СЛЕЕП\_МОДЕ. Обычно программное обеспечение использует СЛЕЕП\_МОДЕ для более длительной работы. Использование этого способа действительно экономит заряд батареи, но создает дополнительную нагрузку для стабилизатора напряжения.

Пример: ИНХИБИТ\_СЛЕЕП\_МОДЕ 1 1 (для версий до 290)

Пример: ИНХИБИТ\_СЛЕЕП\_МОДЕ 1 0 (для версии 291 и выше)

**ПРОГРАММЕР** устанавливает тип программатора для интерфейсной программыavrdude.

Необходима правильная установка типа программатора (и порта).

В Макефайле по умолчанию установлен программатор из Диамеш.

УСБасп от Фисчлер и Ардуино Мега также готовяця.

Если должен использоваться другой программист, он должен быть включен в Макефайле и, до настоящего момента, отменен с помощью Ђ в начале строки.

Пример использования УСБтины Программер:

Ђ настройка для УСБтины ИСП

ПРОГРАММЕР1усбтины

БитЦлоцк10

ПОРТ1usb

и еще один пример:

Ђ настройка для программиста Пололу

Ђ ПРОГРАММЕР1стк500в2

Ђ БитЦлоцк1.0

Ђ Порт 1 /дев/ттыАЦМ0

Пример: ПРОГРАММЕР1аврисъ

**БитЦлоцк** Выбирает частоту синхронизации для программатора. См. описание -Б параметра для аврдуде.

Пример: БитЦлоцк15.0

**ПОРТ** Выбранный порт, через который Ваш микроконтроллер АТмега может быть доступным для аврдуде. За дополнительной информацией обратитесь, пожалуйста, к описанию аврдуде.

Пример: ПОРТ1usb

Дополнительные параметры могут быть установлены в файлах трансистортестер.x и цонфиг.x. Файл цонфиг.x содержит глобальные переменные и определяет порт/контакт и величину резистора, которые используюця для измерения. Файл трансистортестер.x определяет параметры для различных типов микроконтроллеров, задержку и частоту АЦП. Обычно нет необходимости изменять эти значения.

## 4.2 Программирование микроконтроллера

Я публикую программное обеспечение для микроконтроллера ATmega с исходным кодом. Разработка сделана в среде операционной системы Линуш (Убунту) и компилируется с помощью Макефиле. Макефиле даёт уверенность, что программное обеспечение будет корректно скомпилировано у Вас с предварительно выбранными опциями в Макефиле. Некоторые структуры предкомпилированы с исходником. Пожалуйста, смотрите ReadMe.txt файл в каталоге Софтшаре/дефаулт и главу 4 на странице 48. Результат компиляции представлен файлами с двумя расширениями .hex и .eep. По умолчанию имена будут ТрансисторТестер.hex и ТрансисторТестер.eep. Файл с расширением .hex содержит данные для памяти программ (Флаш), а файл с расширением .eep содержит данные для памяти EEPROM микроконтроллера ATmega. Оба файла с данными должны быть загружены в соответствующие области памяти микроконтроллера ATmega.

Дополнительные опции состояния микроконтроллера ATmega должны быть запрограммированы фьюзами. Если Вы можете использовать мой Макефиле с программойavrduude [13], Вам не нужны детальные знания о фьюзах. Вы должны только выбрать «make fusees», если у Вас нет кварца, или «make fusees-crystal», если Вы установили кварц на 8 MHz на свою печатную плату. С серией ATmega168 Вы можете также использовать, «make fusees-crystal-lp», чтобы использовать кварц с низким потреблением мощности. Никогда не выбирайте установки с кварцем, если кварц на 8 MHz у Вас не установлен. Если Вы не уверены с фьюзами, оставляете их заводскими и приведите Тестер в рабочее состояние в этом режиме. Работа программы может замедлиться, если Вы используете программные данные, определенные для работы на 8 MHz, но Вы сможете исправить это позже! А вот неправильный выбор фьюзов может запретить в будущем ISP-программирование. Конечно, программа avrduude должна поддерживать ваш программатор, и конфигурация в Макефиле должна соответствовать Вашей среде разработки.

### 4.2.1 использовать под Линуш

К отчаянию и «бессонным ночам», которые Шрайбер перенес из этой главы, после чего он, не имея опыта AVR, приобрел тестер клонов и хотел «научить» немецкому языку, чтобы пощадить других коллег. написал эту главу. Приобретенный здесь опыт должен помочь другим «желающим» неопытным людям

УСПЕШНО программировать тестера.

Эта возможность используема разработчиком тестера транзисторов и автором этого документа, Карл-Хайнц Кюббелер благодарит [15] за его преданность и терпение потому что следующие страницы никогда не были бы созданы без его помощи.

Так что прошивка может быть скомпилирована и записана в МЦУ и одновременно ... «Колесо не нужно было бы заново изобретать», было частью следующих страниц Оригинал взят.

Итак, еще раз ... огромный СПАСИБО ОГРОМНОМУ нормализует Карла-Хайнца Кюббелера.

### 4.2.2 операционная система Линуш

Программирование под Линуш имеет много преимуществ, потому что эта ОС была разработана экспертами, которые ориентированы на пожелания пользователей. Кроме того, среда доступна бесплатно и отлично поддерживаются.

Еще одним преимуществом является безопасность как самой ОС, так и при использовании Интернета.

Сегодняшние издания намного проще в использовании, чем их конкуренты, ОС.

Это руководство предназначено для того, чтобы побудить всех «не» пользователей Линуш протестировать его СЕЙЧАС, запрограммировав свой тестер.

В качестве примера используя текущая версия Линуш Минт из Интернета.  
Установка возможна по-разному и поставляется с собственным менеджером загрузки, чтобы вы могли продолжать использовать существующую ОС параллельно.

#### **4.2.3 использовать под Линуш**

как новая ОС.

Для тех, кто не любит писать, есть простой способ.

Скопируйте это руководство на УСБ-накопитель и откройте его в Линуш.  
Затем подведите указатель мыши к названию документа, то есть к тексту (**чтестер.пдф**), нажмите левую кнопку мыши и перетащите документ к левому краю экрана, пока не отобразится возможный кадр. Теперь мышь отпущена.

Теперь инструкции занимают левую половину экрана.

#### **4.2.4 установить программные пакеты**

Для программирования тестера сначала должны быть установлены программные пакеты:  
'бинутилс-авр', 'аврдуде', 'авр-либц' и 'гцц-авр'.

Теперь перейдите на эту страницу до этого текста:

судо апт-гет установить аврдуде авр-либц бинутилс-авр гцц-авр

На следующем шаге одновременно нажимаясь [Цтрл] Ъ [Алт] Ъ [т], чтобы открыть командное окно. Теперь это перемещено к правому краю экрана таким же образом.

Пометьте вышеупомянутый текст в левом окне, удерживая левую кнопку мыши  
поместите мышь на курсор правого командного окна и нажмите

с помощью средней кнопки мыши (колесо прокрутки) **снова сокращенно обозначаем как [МТ]**.

После подтверждения нажатием [Ентер] судо по-прежнему будет запрашивать пароль пользователя.  
В отличие от Щиндощс, пароль **Блинд** вводится и подтверждается нажатием [Ентер].

Теперь все программные пакеты установлены «апт».

У.У. между ними вы должны подтвердить вопросы с помощью [J].

Пожалуйста, убедитесь, что Линуш различает прописные и строчные буквы.

Так что не отвечайте с [j], но с [J]!

#### **4.2.5 загрузка источников**

Для загрузки исходников и документации из архива СВН, пакет  
«Субверсион» используется. Это достигается с помощью одной инструкции:

Для загрузки исходников и документации из архива СВН, пакет  
«Субверсион» используется. Это достигается с помощью одной инструкции:

свн чецкоут свн: //щцц.микроонтроллер.нет/трансистортестер  
будет загружен полный архив. Если этот архив уже был загружен, эта команда будет загружать только новые обновления.

Файлы теперь находятся в [личной папке] Линуш в (/хоме/,,усер") под именем „Тестер транзистора”.  
Контроль существования. Откройте окно Терминал, введите «лс» и подтвердите.

#### **4.2.6 использование интерфейсов**

подготовить для пользователя. Устройства УСБ можно распознать, введя «лсусб» в командном окне. Сначала введите «лсусб», а затем подключенный УСБ-программатор.

Сравнение результатов локализует УСБ-программатор.

Результат лсусб может выглядеть так:

Бус 001 Девице 001: ИД 1д66:0002 Линуш Фондатион 2.0 роот хуб  
Бус 002 Девице 003: ИД 046д:ц050 Логитеч, Инц. РШ 250 Оптикал Моясе  
Бус 002 Девице 058: ИД 03еб:2104 Атмел Цорп. АВР ИСП мкИИ  
Бус 002 Девице 059: ИД 2341:0042 Ардуино СА Мега 2560 Р3 (ЦДЦ АЦМ)  
Бус 002 Девице 001: ИД 1д66:0001 Линуш Фондатион 1.1 роот хуб

Здесь АВР ИСП мКИИ был распознан как Устройство 58 (ДИАМЕШ АЛЛ-АВР). ИД 03еб - это идентификатор производителя, а ИД 2104 - это идентификатор продукта. Эти два идентификатора необходимы для файла /етц/удев/рулес.д/90-атмел.рулес и созданы с помощью:

судо шед /етц/удев/рулес.д/90-атмел.рулес

В этом примере файл 90-атмел.рулес состоит из одной строки:

СУБСЫСТЕМ11"усб", АТТРСидВендор#11"03еб", АТТРСидПродукт#11"2104", МОДЕ1"0660", ГРОУП1"плугдев"

Эта запись разрешает доступ к устройству для членов группы «плугдев».

Чтобы использовать большинство программистов, рекомендуется следующий текст на 90-атмел.рулес:

Б Цопы тхис файле то /етц/удев/рулес.д/90-атмел.рулес

Б АВР ИСП мКИИ - ДИАМЕШ АЛЛ-АВР

СУБСЫСТЕМ11"усб", АТТРС идВендор#11"03еб", АТЦ идПродукт#11"2104", МОДЕ1"0660", ГРОУП 1 "плугдев",

Б УСБ ИСП-программер ф?р Атмел АВР

СУБСЫСТЕМ11"усб", ЕНВ ДЕВТЫПЕ#11"усбъдевице", СЫСФС идВендор#11"16ц0", МОДЕ1"0666", СЫСФС идПродукт#11"05дц",

Б УСБ асп программер

АТТРС идВендор#11"16ц0", АТТРС идПродукт#11"05дц", ГРОУП1"плугдев", МОДЕ1"0660"

Б УСБтины программер

АТТРС идВендор#11"1781", АТТРС идПродукт#11"0ц9ф", ГРОУП1"плугдев", МОДЕ1"0660"

Б Пололу программер

СУБСЫСТЕМ11"усб", АТТРС идВендор#11"1ффб", МОДЕ1"0666"

После того, как файл был создан, вы можете проверить создание и содержание с:

меньше /етц/удев/рулес.д/90-атмел.рулес

Системное УСБ-устройство Ардуино СА Мега 2560, также распознаваемое как Устройство 59, генерирует одно Доступ к последовательному устройству „/дев/ттыАЦМ0” для членов группы 'диалоут'.

#### 4.2.7 членство в группе

Следовательно, ваш собственный идентификатор пользователя также должен быть членом группы 'плугдев' группа «дозвон». Команда:

судо усермод -а -Г диалоут,плугдев \$УСЕР

должен обеспечить принадлежность. Аврдуде теперь должен иметь доступ к обоим устройствам. Вы можете проверить это с помощью команды: 'ид'.

В случае возникновения проблем, членство также может быть сделано через:

Меню /Системное администрирование/Пользователи и группы/«Пароль»/появиця окно с двумя вкладками.

Если вы теперь щелкните по его имени на вкладке «Пользователь», вы увидите его профиль и принадлежность к группе справа. С помощью кнопки «АДД» теперь можно добавлять новые группы.

#### 4.2.8 рабочее пространство

Чтобы сохранить оригинал, и поскольку окно терминала всегда открывается в ..//хоме/„усер“/, рекомендуется создать там ссылку с именем **Мытестер** со следующими записями:

цд трансистортестер/Софтишаре/трунк/

и затем, введя 'лс', чтобы найти подкаталог, 'требуемая модель тестера'.

Для следующих двух команд сначала вставьте их ТОЛЬКО без нажатия [Ентер] :!

цп -р 'МыТ' Мытестер/

Пометьте каталог нужной модели мышью. Теперь поместите курсор с помощью [левой клавиши

со стрелкой] на последний символ текста «МыТ» и удалите эти символы. После удаления последнего символа нажмите кнопку [МТ] на мыши. Только сейчас используйте [Ентер]. Рабочая среда теперь создана. Наличие и содержание можно проверить с помощью:

дифф 'МыТ' Мытестер/  
«МыТ», как и прежде, необходимо заменить на каталог «требуемой модели тестера». С последним утверждением:

ln -с ~/транзистортестер/Софтище/трунк/Мытестер ~/Мытестер  
ссылка на рабочий каталог создана.

Отныне вы можете легко получить доступ к этому каталогу с помощью:

[Цтрл] Ъ [Алт] Ъ [т], щд [Пусто] Мы [Таб] [Ентер]  
и вы в нужном каталоге. С 'лс' вы можете видеть содержимое.

Он продолжает редактировать Макефиле с помощью уже известной инструкции:

шед Ma [Таб] [Ентер]

**Самое важное - зарегистрировать СУЩЕСТВУЮЩЕГО** УСБ-программиста.  
См. Главу 4.1, на странице 60, раздел ПРОГРАММЕР.

Следующие звонки рекомендуюца:

очистить	очистить рабочую среду
make	для компиляции программы
сделать предохранители	для установки АТмега „ предохранители ” без кварца
сделать фусес-циристал	для установки АТмега „ фусес ” ТОЛЬКО с версией с 8MHz кварцем!
сделать загрузку	загрузить переведенную программу через интерфейс ИСП в АТмега

#### 4.2.9 Использование программы ЩинАВР в ОС Щиндощс

Если Вы используете операционную систему Щиндощс, то самый легкий способ получить правильно запрограммированный АТмега состоит в том, чтобы использовать пакет ЩинАВР [17],[18]. Для установки фьюзов с помощью Макефиле Вы можете использовать мой Патч фор ЩинАВР [19]

На рисунке 4.2 показано меню Филе графического интерфейса пользователя ЩинАВР для открытия файла Макефиле (Опен) и для того, чтобы сохранить изменённый Макефиле (Саве).

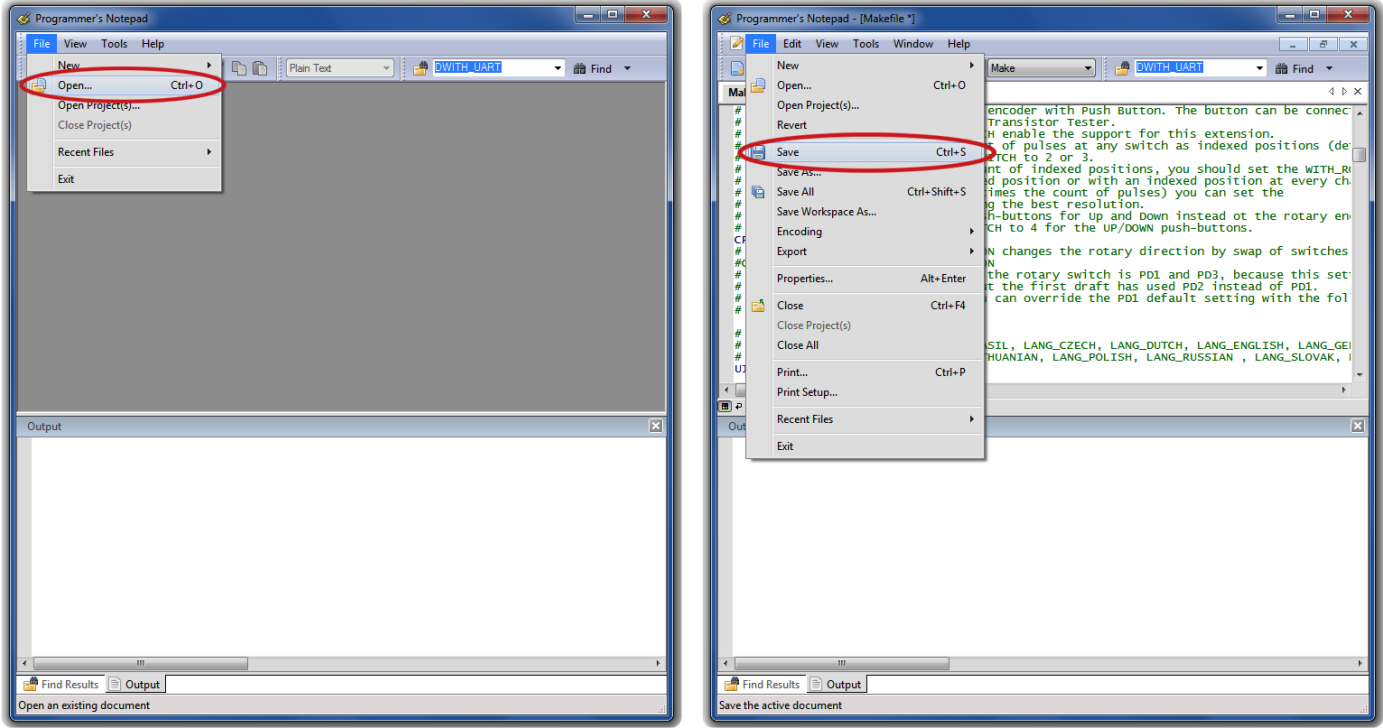


Рис. 4.2. Использование программы ЩинАВР

Следующий рисунок 4.3 показывает меню Тоолс графического интерфейса пользователя ЩинАВР для того, чтобы скомпилировать программу (Маке Алл) и для того, чтобы запрограммировать АТмега (Програм) программой аврдуде.

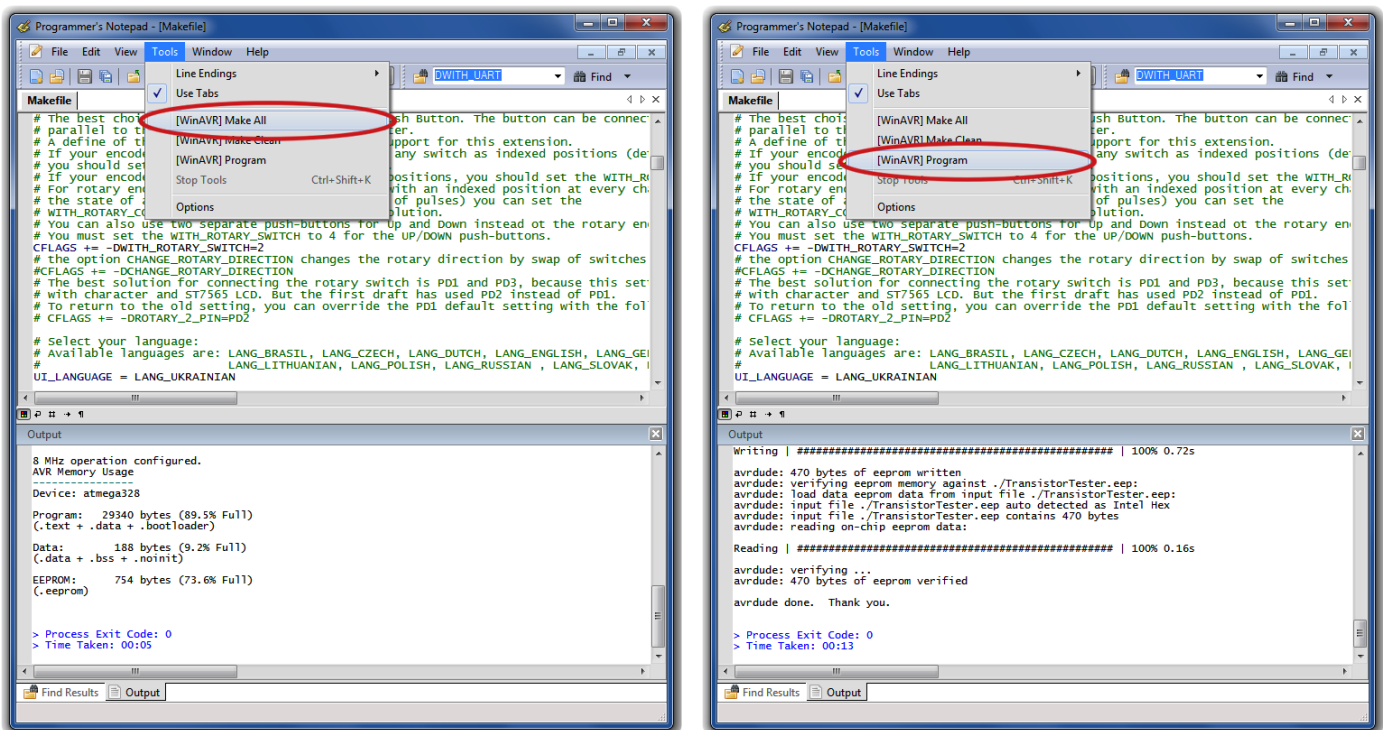


Рис. 4.3. Использование ЩинАВР

## 4.3 Поиск неисправностей

В большинстве случаев возникают проблемы с выводом текста на LCD-дисплей. Сначала Вы должны проверить, что светодиод LED не светится, если Вы отпускаете кнопку **TEST**.

**Питание не включается.** Если светодиод LED не светится, и VCC  $\geq 5 V$  во время нажатия кнопки **TEST**, микроконтроллер не включает питание. В первую очередь, микроконтроллер должен держать питание, переключая уровень ПД6 на  $5 V$ . Если Вы удерживаете кнопку **TEST**, питание должно быть включено. Так Вы можете проверить величину напряжения питания VCC и одновременно величину напряжения на ПД6. Если напряжения VCC  $\geq 5 V$ , а напряжение на ПД6 ниже  $4 V$ , то микроконтроллер не запускает программу. В этом случае Вы должны проверить, был ли микроконтроллер запрограммирован надлежащими данными для установленного у Вас типа ATmega во Flash и EEPROM, и правильно ли сформированы фьюзы. Если микроконтроллер переводит состояние ПД6 в  $5 V$ , но питание не остается после отпускания кнопки **TEST**, то это усложняет поиск причины. Сначала Вы можете замкнуть светодиод LED и попробовать еще раз. Если Тестер запускается, то светодиод LED может быть дефектным или установлен с неправильной полярностью. Если причина не эта, то недостаточен коэффициент усиления транзистора T3 (BZ557).

**Определяет текст на LCD-дисплее.** Проверьте напряжение на контакте контрастности в LCD-дисплее. Установите значение, определенное в техническом описании и оптимизируйте для комфорtnого просмотра. Для некоторых дисплеев может понадобиться отрицательное напряжение для регулировки контраста. В этом случае Вы можете использовать ИЦЛ 7660 для генерации отрицательного напряжения из положительного  $5 V$ . Программное обеспечение может быть создано для разных контроллеров и разных интерфейсов подключения дисплея. Необходимо проверить соответствие установленной программы шеме Вашего тестера и применяемого в нем дисплея. Если на LCD-дисплее нет никакой информации, а подсветка есть, то необходимо отключить питание и проверить четыре шины данных и две связи управляющих сигналов. Если всё нормально, единственной причиной, которую я вижу, является неправильный выбор временных параметров управляющих сигналов. Это может быть вызвано более медленным контроллером LCD-дисплея, чем заложено в программном обеспечении или работой программного обеспечения на неправильной тактовой частоте ATmega. Необходимо проверить, для какой тактовой частоты были скомпилированы программные данные и соответствуют ли фьюзы выбранной частоте ATmega. Вы найдёте параметр частоты в соответствующей строке Макефиле. Если Тестер собран без отключения, Вы можете проверить работу программы с помощью светодиода, подключенного к испытательным выводам. Если светодиод мигает, то программа работает правильно. Для некоторых графических дисплеев контрастность настраивается из функции в меню. Если Вы изменили значение контрастности, так что ничего не читаются на экране, Вы можете попробовать увидеть информацию на дисплее при просмотре под большим углом, а не спереди. В этом случае Вы можете попробовать отрегулировать контрастность из меню. В противном случае, Вы должны переписать данные EEPROM ISP программатором для сброса значения контрастности.

**Что-то, но не все читаемое на LCD-дисплее.** Проверить, правильные ли .eep данные загружены в память EEPROM ATmega. Если все данные загружены правильно, то необходимо проверить тактовую частоту, программные параметры данных (Макефиле) и установки фьюзов ATmega.

**Медленное измерение и измеренная ёмкость в 8 раз меньше.** Программное обеспечение для  $8 MHz$ , а работает ATmega на  $1 MHz$ . Проверьте правильность установки фьюзов.

**Странные значения измерений.** Для того, чтобы проводить измерения, ИСП программатор должен быть однозначен. Очень часто причина неправильных измерений - использование программного обеспечения, скомпилированного с опцией АУТОСЦАЛЕ\_АДЦ и с опцией НО\_РЕФ ЦАП, а на выводе АРЕФ конденсатор ёмкостью  $100\text{ nF}$ . Неправильный монтаж или остатки флюса также могут нарушить измерение. Пожалуйста, если возможно, проверьте функцией самопроверки программное обеспечение Тестера. Подробностисмотрите в Главе 5.5

Осмотрите свою плату визуально и проверьте величины резисторов омметром. Для этой проверки Вы можете использовать выводы ATmega, например, чтобы проверить P1, Вы можете провести измерения между выводами 23 и 14 ATmega. Смотрите шему на рисунке 2.1. Удалять микроконтроллер не обязательно, достаточно только отключить батарею или электропитание.

**Тестер выключает питание после 2 секунд отображения на дисплее.** Это может произойти, если ощущает внешний подтягивающий резистор с порта ПД7 к ВЦЩ, или кнопка **ТЕСТ** удерживается нажатой. Программное включение внутренних подтягивающих резисторов влияет на результаты измерения, поэтому необходим внешний подтягивающий резистор  $27\text{ k}\Omega$ .

**Тестер отображает только Вештиш.шВ во второй строке** Эта проблема появляется, если подтягивающий резистор на выводе ПД7 отсутствует, неисправен или кнопка **ТЕСТ** удерживается в нажатом положении, а программное обеспечение сконфигурировано с отключением УАРТ (опция ШИТХ\_УАРТ отключена) и отключенным внутренним подтягивающим резистором (с опцией ПУЛЛУП\_ДИСАБЛЕ). Необходима установка подтягивающего резистора на выводе ПД7.

# Глава 5

## Описание процедур измерения

Упрощенная шема порта Ввода/Вывода АТмега показана на рисунке 5.1. Ключ ПУД отключает все подтягивающие резисторы АТмега. Состояние выхода порта может быть переключено ключом ДД. Вход порта может управляться независимо от ключа ДД. Ключ ПОРТ обычно определяет выходной уровень, но также и переключает подтягивающий резистор. Поскольку ключи ПОРТ и ДД не могут быть изменены одновременно, а только один за другим, подтягивающие резисторы могут нарушить измерение. Поэтому я предварительно отключаю подтягивающие резисторы ключом ПУД. Конечно, все ключи - электронные и величины сопротивлений резисторов  $19\ \Omega$  и  $22\ \Omega$  приблизительны.

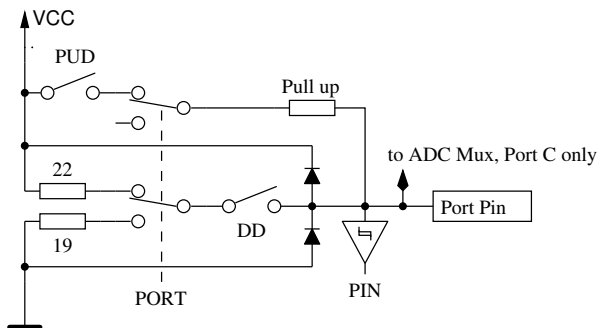


Рис. 5.1. Упрощенная шема каждого вывода порта АТмега

Каждый из трех измерительных щупов Тестера конструктивно соединен с тремя выводами портов АТмега, которые показаны на упрощенной шеме испытательного вывода ТЪ (средний, из трех выводов ТП, ТЪ и ТП3) на рисунке 5.2.

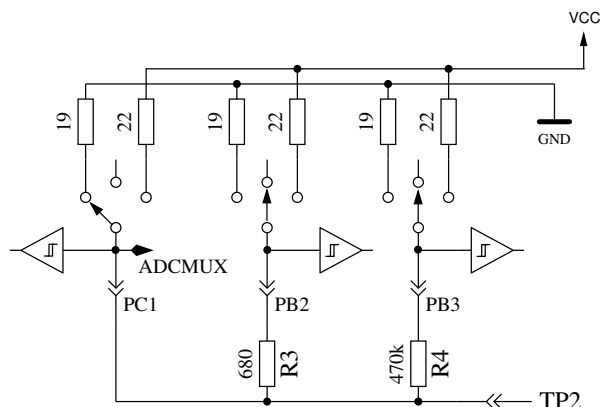


Рис. 5.2. Упрощенная шема каждого испытательного вывода щупа ТП

Каждый испытательный вывод (измерительный порт, щуп) может использоваться в качестве цифрового или аналогового входа. Эта возможность измерения не зависит от использования порта в качестве выхода. Каждый испытательный порт может быть переключен на вывод. В этом состоянии он может быть подключен к ГНД ( $0\text{ V}$ ) или ВЦЩ ( $+5\text{ V}$ ) непосредственно или через резистор  $680\ \Omega$  или резистор  $470\ k\Omega$ . Таблица 5.1 показывает все возможные комбинации измерений. Заметьте, что положительное состояние может быть получено подключением непосредственно к ВЦЩ (порт Ц) или через резистор  $680\ \Omega$  к ВЦЩ (Порт Б). Такая же возможность есть и для отрицательного состояния при подключении испытательного порта к ГНД. Состояние испытательного щупа может быть открытым (Вход), соединённым через резистор  $470\ k\Omega$  к ВЦЩ или ГНД, или испытательный щуп может быть подключен через резистор  $680\ \Omega$  к ВЦЩ или ГНД.

	Состояние щупа 1	Состояние щупа 2	Состояние щупа 3
1.	положительное	отрицательное	тест
2.	положительное	тест	отрицательное
3.	тест	отрицательное	положительное
4.	тест	положительное	отрицательное
5.	отрицательное	тест	положительное
6.	отрицательное	положительное	тест

Таблица 5.1. Все комбинации измерений

Если Тестер сконфигурирован для измерения ёмкости, то Тестер попытается разрядить конденсаторы, соединённые со всеми испытательными выводами. Если разрядка потерпит неудачу, которая означает, что остаточное напряжение высокое, разрядка будет прервана приблизительно через 12 секунд с выводом сообщения «Целл!». Это может произойти так же, если никакой конденсатор не связан ни с каким испытательным выводом. Причиной может быть то, что напряжения отключения выбрано низким для этого ATmega. Вы можете выбрать более высокое напряжение опцией ЦАП\_ЕМПТЫ\_ЛЕВЕЛ в Макефиле.

## 5.1 Измерение полупроводниковых элементов

Исследование элемента необходимо начинать с обесточенным управляющим выводом (третий вывод, назван ТриСтатеПин). ТриСтатоПин исследуемого элемента во время испытания является базовым или отправным. Один испытательный вывод выбран положительной стороной элемента и подключен непосредственно к ВЦЩ. Другой испытательный вывод выбран отрицательной стороной элемента. Отрицательная сторона подсоединенена через резистор  $680 \Omega$  к ГНД. Состояние полевых транзисторов зависит от напряжения на затворе. Сначала, ТриСтатоПин на  $5 \text{ ms}$  подключается через резистор  $680 \Omega$  к ГНД и измеряется напряжение на отрицательной стороне. Далее ТриСтатоПин переключается на Ввод (высокое полное входное сопротивление) и снова измеряется напряжение отрицательного испытательного вывода. Затем предполагаемый затвор соединяется через резистор  $680 \Omega$  на  $5 \text{ ms}$  к ВЦЩ и снова измеряется напряжение на отрицательной стороне. Если измеренное напряжение ниже первого результата измерения, то эта схема будет предполагаться, как правильная. Затем напряжение снова измеряется с обесточенным ТриСтатоПин.

Если напряжение отрицательного испытательного вывода с фиксированным напряжением ТриСтатоПин выше чем  $115 \text{ mV}$ , а с обесточенным ТриСтатоПин не ниже  $100 \text{ mV}$ , предполагается, что это обеднённый транзистор.

У биполярных транзисторов, имеющих повышенный обратный ток коллектора, он значительно повышается в режиме с обесточенной базой.

При проверке с обоими напряжениями можно избежать неправильного обнаружения некоторых германиевых транзисторов с более высоким обратным током коллектора, как обедненных транзисторов (JFET).

Далее проводятся дополнительные тесты по определению Н-канального JFET или Н-Д-МОСFET и П-канального JFET или П-Д МОСFET. Версии МОСFET могут быть определены по ощущающему току затвора при любом состоянии ТриСтатоПин.

Чтобы получить параметры FET обедненного типа, их измеряют с резистором  $680 \Omega$  в истоке, как показано на рисунке 5.3. Это измерение делается вместо обычного измерения тока удерживания затвора на уровне истока, потому, что  $I_{DSS}$  FET транзистора часто не может быть достигнуто из-за относительно высокого сопротивления резистора  $680 \Omega$ .

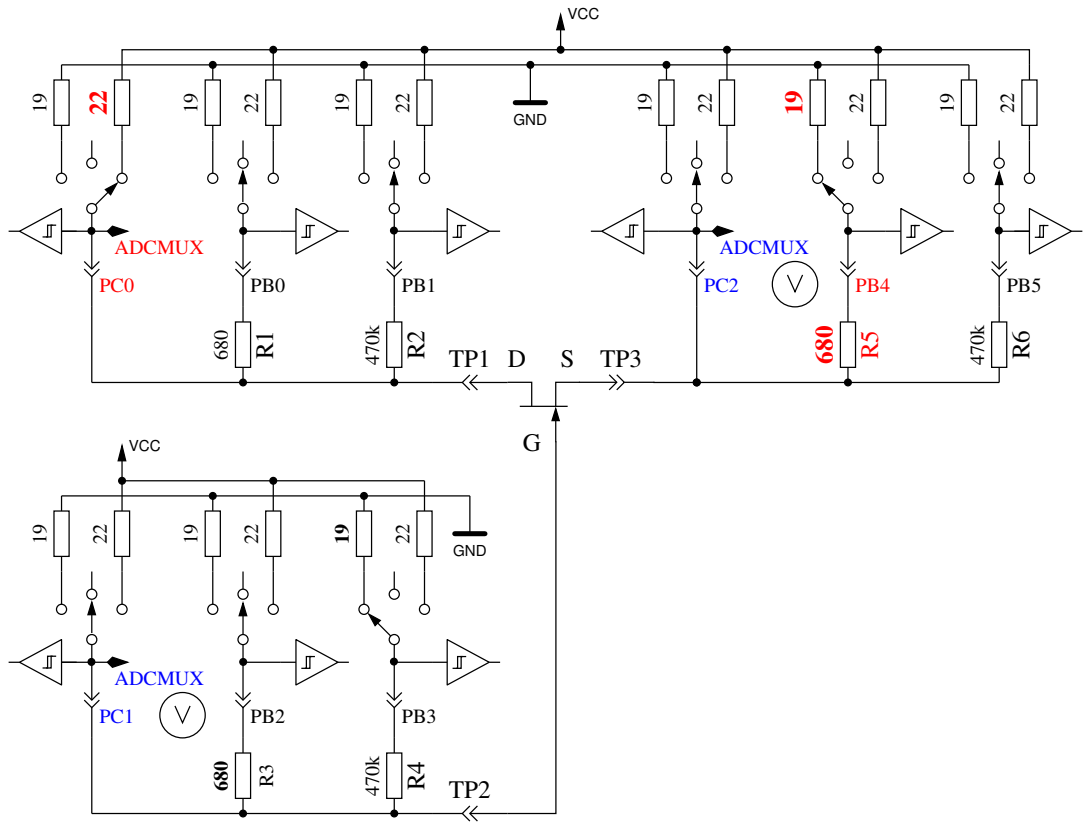


Рис. 5.3. Измерение напряжения затвор-исток и тока истока Н-ЖФЕТ транзистора

Если у элемента нет тока между положительным и отрицательным испытательными выводами без сигнала на ТристатоПин, то переходим к тестам определения, описанным в разделе 5.1.1. Если ток был обнаружен, то следующий тест описан в 5.1.4 о диодах.

### 5.1.1 Измерение П-Н-П транзистора или П-Чаннел-МОСФЕТ

Сначала измеряют коэффициент усиления предполагаемого П-Н-П транзистора в шеме с общим коллектором (эмиттерный повторитель). Шема измерения показана на рисунке 5.4. Если напряжение базы ( $UB$ ) измеренное с резистором  $680\ \Omega$ , выше  $9\ mV$ , то коэффициент усиления вычисляется по формуле  $hFE = \frac{UE - UB}{UB}$ . Напряжение  $UE$  это разность между напряжением на эмиттере и ВЦП. Различие между резисторами  $22\ \Omega$  и  $19\ \Omega$  не учитывается. Если напряжение  $UB$  ниже  $10\ mV$ , измерение делают с резистором  $470\ k\Omega$  в базе. В этом случае коэффициент усиления вычисляется по формуле  $hFE = \frac{UE \cdot 470000}{UB \cdot (680 + 22)}$ .

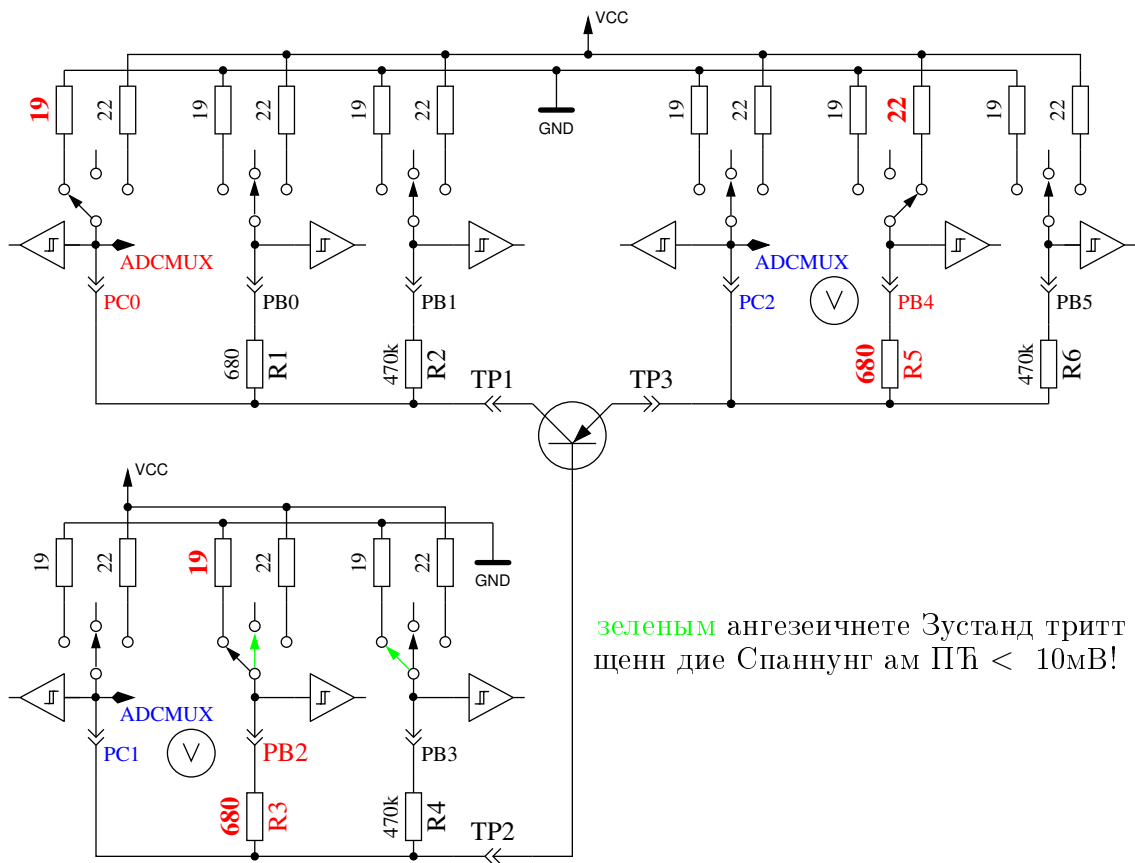


Рис. 5.4. Измерение хФЕ П-Н-П транзистора в шеме с общим коллектором

Затем делают тесты для предполагаемого П-Н-П транзистора в шеме с общим эмиттером. Положительная сторона элемента теперь подключена прямо с ВЦЩ, отрицательная сторона через резистор  $680\ \Omega$  подключена к ГНД, как показано на рисунке 5.5. Если на отрицательной стороне элемента есть напряжение выше  $3,4\ V$ , когда базовый резистор  $680\ \Omega$  подключен к ГНД, значит этот элемент или П-Н-П транзистор или П канальный ФЕТ. Какой из них - может быть легко установлено по напряжению базы. Если напряжение базы больше  $0,97\ V$ , это должен быть П-Н-П транзистор. Для того, чтобы измерить коэффициент усиления, в цепь базы вместо резистора  $680\ \Omega$  включается резистор  $470\ k\Omega$ . Коэффициент усиления вычисляется по формуле  $hFE = \frac{(UC - UC0) \cdot 470000}{UB \cdot (680 + 19)}$ . Напряжение УЦ0 является напряжением на коллекторном резисторе без базового тока. Как предполагается, правильным является более высокий коэффициент усиления, определенный первым или вторым способом. В версии 1.08к коэффициент усиления в шеме с общим эмиттером определяется только для микроконтроллеров АТмега328. Для других микроконтроллеров используется только шема с общим коллектором.

Значения, найденные для П-Н-П транзистора, действительны только, если сделаны дополнительные измерения. Чтобы предотвратить обнаружение П-Н-П транзистора в инверсном включении (коллектор с эмиттером поменяны местами), измерение с более высоким коэффициентом усиления считается правильным. Если напряжение базы ниже, чем  $0,97\ V$ , то это должен быть П-Е-МОС. В этом случае пороговое напряжение затвора измеряется при плавном переключении затвора с резистором  $470\ k\Omega$  от ВЦЩ до ГНД, ожидая на цифровом входе изменения сигнала стока, и затем, считывая напряжение затвора.

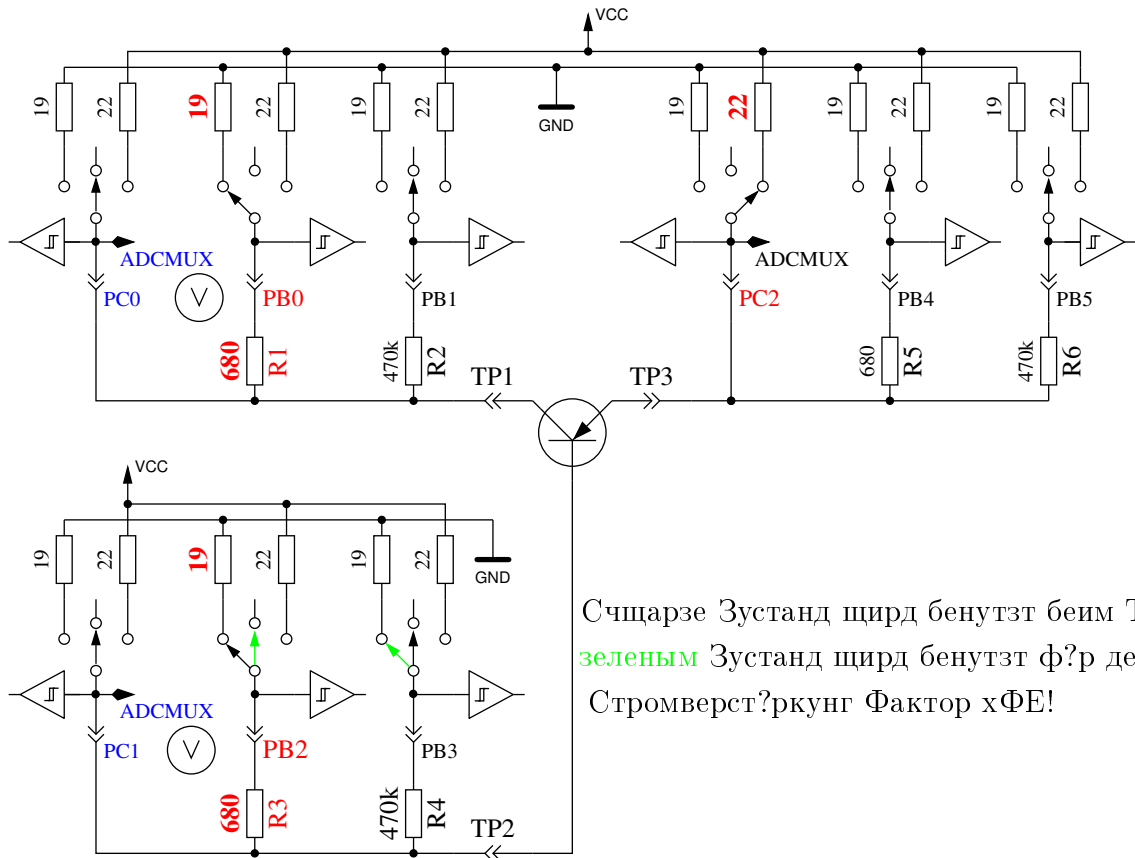


Рис. 5.5. Испытание и измерение хФЕ П-Н-П транзистора в шеме с общим эмиттером

### 5.1.2 Измерение Н-П-Н транзистора или Н-Чаннел-МОСФЕТ

Измерение Н-П-Н транзистора начинается таким же образом, как и П-Н-П транзистора, с измерения коэффициента усиления в шеме с общим коллектором. Первое измерение сделано с резистором в цепи базы  $680\ \Omega$  подключенным к ВЦЦ. Если напряжение на резисторе в цепи базы слишком низко, вместо  $680\ \Omega$  берётся резистор  $470\ k\Omega$ . Тогда измерение продолжается в шеме с общим эмиттером, как показано на рисунке 5.6. Если напряжение коллектора ниже  $1,6\ V$  и резистор в цепи базы  $680\ \Omega$  соединён с ВЦЦ, то это может быть Н-П-Н транзистор, Н-канальный МОСФЕТ или тиристор/симистор. Тиристор или симистор могут быть идентифицированы двумя простыми тестами. Если резистор на управляющем выводе, соединённый в течение  $10\ ms$  с ГНД обесточить, ток в аноде должен остаться. Если резистор анода кратковременно подключить к ГНД и, затем, повторно подключить к ВЦЦ, тиристор не должен снова включиться (нет тока). Имейте в виду, что Тестер может проверять только маломощные тиристоры, потому что ток удержания может достигать только  $6\ mA$ . Если оба теста свидетельствуют о тиристоре, то необходимо сделать тесты с обратной полярностью, чтобы исключить или подтвердить симистор.

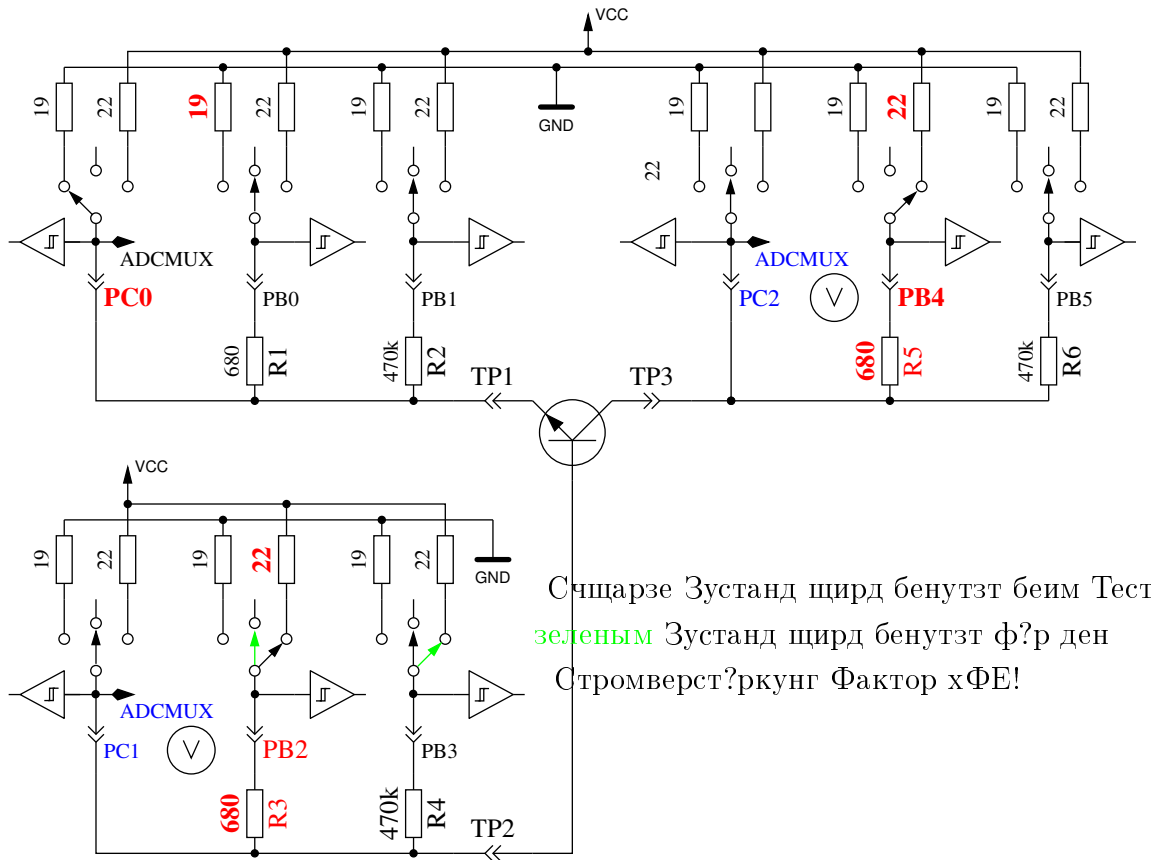


Рис. 5.6. Испытание и измерение хФЕ Н-П-Н транзистора в шеме с общим эмиттером

Если ни тиристор, ни симистор не были подтверждены, то это может быть Н-П-Н транзистор или Н канальный Е-МОСФЕТ. Базовое напряжение Н-П-Н транзистора будет близко к напряжению эмиттера, таким образом, этот тип может быть идентифицирован определенно. Коэффициент усиления в шеме с общим эмиттером вычисляется по формуле  $hFE = \frac{(VCC - UC - UC0) \cdot 470000}{(VCC - UB) \cdot (680 + 22)}$ . Если напряжение базы или затвора повышенные, то в этой цепи тока нет или он мал, значит, элемент будет Н-канальным Е-МОС (МОСФЕТ обогащённый). В этом случае пороговое напряжение измеряется при плавном переключении затвора с резистором 470 kΩ от ВЦЩ до ГНД, ожидая на цифровом входе изменения сигнала стока, и затем считывается напряжение затвора. Это измерение делается 11 раз с накоплением результатов АЦП, как показано на рисунке 5.7. Результат умножается на 4 и делиется на 9, чтобы получить напряжение в mV.

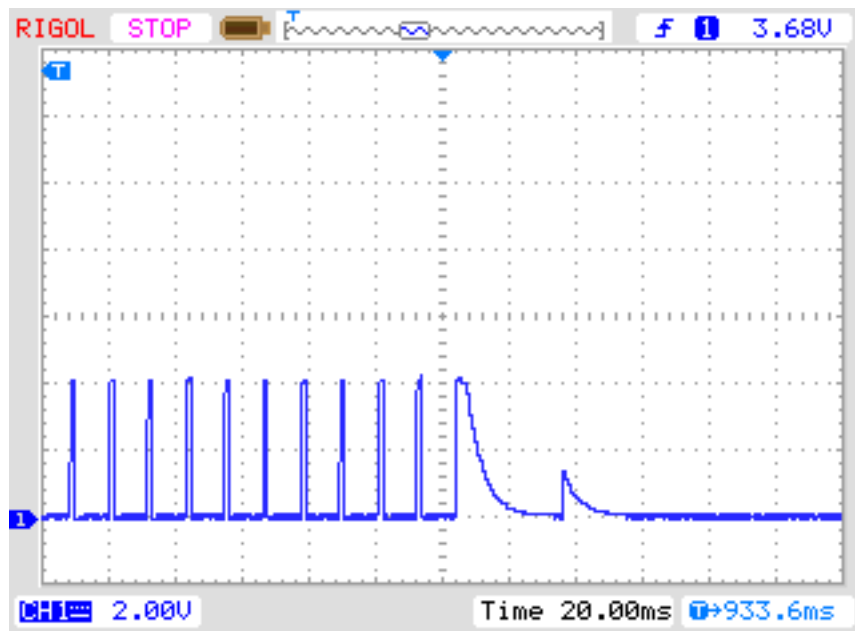


Рис. 5.7. Измерение порогового напряжения Н-канального МОСФЕТ

### 5.1.3 Упрощенная блок-схема тестирования транзисторов

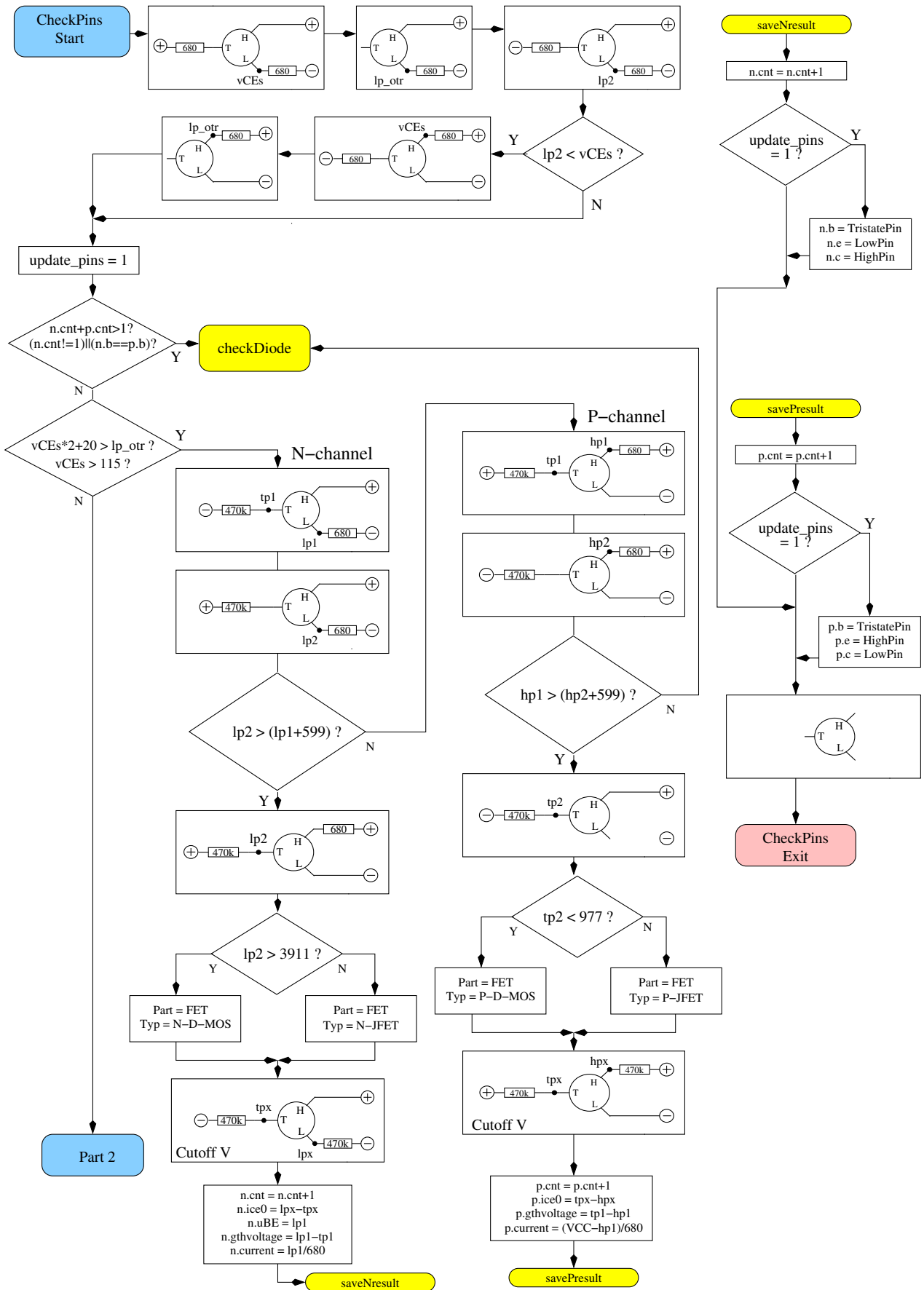


Рис. 5.8. Блок-схема тестирования транзисторов. Часть 1: JFET и Д-МОС

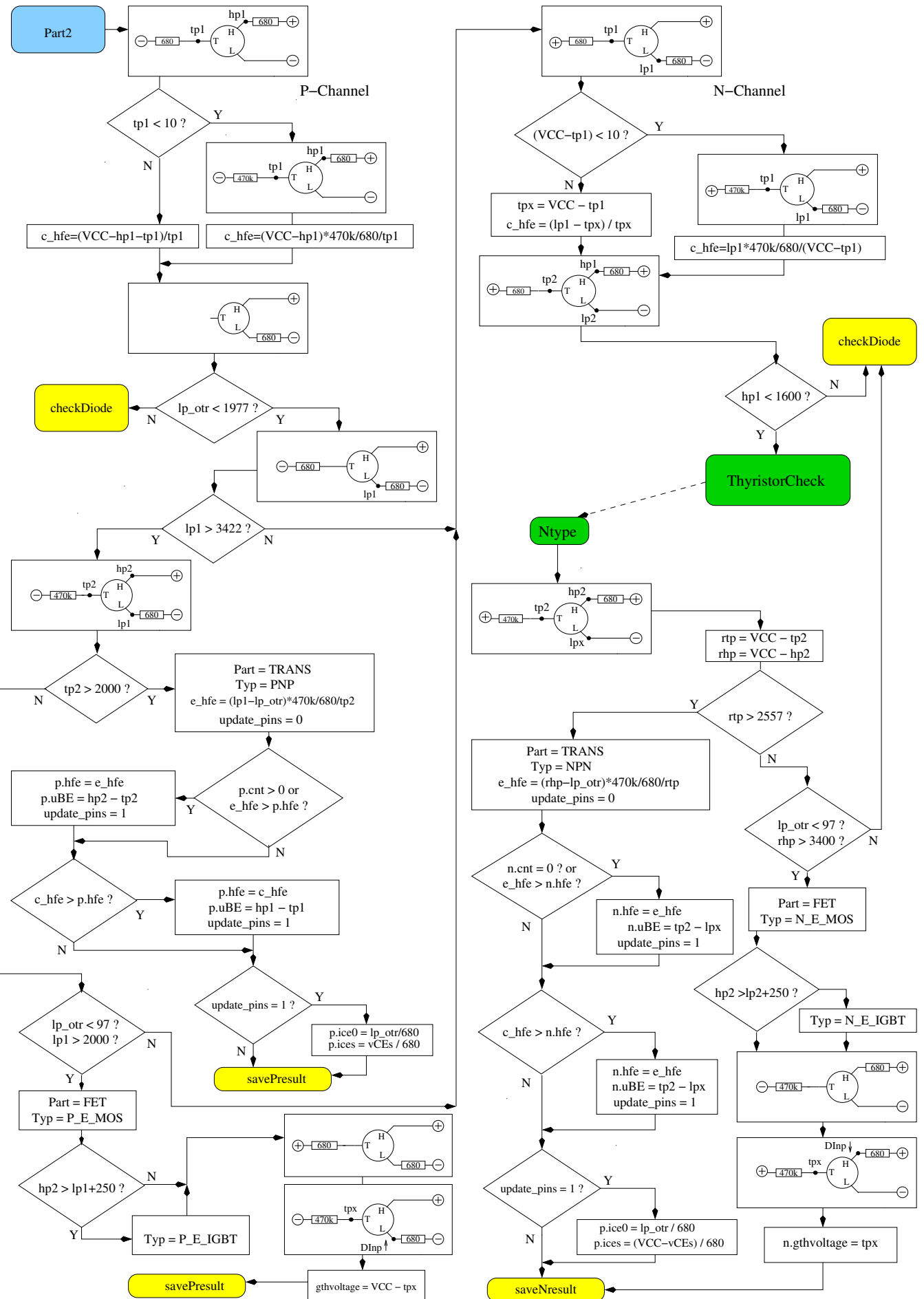


Рис. 5.9. Блок-схема тестирования транзисторов. Часть 2: БЖТ и Е-МОС

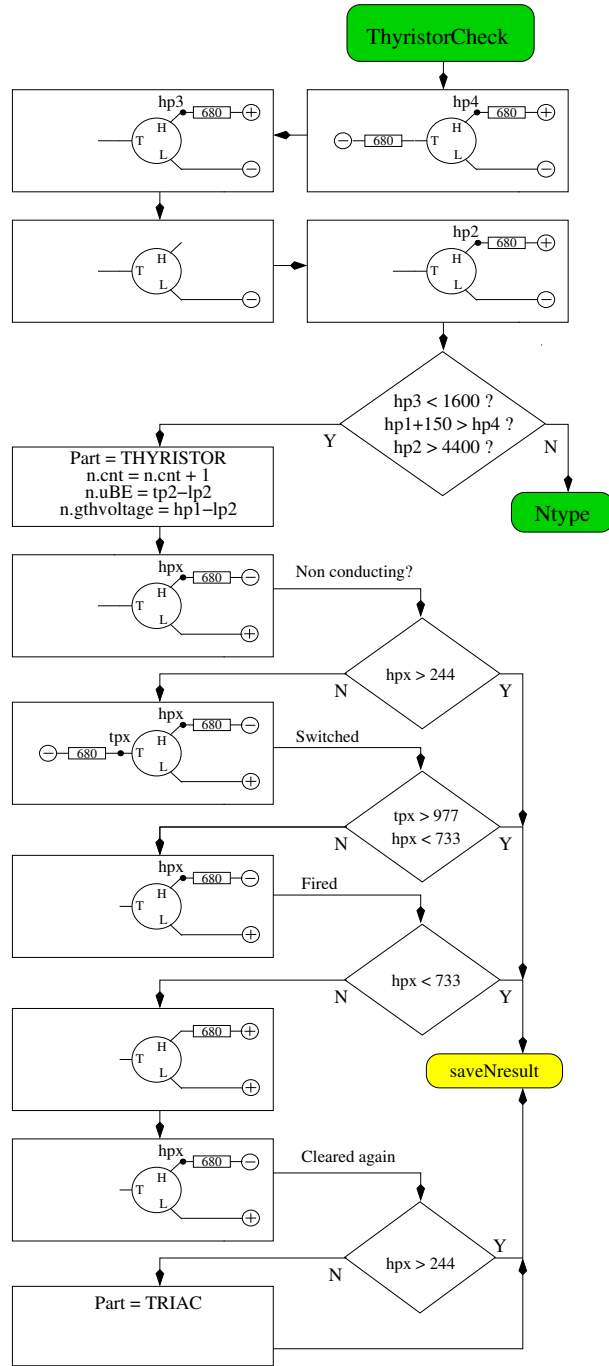


Рис. 5.10. Блок-схема тестирования транзисторов. Часть 3: Тиристор и симистор

#### 5.1.4 Измерение диодов

Если предварительными тестами будет обнаружен ток, то элемент будет опознан как диод. Падение напряжения с резистором  $680 \Omega$  должно быть между  $0,15 V$  и  $4,64 V$ . Падение напряжения с резистором  $680 \Omega$  должно быть в 1.125 раза больше падения напряжение с резистором  $470 k\Omega$  и падение напряжения с резистором  $470 k\Omega$  должно быть в 16 раз больше, чем падение напряжения с резистором  $680 \Omega$ . Дополнительно: при возобновлении измерения с резистором  $470 k\Omega$  напряжения должно быть не выше, чем в предыдущем измерении с резистором  $680 \Omega$ . Я надеюсь, что этот метод всегда идентифицирует диод. При идентификации двух диодов, включенных встречно-параллельно, невозможно определение тока утечки в противоположном направлении. Если обнаружен только одиночный диод, то ток утечки в обратном направлении измеряется с резистором  $470 k\Omega$  подключенным к ВЦЦ. Разрешение около  $2 nA$ . Если ток утечки

больше  $5,3 \mu A$  (напряжение на резисторе  $470 k\Omega$  составляет больше чем  $2,5 V$ ), измерение производится с резистором  $680 \Omega$ . В этом случае разрешение только около  $1 \mu A$ . Кроме того, для одиночного диода, может быть измерена ёмкость в обратном направлении.

### 5.1.5 Результаты различных измерений

Следующие таблицы показывают результаты испытательных исследований с различными микроконтроллерами ATmega8, ATmega168, ATmega328.

Тип диода	Мега8~8МХз	Мега168 ~8МХз	Мега328 ~8МХз
1Н4148	Диоде, 715мВ, 1пФ	Диоде, 718мВ, 0пФ, 2нА	Диоде, 715мВ, 1пФ, 4нА
1Н4150	Диоде, 665мВ, 1пФ	Диоде, 672мВ, 1пФ, 4нА	Диоде, 666В, 2пФ, 6нА
БА157	Диоде, 619мВ, 19пФ	Диоде, 621В, 17пФ, 12нА	Диоде, 615мВ, 18пФ, 12нА
БЫ398	Диоде, 538мВ, 16пФ	Диоде, 541мВ, 14пФ, 63нА	Диоде, 537мВ, 15пФ, 63нА
1Н4007	Диоде, 650мВ, 13пФ	Диоде, 655мВ, 10пФ, 6нА	Диоде, 650мВ, 13пФ, 6нА
ЛЕД греен	Диоде, 1,96В, 5пФ	Диоде, 1,95В, 4пФ	Диоде, 1,95В, 4пФ
ЗПЦ,7	2шДи, 743мВ, 2,53В	2шДи, 737мВ, 2,52В	2шДи, 733мВ, 2,51В
БУ508А БъЕ	Диоде, 609мВ, 5,15нФ	Диоде, 611мВ, 5,20нФ, 0,39уА	Диоде, 606мВ, 5,25нФ, 0,4уА
БУ508А БъЦ	Диоде, 582мВ, 256пФ	Диоде, 586мВ, 255пФ, 21нА	Диоде, 587мВ, 259пФ, 19нА
АТ28 БъЕ	Диоде, 272мВ, 0пФ	Диоде, 277мВ, 0пФ, 2,2уА	Диоде, 273мВ, 0пФ, 2,3уА
АТ28 БъЕ с охлаждением			Диоде, 349мВ, 140пФ, 0,57уА
МБР20100ЦТ	2шДи, 337мВ, 337мВ	2шДи, 338мВ, 338мВ	2шДи, 336мВ, 335мВ
МБР20100ЦТ	Диоде, 337мВ, 345пФ	Диоде, 339мВ, 351пФ, 29нА	Диоде, 337мВ, 350пФ, 25нА
МБР4045ПТ с охлаждением	Диоде, 243мВ, 1,80нФ	Диоде, 233мВ, 1,94нФ, 1,7уА	Диоде, 235мВ, 1,95нФ, 1,8уА
СК14	Диоде, мВ, 0пФ	Диоде, мВ, пФ, нА	Диоде, 263мВ, 0пФ, 0,57уА
СК14 с охлаждением	Диоде, мВ, нФ	Диоде, мВ, пФ, нА	Диоде, 334мВ, 88пФ, 4нА
СФ38Г	Диоде, 519мВ, 107пФ	Диоде, 521мВ, 105пФ, 2нА	Диоде, 516мВ, 106пФ, 2нА

Таблица 5.2. Результаты измерения диодов

Измерение обратной ёмкости для двойного диода МБР4045ПТ возможно только с охлаждением. Это вызвано высоким током утечки этого  $40 A$  диода. Также обратная ёмкость перехода база-эмиттер германиевого транзистора АТ28 может быть измерена только с охлаждением.

Тип Транзистора	Тип пр-ти	Мега8 общий коллектор	Мега328	Мега328 общий коллектор	Мега328 общий эмиттер
БУ508А	НПН	$\beta_{19}$ , 601мВ	$\beta_{19}$ , 597мВ	$\beta_{19}$ , 598мВ	$\beta_{14}$ , 484мВ
2Н3055	НПН	$\beta_{120}$ , 557мВ	$\beta_{121}$ , 550мВ	$\beta_{121}$ , 550мВ	$\beta_{16}$ , 442мВ
БЦ639	НПН	$\beta_{148}$ , 636мВ	$\beta_{172}$ , 629мВ	$\beta_{172}$ , 629мВ	$\beta_{158}$ , 605мВ
БЦ640	ПНП	$\beta_{1226}$ , 650мВ	$\beta_{176}$ , 609мВ	$\beta_{171}$ , 655мВ	$\beta_{177}$ , 608мВ
БЦ517	НПН	$\beta_{123,9к}$ , 1,23В	$\beta_{124,8к}$ , 1,22В	$\beta_{125,1к}$ , 1,22В	$\beta_{1764}$ , 1,23В
БЦ516	ПНП	$\beta_{175,9к}$ , 1,21В	$\beta_{176,2к}$ , 1,20В	$\beta_{176,2к}$ , 1,20В	$\beta_{1760}$ , 1,23В
БЦ546Б	НПН	$\beta_{1285}$ , 694мВ	$\beta_{1427}$ , 687мВ	$\beta_{1427}$ , 687мВ	$\beta_{1369}$ , 683мВ
БЦ556Б	ПНП	$\beta_{1304}$ , 704мВ	$\beta_{1254}$ , 668мВ	$\beta_{1235}$ , 709мВ	$\beta_{1255}$ , 668мВ
АТ28 (Ге.)	ПНП	$\beta_{163}$ , 191мВ	$\beta_{159}$ , 191мВ	$\beta_{157}$ , 193мВ	$\beta_{143}$ , 117мВ
БУЛ38Д параситиц	НПНп ПНПн	$\beta_{137}$ , 627мВ $\beta_{11}$ , 654мВ	$\beta_{141}$ , 617мВ $\beta_{181}$ , 543мВ	$\beta_{140}$ , 624мВ $\beta_{110}$ , 656мВ	$\beta_{136}$ , 562мВ $\beta_{183}$ , 541мВ
БРЫ55/200	Тхырист.	0,84В	0,81В	0,81В	0,82В
МАЦ97А6	Триац	0,92В	0,90В	0,90В	0,90В

Таблица 5.3. Результаты измерения биполярных транзисторов

Некоторые результаты значительно отличаются от результатов, полученных в более ранних версиях программного обеспечения от Маркус Ф. Например, транзистор Дарлингтона БЦ517 был измерен более ранним программным обеспечением: xФЕ1797 вместо 77200 и напряжение база-эмиттер  $1438 \text{ mV}$ . Это вызвано дополнительным измерением коэффициента усиления в шеме с общим коллектором. Кроме того, новая версия программного обеспечения показывает такой же низкий результат xФЕ в шеме с общим эмиттером, что можно увидеть в последнем столбце таблицы 5.3. Напряжение база-эмиттер измерено как отдельный диод. Теперь напряжение база-эмиттер измеряется при токе измерения коэффициента усиления ( $1,20 \text{ V}$ ). НПН-транзистор БУЛ38Д имеет между коллектором и эмиттером встроенный защитный диод, который может спровоцировать определение паразитного ПНП-транзистора с базой на месте коллектора правильного НПН транзистора. С версии программного обеспечения 1.10к оба транзистора обнаруживаются и помечаются добавлением символа р. Правильный транзистор будет найден при сравнении ёмкости перехода база - эмиттер. Предполагается, что правильный транзистор имеет более высокую ёмкость перехода. Если нажать и удерживать клавишу запуска во время вывода результата измерения, то будут показаны параметры паразитного транзистора. Наличие правильного транзистора будет отмечено индексом н (ПНПн). Паразитный транзистор определяется только с защитным диодом, расположенным на том же кристалле, что и правильный транзистор, а не с внешним диодом.

Следующая таблица 5.4 показывает результаты измерения для германевых транзисторов, которые являются проблемными из-за температурной зависимости и высокого обратного тока коллектора. Представлены вместе результаты оригинальной версии от Маркус Ф. и результаты версии 1.10к. Версия 1.10к для АТмега328 измеряет коэффициент усиления в шемах с общим коллектором и общим эмиттером с учетом обратного тока коллектора, и выводит более высокий результат. Обратный ток коллектора не учитывался в более ранних версиях программного обеспечения.

Тип транзистора	Мега8~1MX3 Оригинальная вер. Маркус Ф.	Мега168~8MX3 Версия 1.10к	Мега328~8MX3 Версия 1.10к
АТ28	ПНП, $\beta_{152}$ , 279мВ	ПНП, $\beta_{159}$ , 184мВ	ПНП, $\beta_{159}$ , 191мВ
АТ16-65	ПНП, $\beta_{1505}$ , 378мВ	ПНП, $\beta_{172}$ , 146мВ	ПНП, $\beta_{172}$ , 149мВ
АТ16-145	ПНП, $\beta_{1485}$ , 294мВ	ПНП, $\beta_{1146}$ , 161мВ	ПНП, $\beta_{1146}$ , 163мВ
АТ76-65	НПН, $\beta_{198}$ , 235мВ	НПН, $\beta_{158}$ , 94мВ	НПН, $\beta_{156}$ , 96мВ
ГТ22	ПНП, $\beta_{184}$ , 368мВ	ПНП, $\beta_{155}$ , 117мВ	ПНП, $\beta_{156}$ , 117мВ
ГЦ301	ПНП, $\beta_{148}$ , 289мВ	ПНП, $\beta_{139}$ , 184мВ	ПНП, $\beta_{139}$ , 188мВ
АТ61	НПН, $\beta_{1360}$ , 230мВ	НПН, $\beta_{1296}$ , 126мВ	НПН, $\beta_{1298}$ , 128мВ
АТ62	ПНП, $\beta_{12127}$ , 280мВ	ПНП, $\beta_{189}$ , 107мВ	ПНП, $\beta_{189}$ , 107мВ

Таблица 5.4. Результаты измерений германиевых биполярных транзисторов

В таблице 5.5 показаны результаты измерения некоторых полевых транзисторов. Одним из измеряемых параметров Е-МОС транзисторов является напряжение затвор-исток, которое замеряется по изменению состояния цифрового входа АТмега, подключенному к стоку через резистор  $680\ \Omega$ . Из-за небольшой ёмкости затвора, напряжение на нем изменяется очень быстро, что уменьшает точность фиксации этого напряжения. Например, у транзистора BC250 это напряжение изменялось от  $2,6\ V$  до  $2,5\ V$ , при подключении дополнительного конденсатора ёмкостью  $10\ nF$  параллельно выводам затвор и исток. Другим измеренным параметром является значение ёмкости затвора. Емкость затвора измеряется путем переключения вывода истока и затвора на ГНД. Доступное напряжение  $5\ V$  на затворе тестера является недостаточным для генерации достаточного тока для некоторых ИГБТ. Это мешает правильному обнаружению. В большинстве случаев обнаруживается только защитный диод коллектор-эмиттер. Источник, примерно,  $3\ V$ , подключенный к выходу, может решить проблему с обнаружением. Другой полюс источника должен быть подключен к тестовому выводу (ТП) тестера вместо соединения затвора. При правильной полярности батареи тестер должен обнаружить ИГБТ. Отображаемое напряжение переключения затвор-сток должно быть увеличено на величину напряжения батареи, чтобы получить правильное напряжение переключения. Для JFET транзисторов в качестве характеристики часто приведен ток  $I_{dss}$ , являющийся током стока при напряжении затвор-исток равном  $0\ V$ . В данной реализации, однако, ток не может превышать величины, определенной сопротивлением нагрузки в стоке JFET величиной  $680\ \Omega$ . Нагрузочный резистор генерирует обратное напряжение  $V_{gs\_off}$ , которое также отображается на индикаторе. С нагрузочным резистором  $470\ k\Omega$  в цепи истока JFET ток исток-сток будет почти нулевым. Таким образом, напряжение означення  $V_{gs\_off}$  исток-затвор может быть определено достаточно точно, при условии, что оно не превысит  $5\ V$ . С этими двумя рабочими точками мы можем определить ток затвор-исток  $I_{gss}$  с почти среднеквадратичной точностью. Если расчетный ток меньше  $40\ mA$ , дополнительно проводится измерение без сопротивления в цепи истока. По более высокому напряжению на выводе истока без резистора мы можем вычислить дополнительное значение тока. Используя эти результаты измерений, снова вычисляем ток затвор-исток  $I_{dss}$ , при этом он не должен превысить значения  $40\ mA$ . Из-за симметричной конструкции транзисторов JFET, невозможно отличить сток от истока.

Транзистор	Тип	Мега8~8МХ3	Мега168 ~8МХ3	Мега328 ~8МХ3
ЗВН.Л20А	Н-Е-МОС	Д, 1,6В, 147пФ	Д, 1,5В, 141пФ	Д, 1,5В, 140пФ
ИРФ530Н	Н-Е-МОС	Д, 3,6В, 1.55нФ	Д, 3,6В, 1,54нФ	Д, 3,6В, 1,54нФ
БС170	Н-Е-МОС	Д, 2,6В, 78пФ	Д, 2,6В, 68пФ	Д, 2,6В, 68пФ
ИРЛ3803	Н-Е-МОС	Д, 2,3В, 9.81нФ	Д, 2,3В, 9,71нФ	Д, 2,3В, 9,74нФ
ИРФУ120Н	Н-Е-МОС	Д, 4,2В, 909пФ	Д, 4,2В, 913пФ	Д, 4,2В, 911пФ
БУ371А	Н-Е-МОС	Д, 3,2В, 714пФ	Д, 3,2В, 708пФ	Д, 3,2В, 705пФ
ЗВЬ106А	П-Е-МОС	Д, 3,2В, 122пФ	Д, 3,2В, 115пФ	Д, 3,2В, 116пФ
ИРФ5305	П-Е-МОС	Д, 3,6В, 2.22нФ	Д, 3,6В, 2,22нФ	Д, 3,6В, 2,22нФ
БС250	П-Е-МОС	Д, 2,6В, 53пФ	Д, 2,6В, 43пФ	Д, 2,6В, 44пФ
ИРФУ9024	П-Е-МОС	Д, 3,5В, 937пФ	Д, 3,6В, 945пФ	Д, 3,5В, 933пФ
J310 Идсс124-60mA	Н-ЈФЕТ	3.1mA Вгс12.2В	3.1mA Вгс12.2В	3.1mA Вгс12.2В Идсс135mA
2H5459 Идсс14-16mA	Н-ЈФЕТ	2.1mA Вгс11.5В	2.1mA Вгс11.5В	2.1mA Вгс11.5В Идсс18.2mA
БФ256Ц Идсс11-18mA	Н-ЈФЕТ	3.4mA Вгс12.4В	3.4mA Вгс12.4В	3.4mA Вгс12.4В Идсс14mA
БФ245А Идсс12-6mA	Н-ЈФЕТ	1.1mA Вгс1.75В	1.1mA Вгс10.75В	1.1mA Вгс10.75В Идсс13.6mA
БФ245Б Идсс16-15mA	Н-ЈФЕТ	2.5mA Вгс11.7В	2.5mA Вгс11.7В	2.5mA Вгс11.7В Идсс10mA
БФ245Ц Идсс12-25mA	Н-ЈФЕТ	3.9mA Вгс12.7В	3.9mA Вгс12.7В	3.9mA Вгс12.7В Идсс17mA
Я75 Идсс17-60mA	П-ЈФЕТ	3.2mA Вгс12.2В	3.2mA Вгс12.2В	3.2mA Вгс12.2В Идсс126mA
2H5460 Идсс11-5mA	П-ЈФЕТ	0.78mA Вгс10.54В	0.77mA Вгс10.54В	0.78mA Вгс10.54В Идсс12.6mA
БСС169	Н-Д-МОС	2,6mA Вгс11,8В	Д, 2,6mA Вгс11,8В	Д, 2,6mA Вгс11,8В
ГП07Н20	Н-Е-ИГБТ	Ц13,81нФ Вт14,2В	Ц13,76нФ Вт14,2В	Ц13,74нФ Вт14,2В
Г4ПЦ30 с батареей	Н-Е-ИГБТ			Ц12.22нФ Вт12.0В±3.2В

Таблица 5.5. Результаты измерений МОП-транзисторов

## 5.2 Измерение резисторов

Каждый резистор измерен четырьмя различными типами измерения в одном направлении тока. Тот же самый резистор также измерен теми же самыми четырьмя типами измерения в другом направлении тока. Измерение в противоположном направлении используется только для того, чтобы идентифицировать резистор. Если несоответствие между обоими измерениями слишком большое, то это не резистор.

### 5.2.1 Измерение резистора с резисторами 680 Ом

Измерение неизвестного резистора  $R_{sh}$  осуществляется двумя способами с использованием прецизионных резисторов 680  $\Omega$ . Упрощенная схема этого измерения для испытательных выводов 1 (ТЬ) и 3 (ТПЗ) показана на рисунках 5.11 и 5.12 как пример шести выбранных комбинаций испытания.

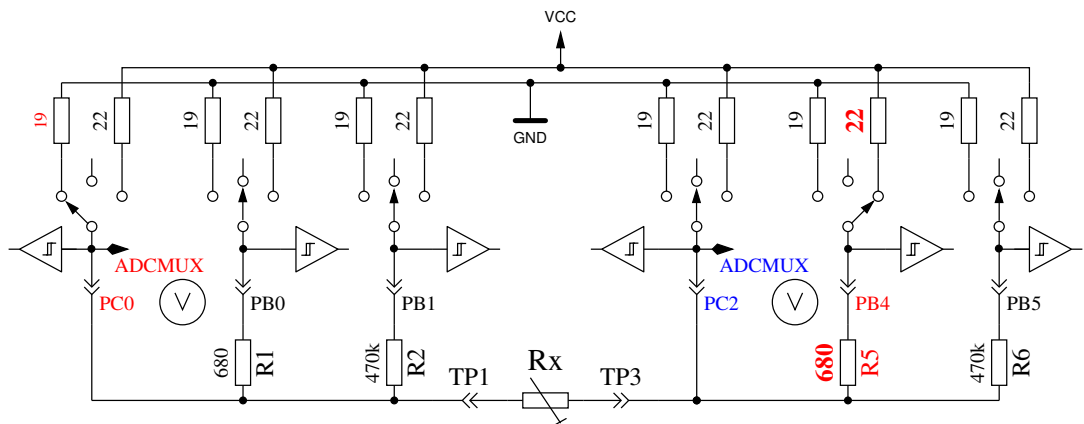


Рис. 5.11. Измерение Типа 1 с резистором 680  $\Omega$

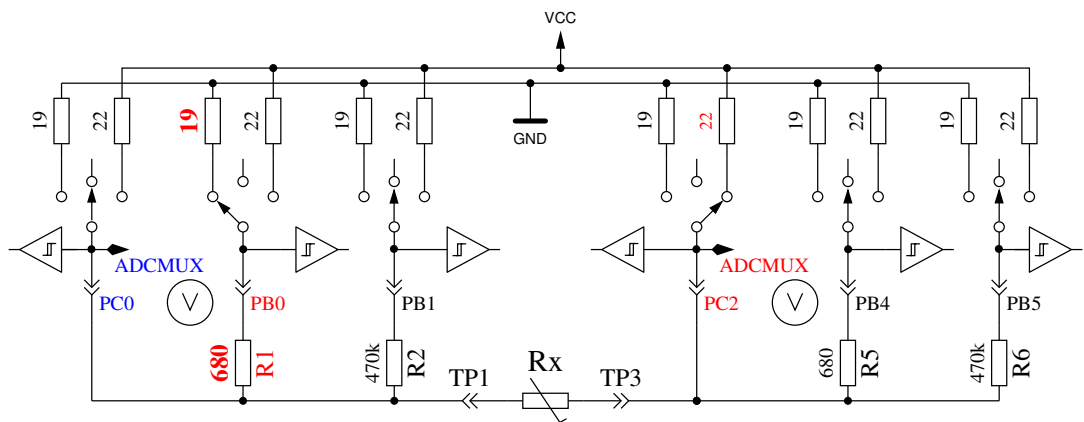


Рис. 5.12. Измерение Типа 2 с резистором 680  $\Omega$

С левой стороны расположен испытательный вывод 1, с правой стороны - испытательный вывод 3. В обеих диаграммах Вы видите, что вывод 3 (правая сторона) соединён с ВЦЩ, вывод 1 (левая сторона) соединен с ГНД. Направление тока, текущего через резистор  $R_{sh}$  является одинаковым. Значения портов, переключенных на выход, показаны красным цветом, значения портов, используемых в качестве входа, отображаются синим цветом, бездействующие порты - черные. В обоих показанных типах измерения ток должен быть одинаковым, потому что суммарная величина резисторов между ВЦЩ и ГНД идентична (если измерительные резисторы одинаковые – в идеальном случае). Обычно измеренное напряжение не одинаковое, потому что

меняюща подключенные резисторы. Символ В на диаграмме отмечает порты, используемые для измерения напряжения. В обеих конфигурациях величина резистора  $R_{sh}$  может быть вычислена по известной величине резистора и измеренному напряжению, если отношение резистора  $R_{sh}$  к  $680 \Omega$  не слишком велико. Теоретическое отклонение напряжения показано на рисунке 5.13, где величина резистора показана в логарифмическом масштабе.

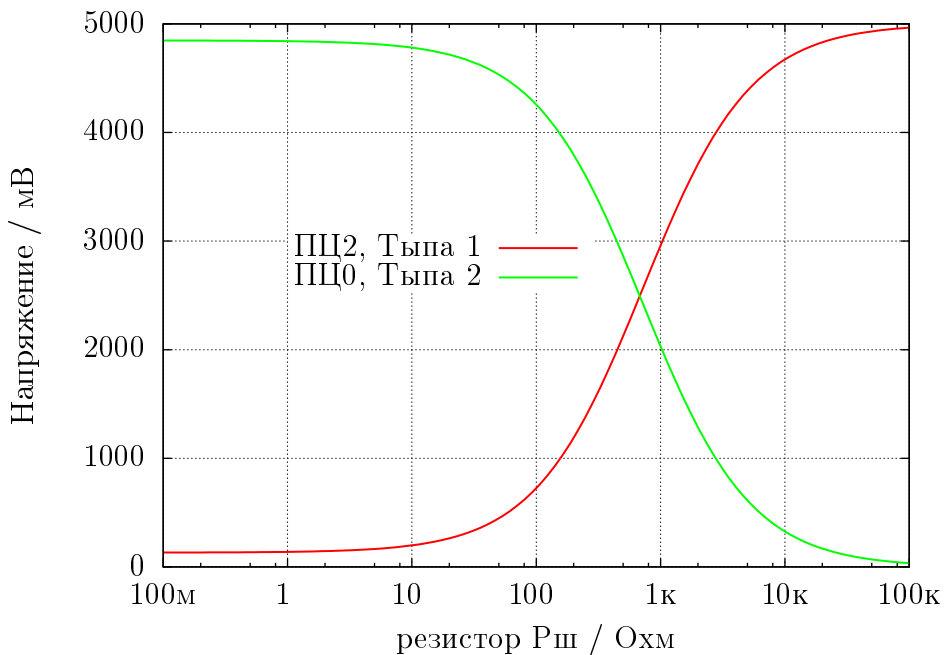
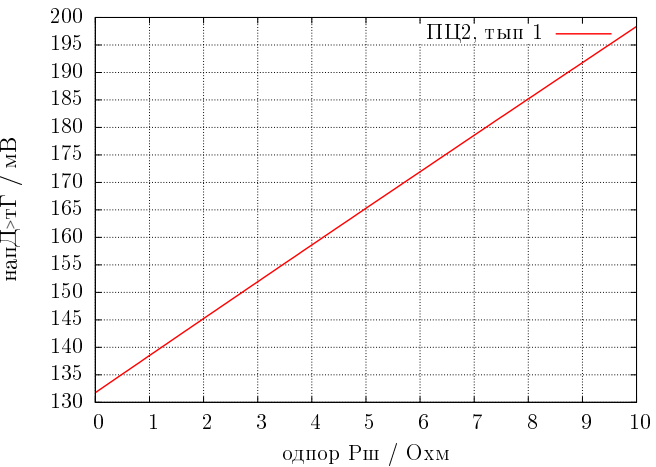


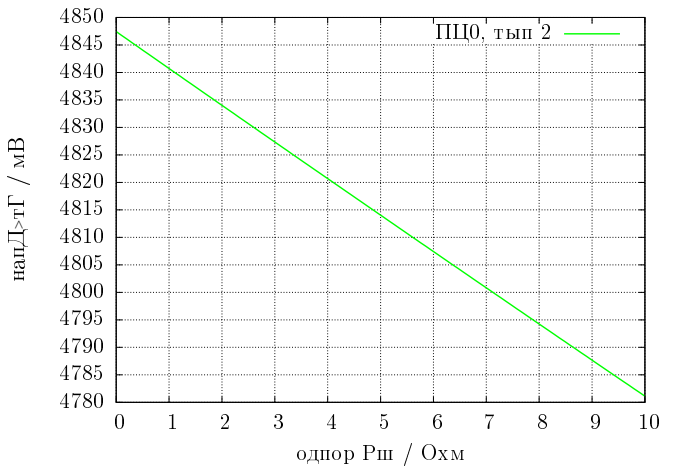
Рис. 5.13. Напряжение при измерениях Типа 1 и Типа 2 с резистором  $680 \Omega$

График измерения Типа 1 показан на рисунке 5.14а с измененным масштабом изображения для малых значений резисторов. Здесь видно, что для получения точного измерения величины резистора ниже  $2 \Omega$  необходимо лучшее разрешение АЦП, чем стандартное разрешение  $4,9 mV$  с  $5 V$  ИОН. Есть только 3 оцета АЦП от  $0 \Omega$  до  $2 \Omega$ . Опция АУТО\_СЦАЛЕ\_АДЦ, переключающая диапазон АЦП, может помочь в этом случае. Тот же самый участок с измененным масштабом изображения диапазона измерения Типа 2 показан на рисунке 5.14б. К сожалению, мы не можем использовать высокое разрешение АЦП для измерения типа 2 в этом диапазоне, потому что напряжение слишком высоко, а у применённых ATmega нет дифференциального входа АЦП. Измерения с резисторами  $680 \Omega$  проводятся для получения результата измерений до  $20 k\Omega$  (измеренное напряжение типа 2 будет ниже  $169 mV$ ).

Для более высоких значений измеряемого резистора измерения проводятся с резисторами  $470 k\Omega$ . Если все тесты свидетельствуют о том, что это не другой тип элемента, то полученная величина обоих измерений берется в качестве величины сопротивления резистора для отображения на дисплее. Если выбрана опция АУТО\_СЦАЛЕ\_АДЦ, и одно из напряжений обоих типов измерения ниже  $0,98 V$ , взвешенное среднее значение вычисляют с коэффициентом 4 для этой величины. Другая взвешенная величина имеет коэффициент 1. Это сделано для того, чтобы предпочесть коэффициент 4 для лучшего разрешения этого измерения. Коэффициент 4 взят только для микроконтроллеров ATmega168 и ATmega328, для ATmega8 в качестве весового коэффициента взято 2, если напряжение ниже  $0.98 V$ , потому что опорное напряжение для АЦП ATmega8  $2,54 V$  вместо  $1,1 V$  для ATmega168 и ATmega328. Для ATmega168 и ATmega328 измерение напряжения на резисторах будет задержано, пока не обнаружатся большие изменения или закончатся лимит времени. При использовании этого метода большие конденсаторы более не определяются, как резисторы, по ошибке, и сопротивление постоянному току больших катушек индуктивности будет измерено правильно.



(а) Измерение Типа 1



(б) Измерение Типа 2

Рис. 5.14. Теоретическое напряжение от 0 Ω до 10 Ω

### 5.2.2 Измерение резистора с резисторами 470 кОм

Следующие рисунки 5.15 и 5.16 показывают ту же самую процедуру измерения с прецизионными резисторами 470 kΩ. Поскольку 470 kΩ очень большие относительно величины резистора порта 19 Ω или 22 Ω, величины резисторов портов не учитываются для вычисления величины резистора Рш.

Для обоих Типов измерения с резисторами 470 kΩ измеряется только одно напряжение, потому что ток настолько низок, что никакое различие напряжения во внутренних резисторах порта ATmega не может быть измерено (как и ожидалось). Теоретическое отклонение напряжения показано на рисунке 5.17 где величина резистора показана в логарифмическом масштабе. Теоретическое отклонение в этой диаграмме заканчивается на 100 MΩ, но фактическое значение для Тестера ограничено 60 MΩ, иначе Тестер определяет, что резистор не подключен. Взвешенное среднее число обоих Типов измерения взято в качестве результата с теми же самыми коэффициентами, описанными для измерений с резисторами 680 Ω. Для всех микроконтроллеров ATmega я определил, что взвешенные результаты с резисторами 470 kΩ более точны, если будет добавлено постоянное смещение 350 Ω. Этот сдвиг может быть подобрано определением величины RX\_OFFSET в файле config.x

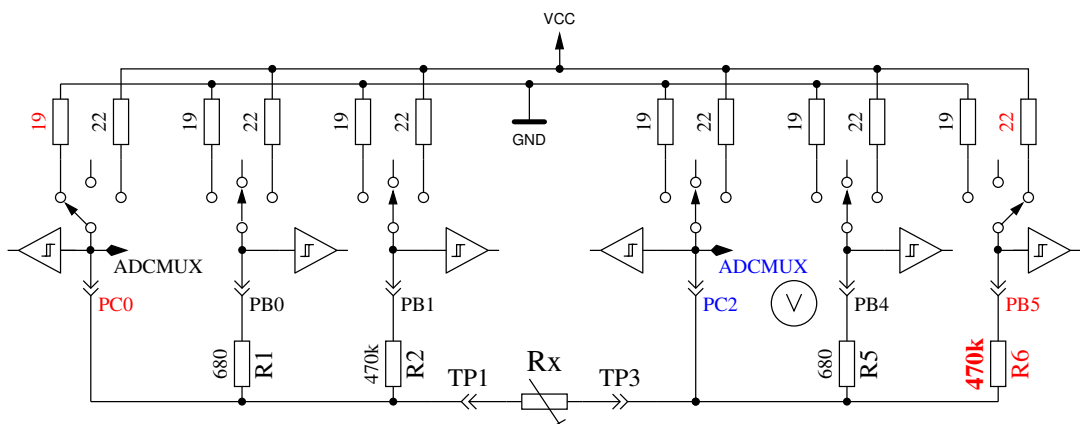


Рис. 5.15. Измерение Типа 3 с резистором 470 kΩ

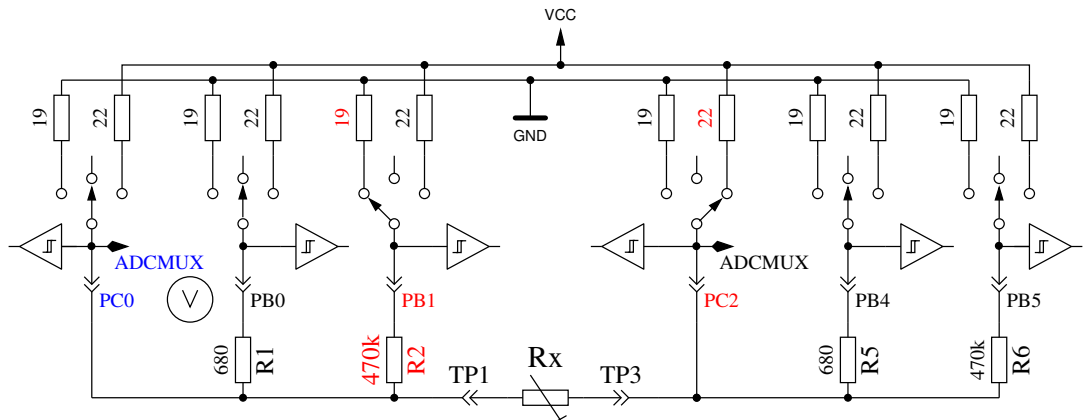


Рис. 5.16. Измерение Типа 4 с резистором  $470\text{ k}\Omega$

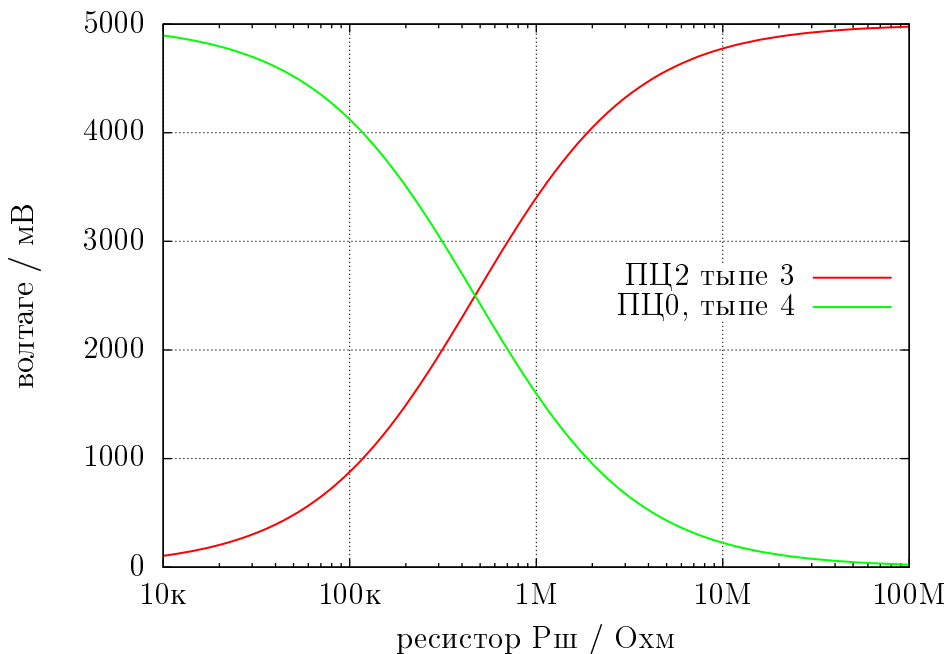


Рис. 5.17. Напряжение при измерениях Типа 3 и Типа 4 с резистором  $470\text{ k}\Omega$

### 5.2.3 Результаты измерений резистора

Рисунок 5.18 показывает относительную погрешность измерений резистора тремя АТмега8 . Дополнительно приведены результаты с оригинальным программным обеспечением от Маркус Ф. («Мега8ориг») с одним АТмега8. На рисунках 5.19а и 5.19б показаны результаты измерений с АТмега8А и АТмега8Л. Рисунок 5.20 показывает те же самые измерения с АТмега168 (Мега168 - результаты без опции АУТОСЦАЛЕ\_АДЦ, Мега168ас - те же самые измерения с опцией АУТОСЦАЛЕ\_АДЦ). Применение АТмега168 дает возможность измерения резисторов в диапазоне от  $20\text{ }\Omega$  до  $20\text{ M}\Omega$  с точностью  $\pm 1\%$ . Для измерений ниже  $100\text{ }\Omega$  Вы должны иметь в виду, что любые измерительные провода также имеют сопротивление. Лучше подсоединить резистор непосредственно к контактам терминала. Если это невозможно, вычтите величину сопротивления, измеренную с закороченными щупами. Например, если резистор маркирован  $30\text{ }\Omega$  и Тестер показывает величину  $30,6\text{ }\Omega$ , а у закороченных щупов замерена величина  $0,5\text{ }\Omega$ , то измеренная величина резистора составит  $30,1\text{ }\Omega$ . Для сопротивлений ниже  $10\text{ }\Omega$  один оцет разрешения даёт ошибку больше, чем  $1\%$ !

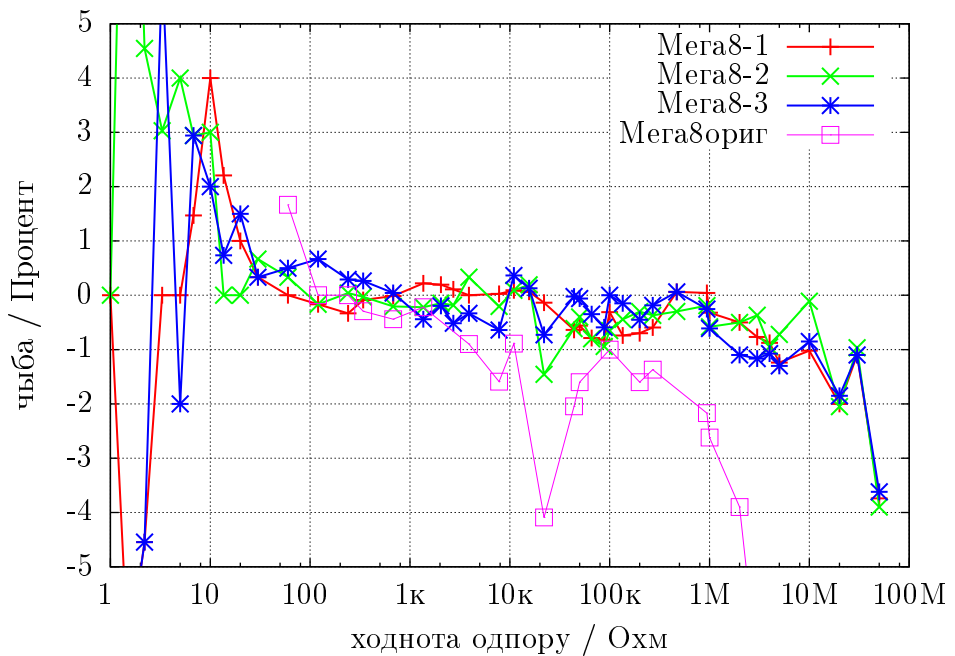


Рис. 5.18. Относительная погрешность измерений резисторов на ATmega8

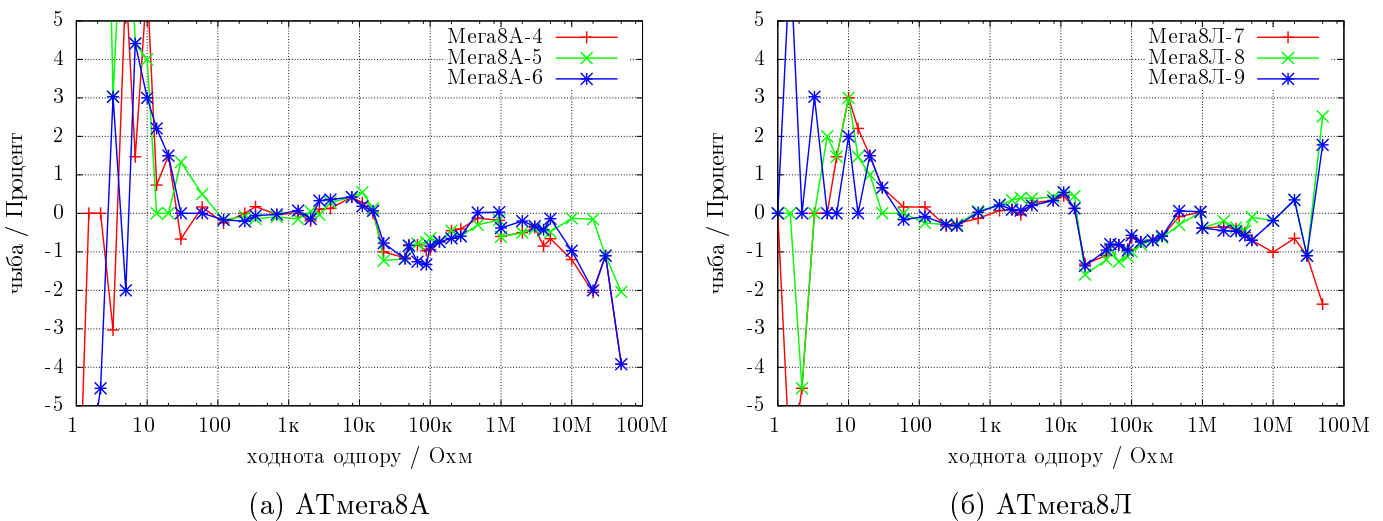


Рис. 5.19. Относительная погрешность измерений резисторов

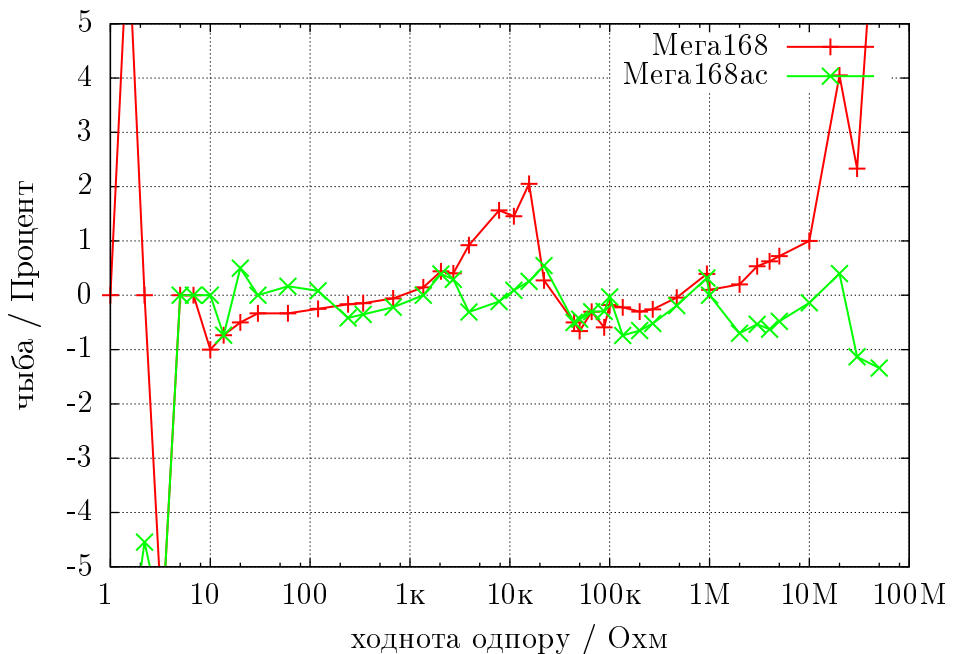
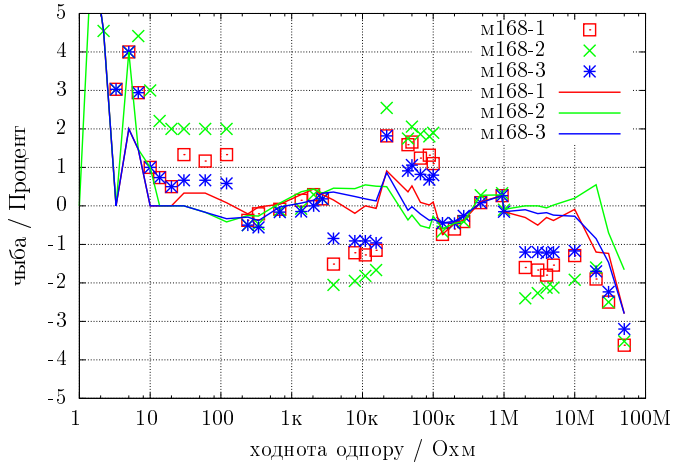
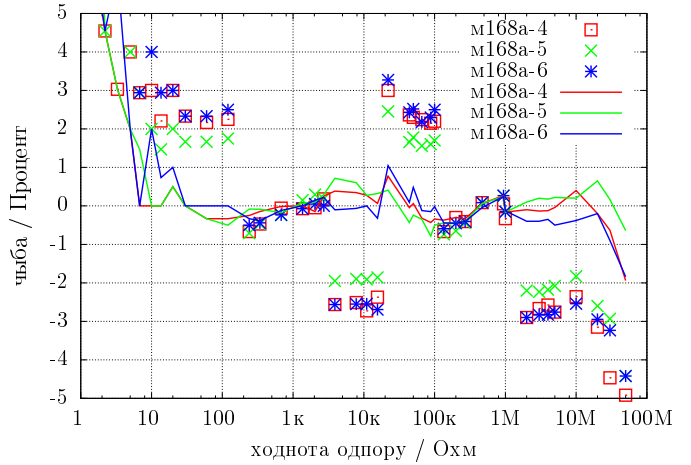


Рис. 5.20. Относительная погрешность измерений резисторов на ATmega168

Рисунок 5.21а показывает погрешность измерения для трех микроконтроллеров ATmega168 перед калибровкой - точками, после калибровки - линией. Аналогичная погрешность измерения для трех ATmega168A показана на рисунке 5.21б а погрешность измерения для трех ATmega168P показана на рисунке 5.22. Погрешность измерения для трех ATmega328 показана на рисунках 5.23а и 5.23б. После автокалибровки относительная погрешность измерения резисторов в диапазоне от  $10\ \Omega$  –  $20\ M\Omega$  обычно находится в пределах  $\pm 1\%$ . Только одно измерение резистора  $22\ k\Omega$  с ATmega328P-13 показывает более высокую погрешность. Перед калибровкой погрешность некоторых микроконтроллеров составляла  $\pm 3\%$ . Это было скорректировано переключением опоры АЦП опцией AUTOSCALE\_ADC. Прямое сравнение напряжения на конденсаторе ниже  $1\ V$ , однократно измеренного с опорой ВЦЦ, и другое однократное измерение с внутренней опорой, может подстроить эту погрешность. Измерение напряжения производится тем же самым каналом мультиплексора, а внутренняя опора связана с выводом АРЕФ ATmega. К сожалению, прямое измерение опоры со своим каналом мультиплексора приводит к смещению, которое может быть вручную подстроено опцией REF\_P\_KOPP или автоматически опцией самопроверки AUTO\_CAL. Значение REF\_P\_KOPP является дополнительным смещением к автоматически определенному значению с опцией AUTO\_CAL!



(а) ATmega168



(б) ATmega168A

Рис. 5.21. Относительная погрешность измерений резисторов

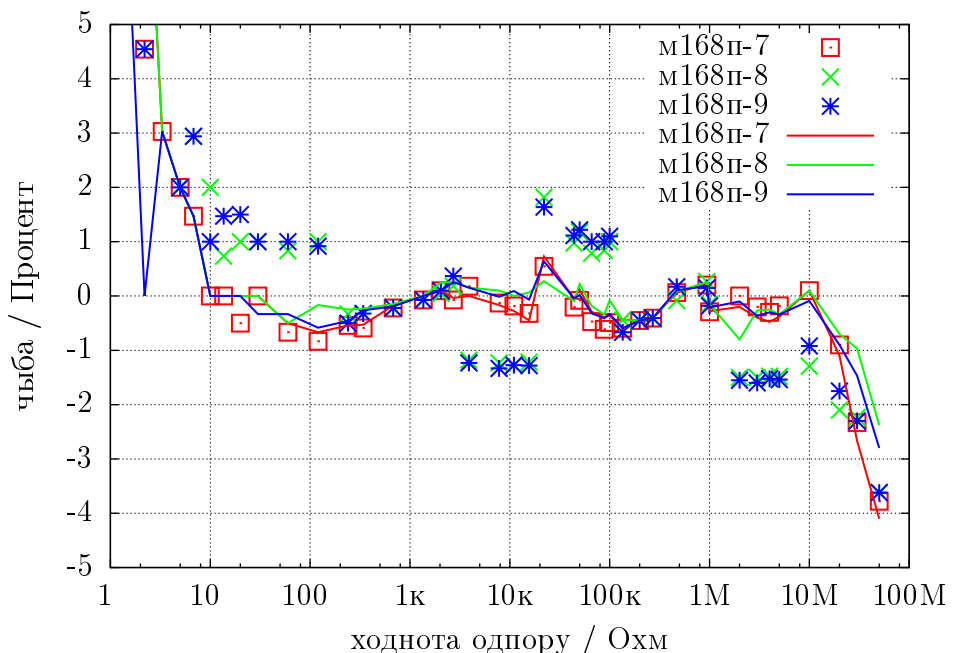
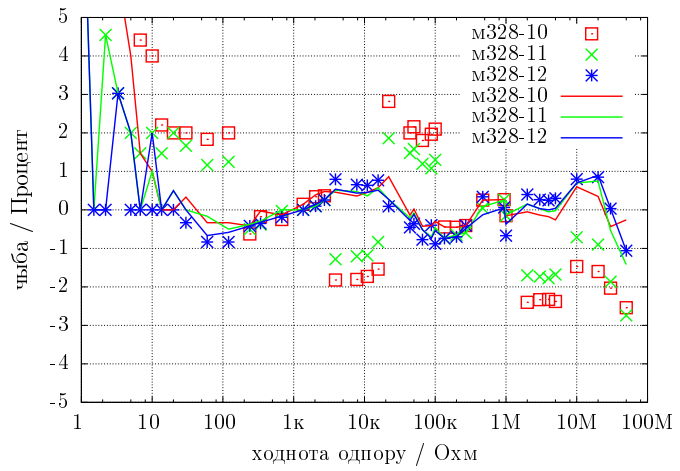
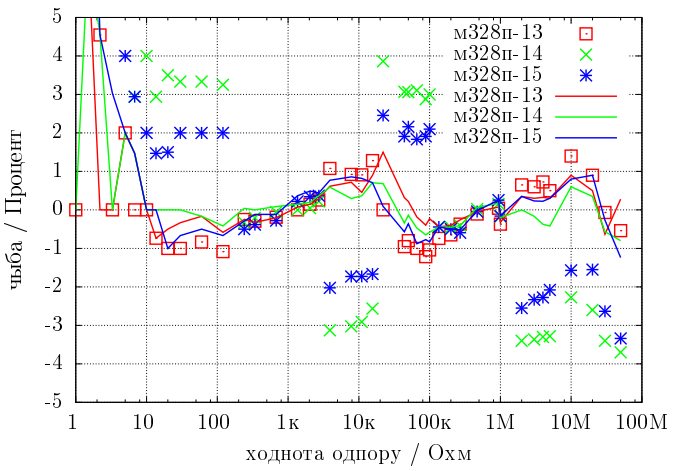


Рис. 5.22. Относительная погрешность измерений резисторов на ATmega168П



(а) ATmega328



(б) ATmega328П

Рис. 5.23. Относительная погрешность измерений резисторов

## 5.3 Измерение конденсаторов

Измерение величины ёмкости конденсаторов сделано, как отдельная задача измерения времени зарядки после всех других измерений. Оригинальное программное обеспечение от Маркус Ф. это делает в цикле программы, которая читает соответствующие цифровые входы, пока не произошло отключение, и считает количество циклов. У этого способа есть ограничение: разрешение измерения времени ограничено временем, требующимся для одного цикла. Это обычно делается во всех шести комбинациях для всех трех испытательных выводов. Новое программное обеспечение использует два разных способа получения времени зарядки только в трех комбинациях для трех испытательных выводов.

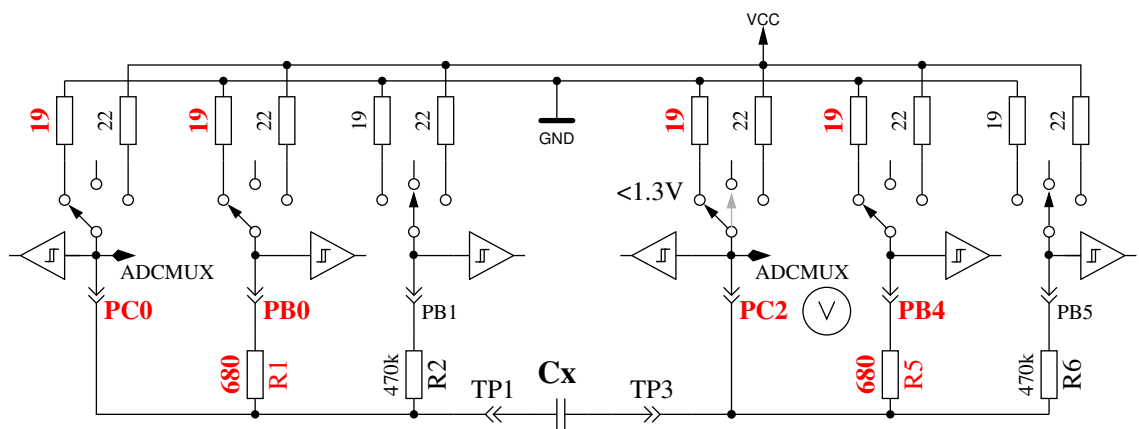
Положительный вывод конденсатора всегда подключен к испытательному выводу с более высоким номером. Если конденсатор измеряется параллельно с диодом, полярность может быть в другом порядке.

### 5.3.1 Разрядка конденсатора

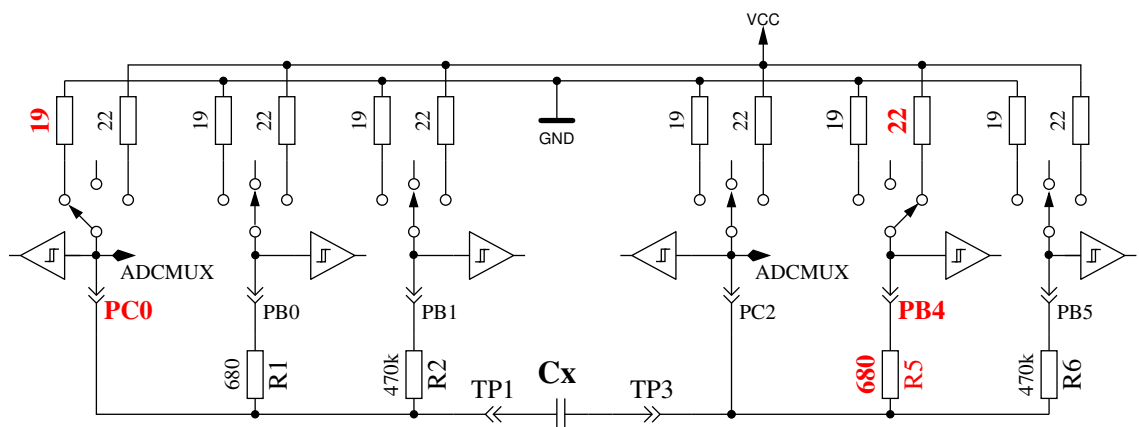
Вы должны всегда разряжать конденсатор прежде, чем подсоединить его к Тестеру. Тестер дополнительно разряжает конденсатор перед любым измерением. Если напряжение ниже  $1300\text{ mV}$ , конденсатор будет закорочен выходами порта, соединенными со входами порта АЦП (порт II). Я полагаю, что это допустимо, потому что выход порта имеет встроенный резистор около  $20\text{ }\Omega$ . Рисунок 149 (страница 258) технического описания [3] показывает падение напряжения на выходах до  $2\text{ V}$ . Конечно, я не могу гарантировать, что никакое повреждение не может произойти. Я проверил функцию с конденсаторами большими, чем  $15\text{ }\mu\text{F}$  много раз, и я никогда не замечал проблемы. Ток должен быть ниже указанного предела  $40\text{ mA}$  и быстро уменьшен при разрядке. Конечно, повреждение может произойти, если Вы не разрядите конденсатор (высокое напряжение) прежде, чем соедините его с Тестером.

### 5.3.2 Измерение конденсаторов большой ёмкости

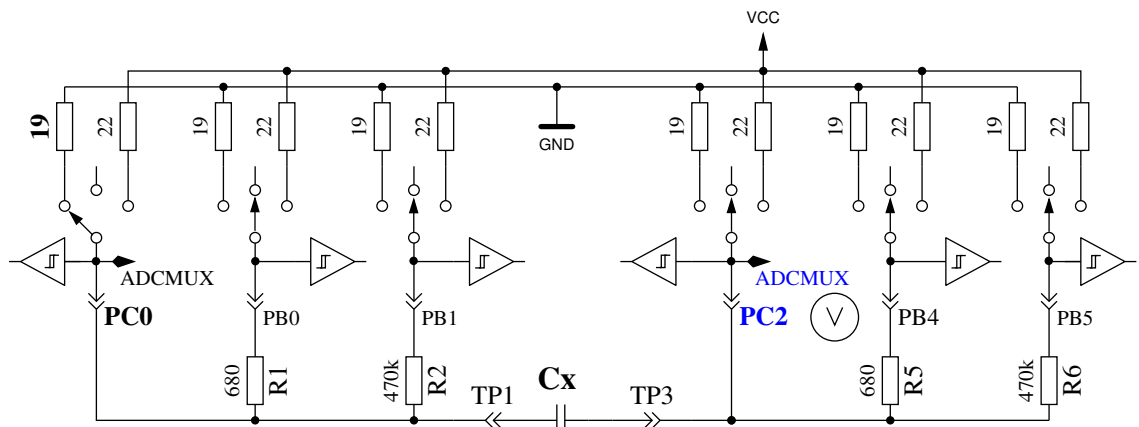
Одна сторона конденсатора подключена к ГНД. Другая сторона конденсатора подключена через резистор  $680\text{ }\Omega$  к ВЦЦ на  $10\text{ ms}$ . Впоследствии этот испытательный вывод будет переключен на ввод (высокий импеданс). После этого,  $10\text{ ms}$  импульса тока, замеряется напряжение на конденсаторе без тока. Если напряжение не достигло минимального значения  $300\text{ mV}$ , импульс зарядки будет повторен до 499 раз. Если после 127 импульсов не достигнуто минимальное напряжение  $75\text{ mV}$  (приблизительно  $2\text{ s}$ ), дальнейшая зарядка будет остановлена, потому что  $300\text{ mV}$  не смогут быть достигнуты остающимися импульсами зарядки. Рисунок 5.24 показывает три фазы измерения величины ёмкости конденсатора. Величина ёмкости вычисляется по количеству импульсов зарядки и величине достигнутого напряжения заряда из таблицы. Таблица содержит коэффициенты, чтобы получить значение в  $\text{nF}$  от времени зарядки и достигнутого напряжения с шагом  $25\text{ mV}$ . Промежуточная величина напряжения будет интерполирована.



Счнеллентладунг дес Конденсаторс



10мс Ладунгсхасе дес Конденсаторс



Спанинг-messхасе дес Конденсаторс

Рис. 5.24. Разрядка конденсатора и зарядка импульсом 10 ms до напряжения, не достигающего значения 300 mV

В результате низкого напряжения заряда измерение проходит намного быстрее, чем в оригинальной версии программного обеспечения, потому что это преимущество работает также при разрядке. Таким способом могут быть измерены большие конденсаторы. Кроме того, если диод подключен параллельно конденсатору, то он, в большинстве случаев, не нарушает измерение, потому что, для большинства диодов, не может быть достигнуто прямое падение напряжения. Начиная с версии программного обеспечения 1.12к, используется некоторая особенность для измерения остаточного напряжения конденсатора перед измерением его ёмкости. В зависимости

от предыдущего теста конденсатора, остаточное напряжение может быть как положительным, так и отрицательным. Отрицательные напряжения не может быть измерено АЦП. По этой причине, напряжение на отрицательном контакте подтягивающееся резистором  $690\ \Omega$  примерно до  $132\ mV$ , как показано на рисунке 5.25. При разности напряжений, измеренных на обеих сторонах конденсатора остаточное напряжение может быть измерено при любой полярности. Напряжение положительного тестового контакта остающееся положительным в любом случае, даже если конденсатор имеет отрицательное остаточное напряжение несколько  $mV$ .

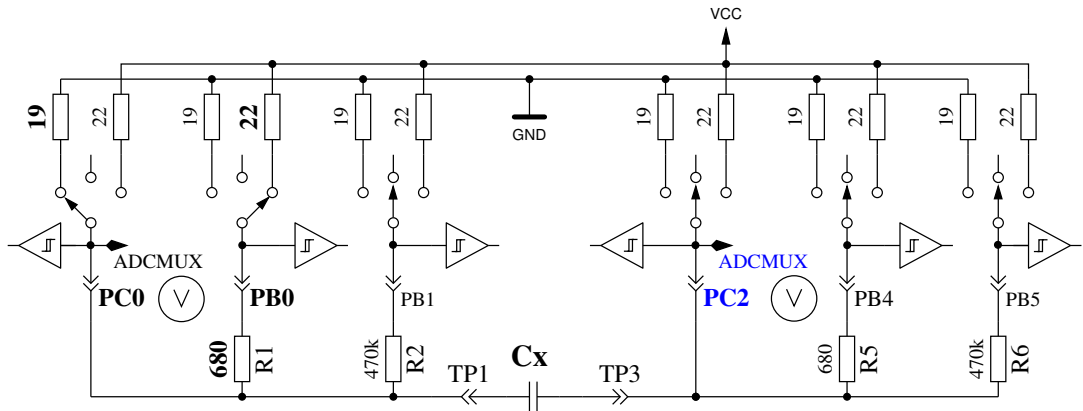


Рис. 5.25. Измерение остаточного напряжения перед зарядом конденсатора

Рисунок 5.26а показывает зарядку и разрядку конденсатора  $229\ \mu F$ . Плоская вершина диаграммы от конца зарядки и до начала разрядки вызвана измерением и временем вычисления АТмега. Рисунок 5.26б показывает такое же измерение конденсатора  $5\ mF$ . Заметьте, что время измерения составило приблизительно  $1,5\ s$ , включая разрядку. Последний пример показывает измерение ёмкости конденсатора  $15\ mF$  на рисунке 5.27

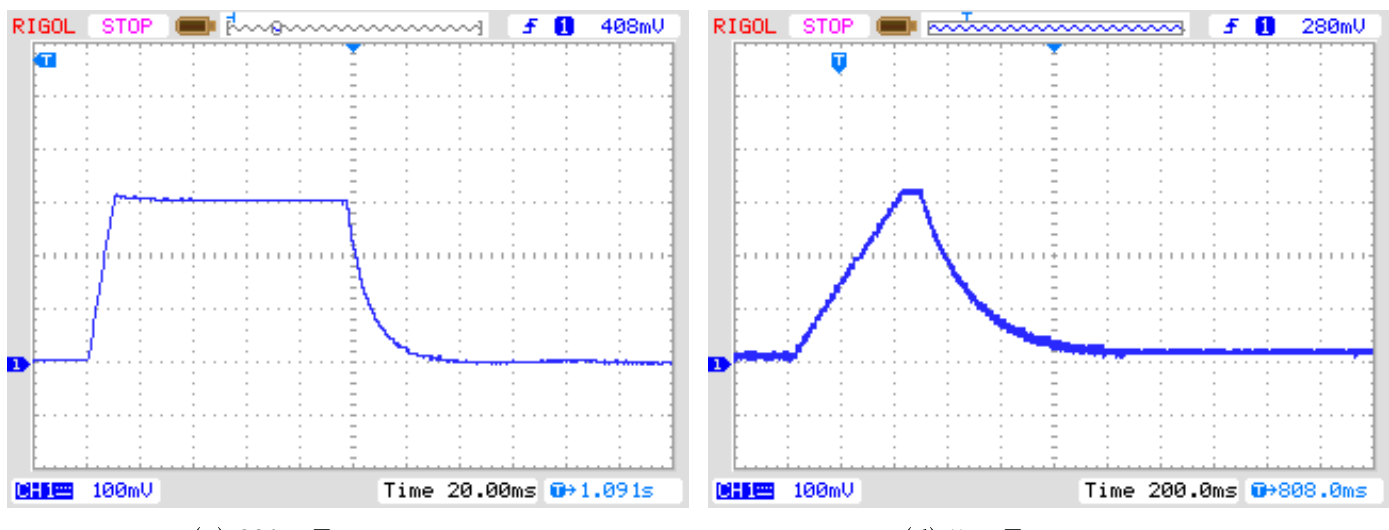


Рис. 5.26. Зарядка и разрядка конденсатора большой ёмкости для измерения

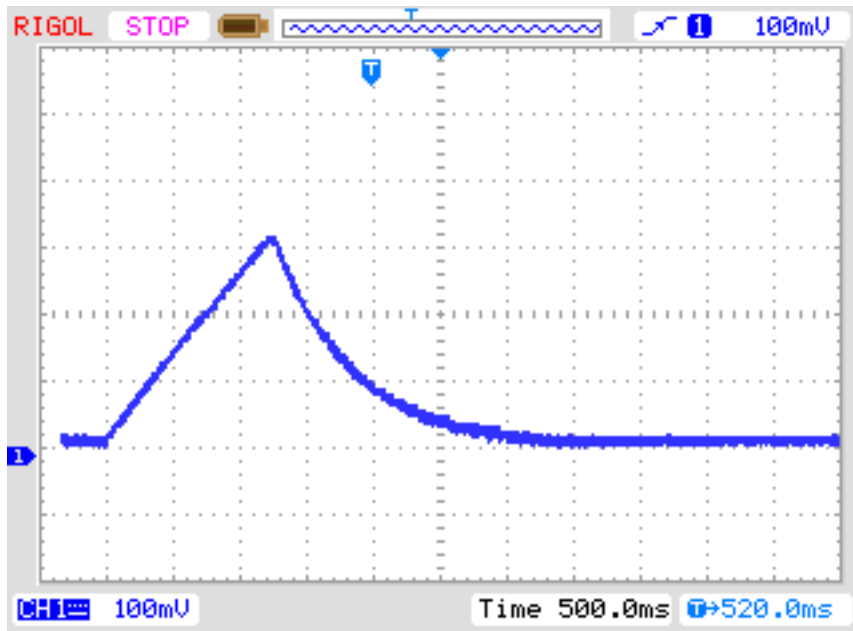


Рис. 5.27. Зарядка и разрядка конденсатора  $15 \text{ mF}$  для измерения

После измерения ёмкости конденсатора будет проверен саморазряд ожиданием пропорционально периоду, который потребовала зарядка, и снова будет осуществлено считывание напряжения заряда. Взвешенная полная ёмкость будет скорректирована из-за этого падения напряжения. Тест с параллельно подключенными конденсатором  $68 \mu\text{F}$  и резистором  $2,2 \text{ k}\Omega$  показывает эффективность этого метода. Измеренное значение ёмкости без резистора  $66,5 \mu\text{F}$ , с параллельным резистором  $2,2 \text{ k}\Omega$  измеренное значение ёмкости  $66,3 \mu\text{F}$ . Для сравнения, результаты, измеренные мультиметром ПеакТеч 3315. Без резистора значение ёмкости  $68,2 \mu\text{F}$  с параллельным резистором  $2,2 \text{ k}\Omega$  значение ёмкости  $192 \mu\text{F}$ .

### 5.3.3 Измерение конденсаторов малой ёмкости

Если первый,  $10 \text{ ms}$ , импульс зарядки перезарядил конденсатор, используя другий алгоритм измерения. У микроконтроллера АТмега есть встроенный 16-битный счётчик, который может работать на тактовой частоте микроконтроллера ( $1 \text{ MHz}$  или  $8 \text{ MHz}$ ). У этого счётчика есть также возможность сохранять подсчитанное значение внешним сигналом. Этот сигнал может быть выходом компаратора. Компаратор может работать с любым входом АЦП и запрещенной зоной опоры. Рисунок 5.28 показывает упрощенную шему измерения. Итак, я разряжаю конденсатор, подключаю компаратор к соответствующему входу, сбрасываю счётчик в 0 и сразу начинаю зарядку конденсатора, подсоединённого одной стороной к ГНД а другой стороной, через резистором  $470 \text{ k}\Omega$ . Теперь я проверяю в пределах петли программы переполнение счётчика или сигнал захвата по входу (внешний сигнал). Я считаю события переполнения, пока не обнаруживаю входной сигнал захвата. В этом случае я останавливаю счётчик и проверяю, не нужно ли подсчитать дополнительное переполнение, возникшее, пока счётчик не был остановлен входным сигналом захвата.

Входной счётчик захвата и счётчик переполнений совместно определяют полное время, по которому мы можем рассчитать фактическую ёмкость. Программное обеспечение использует таблицу с теоретической зависимостью времени зарядки от напряжения компаратора. Таблица составлена с шагом  $50 \text{ mV}$  и будет интерполирована согласно фактическому опорному напряжению. Эта таблица будет активна только с опцией ЩИТХ\_АУТО\_РЕФ в Макефиле. Из полученной величины я вычитаю предопределенное, полученное экспериментально, постоянное значение или значение смещение нуля, найденное последней самопроверкой с установленной опцией

АУТО\_ЦАЛ. Смещение нуля может меняться в зависимости от типа печатной платы, используемого испытательного оборудования или микроконтроллера. Самопроверка с установленной опцией АУТО\_ЦАЛ определит смещение нуля автоматически.

Я заметил, что стабильность опорного напряжения несколько мала, что Вы можете выбрать опцию РЕФ\_Ц\_КОРР в Макефиле. После калибровки с опцией АУТО\_ЦАЛ, РЕФ\_Ц\_КОРР будет смещением к измеренной разнице напряжений между заряженным конденсатором и внутренней опорой. Измеренное опорное напряжение будет тогда добавлено к Вашему значению (в  $mV$ ). Если опция ЩИТХ\_АУТО\_РЕФ не используется, то применены справочные напряжения для ATmega8, ATmega168 и ATmega328, приведенные в технических описаниях [3] и [4]. Типовое измерение по этому алгоритму показано на рисунке 5.29. Время измерения для конденсатора  $22 \mu F$  больше  $2,6 s$ , потому что для зарядки используется  $470 k\Omega$ . Но разрядка в этом случае намного быстрее, чем зарядка.

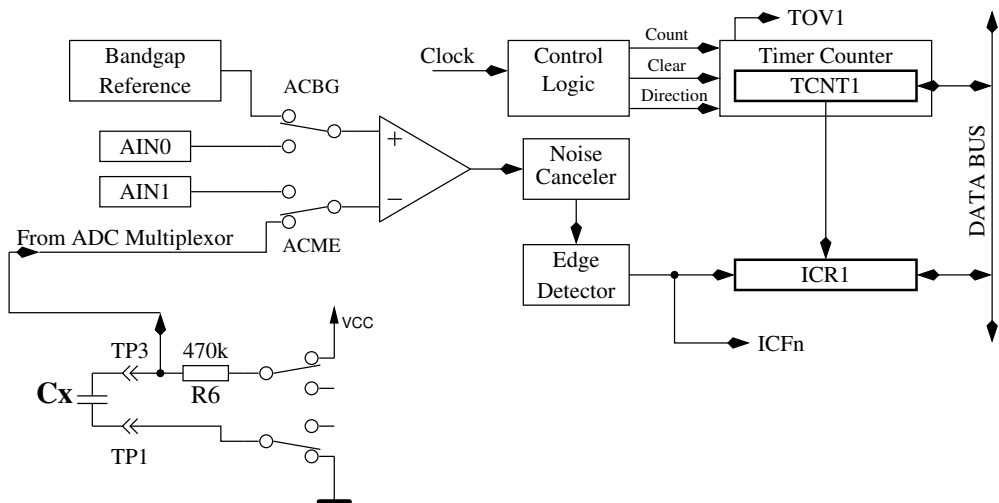


Рис. 5.28. Измерение малой ёмкости с компаратором

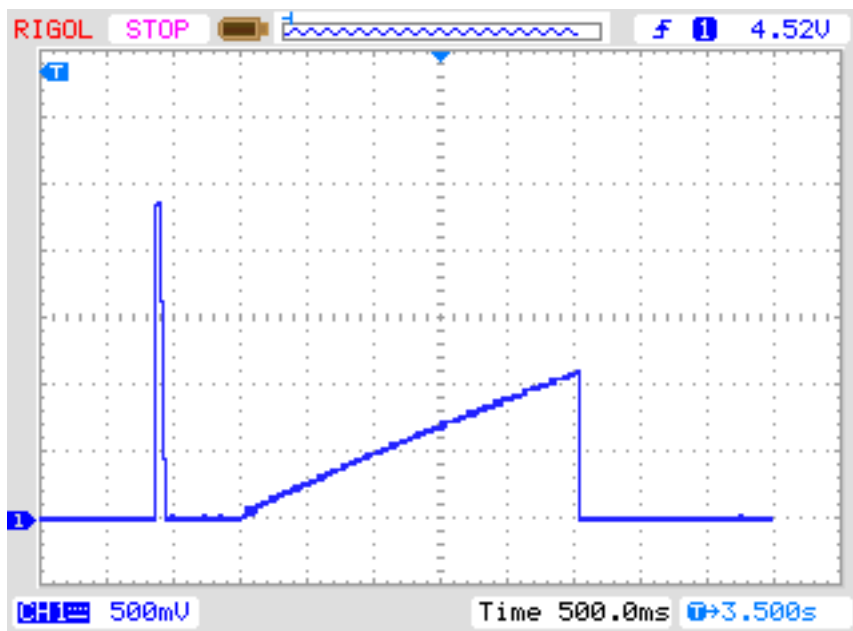


Рис. 5.29. Зарядка и разрядка конденсатора  $22 \mu F$  для измерения

В принципе этот алгоритм измерения может также быть проделан с резистором  $680 \Omega$  но, если компаратор работает, АЦП не может использоваться, и у меня нет возможности

контролировать напряжение заряда, пока компаратор не остановлен. Если есть необнаруженный диод, параллельно соединённый с конденсатором, ток зарядки конденсатора может быть поглощен диодом (пороговое напряжение), и напряжение запрещенной зоны никогда не будет достигаться. Метод, примененный в программном обеспечении для больших конденсаторов в разделе 5.3.2 не допускает эту концептуальную ошибку.

### 5.3.4 Измерение очень малых значений ёмкости методом выборки

Радиолюбитель Пиетер-Тјерк (ПАЗФЦМ) интегрировал возможность измерений очень малых значений ёмкости ( $< 100 \text{ pF}$ ) методом выборки. Период преобразования АЦП на самом деле слишком длительный для непосредственного отбора быстро изменяющегося сигнала. Но напряжение входного сигнала удерживается заданное время цикла преобразования, во время ( $SH$ ) выборки и удержания. АЦП требует 13 тактов для полного преобразования, а такты АЦП задаются путем деления частоты процессора на 128 или 64. Входное напряжение АЦП фиксируется точно 1,5 такта для непрерывных циклов измерений. Если входной сигнал может быть сгенерирован снова и снова, мы можем сдвинуть время выборки АЦП от предыдущего к следующему повторению сигнала, чтобы получить последовательность выборок быстро изменяющегося сигнала. Обычный цикл АЦП занимает  $13 \times 64 = 832$  тактов с тактовой частотой  $8 \text{ MHz}$ . Если мы повторяем входной сигнал с тактовым импульсом 831, то при непрерывном АЦП (режим свободного запуска), каждый последующий раз напряжение сигнала будет считываться на один такт позже чем предыдущий. Мы должны убедиться, что с помощью этого метода первая выборка сигнала АЦП будет выполняться в указанное время. Время следующих измерений АЦП будет сдвинуто на один тактовый импульс процессора позднее при каждом последующем повторении сигнала. Если сигнал можно точно повторить, то объединенный сигнал многих периодов будет таким же, как дискретизация и преобразование непосредственно с помощью АЦП, работающего с тактовым сигналом процессора  $8 \text{ MHz}$ . Рисунок 5.30 показывает принцип выборки десятикратно повторяющегося сигнала для получения десяти выборок (Ш0 - Ш9). В действительности относительный временной сдвиг последовательных выборок намного меньше.

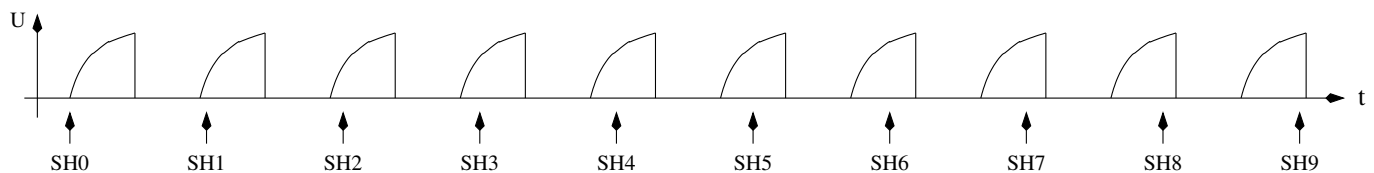


Рис. 5.30. Сканирование сигналов напряжения с помощью метода выборки

Одна проблема состоит в том, чтобы синхронизировать точное начало сигнала с непрерывными тактовыми импульсами процессора. Только триггер внешнего сигнала может сбросить делитель тактовых импульсов АЦП. Если бы АЦП запускался программной инструкцией, делитель тактовых импульсов возобновил бы деление с начала. Только программа, написанная на языке ассемблера, может точно определять моменты времени для этой техники выборки. Каждый такт микроконтроллера важен для построения программных циклов. Анализируя характеристику напряжения при зарядке небольшого конденсатора, Вы можете видеть, что постоянная времени не является непрерывной во время периода выборки. Это было показано Пиетер-Тјерк на презентации в «60. УКИЦ-Тагунг ин Щеинхейм». Внутренний конденсатор около  $10 \text{ pF}$ , который удерживает входное напряжение для преобразования, соединяется в Ш-время и снова подключается через два тактовых цикла АЦП. Кроме того, есть небольшие задержки данных через полтора цикла до повторного подсоединения, которые, вероятно, связаны с переключением мультиплексора. Оба момента учитываются при обработке данных программным обеспечением. Программное обеспечение выборки может обрабатывать до 255 тактов сигнала. Программное обеспечение

также может вычислять среднее значение из 32 последовательностей зарядки. Посредством построения среднего значения эффект шума будет меньше. Программное обеспечение выборки может контролировать и обрабатывать как заряд, так и разряд конденсатора. Поскольку оба направления используя для измерения величины ёмкости диода в обратном направлении, задача калибровки измеряет значение нулевой ёмкости в обоих направлениях для всех комбинаций контактов. Измеряя величину ёмкости диода в обоих направлениях заряда, можно показать разницу между обоими значениями. При зарядке величина ёмкости измеряется вблизи напряжения 0 V, а при разряде ёмкость измеряется вблизи напряжения 5 V. Для измерения обычного конденсатора нет разницы в значениях ёмкости с такой небольшой разностью потенциалов, которую можно обнаружить. Поэтому для измерения малых ёмкостей используется только направление заряда (<100 пФ). Пиетер-Тјерк оптимизировал свою функцию для работы с тактовой частотой 16 MHz. В этой конфигурации Вы получите разрешение 0.01 pF. Для работы с частотой 8 MHz АЦП будет работать на частоте в два раза меньше, чтобы получить вышеупомянутые уровни напряжения сигнала в тех же точках, что и при работе на частоте 16 MHz. Потеря разрешения с частотой 8 MHz будет неактуальной для большинства пользователей, а дополнительное время тестирования более медленным АЦП в этом режиме тоже допустимо.

### 5.3.5 Измерение эквивалентного сопротивления ECR

Эквивалентное последовательное сопротивление  $ESR$  [9] является, к примеру, хорошим индикатором старения электролитических конденсаторов. Рисунок 5.31 показывает эквивалентную схему конденсатора. Резистор  $R_p$  - сопротивление утечки конденсатора,  $ESL$  - эквивалентная последовательная индуктивность и  $ESR$  представляет собой эквивалентное последовательное сопротивление.

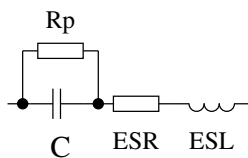


Рис. 5.31. Эквивалентная схема конденсатора

Обычно, значение  $ESR$  документируется для частоты испытания 100 kHz при температуре 20°C. Рисунки 5.32 и 5.33 показывают значения  $ESR$  конденсаторов производства Панасониц серий ФЦ и «лощ ECR» ФР. Обе серии способны работать до температуры 105°C. На рисунке 5.34 приведены данные обеих серий с допустимым рабочим напряжением 25 V. Если в ряде имеющихся различных типов той же ёмкости и диапазона напряжения, то для диаграммы выбраны с самым низким значением  $ESR$ . Значение ёмкости и  $ESR$  электролитических конденсаторов значительно отличается в зависимости от рабочей температуры.

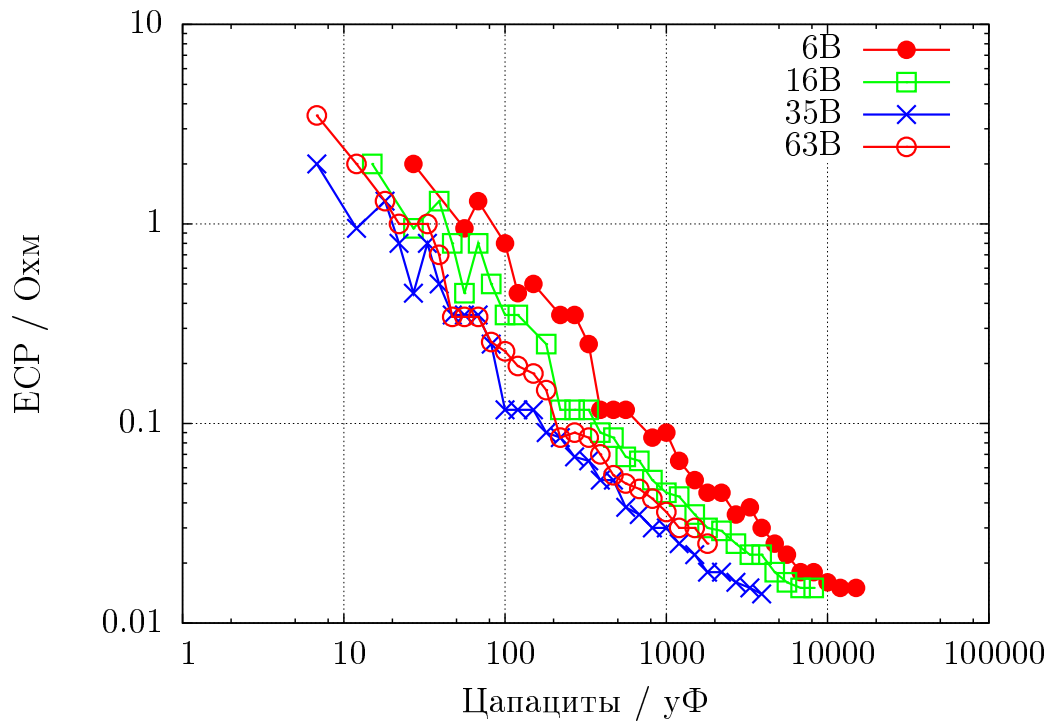


Рис. 5.32. Документированное значение ЕСР серии ФЦ Панасониц

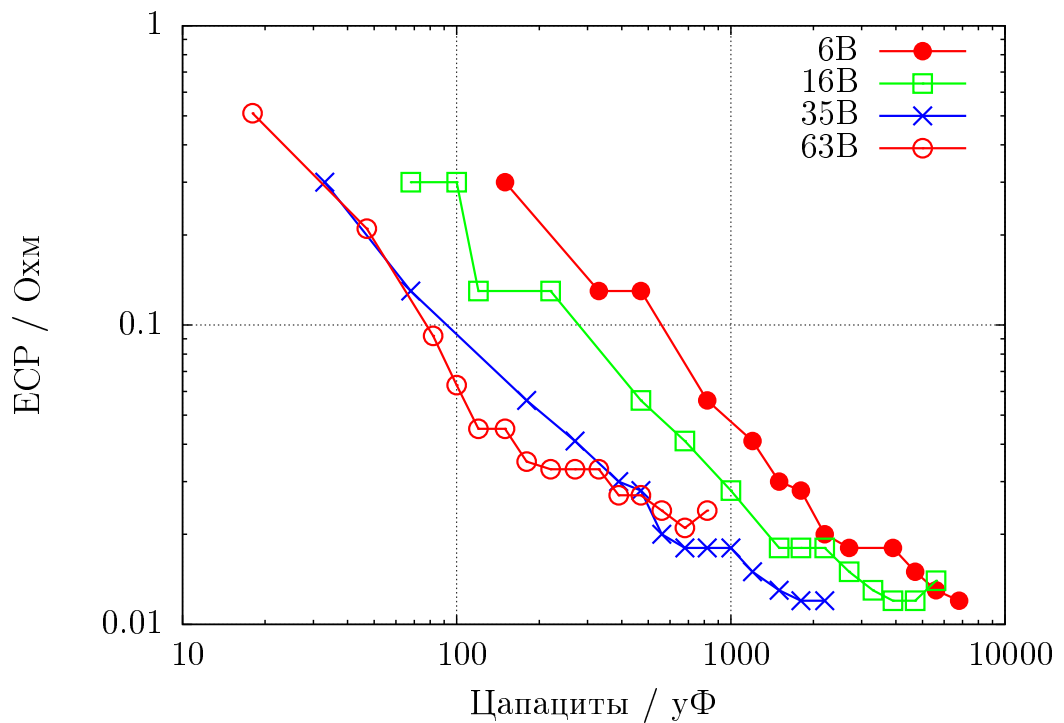


Рис. 5.33. Документированное значение ЕСР серии ФР Панасониц

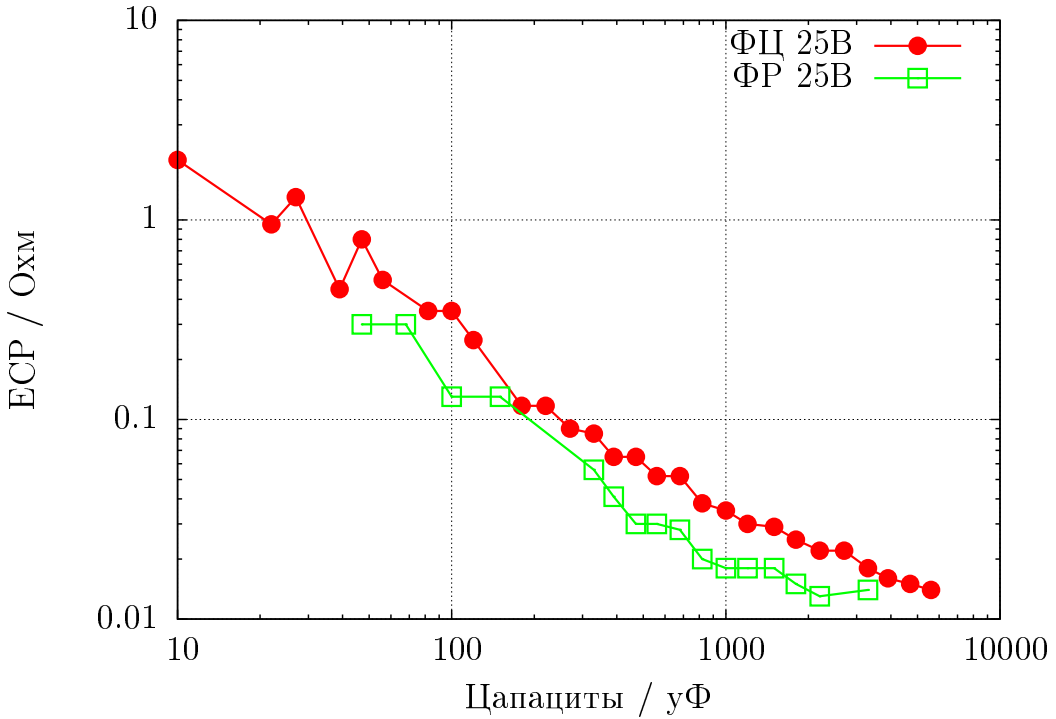


Рис. 5.34. Сопоставление значений ЕСР серий ФЦ и ФР

Нет простого способа измерить  $ESR$  на частоте  $100\ kHz$  с использованием АТмега, потому что ни АЦП не может работать на столь высокой частоте входного сигнала, ни существующая шема не может поддерживать сигнал с частотой  $100\ kHz$ . Ниже описаны два метода измерения  $ESR$ , которые возможны в существующей шеме. Оба метода используют прямоугольный сигнал для измерения. Результаты никогда не будут такими же, как при измеренных синусоидальным сигналом. В первом методе измеренные значения близки к тем значениям, которые проводящим сигналом частотой  $1\ kHz$ . Но второй способ имеет преимущество в том, что нулевое значение может быть определено с закороченными тестовыми площадками. Кроме того, измеренное значение  $ESR$  более близко к значению, измеренному сигналом  $10\ kHz$ . В настоящее время мне не известно метода измерения, который может определить значение  $ESR$ , близкое к результату измерения  $100\ kHz$ . В таблице 5.6 показана зависимость результатов  $ESR$  от измеряемой частоты. Все конденсаторы, кроме  $47\ \mu F$ , серии ФЦ производства Панасоник. Эталонные значения измерены PeakTec 2170 ЛЦР измерителем. Все результаты ТранзисторТестер измерялись методом 2 5.3.7. Конденсаторы большой ёмкости трудно измерить с использованием измерительной частоты  $100\ kHz$  из-за влияния индуктивности ( $ESL$ ) на результаты измерения.

Ёмкость	Документация 100 кХз	PeakTec 100 кХз	PeakTec 10 кХз	PeakTec 1 кХз	Транзистор- Тестер
1уФ / 50В	2,4	1,27	1,75	4,31	2,1
2,2уФ / 50В	1,8	1,07	1,34	2,76	1,6
4,7уФ / 50В	1,3	1,19	1,40	2,37	1,5
4,7уФ / 50В	1,3	1,19	1,40	2,37	1,5
10уФ / 50В	1,3	1,26	1,45	2,05	1,5
22уФ / 10В	2,0	1,52	1,76	2,24	1,9
47уФ / 63В	?	0,46	0,50	0,63	0,52

Таблица 5.6. Значения ЕСР различных электролитических конденсаторов

### 5.3.6 Измерение ЕСР, первый метод

Если ёмкость измеряемого конденсатора будет больше, чем  $0,45 \mu F$ , то Тестер будет измерять также последовательное сопротивление. Для значения больше, чем  $3,6 \mu F$  используется нормальная тактовая частота для АЦП –  $125 kHz$ . Для более низких значений ёмкости, чтобы ускорить измерение, используется более высокая тактовая частота –  $500 kHz$ . Точность результатов АЦП будет выше с более высокой тактовой частотой, но это может привести к высоким значениям ЕСР конденсаторов с более низкой величиной ёмкости. Иначе измерение ЕСР этим методом будет невозможно для значений меньше, чем  $1,8 \mu F$  при нормальной тактовой частоте  $125 kHz$ .

Строго говоря, ЕСР конденсатора зависит от частоты и температуры. Обычно в технических описаниях приведена величина, измеренная на синусоидальном сигнале частотой  $100 kHz$ . Такое измерение не может быть сделано АТмега без внешнего оборудования. Описанная ниже методика, основанная на стандартной тактовой частоте АЦП, использует для измерения практический прямоугольный сигнал частотой ниже  $640 Hz$ . С тактовой частотой АЦП  $500 kHz$  частота измерения будет  $2400 Hz$ . Чтобы получить величину ЕСР, будет измерено напряжение на обоих выводах конденсатора во время зарядки в одном направлении с внутренним опорным напряжением АЦП ( $1,1 V$ ). После измерения ток зарядки будет отключен, и напряжение на конденсаторе будет измерено снова без тока. Если это напряжение ниже  $3 mV$ , последовательность измерения будет повторена. На рисунке 5.35 представлены соответствующие схемы.

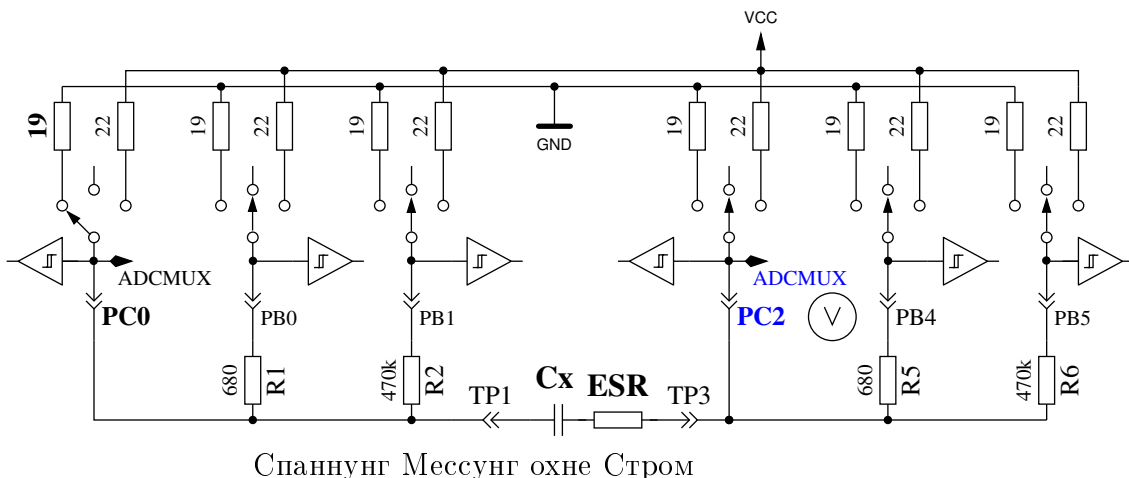
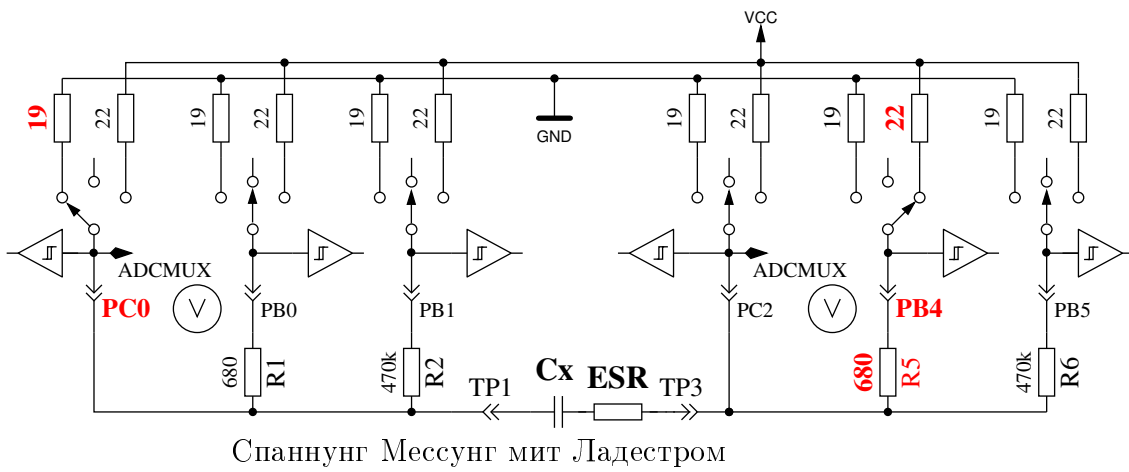


Рис. 5.35. Шема измерения ЕСР конденсатора

Разница напряжения на конденсаторе с током и без тока пропорциональна внутреннему сопротивлению конденсатора. Ожидаемое напряжение этой разницы настолько мало, что одно измерение не может привести к удовлетворительному результату. Поэтому ток будет переключен

на противоположное направление, и будет повторено то же самое измерение. Измерения будут проведены последовательно 128 раз, и результаты измерений напряжения будут суммироваться. Таким образом, у нас будут 3 суммы напряжений: напряжение  $U_{lp}$  с низкой стороны конденсатора с током, напряжение  $U_{hp}$  с высокой стороны конденсатора с током и напряжение  $U_c$  с высокой стороны конденсатора без тока. Сумма напряжений с низкой стороны конденсатора представляет собой падение потенциала при зарядке на выходном сопротивлении порта  $R_{port}$ . Разница напряжений с высокой и низкой сторон конденсатора представляет напряжение на конденсаторе при зарядке  $U_{diff} = U_{hp} - U_{lp}$ . Разница  $U_{esr} = U_{diff} - U_c$  должна представлять падение напряжения на внутреннем сопротивлении конденсатора при зарядке. Вычисляем величину сопротивления как отношение напряжения  $U_{esr}$  к напряжению  $U_{lp}$ , измеренному при известной величине выходного сопротивления порта  $R_{port}$ . Коэффициент пропорциональности выбран так, чтобы получить разрешение сопротивления 0,01  $\Omega$ :  $Resr = \frac{U_{esr} \cdot 10 \cdot R_{port}}{U_{lp}}$  Рисунок 5.36 показывает часть кривой напряжения на конденсаторе 4,2  $\mu F$  во время измерения ESR. Чтобы пояснить влияние ESR, к конденсатору добавлен последовательный резистор 6,8  $\Omega$ . Кратковременное отключение напряжения после зарядки конденсатора интерпретируется программным обеспечением, как переход к измерению ESR. Большее падение напряжения к потенциальну ГНД во время измерения вызвано выходным сопротивлением порта около 20  $\Omega$ . При этом измерении Тестер выводит на дисплей полную величину ESR 7,5  $\Omega$ . Вычитая величину последовательного резистора 6,8  $\Omega$ , получим ESR 0,56  $\Omega$ . На рисунке 5.37 представлена диаграмма измерения электролитического конденсатора 2,2  $\mu F$  с ESR 6,5  $\Omega$  на более высокой частоте измерения.

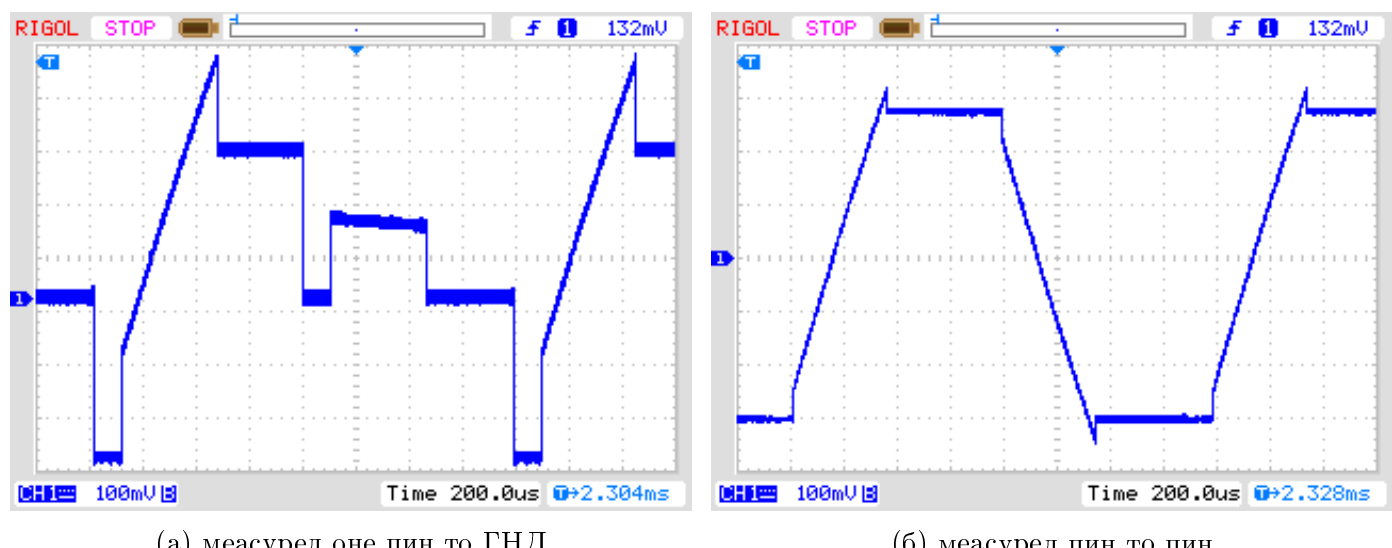
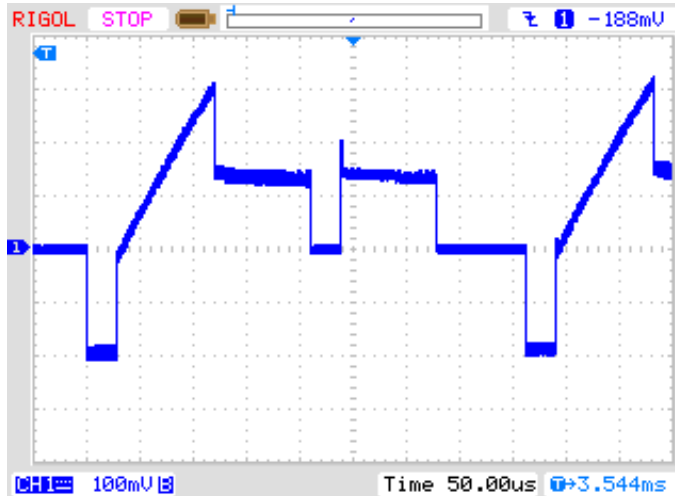
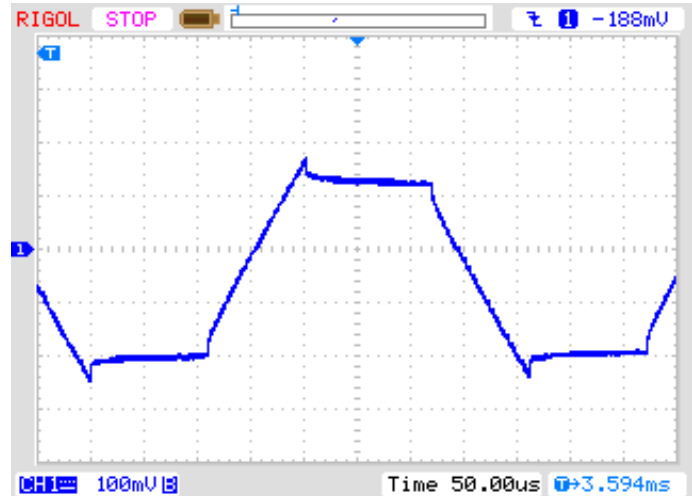


Рис. 5.36. Кривая напряжения во время измерения ESR конденсатора 4,2  $\mu F$



(а) измерение пином к ГНД



(б) измерение пином к пину

Рис. 5.37. Кривая напряжения во время измерения ЕСР конденсатора  $2,2 \mu F$

Точность измерения ЕСР не высока по нескольким причинам:

1. Измерение напряжения на обоих выводах конденсатора не может быть сделано одновременно, а только последовательно. В промежутке между обоими измерениями ток зарядки изменяется из-за заряда конденсатора. Программа пытается компенсировать этот факт коррекцией ёмкости в зависимости от напряжения низкой стороны.
2. АЦП начинает измерять напряжение с задержкой на 1,5 тактовых импульса с начала преобразования. Преобразование начинается по переднему фронту тактовой частоты АЦП, если установлен стартовый бит. Если ток зарядки будет отключен раньше, то АЦП зафиксирует неправильное напряжение для измерения с током. Если ток зарядки будет отключен позже, конденсатор получит больший электрический заряд, чем при надлежащем измерении с током зарядки. Это даст слишком высокое измеренное напряжение без тока. Выключение тока в нужное время представляет трудности для программного обеспечения.
3. В качестве опорной величины для измерения этим методом используется выходное сопротивление порта, которое точно не известно.
4. Разрешение АЦП недостаточно, чтобы получить разрешение сопротивления  $0,01 \Omega$ . Для лучшего разрешения АЦП для всех измерений используется внутренний ИОН ( $1,1 V$ ). Разрешение также увеличивается за счет большего числа одиночных измерений.
5. Переключение портов не может быть точно синхронизировано с тактовой частотой АЦП после опроса завершения преобразования.

Тем не менее, как показано на следующем рисунке 5.38, результаты оказываются практическими. Значения ЕСР, того же самого элемента, измеренные Тестером, различаются больше, чем величины, измеренные ЛЦР-метром. Значения ЕСР замерены ЛЦР-метром на частоте  $1 kHz$  или интерполированы для небольших конденсаторов на частоту  $2,4 kHz$ . Вы должны учитывать качество всех соединителей. Используемые кабельные соединения могут увеличить измеренное значение сопротивления. Разъёмы также могут увеличить значение сопротивления. В ЛЦР-метре используется зажимы Кельвина, что дает преимущество при измерении. Только один конденсатор в серии испытаний ниже  $1 \mu F$  на  $500 nF$  был керамическим, все остальные были пленочными конденсаторами. Единственным электролитическим конденсатором в серии испытаний ниже  $9 \mu F$  был конденсатор на  $2,2 \mu F$ .

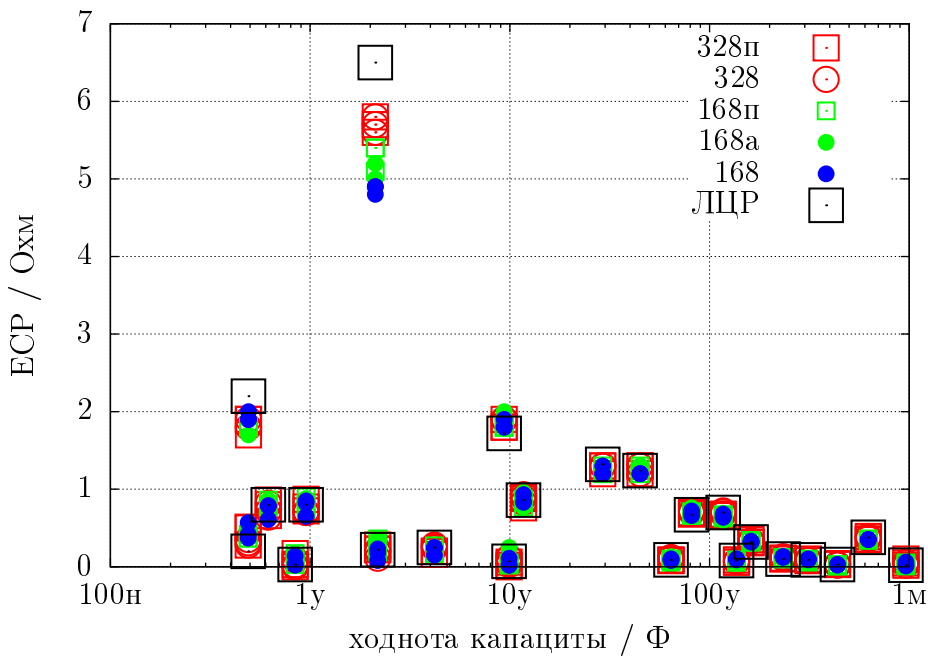


Рис. 5.38. Результаты измерений ЕСР 15-ти различных АТмега

### 5.3.7 Измерение ЕСР, второй метод

Начиная с версии 1.07к программного обеспечения, применен новый метод измерения ЕСР. Последовательные шаги измерения показаны на рисунке 5.40. Отличие от предыдущего метода в том, что длительность протекания тока через конденсатор существенно короче. Конденсатор предварительно заряжен половиной импульса в отрицательном направлении и циклически перезаряжается в обоих направлениях. Время импульса зарядки выбрано так, что оцчёты проводят в середине импульсов зарядки оцчётов 4 и 8 и синхронизируют в это время АЦП (2.5 тактовых импульса после начала преобразования АЦП). Полный цикл измерения показан на рисунке 5.39. Сумма результатов 255 циклов измерения используется для того, чтобы получить результат с соответствующим разрешением. Продолжением зарядки конденсатора в любом направлении избегают ту же зарядку и разрядку длительным импульсом в той же шеме. При измерении опорного напряжения конденсатор остается обесточенным. Тем самым время измерения не критично. Предполагается только, что захват напряжения конденсатора производится до начала следующего импульса зарядки или разрядки.

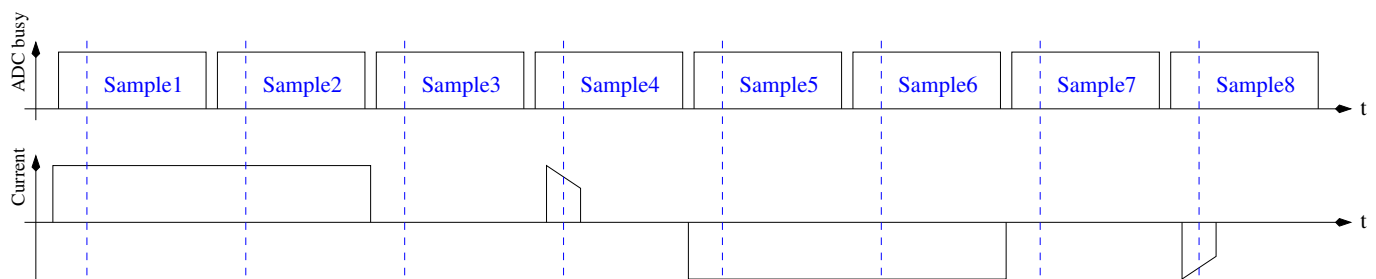
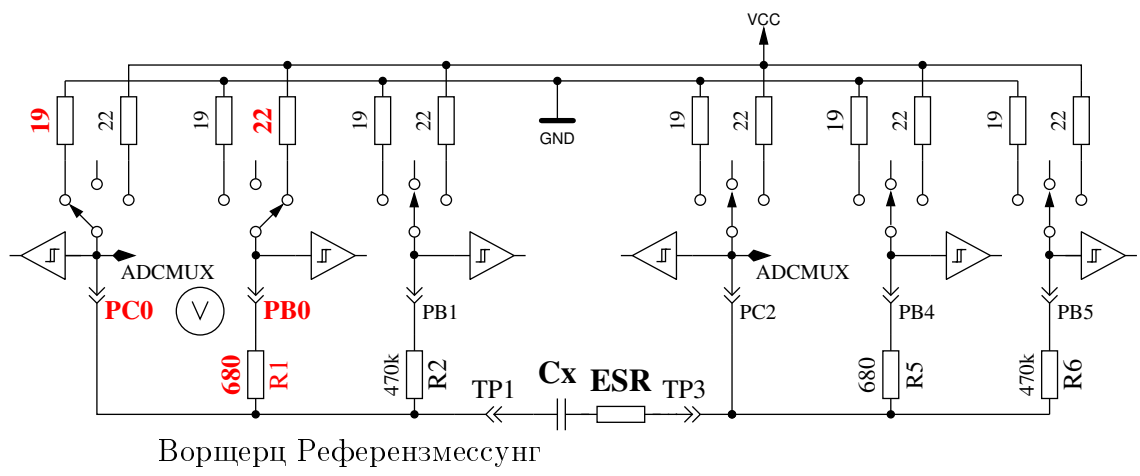
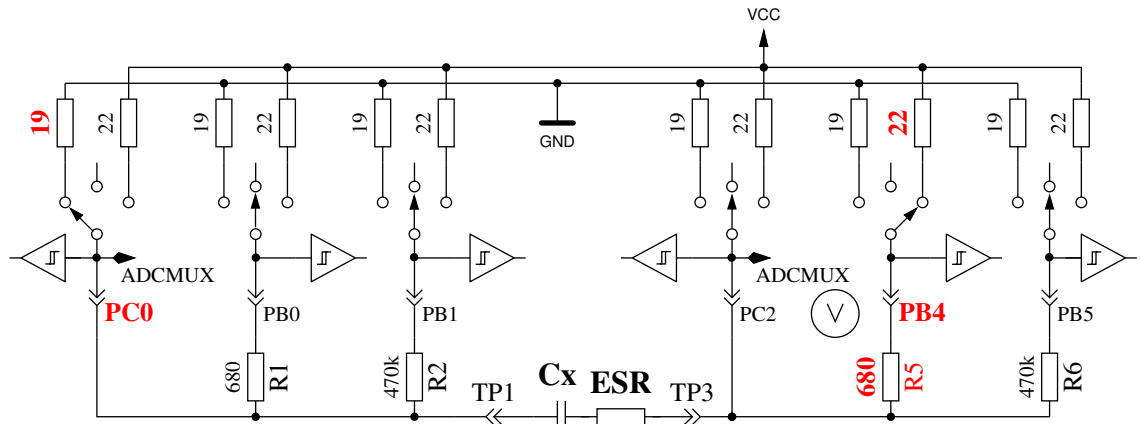


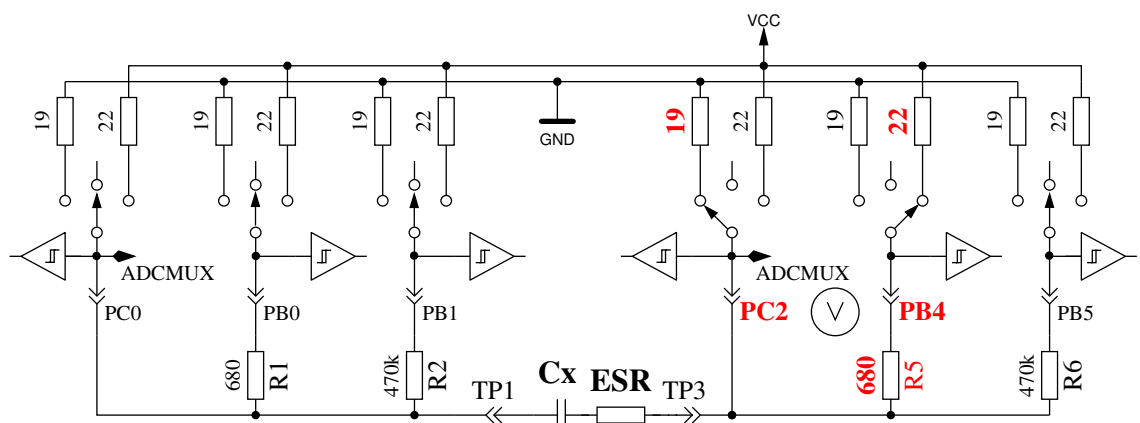
Рис. 5.39. Временная диаграмма цикла измерения для нового способа измерения ЕСР



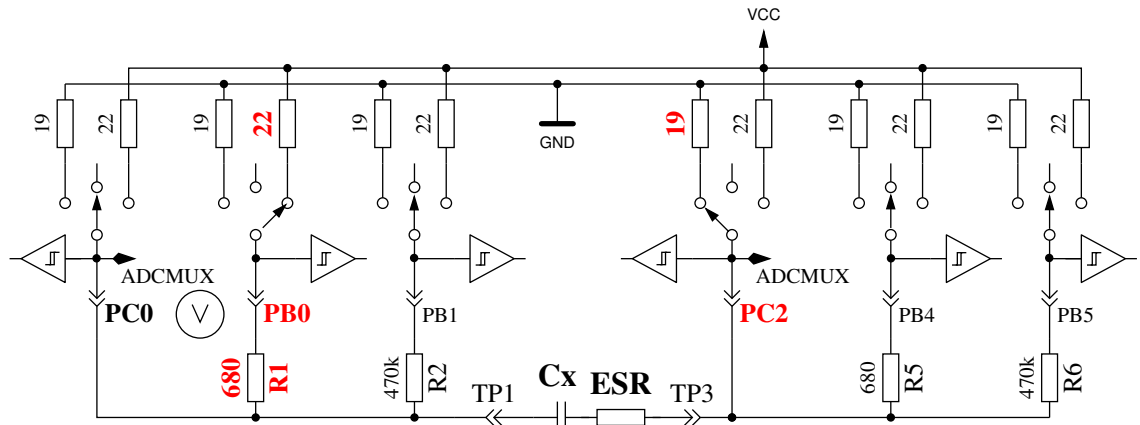
Воршерц Референзмессунг



Воршерц Референзмессунг мит Версучсстром



Р?цкщерц Референзмессунг



Р?цкщерц Референзмессунг мит Версучсстром

Рис. 5.40. Более простое измерение ЕСР конденсатора

Из-за более короткого импульса зарядки может быть измерено не только ЕСР конденсаторов с более низкой ёмкостью, но этот способ измерения может также использоваться для измерения резисторов с небольшим сопротивлением, если у них нет обнаруженной индуктивности. Этим методом для таких резисторов может быть достигнуто разрешение 0,01  $\Omega$ . Этим же методом может быть откалибровано нулевое сопротивление для всех трех комбинаций испытательных выводов в режиме самопроверки. Вы должны иметь в виду, что для устойчивых результатов нужны качественные разъемы и зажимы. Период измерения около 900  $\mu s$ , что соответствует частоте приблизительно 1,1  $kH z$ . Поскольку импульс зарядки очень короток, результат измерения сопоставим с измерениями на частоте 10  $kH z$ . Пример измерения плёночного конденсатора ёмкостью 10  $\mu F$  проведенным с ним одним и с включенным последовательно с ним резистором на 2,7  $\Omega$ , показан на рисунке 5.41. Вы можете видеть эффект дополнительного сопротивления, сравнивая обе осциллограммы. Вы можете видеть также, почему измерение АЦП (Ш) должно приходиться на середину импульса зарядки. При больших значениях ёмкости ток зарядки почти устойчив во время всей длительности импульса: таким образом, Вы получите среднее напряжение в середине импульса зарядки. С более низкими значениями ёмкости Вы получите существенную разницу, которая может быть цкомпенсирована для известной величины ёмкости.

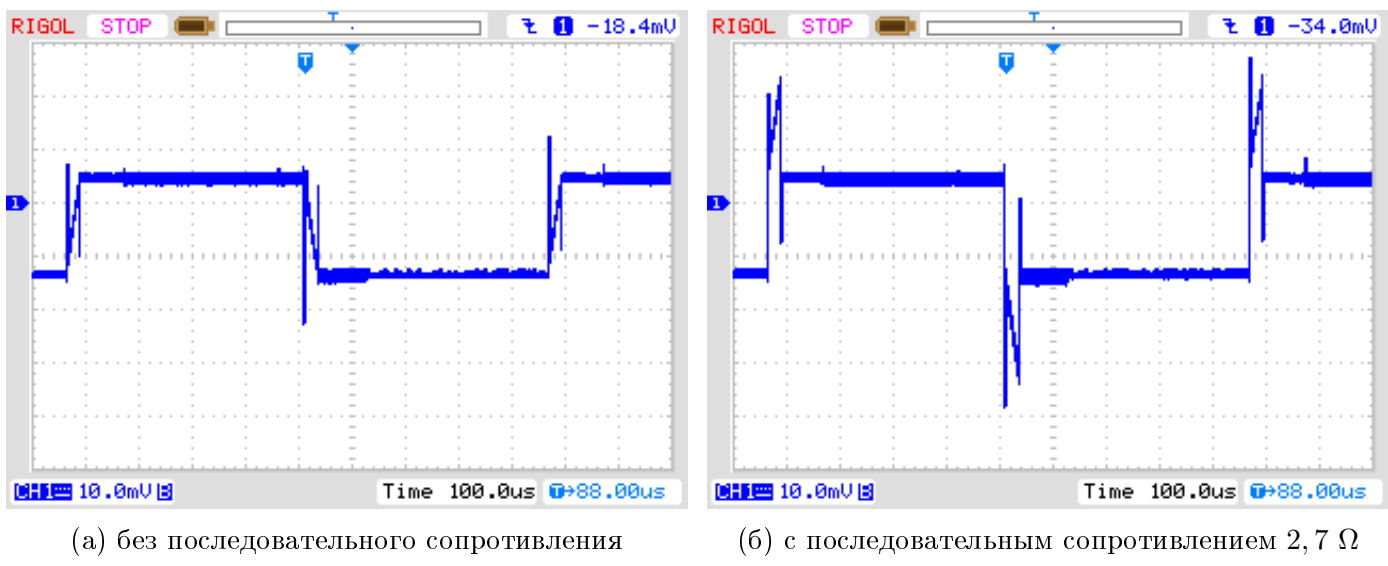
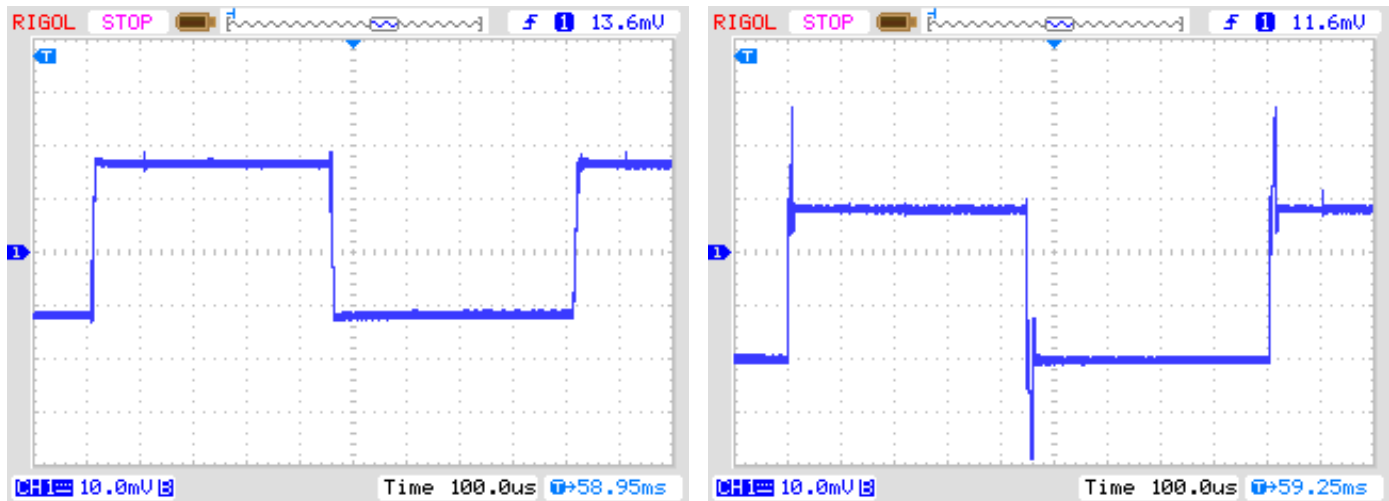


Рис. 5.41. Кривая напряжения при новом измерении ЕСР конденсатора 10  $\mu F$

При использовании импульса длительностью 27  $\mu s$  можно определить ЕСР для конденсаторов ёмкостью больше 180  $nF$ . Для измерения конденсаторов с низкой ёмкостью, в версии 1.11к импульс сокращаеця до 8  $\mu s$ . Рисунок 5.42 показывает кривую напряжения на конденсаторе 2,2  $\mu F$  с последовательно подключенным сопротивлением 2,7  $\Omega$  и без него.

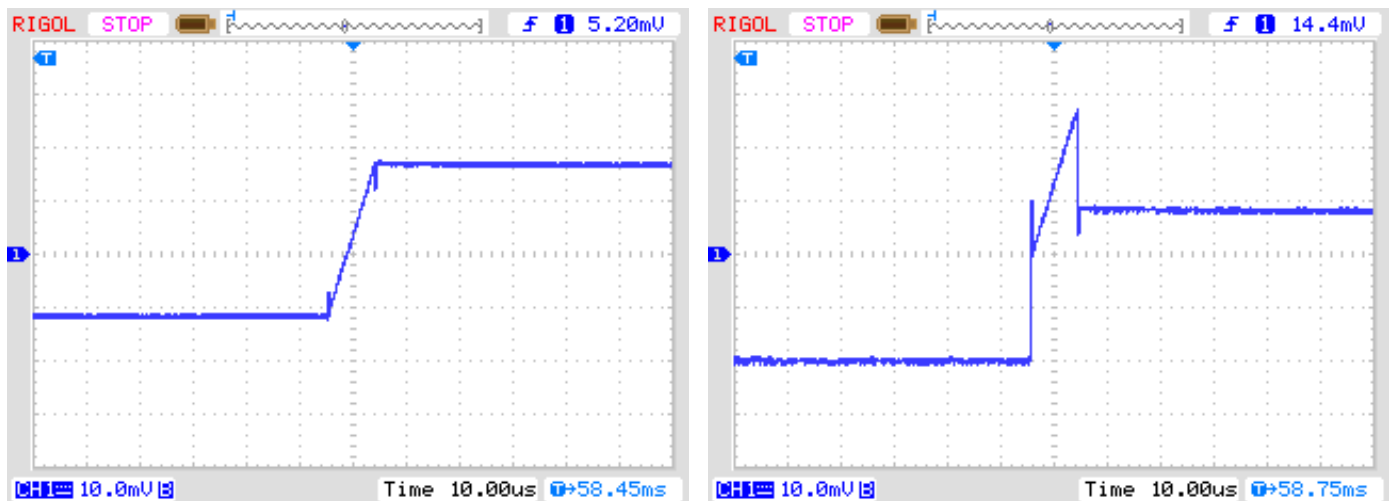


(а) без последовательного сопротивления

(б) с последовательным сопротивлением  $2,7\Omega$

Рис. 5.42. Кривая напряжения измерения ЕСР конденсатора  $2,2\mu F$  зарядным импульсом  $8\mu s$

На рисунке 5.42 не видно момента измерения АДЦ. На рисунке 5.43 изображена кривая напряжения в увеличенном масштабе. Момент измерения совпадает с срединой рисунка.



(а) без последовательного сопротивления

(б) с последовательным сопротивлением  $2,7\Omega$

Рис. 5.43. Увеличенная кривая напряжения на конденсаторе  $2,2\mu F$  при измерении ЕСР зарядным импульсом  $8\mu s$

Результаты измерений по новому методу измерения ЕСР показаны на рисунке 5.44. Значения ЕСР отличающиеся от результатов, показанных для предыдущего метода измерения на рисунке 5.38 потому что ЕСР зависит от частоты. Эталонные значения определены ЛЦР-метром на частоте измерения  $10\text{ kHz}$ .

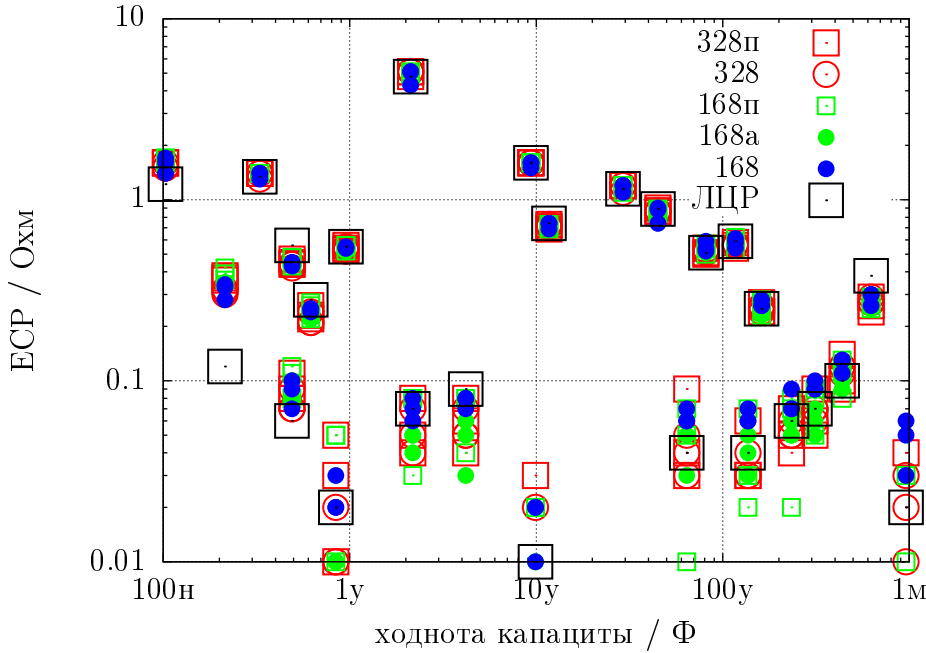


Рис. 5.44. Результаты измерения ЕСР методом 2 15-ю различными АТмега

Ряд измерений различных электролитических конденсаторов показан на рисунке 5.45. Вместе с результатами Тестера представлены результаты измерений ЛЦР метра PeakTech 3315 на различных частотах. На этой диаграмме сопротивление представлено в логарифмическом масштабе. Во всех случаях результаты Тестера близки к результатам измерений ЛЦР метра на частоте 10 kHz. Из тестируемых, только конденсатор 500  $\mu F$  / 3 V - более старый образец, все остальные конденсаторы - новые.

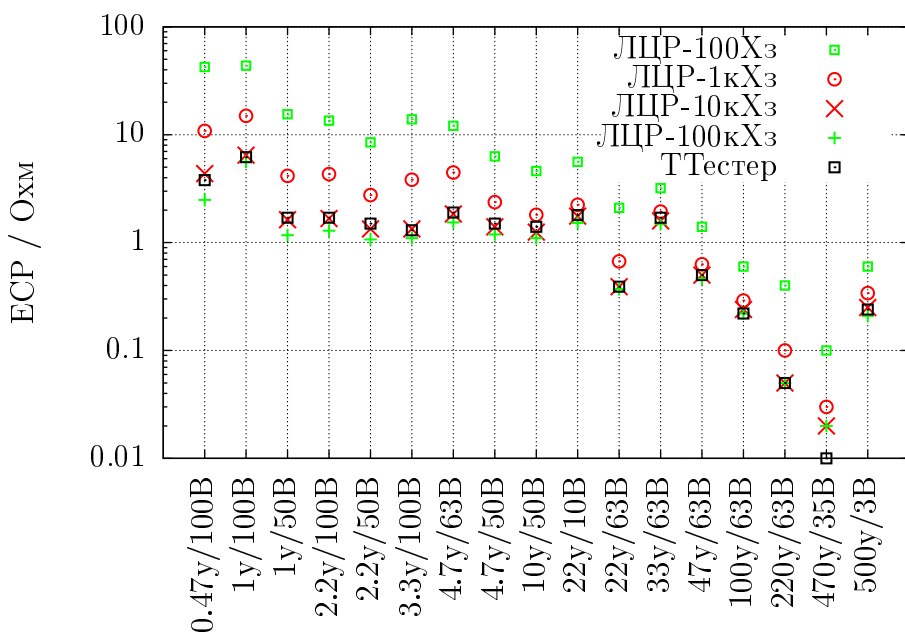


Рис. 5.45. Результаты измерений ЕСР различных электролитических конденсаторов

Новый метод измерения может быть использован для измерения резисторов с низким сопротивлением. Погрешности измерения некоторых резисторов ниже 10  $\Omega$  с тремя примерами каждого типа АТмега показаны на рисунке 5.46.

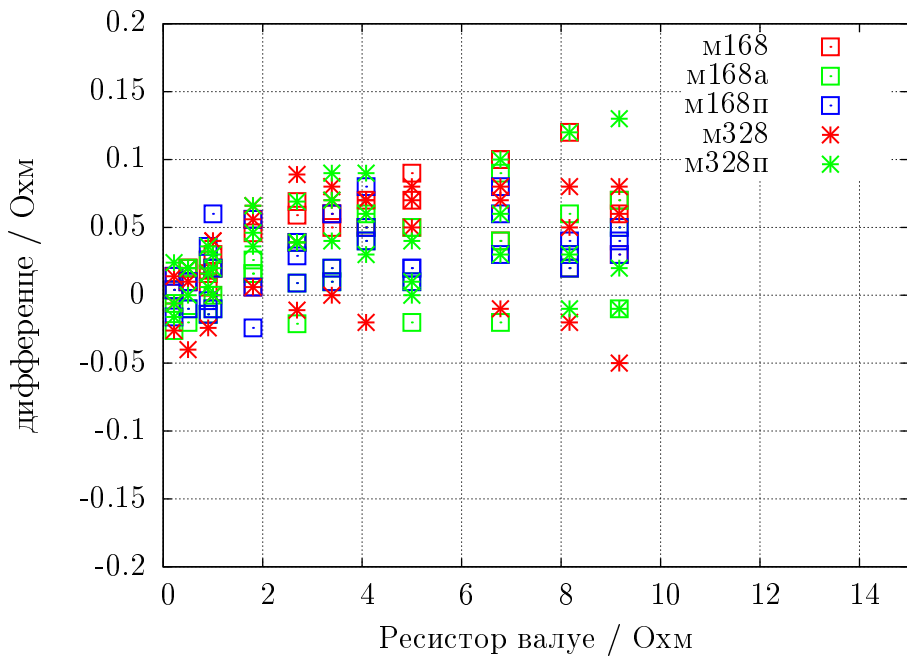
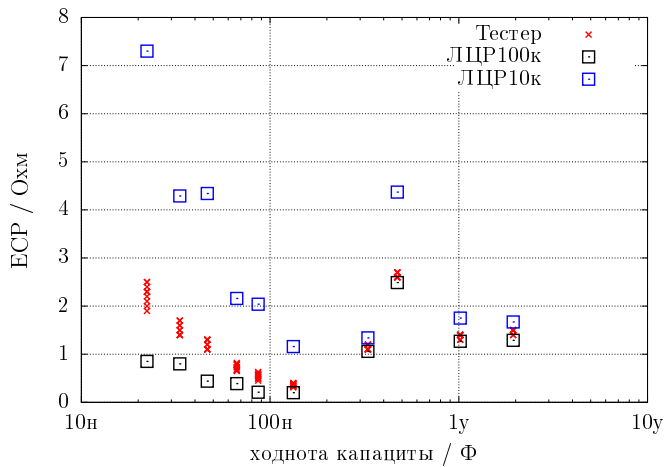
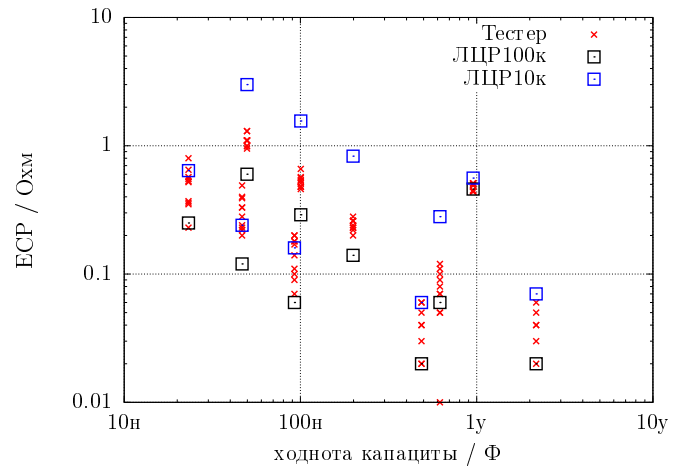


Рис. 5.46. Погрешность измерения сопротивления методом ЕСР

С программным обеспечением версии 1.12к длительность импульса заряда конденсатора уменьшается до  $2 \mu s$  для возможности измерения ЕСР конденсаторов с более низкими значениями ёмкости. Теперь можно измерить значение ЕСР для конденсаторов от  $20 nF$ . Но ошибка измерения будет расти при меньших значениях ёмкости. Причиной этого является уменьшение постоянной времени РЦ-цепочки, которая будет только  $14.4 \mu s$  для значения ёмкости  $20 nF$ . Это приведет к быстрому изменению напряжения на конденсаторе при импульсе в  $2 \mu s$  тока. Программное обеспечение может выбрать дискретизацию АЦП только в один такт процессора. Но входной АЦП имеет постоянную времени, примерно  $0.24 \mu s$ , которая может варьироваться в зависимости от экземпляра ATmega. Эти вариации постоянной времени фильтра входного АЦП не могут быть оценены программным обеспечением. Время выборки АЦП недоступно за долю периода тактовой частоты. При большем значении ёмкости измеряемого конденсатора постоянная времени будет расти и изменение напряжения при импульсе тока будет уменьшаться. По этой причине, изменение постоянной времени фильтра входного АЦП оказывает меньший эффект при измерении конденсатора с большей ёмкостью. На рисунке 5.47 показаны результаты для некоторых конденсаторов при измерении на 10 различных тестерах. На изображении слева - результаты ЕСР некоторых конденсаторов имеют более высокие значения ЕСР. Результаты довольно похожи в сравнении с результатами тестера ЛЦР Peaktech 2170 при  $10 kHz$  и при  $100 kHz$ . На рисунке справа Вы можете увидеть результаты измерений некоторых высококачественных конденсаторов с низким значением ЕСР. Хотя и заметен предел метода (особенно при низких значениях ёмкости), но это лучше, чем полное ощущение информации. В любом случае, Вы можете сравнить несколько конденсаторов одинаковой ёмкости с малыми значениями для поиска более качественного экземпляра.



(а) высокое значение ECP



(б) низкое значение ECP

Рис. 5.47. Измерения ECP конденсаторов малой ёмкости

Для микроконтроллеров с объемом флеш памяти более 16 К в программном обеспечении 1.12к резистор 470  $k\Omega$  для половины измерений подключается параллельно резистору 680  $\Omega$  с целью небольшого увеличения тока при измерении. К сожалению, увеличение тока незначительное, чтобы полученное в результате изменение напряжения изменило результат АЦП. Увеличение напряжения составляет лишь около 20 % от разрешения АЦП при использовании ИОН 1.1 V. Для изменения отдельных значений предпочтительнее было бы добавление незначительного шума на вход АЦП. С помощью этой функции можно достичь статистического улучшения разрешения АЦП путем усреднения результатов измерений.

### 5.3.8 Потеря напряжения после импульса зарядки, Влосс

Для конденсаторов большой ёмкости, была проанализирована потеря напряжения на конденсаторе после того, как он был заряжен. Достигнутое напряжение заряда на электролитических конденсаторах терялось после короткого периода. Эта потеря напряжения могла быть вызвана параллельно подключенным резистором. Но я принимаю, что эта потеря напряжения электролитических конденсаторов вызвана внутренним рассеиванием заряда непосредственно после импульса зарядки. Заряжая конденсаторы через резистор 470  $k\Omega$ , как это сделано для небольших ёмкостей, это рассеивание проявляется сразу после выключения тока. Но в этом случае никакая потеря напряжения не была обнаружена. Но если Вы заряжаете тот же самый конденсатор с более низкой ёмкостью коротким импульсом тока, то также обнаружите потерю напряжения на конденсаторе. Тот же самый эффект, с более низкой потерей, может также быть замечен для керамических конденсаторов. Я заметил, что конденсаторы с потерей напряжения более, чем на несколько %, весьма вероятно, имеют низкое качество. Особенно заметна относительная потеря напряжения у более старых бумажных конденсаторов, у которых замечены проблемы и при других измерениях. Некоторые примеры измерений показаны в таблице.

Тип конденсатора	Величина ёмкости	ПеакТеч ЛЦР 2170	Волтрафт М2650-Б	ПеакТеч 3315	Транзистор-Тестер
бумажный	4700пФ	6,75-10,36нФ Ч <sub>1</sub> 2,5-32	8,00нФ	25,40нФ	10,71нФ Влосс <sub>1</sub> 11%
бумажный	6800пФ	9,40-11,40нФ Ч <sub>1</sub> 5-25	10,41нФ	23,30нФ	11,65нФ Влосс <sub>1</sub> 5,0%
неизвестный	4700пФ	5,85-6,33нФ Ч <sub>1</sub> 16-87	6,12нФ	6,90нФ	6225пФ Влосс <sub>1</sub> 1,7%
фольговый	7870пФ	7,86-7,87нФ Ч <sub>1</sub> > 1540	7,95нФ	7,95нФ	7872пФ Влосс <sub>1</sub> 0%
бумажный	22000пФ	37,4-57,5нФ Ч <sub>1</sub> 2,5-32	52,8нФ	112нФ	118,5нФ Влосс <sub>1</sub> 12%
фольговый	22600пФ	22,4-22,5нФ Ч <sub>1</sub> > 1540	22,57нФ	22,69нФ	22,54нФ Влосс <sub>1</sub> 0%
бумажный	100нФ	144-256нФ Ч <sub>1</sub> 2,6-28	177нФ	318нФ	529,7нФ Влосс <sub>1</sub> 12%
керамический	100нФ	97,7-102нФ Ч <sub>1</sub> 90-134	103,7нФ	103,3нФ	103,1нФ Влосс <sub>1</sub> 0,1%
фольговый	100нФ	98,0-101нФ Ч <sub>1</sub> 58-700	101,4нФ	102,2нФ	101,6нФ Влосс <sub>1</sub> 0%

В этой таблице Вы видите, что ёмкость всех фольговых конденсаторов может быть измерена всеми приборами с хорошей точностью. Значение ёмкости и добротности (Ч) ПеакТеч ЛЦР-метра являюся минимальными и максимальными значениями измерений в частотном диапазоне от 100  $Hz$  до 100  $kHz$ . Во всех примерах в таблице потеря напряжения Влосс, замеренная Тестером, велика, если конденсаторы низкокачественные. Только в этих случаях различие результатов измерения ёмкости также большие. Тестер может определить потерю напряжения, если измеренное значение ёмкости больше 5000  $pF$ .

### 5.3.9 Отдельное измерение ёмкости и ЕСР

Отдельное измерение ёмкости с последующей оценкой ЕСР можно выбрать из диалогового меню дополнительных функций только для АТмега с достаточным объемом памяти. Этот тип измерения предназначен для тестирования конденсаторов без демонтажа. Пожалуйста, убедитесь, что все конденсаторы на плате разряжены, прежде чем начать измерение! Испытание установленных в плату компонентов производится низким, насколько это возможно, напряжением, лишь немного больше 300  $mV$ . Кроме того, измерение производится с использованием только резистора 680  $\Omega$  для уменьшения влияния связанных компонентов печатной платы. Для определения конденсаторов малых ёмкостей, измерение начинается с коротких импульсов зарядки 200  $\mu s$ . Если заряд конденсатора короткими импульсами не достигнет 300  $mV$  за 2  $ms$ , то последующий заряд осуществляется импульсами 2  $ms$ . Когда ёмкость измеряемого конденсатора большая, напряжение заряда импульсами 2  $ms$  увеличивается медленно, то, в этом случае, ширина импульса(ов) заряда увеличивается до 20  $ms$ . Если напряжение на измеряемом конденсаторе приближается к 300  $mV$ , снова используя короткие импульсы заряда. Общее время импульсов суммируется после достижения напряжения заряда больше 300  $mV$ , ёмкость вычисляется по времени и уровню заряда конденсатора. С помощью этого метода возможно измерение ёмкости чуть ниже от 2  $\mu F$ . Верхний предел измеряемой ёмкости ограничен временем заряда 2,5  $s$ , примерно 50  $mF$ . После успешного измерения ёмкости, измеряется ЕСР конденсатора по описанному в разделе 5.3.7 методу. Результат кратковременно отображается на дисплее, а затем сразу же начинается следующее измерение. Измерения останавливаются после серии из 250 измерений или

по нажатию кнопки **ТЕСТ**, после чего программа возвращающаяся в диалоговое меню дополнительных функций.

### 5.3.10 Результаты измерения ёмкости конденсаторов

Результаты моих измерений ёмкости для трех микроконтроллеров ATmega8 показаны на рисунке 5.48. Некоторые значения оригинального программного обеспечения показаны с поправочным коэффициентом 0,88 (-12%). Другие результаты измерения различных версий ATmega8 показаны на рисунках 5.49а и 5.49б. Результаты измерения тех же самых конденсаторов для ATmega168 показаны на рисунке 5.50. Основой для вычисления погрешности являющиеся результаты измерения немаркированных элементов ЛЦР метром PeakTech 2170. Часть относительно большой разницы измерений вызвана слишком высокой частотой измерения ЛЦР-метра для больших электролитических конденсаторов. С другой стороны плохое качество электролитических конденсаторов может дать другой процент.

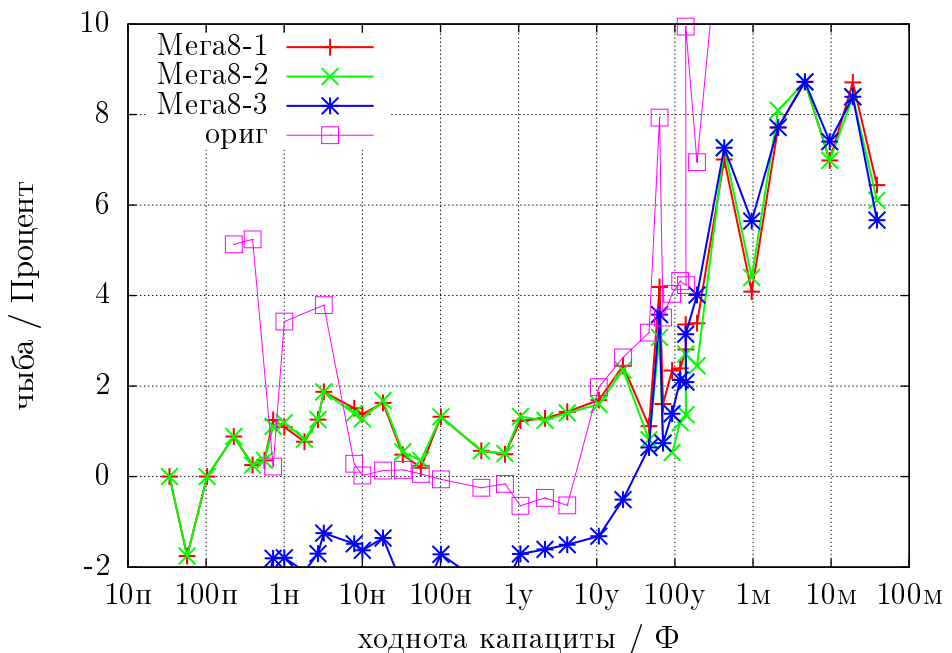
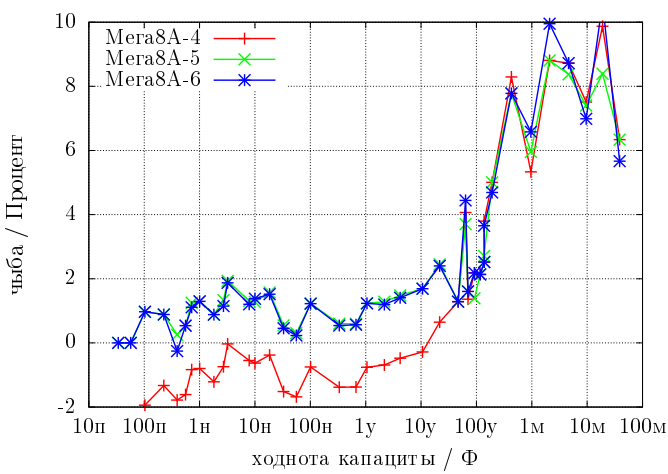
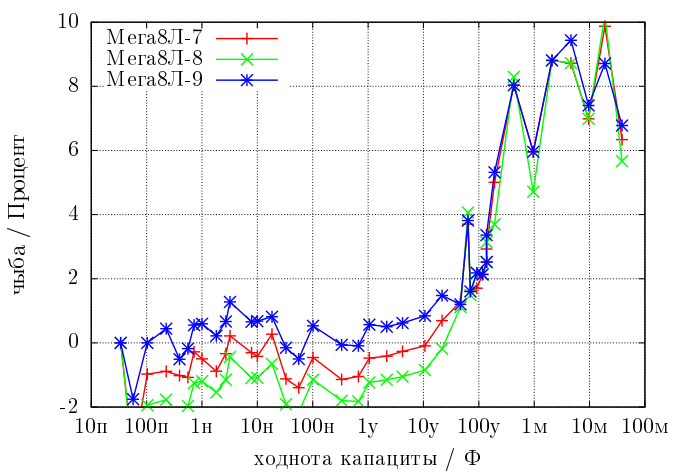


Рис. 5.48. Погрешность измерения ёмкости в % с ATmega8



(а) ATmega8A



(б) ATmega8Л

Рис. 5.49. Относительная погрешность измерения ёмкости

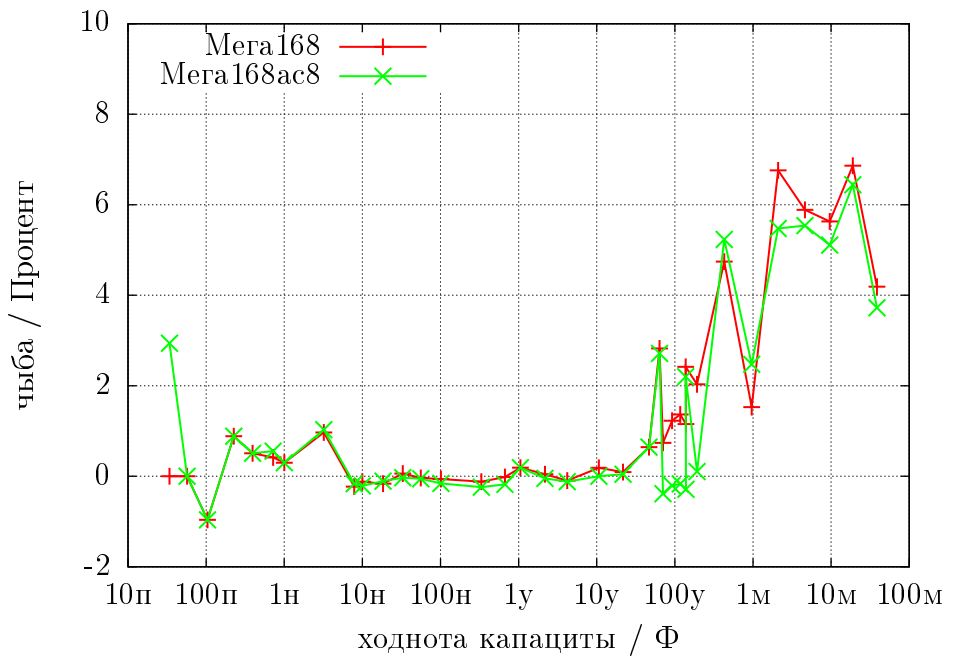


Рис. 5.50. Погрешность измерения ёмкости в % с АТмега168

Рисунок 5.51 иллюстрирует, как сложно выбрать правильный алгоритм для измерения ёмкости. Все результаты измерения сравниваются с лучшими оценочными значениями ёмкости. Линия графика «Мультиметр» показывает отличие от результатов мультиметра PeakTech 3315. Следующая линия графика «ЛЦР» показывает различие результатов PeakTech 2170 ЛЦР-метра, который выбран из-за лучшего приближения по частоте измерения. Для сравнения этих результатов с результатами Тестера на АТмега168 показана линия графика «АТмега168ас». Я уверен, что эти погрешности не являются реальными ошибками измерения конкретного оборудования потому, что лучшее оценочное значение также не соответствует реальному значению ёмкости конденсаторов.

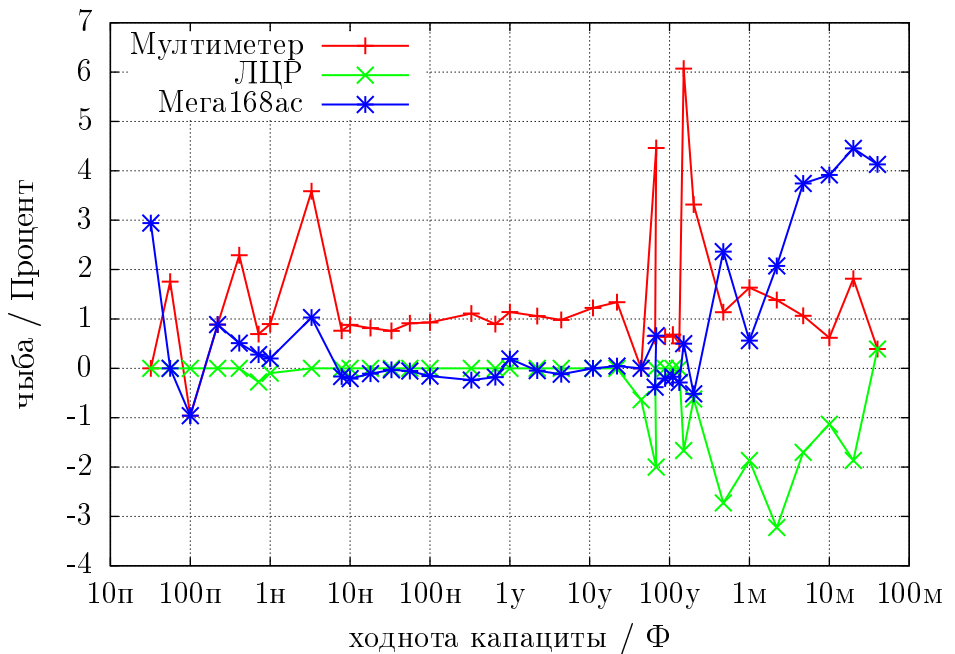
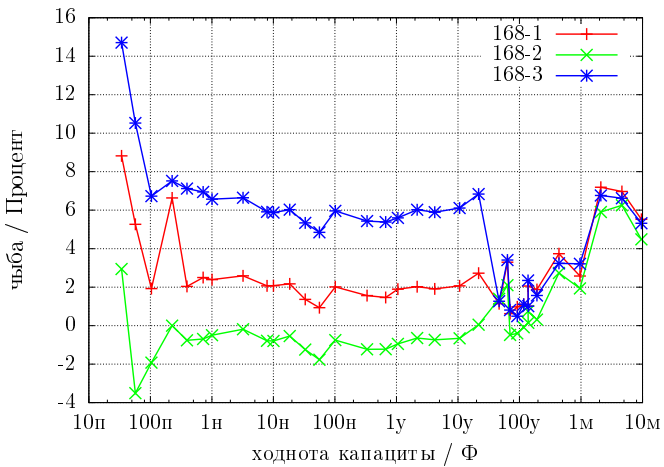
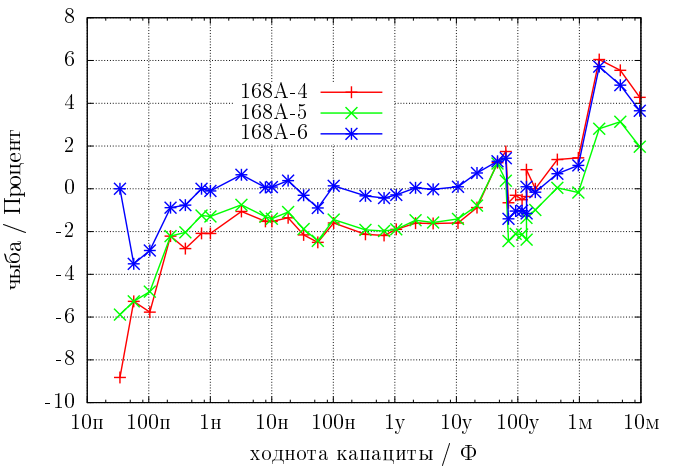


Рис. 5.51. Сравнение результатов измерений ёмкости мультиметром, ЛЦР-метром и Тестером на АТмега168

В этом случае результаты ЛЦР-метра взяты в качестве базы для сравнения. Те же самые результаты для трех различных микроконтроллеров ATmega168 показаны на рисунке 5.52а, микроконтроллеров ATmega168A показаны на рисунке 5.52б, для микроконтроллеров ATmega168PA - на рисунке 5.53. Результаты трех ATmega328 дополнительно показаны на рисунке 5.54а, а трех ATmega328P - на рисунке 5.54б. В них учтена только нулевая ёмкость измерения 39  $pF$ , все другие средства, чтобы скорректировать результаты не используюца. В эту нулевую ёмкость включена также ёмкость 2 – 3  $pF$ , которую дает кабель с зажимами длиной 12 см. Разводка платы также может дать, отличное от нулевого, значение ёмкости, я зафиксировал эту нулевую ёмкость для платы «ДГ2БРС В 5.2.1».



(а) ATmega168



(б) ATmega168A

Рис. 5.52. Погрешность измерения ёмкости, не откалиброван

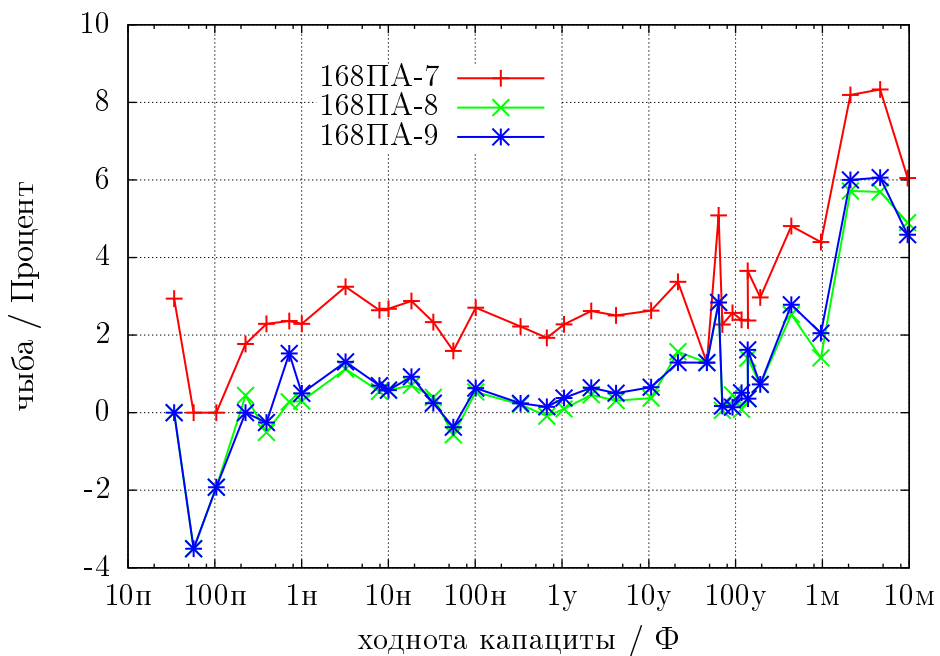
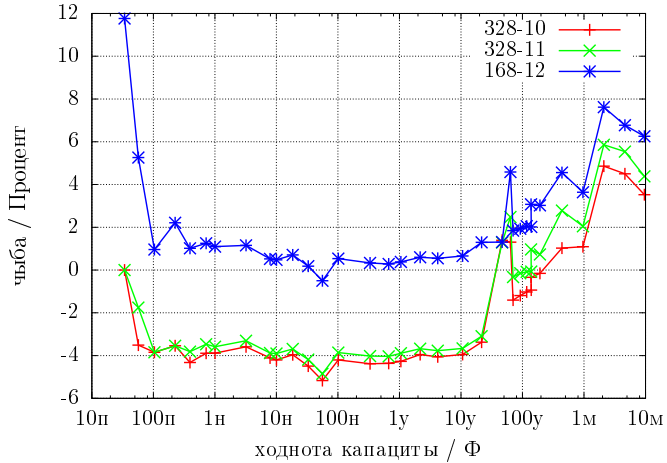
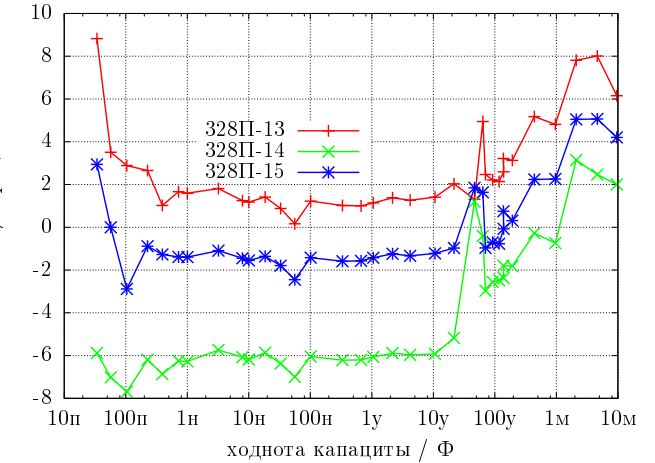


Рис. 5.53. Погрешность измерения ёмкости тремя ATmega168PA, не откалиброван



(а) АТмега328



(б) АТмега328П

Рис. 5.54. Погрешность измерения ёмкости, не откалиброван

Чтобы получить лучшую точность, Вы должны приспособить программное обеспечение к индивидуальной особенности Вашего образца АТмега. Для этого Вы можете установить напряжение коррекции РЕФ\_Ц\_КОРР для компаратора, который будет использоваться для измерения небольших ёмкостей. Коррекция в 1 mV уменьшает результаты измерения на о 0.11 %. Для больших ёмкостей Вы можете определить значение Ц\_X\_КОРР, показывающее, насколько превышены измеренные величины ёмкости. Поскольку конденсаторы большой ёмкости в большинстве электролитические конденсаторы с худшим качеством, измерение их ёмкости осложнено. Это также дополнительно усложняет дифференцирование отличий от реальных значений ёмкости.

Я заметил, особенно с микроконтроллерами АТмега168, аномалию результатов измерения малых ёмкостей, которая зависит от скорости нарастания напряжения во время зарядки конденсатора. Рисунок 5.55 показывает погрешность измерения ёмкости, когда учитывают только нулевое значение (168-3-А), с поправочным коэффициентом для малых ёмкостей РЕФ\_Ц\_КОРР166, также и с поправочным коэффициентом для больших ёмкостей Ц\_X\_КОРР15 (168-3-Б), плюс, дополнительно отклонение 168 З Ц с моделью зависимости от скорости нарастания для измерения малых ёмкостей (ЦОМП\_СЛЕЩ14000 и ЦОМП\_СЛЕЩ21220). Саморазряд больших ёмкостей также учтен в отклонении 168-3-Ц. Элемент с зависимостью от величины скорости нарастания вычисляется как  $\frac{COMP\_SLEW1}{cval+COMP\_SLEW2} - \frac{COMP\_SLEW1}{COMP\_SLEW2}$ , где  $cval$  измеренное значение ёмкости в  $pF$ .

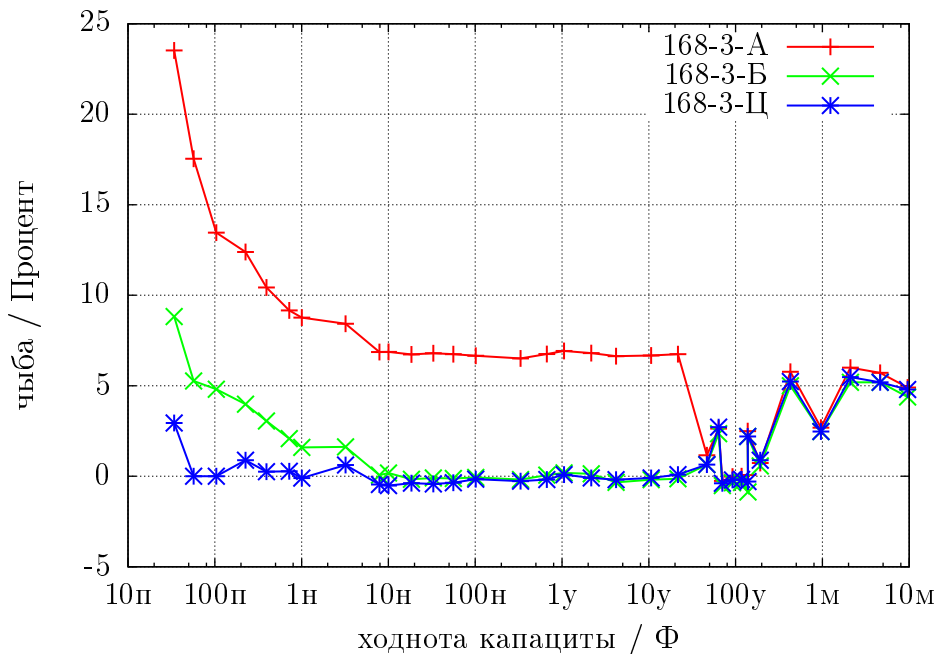


Рис. 5.55. Улучшенное измерение ёмкости АТмега168

### 5.3.11 Автоматическая калибровка при измерении конденсаторов

Автоматическая калибровка состоит из двух частей. Первая часть определяет смещение нуля при измерении ёмкости. Для этого определяется значение ёмкости, измеренной без подключенного конденсатора. Значение ёмкости для всех 6 комбинаций измерений, определяется с 8 повторениями. После успешного определения, смещение нуля записывается в ЕЕпром и будет использоваться для дальнейших измерений. Более сложным было выявление различия вариантов микроконтроллеров АТмега для малых конденсаторов ( $<40 \mu F$ ), которые показаны на рисунках 5.52а, 5.52б и 5.53. Основной причиной этого является различие характеристик (напряжения смещения) аналогового компаратора.

Данные измерения девяти различных микроконтроллеров показаны на рисунке 5.56 . Точки «диф2реф» показывают разницу напряжения заряженного конденсатора  $660 nF$  с индивидуальным внутренним опорным напряжением (ширина запрещенной зоны). В идеале это различие напряжений должно быть равно нулю, если аналоговый компаратор остановил зарядку сигналом для микроконтроллера. Короткое время обработки микроконтроллера не должно заканчиваться измерением результата роста напряжения этого относительно большого конденсатора. Точки «ЦапЕрр» показывают предполагаемые погрешности измерения каждого микроконтроллера из рисунков 5.52а, 5.52б и 5.53 с заводскими установками. Представляет интерес, как точки «ЦапЕрр» будут соответствовать точкам «диф2реф». Для этого точки «диф» показывают различие между соответствующими точками «ЦапЕрр» и «диф2реф». Зная значения величин точек «диф», мы можем получить хорошую оценку для коррекции измерений ёмкости вместе с разницей между напряжением заряженного конденсатора и напряжением внутренней опоры.

Во второй части, для внесения поправок, Вы должны подключить конденсатор к испытательным выводам 1 и 3. Этот конденсатор должен быть **высококачественным** и иметь величину в диапазоне от  $100 nF$  до  $20 \mu F$ . В лучшем случае это должен быть **плёночный конденсатор**, по возможности - **не керамический** и ни в коем случае - **не электролитический**. Точная ёмкость этого конденсатора не важна.

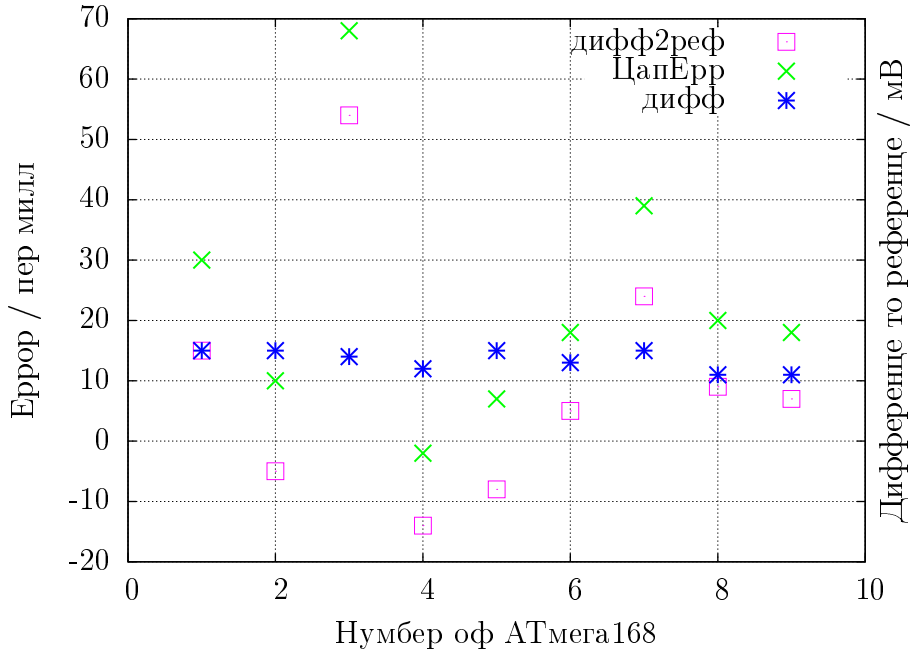
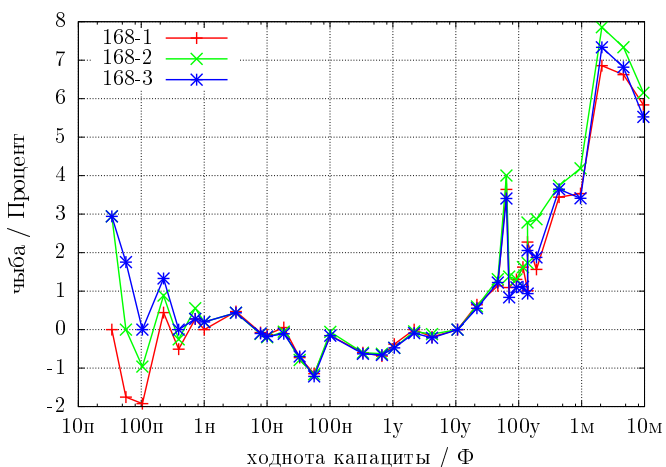
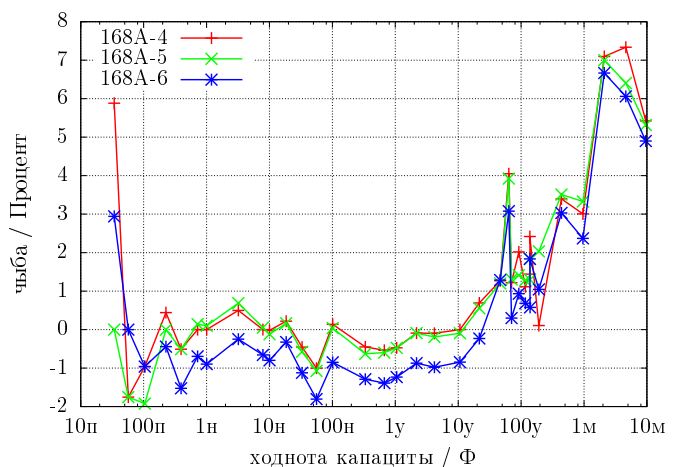


Рис. 5.56. Данные для 9 АТмега168

Рисунки 5.57а, 5.57б, 5.58, 5.59а и 5.59б показывают результаты измерения различных микроконтроллеров со стандартным программным обеспечением после автокалибровки. Микроконтроллеры были загружены одинаковым программным обеспечением, только для программыavrдуде в Макефиле в опции «ПАРТНО 1» был выбран соответствующий тип микроконтроллера («м168», «м168п», «м328» или «м328п»). После загрузки данных была проведена самопроверка для каждого типа АТмега с подключением конденсатора  $330\text{ nF}$  к испытательным выводам 1 и 3 во время теста 10.



(а) АТмега168



(б) АТмега168А

Рис. 5.57. Погрешность измерения ёмкости, откалиброван

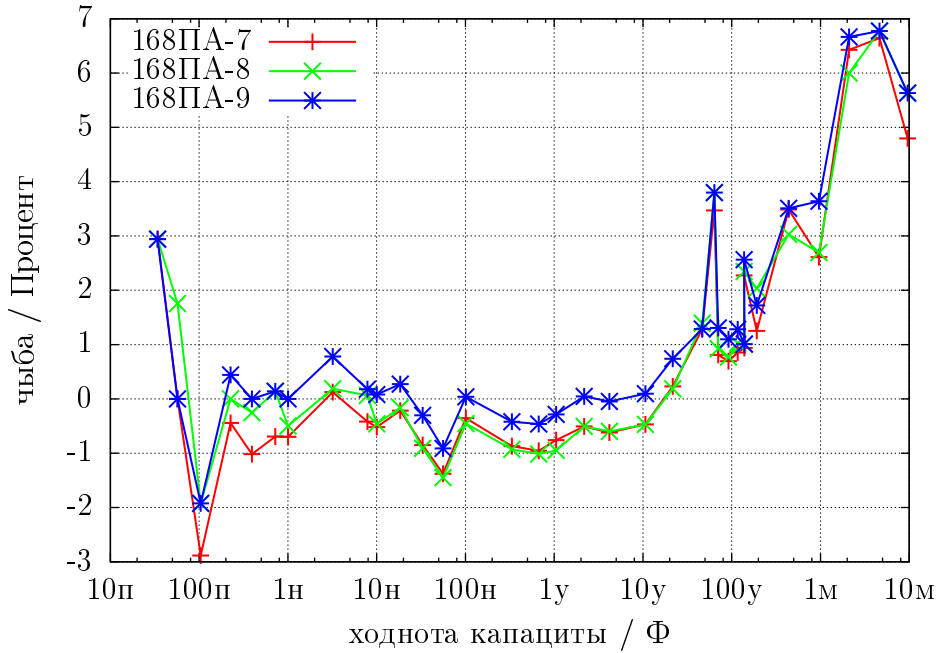


Рис. 5.58. Погрешность измерения ёмкости тремя АТмега168ПА, откалиброван

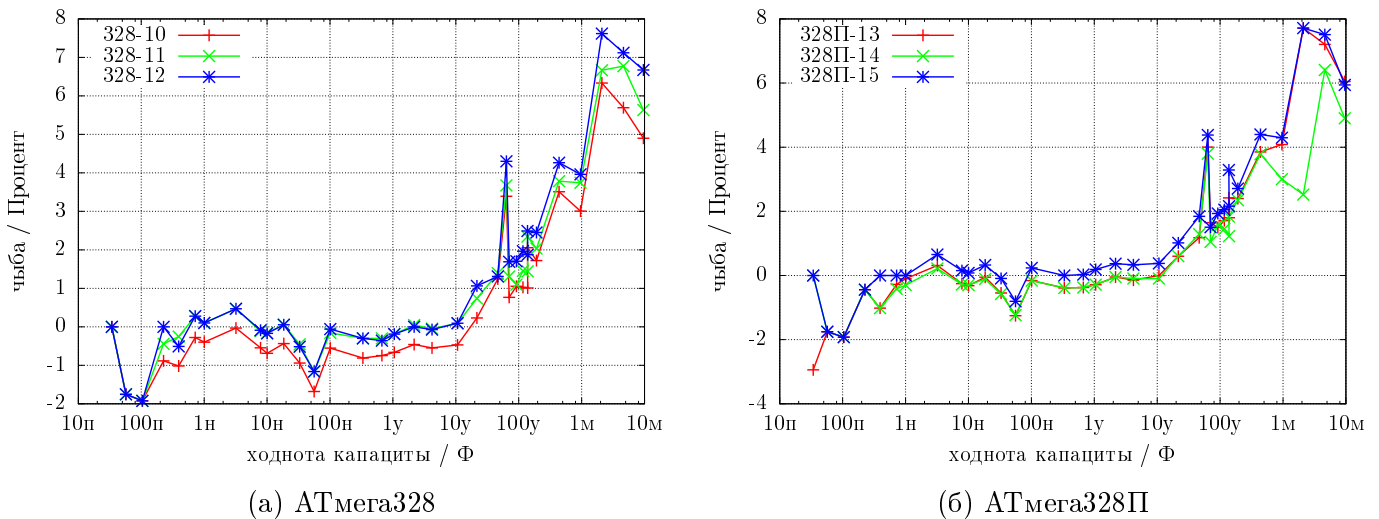


Рис. 5.59. Погрешность измерения ёмкости, откалиброван

Наконец, я покажу эффект от применения опции АУТО\_ЦАЛ в программе самопроверки. Следующий рисунок 5.60 показывает результаты измерений трех микроконтроллеров АТмега с самой большой погрешностью измерений, одного - перед калибровкой и другого - после калибровки. Точки, отмеченные окончанием «УНЦ», показывают погрешность без калибровки. Линии с окончанием «цал» показывают погрешность результатов тех же самых микроконтроллеров с тем же самым программным обеспечением после калибровки в режиме самопроверки. Причина погрешности измерения для больших конденсаторов ( $> 40 \mu F$ ) пока еще не известна. Все используемые конденсаторы для этого ряда измерений – плёночные или керамические (56 pF, 100 pF и 3,3 nF).

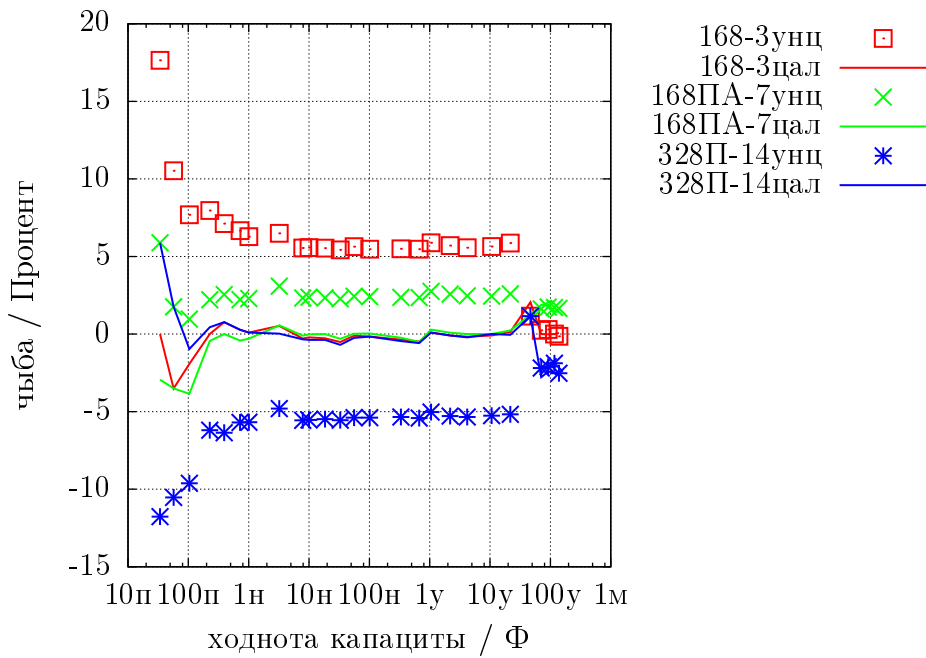


Рис. 5.60. Погрешность измерения ёмкости для трех АТмега, до и после калибровки

Шема с АТмегаб644 или АТмега1284 обеспечивает установку конденсатора для калибровки на печатной плате. Рисунок 5.61 показывает результат измерений АТмега1284 с использованием встроенного на плате керамического конденсатора  $100\text{ nF}$ , а также с внешним фольговым конденсатором  $220\text{ nF}$ , в сравнении с результатами АТмега328 на другой печатной плате.

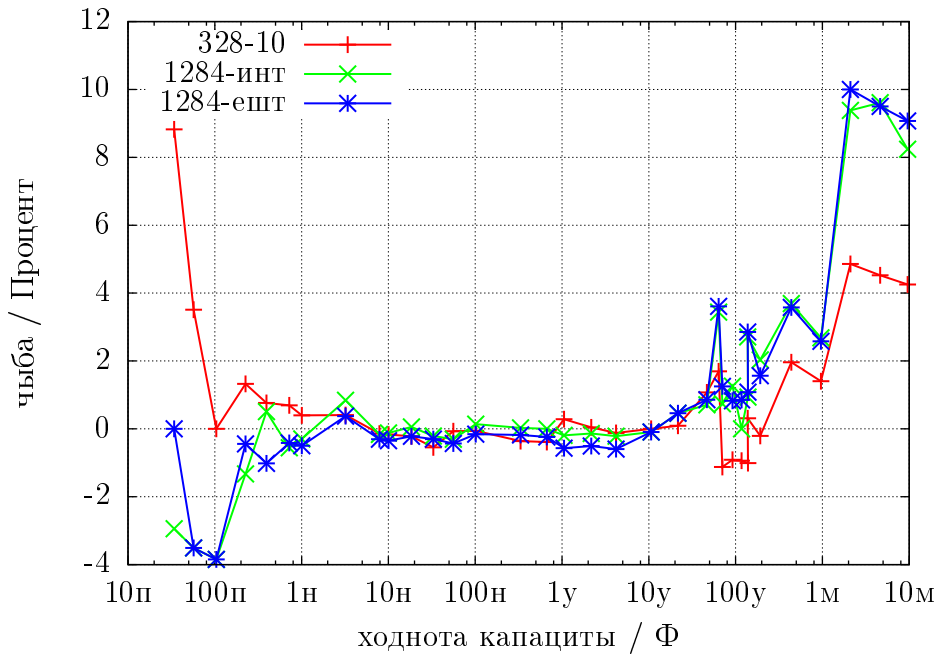


Рис. 5.61. Погрешность измерений конденсаторов с АТмега1284 по сравнению с АТмега328

## 5.4 Измерение индуктивностей

Измерение величины индуктивности будет проведено, если элемент определён как резистор сопротивлением ниже  $2100 \Omega$ . Метод измерения основан на росте тока по формуле:

$I_l = I_{max} \cdot (1 - \exp \frac{-t}{\tau})$  после включения тока. Постоянная времени  $\tau = \frac{L}{R}$  прямо пропорциональна индуктивности  $L$ , и обратно пропорциональна сопротивлению  $R$ . Ток может измеряться косвенно по падению напряжения на измерительном сопротивлении.

К сожалению, постоянная времени будет уменьшена дополнительным, относительно высоким, сопротивлением  $680 \Omega$ , при этом измерение небольших значений индуктивности дополнительно затрудняется на частоте  $8 MHz$ . Чтобы получить постоянную времени, напряжение на резисторе  $680 \Omega$  будет контролироваться аналоговым компаратором. Если падение напряжения на резисторе  $680 \Omega$  будет выше, чем напряжение внутренней опоры, то это событие будет зарегистрировано 16-битным счётчиком, который запускается в момент включения тока. Счётчик сохранит состояние этого события. Если счётчик переполнился, то это будет подсчитано программой. После наступления события превышения, счётчик будет остановлен программой, и полное время состояния счетчика и счётчика переполнений будет сохранено. Положительная сторона катушки будет переключена от ВЦЩ к ГНД и будет оставаться в этом состоянии, пока проверка напряжения обоих выводов не покажет ощущение тока. Рисунок 5.62 показывает упрощенную схему измерения индуктивности.

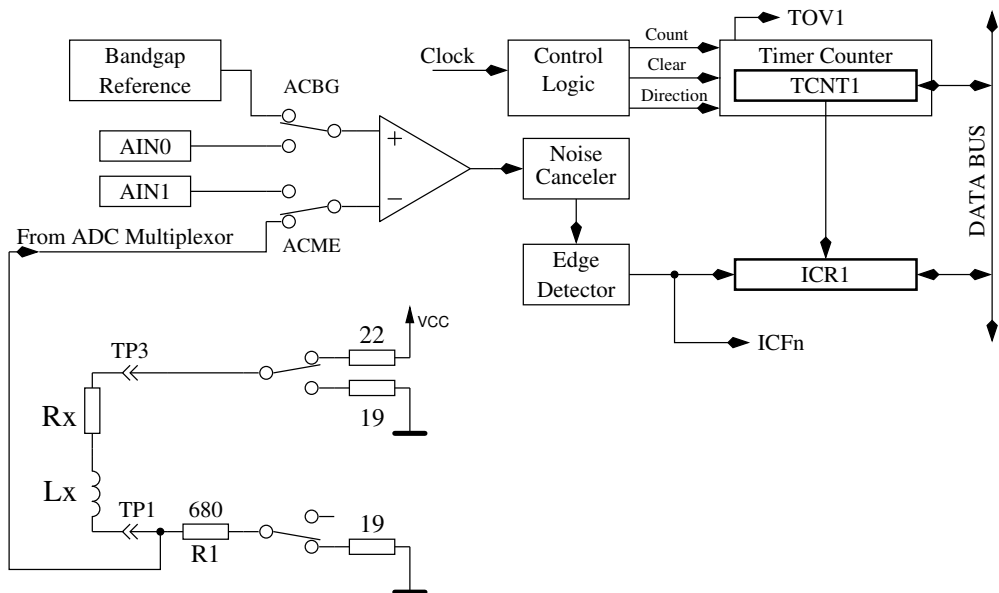


Рис. 5.62. Измерение индуктивности с компаратором

Вычисляем максимальный ток  $I_{max}$ , как отношение напряжения ВЦЩ к сумме всех резисторов в электрической цепи, и отношение опорного напряжения к максимальному напряжению на резисторе  $680 \Omega$ , которое, в свою очередь, вычисляется по формуле  $U_{max} = I_{max} \cdot (680 + 19)$ . Индуктивность вычисляем по формуле  $L = -\frac{t \cdot R_{ges}}{\log(1 - \frac{U_{ref}}{U_{max}})}$ . Натуральный логарифм берут из таблицы. Для этого типа измерения выбрано разрешение индуктивности  $0,1 mH$ .

Если величина сопротивления индуктивности будет менее  $24 \Omega$ , то для того, чтобы измерить более низкие значения индуктивности, в цепи тока не будет использоваться резистор  $680 \Omega$ . Для измерения тока будет использоваться только выходное сопротивление порта ( $19 \Omega$ ). В этом случае пиковый ток будет больше, чем допустимое значение для АТмега. Поскольку это будет только в течение очень короткого промежутка времени, я не ожидаю повреждения портов АТмега. Для этого типа измерения выбрано разрешение индуктивности  $0,01 mH$ . Чтобы избежать более длительного времени с чрезмерным током, дополнительное измерение с задержанным запуском счётчика будет всегда проводиться с резистором  $680 \Omega$ . Чтобы получить более подходящие

результаты измерения, смещение нуля 6 вычитают из счётчика, если измерение сделано без резистора  $680\ \Omega$ . Иначе вычитающее смещение нуля 7 или 8.

При больших значениях индуктивности, паразитная ёмкость может вызвать быстрый рост тока, так, что компаратор срабатывает немедленно. Чтобы в этом случае получить значение индуктивности, измерение будет повторено с задержанным запуском счётчика. Этим методом аналоговым компаратором будет обнаружено напряжение, вызванное увеличением тока индуктивности, вместо напряжения от пика тока паразитной ёмкости. Измерения всегда делаются в обоих направлениях тока. Программа выберет более высокий результат измерения в том же самом направлении тока, а на дисплей будет выведен более низкий результат различных направлений тока.

#### 5.4.1 Результаты измерений индуктивности

Рисунок 5.63 показывает результаты измерения различных катушек. Катушки выше  $1\ H$  - реле или первичные обмотки силовых трансформаторов затрудняют измерения, потому что у железного сердечника есть остаточное намагничивание.

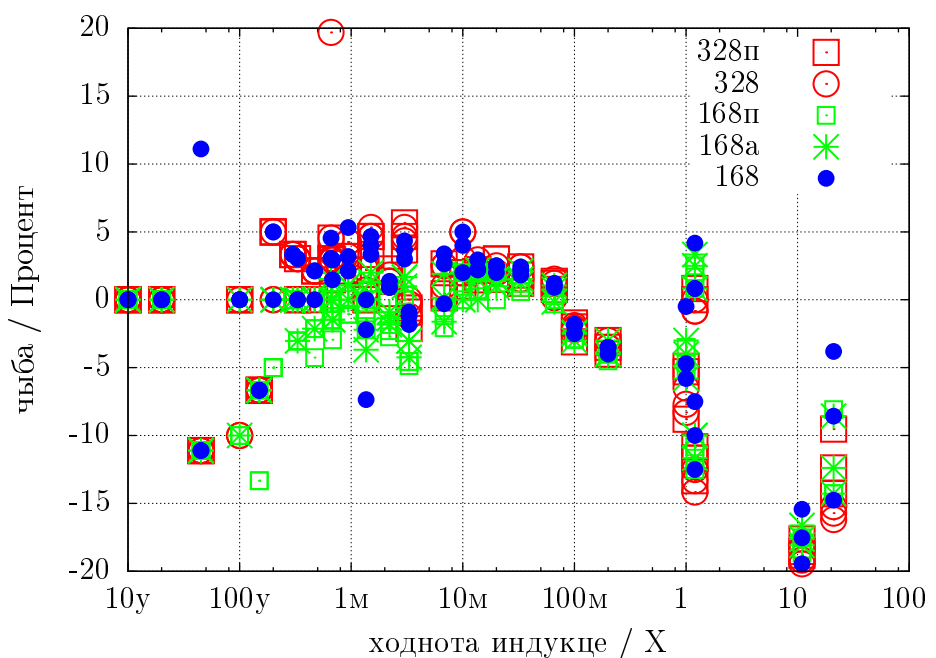


Рис. 5.63. Погрешность измерения индуктивности для 15-ти различных АТмега

#### 5.4.2 Измерение малых индуктивностей методом отбора проб

Наименьшая индуктивность, которая может быть обнаружена при нормальном методе измерений  $0,01\ mH$ . Для измерения небольшой индуктивности требуется высокая частота. Обычный метод использует измерение скорости нарастания тока при измерении индуктивности. Этот метод не может быть использован для метода выборки, поскольку схема измерения не использует никаких дополнительных резисторов при испытании катушки. Ток будет расти до критически высоких значений очень быстро. Мы можем предотвратить повреждение АТмега только с очень быстрым отключением тока. Для выборочного метода трудно реализовать быстрое отключение и кроме того, этот критический процесс должен быть повторен много раз в серии испытаний.

Радиолюбитель Пиетер-Тјерк (ПАЗФЦМ) реализовал другой метод, чтобы получить значение индуктивности. Параллельным подключением конденсатора к индуктивности создается резонансный контур. С помощью короткого импульса тока эта схема возбуждается и начинает колебаться.

Используя метод дискретизации, измеряя частота этого колебания. Так как при этом измерении один вывод катушки подключен к ГНД возникают две проблемы с измерением. Отрицательное напряжение колебаний ограничивает внутренний диод защиты на порту АТмега примерно до  $0,6\text{ V}$ . По этой причине положительная часть колебаний тоже никогда не достигнет напряжения выше чем  $0,6\text{ V}$ . Кроме того АЦП в АТмега может измерять только позитивные значения напряжения. Таким образом, все отрицательные части колебаний считаются как нулевые. В любом случае, Пиетер-Тјерк нашел решение, чтобы измерить резонансную частоту с практической точностью. Если значение ёмкости известно и можно измерить резонансную частоту, то индуктивность может быть вычислена. По этой причине программа калибровки нуждаеца в конденсаторе фиксированной ёмкости для дальнейшего использования при измерении малых значений индуктивности. Во время самотеста будет предложено подключить конденсатор в шаге « $1-\text{II}-3\ 10-30nF(\text{L})$ ». Для не откалиброванного тестера, по умолчанию, выбрано значение  $18\text{ nF}$ . Значение ёмкости параллельного конденсатора для измерения индуктивности должно быть выбрано таким, чтобы получить резонансную частоту для всего диапазона значений измеряемых малых индуктивностей. Конденсатор высокого качества (фольгового типа) должен быть выбран потому, что дополнительно измеряеца добротность резонансного контура путем мониторинга уменьшение амплитуды. При использовании конденсатора высокого качества общая добротность резонансного контура будет определяеца добротностью катушки.

Никаких дополнительных действий не требуеца при параллельном подключении конденсатора. Резонансный контур, как правило, определяеца автоматически. При обнаружении резонансного контура, отображаеца текст «иф» и значение параллельной ёмкости отображаеца за значением индуктивности в строке 2. В этом случае величина сопротивления катушки отображаеца в конце строки 1. Значение сопротивления катушки Вы должны проверить отдельно, измерив его без конденсатора, потому что измерение сопротивления в резонансном контуре невозможно! В дополнительной строке отображаеца измеренное значение резонансной частоты и добротность ( $Q =$ ) контура. Если резонансный контур не обнаружен, значение сопротивления и индуктивности отображаеца в строке 2. Для резонансной частоты контура определяеца значение частоты и добротность катушки, которые отображаюся в дополнительной строке.

Для воздушной катушки с 6 витками и параллельно подсоединененным конденсатором  $18.1\text{ nF}$  при методе отбора проб получен следующий результат:

272нХ иф 18.1 нФ  
2256кХз Ч138.7

Такой же результат был получен с частотой от  $8\text{ MHz}$ . Аналогичный результат был также получен при измерении катушки в один виток из медной проволоки длиной 25 см. Высокое значение индуктивности, в этом примере, из-за того, что параллельно подключенный фольговый конденсатор имеет большую собственную индуктивность. В таблице 5.7 показано результат измерения катушек малой индуктивности тестером с тактовой частотой  $16\text{ MHz}$ .

Цп Лп	6.68 нФ	11.4 нФ	18.2 нФ	20.3 нФ	33.3 нФ
3 витка, 13 мм (91.4 нХ)	100 нХ 6.039 МХз Ч129.9	116 нХ 4.358 МХз Ч115.6	108 нХ 3.568 МХз Ч149.8	115 нХ 3.282 МХз Ч112.1	111 нХ 2.619 МХз Ч131.4
4 витка, 13 мм (144.9 нХ)	141 нХ 5.172 МХз Ч144.8	161 нХ 3.724 МХз Ч116.0	151 нХ 3.03 МХз Ч146.2	152 нХ 2.86 МХз Ч114.6	153 нХ 2.226 МХз Ч130.5
6 витков, 13 мм (212.5 нХ)	217 нХ 4.18 МХз Ч130.5	232 нХ 3.094 МХз Ч118.4	223 нХ 2.492 МХз Ч143.0	224 нХ 2.343 МХз Ч115.4	227 нХ 1.832 МХз Ч131.7
12 витков, 13 мм (569.5 нХ)	547 нХ 2.632 МХз Ч136.9	571 нХ 1.973 МХз Ч126.4	559 нХ 1.573 МХз Ч150.6	560 нХ 1.491 МХз Ч120.8	566 нХ 1.16 МХз Ч139.2
27 витков, 11 мм (1.9 $\mu$ H)	1.93 $\mu$ H 1.403 МХз Ч136.5	1.92 $\mu$ H 1.067 МХз Ч133.4	2.02 $\mu$ H 828.5 кХз Ч143.6	2.00 $\mu$ H 789.5 кХз Ч126.6	2.01 $\mu$ H 615.4 кХз Ч134.5
6.3 $\mu$ H 7.12 $\mu$ H	6.69 $\mu$ H 752.9 кХз Ч128.5	6.84 $\mu$ H 570.2 кХз Ч130.5	6.84 $\mu$ H 449.9 кХз Ч132.3	6.82 $\mu$ H 428.1 кХз Ч125.5	6.90 $\mu$ H 332.3 кХз Ч128.3

Таблица 5.7. Результат измерения некоторых катушек с низкой индуктивностью

Для получения этих табличных значений использовались конденсаторы серии ЩИМА МКС, которые имеют низкую собственную индуктивность. При использовании фольговых конденсаторов 18.2 nF, Вы получите результат 196 nH вместо 151 nH из таблицы. Все индуктивности, кроме последней, самодельные катушки. Значение индуктивности в скобках представляет собой вычисленные значения по размерам катушки. Последние катушки 6.3  $\mu$ H заводские и маркированы 6.3  $\mu$ H. Но при тесте на ЛЦР измерителе с частотой 100 kHz дают результат 7.12  $\mu$ H! Вы можете наблюдать значительные отличия добротности Q каждой катушки с разными параллельно подключенными конденсаторами с почти одинаковым значением ёмкости. Для катушки из 12 витков, Вы видите коэффициент добротности 50.6 с 18.2 nF конденсатором и коэффициент добротности 20.8 с 20.3 nF конденсатором. Причиной такого различия может быть программная ошибка. Поэтому я показываю данные АЦП для катушки из 12-витков с конденсаторами 18.2 nF и 20.3 nF на рисунке 5.64 для наглядности. Вы можете заметить четкую зависимость измерения добротности контура в приведенных данных. Вероятно, от качества используемого конденсатора зависит точность полученного результата.

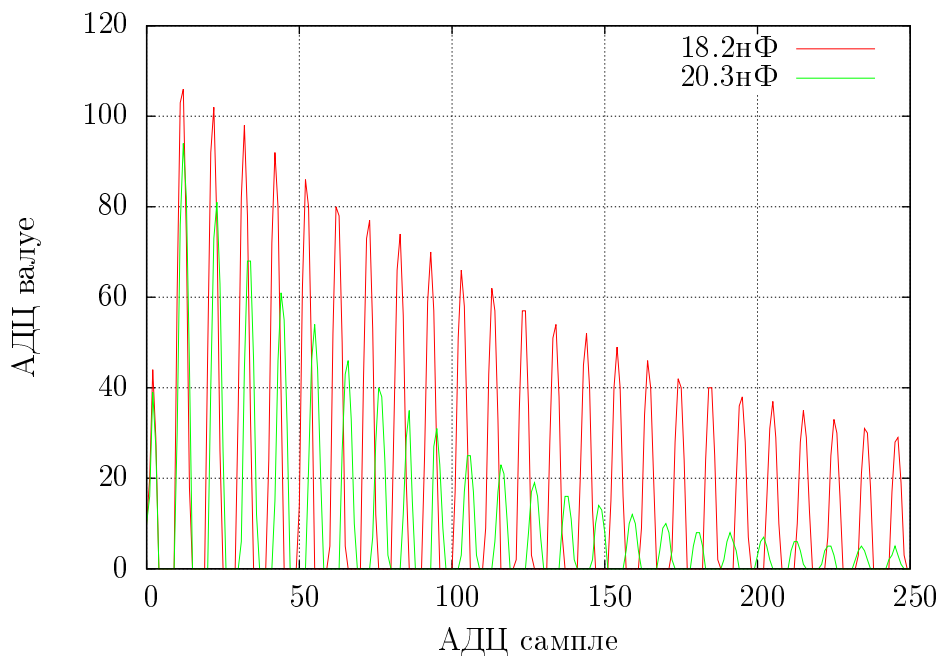


Рис. 5.64. Данные АЦП двух резонансных контуров с той же катушкой 12 витков

## 5.5 Функция самопроверки

Начиная с Версии 0.9к, реализована функция самопроверки. Использовать ее очень просто. Нужно установить испытательный терминал с зажимами, закоротить все зажимы и нажать кнопку **ТЕСТ**. Программа определяет закороченные испытательные зажимы и начинает функцию самопроверки, если Вы подтвердите этот режим повторным нажатием на кнопку **ТЕСТ** в течение 2-х секунд. Это подтверждение необходимо для исключения перехода Тестера в режим самопроверки при подключении дефектного транзистора. После окончания самопроверки Тестер начнет обычное измерение. Если никакой элемент не будет подключен, то программа закончит работу с выводом сообщения «Но, ункноющн, ор дамагед парт». Вы можете запустить самопроверку только на ATmega168 или ATmega328. Перед тестом определяющимся нулевые сопротивления для всех трех комбинаций соединений (T1:T3, T2:T3 и T1:T2). Эти нулевые сопротивления будут учтены при будущих измерениях ЕСР и сопротивлений ниже  $10\ \Omega$ . Допустимы только значения нулевого сопротивления ниже  $0.90\ \Omega$ , поскольку значения этой коррекции не используется для измерения резисторов выше  $10\ \Omega$ . Если Вы используете кабели для измерений, Вы должны использовать только кабели с очень низкими сопротивлениями. Если более поздние результаты измерений сопротивления упадут ниже определенного ранее нулевого значения более, чем на  $0,2\ \Omega$ , Тестер восстановит режим «ункалибратор» («неоткалиброванный»). Во время дальнейших испытаний это будет отмечено символом «\_» (подчеркивание) в конце строки или результата измерений. Каждый шаг функции самопроверки 1 - 7 отображающийся в первой строке LCD-дисплея символом «T», сопровождаемым номером шага. Каждый шаг повторяется 4 раза, прежде чем программа переходит на следующий шаг. Но если Вы держите кнопку **ТЕСТ** нажатой, когда испытательный цикл закончен, этот тест больше не повторяется. Если Вы удерживаете кнопку **ТЕСТ** нажатой постоянно, то каждый тест выполняется только один раз.

Без опции АУТО ЦАП в каждом шаге отображающиеся только результаты измерения, анализ ошибок не выполняется, результаты измерений Вы должны интерпретировать сами. В этом месте я дам Вам дополнительный важный совет. Никогда не делайте измерения с подключенным разъемом ИСП! Интерфейс ИСП искажает измерения.

Вот список осуществляемых в настоящее время тестов:

1. **Измерение 1,3 V (или 1,1 V) опорного напряжения (диапазон изменения опоры).** В строке 1 текст «РЕФ 1» и измеренное напряжение, отображенное в  $mV$ . Для ATmega8 напряжение должно быть близко к  $1,3\ V$ . Для других микроконтроллеров напряжение должно быть близко к  $1,1\ V$ . Вторая строка отображает результатирующий коэффициент для измерения ёмкости с резистором  $470\ k\Omega$ .
2. **Сравнение резисторов 680  $\Omega$ .** В первой строке отображающийся зашифрованный текст «ЬРЛ- 12 13 23». Значение этого текста следующее: РЛ - обозначение низкоомного резистора  $680\ \Omega$ .  
12 - резистор, соединенный с выводом 1 подключен к ВЦЦ ( $+5\ V$ ), а резистор, соединенный с выводом 2 к ГНД. Результат этого измерения отображается во второй строке на первом месте, в виде разницы с теоретическим значением.  
13 - резистор, соединенный с выводом 1 подключен к ВЦЦ ( $+5\ V$ ), а резистор, соединенный с выводом 3 к ГНД. Результат этого измерения отображается во второй строке на первом месте, в виде разницы с теоретическим значением.  
23 - резистор, соединенный с выводом 2 подключен к ВЦЦ ( $+5\ V$ ), а резистор, соединенный с выводом 3 к ГНД. Результат этого измерения отображается во второй строке на первом месте, в виде разницы с теоретическим значением.

Пожалуйста, помните, что разрешение АЦП составляет приблизительно  $4,88 \text{ mV}$ ! Шемы измерений представлены на рисунке 5.65. Теоретическое значение с учетом внутреннего сопротивления порта должны быть:  $\frac{5001 \cdot (19+680)}{(19+680+680+22)} = 2493$ .

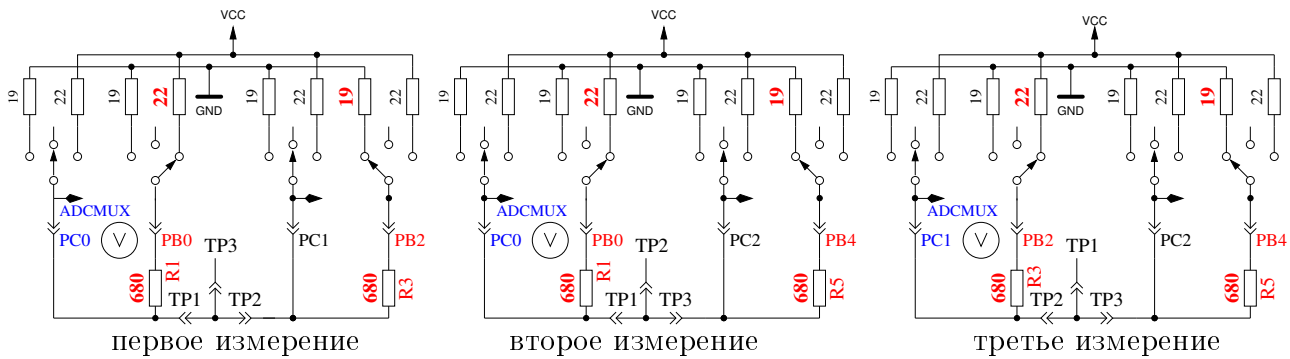


Рис. 5.65. Сравнение резисторов  $680 \Omega$

3. **Сравнение резисторов  $470 \text{ k}\Omega$ .** Теперь в первой строке отображаеця «РХ- 12 13 23». Та же самые действия, как сделано в тесте 2, повторены с резисторами  $470 \text{ k}\Omega$  (символы РХ). Все результаты отображают разницу с теоретическим значением. Теоретическое значение с учетом внутреннего сопротивления порта вычисляеця по формуле:

$$\frac{5001 \cdot (19+470000)}{(19+470000+470000+22)} = 2500 \text{ для всех комбинаций.}$$

4. **Отображаеця сообщение «Исолате Пробе!».** В этом шаге ничего не измеряеця. Это означает, что нужно озоединить «закоротку». Этот шаг завершиця, как только Вы «рацкоротите» входы.

5. **Этот тест проверяет способность подключения резисторов  $470 \text{ k}\Omega$  (РХ-) к ГНД при подтягивании испытательных контактов к ГНД.** Первая строка показывает текст «РХ-». Вторая строка должна показать ноль для всех трех выводов.

6. **Этот тест проверяет способность подключения резисторов  $470 \text{ k}\Omega$  (РХ-) к ВЦЦ ( $+5 \text{ V}$ ) при подтягивании испытательных контактов к ВЦЦ ( $+5 \text{ V}$ ).** Первая строка показывает текст «РХъ». Результаты во второй строке показывают отличие от ВЦЦ ( $+5 \text{ V}$ ) и должны быть близким к нулю. Большие отличия от значения 0 для теста 5 и теста 6 являюця ошибками, такими как проблема изоляции, утечки материала или повреждение порта!

7. **Этот шаг проверяет напряжения резистивного делителя  $470 \text{ k}\Omega / 680 \Omega$ .** Отличия напряжений резистивного делителя  $470 \text{ k}\Omega / 680 \Omega$  от расчетной величины отображаеця во второй строке ЛЦД-дисплея для всех трех терминалов. Различие больше, чем несколько  $\text{mV}$ , может быть вызвано применением неправильных значений резисторов.

8. **Измерение внутреннего сопротивления порта подключением выходных контактов к ГНД.** Этот и следующие тесты будут проведены, если выбрана опция АУТО\_ЦАЛ. Внутреннее сопротивление порта Ц с выходами, подключенными к ГНД, измеряеця по току через подключенные к ВЦЦ ( $+5 \text{ V}$ ) резисторы  $680 \Omega$ , смотри рисунок 5.66. Могут быть измерены только три вывода порта АЦП. Внутреннее сопротивление портов Б (ПБ0, ПБ2 и ПБ4) не может быть измерено без изменения аппаратных средств. Будем считать, что внутреннее сопротивление порта для различных портов практически одинаково. Величина сопротивления будет определена в следующем тесте.

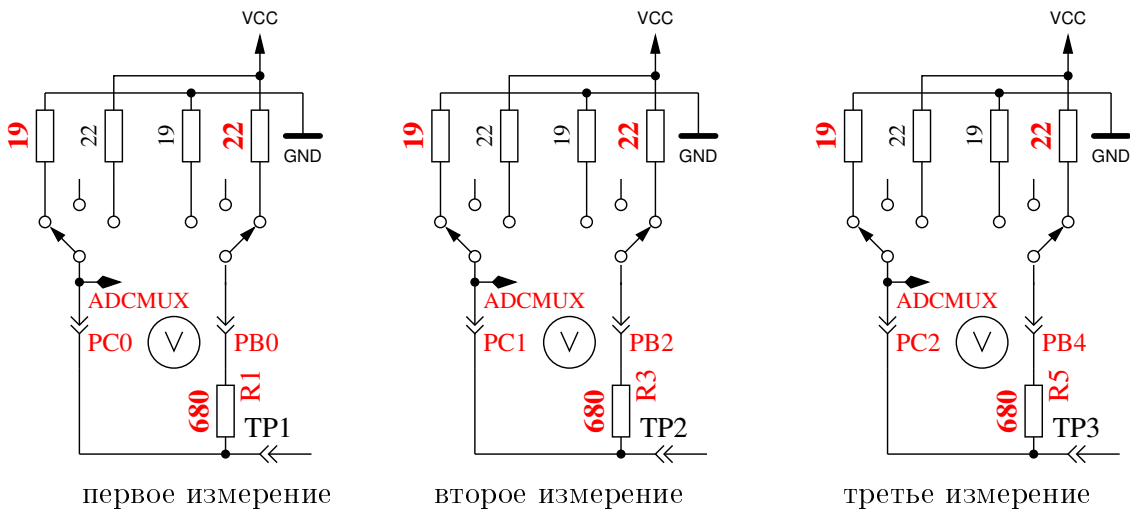


Рис. 5.66. Измерение внутреннего сопротивления порта Ц подключением выходных контактов к ГНД

**9. Измерение внутреннего сопротивления порта подключением выходных контактов к ВЦЦ (+5 V).** Необходимый ток задан резисторами 680  $\Omega$  соединёнными с ГНД. Как видно на рисунке 5.67, это те же самые измерения, как и в тесте 8, только с другой стороны. Следующими шагами вычисляется сопротивление:  $(VCC - (resultoftest8) - (resultoftest9)) / 680$ , чтобы получить оба значения резисторов, напряжение (результат теста 8 или 9) делим на этот ток.

Результаты этого теста будут отображены в первой строке текстом «РИ\_Хи 1», значение сопротивления ( $\Omega$ ) относительно ВЦЦ, во второй строке текст «РИ\_Ло 1», значение сопротивления ( $\Omega$ ) относительно ГНД.

Начиная с версии 1.06к программного обеспечения, значения выходного сопротивления порта определяются в начале каждого измерения. Этот тест только показывает значения.

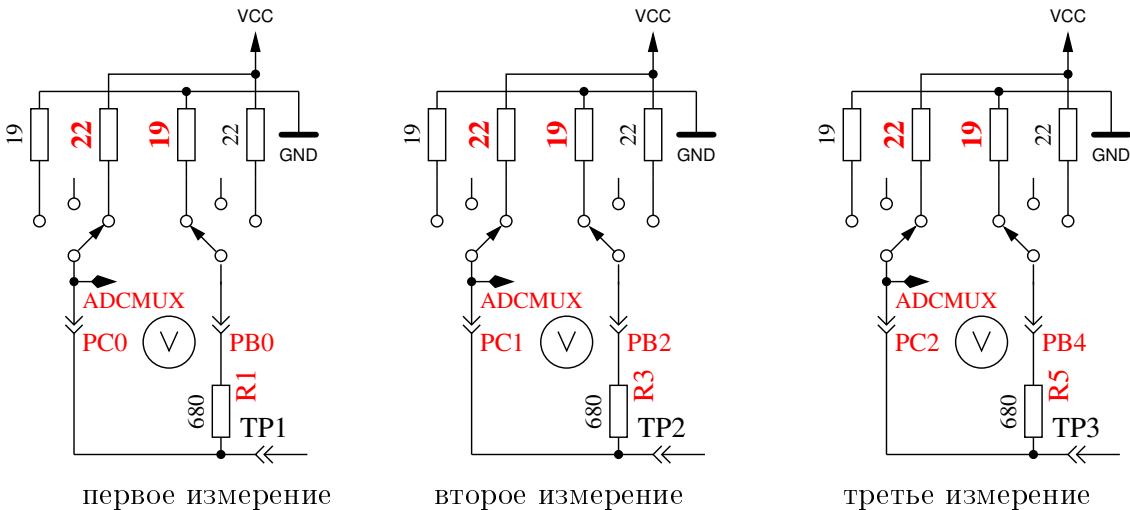


Рис. 5.67. Измерение внутреннего сопротивления порта подключением выходных контактов к ВЦЦ

**10. Измерение смещения нуля при измерении конденсаторов.** В первой строке после «Ц0» отображаются величины смещения нуля при измерении ёмкости конденсаторов в порядке комбинаций испытательных выводов 1:3, 2:3 и 1:2. Все три значения отображаются в  $pF$ . В этом измерении не учитывают предопределенное смещение нуля. Также измеряется

смещение нуля для комбинаций выводов в противоположном порядке. Результаты измерений записываются в ЕЕпром, если все значения будут меньше, чем  $190\text{ pF}$ . Это будет зафиксировано отображением текста «OK» во второй строке. Найденное смещение нуля используется для дальнейших измерений ёмкости относительно комбинаций выводов. Если результаты измерений ёмкости упадут ниже определенного ранее нулевого значения более, чем на  $20\text{ pF}$ , Тестер восстановит режим «унцалибратор» («неоткалиброванный»). Во время дальнейших испытаний это будет отмечено символом «\_» (подчеркивание) в конце строки или результата измерений. Имейте в виду, что при замене испытательных щупов может потребоваться новое регулирование смещения нуля. Если Вы используете провода с зажимами, смещение нуля может быть на  $3\text{ pF}$  больше, по сравнению с пустым гнездом. Если тестер настроен с функцией СамплингАДЦ, то значения нулевой ёмкости определяются в двух направлениях для всех комбинаций контактов. Причина в том, что нулевая ёмкость измеряется для заряда и разряда всех комбинаций тестовых контактов отдельно.

11. **Подключение конденсатора для измерения низких значений индуктивности**  
Если тестер настроен на использование функции СамплингАДЦ, требуется подключение конденсатора известной ёмкости для вычисления значения индуктивности по измерению резонансной частоты ЛЩ-контура при параллельном подключении во время теста индуктивности катушки. Практические значения ёмкости должны быть в диапазоне от  $10\text{ nF}$  до  $27\text{ nF}$ . Подходящий конденсатор должен быть подключен к тестовым выводам ТП 1 и ТП 3, когда в первой строке отображается сообщение «**1—3 10 – 30nF(L)**». Этот же конденсатор должен использоваться позже в качестве параллельно подключаемого к катушке при teste малых индуктивностей по резонансной частоте ЛЩ-контура. Если функция СамплингАДЦ не включена, то этот шаг отсутствует.
12. **Подключение конденсатора к испытательным выводам 1 и 3.** В первой строке ЛЦД-дисплея выводится сообщение «**1—3 >100нФ**». Чтобы подготовиться к измерению напряжения смещения компаратора, Вы должны подключить **высококачественный** конденсатор ёмкостью в диапазоне от  $100\text{ nF}$  до  $20\text{ }\mu\text{F}$ . Допустимо использование **только пленочных** конденсаторов.
13. **Измерение смещение компаратора для настройки измерения ёмкости.** Для получения смещения аналогового компаратора, конденсатор уже должен быть подключен к испытательным выводам 1 и 3. Конденсатор необходим для поддержания напряжения заряда конденсатора на время измерения разницы между напряжением заряда и внутренним опорным напряжением (зона). Если измерение прошло успешно, и величина коррекции мала, то в первой строке ЛЦД-дисплея отобразится текст «**РЕФ Ц 1**» и величина коррекции будет записана в ЕЕпром. Используя опцию РЕФ\_Ц\_КОРР, Вы можете добавить дополнительное смещение к автоматически измеренному значению. Если Вы выбрали опцию АУТОСЦАЛЕ\_АДЦ, масштаб АЦП, полученный после однократного измерения напряжение при соединении с ВЦЩ и однократного измерения напряжения внутреннего ИОН, будет скорректирован путем сравнения напряжения на конденсаторе ниже  $1\text{ V}$ . Результат измерения отображается во второй строке текстом «**РЕФ Р 1**». Ваше значение опции РЕФ\_Р\_КОРР является дополнительным смещением к этому автоматически определенному разностному значению.

По окончании тестов в первой строке отображается текст «Тест Енд» а во второй строке номер версии программного обеспечения. Если в Макефиле установлена опция ФРЕЧУЕНЦЫ\_50Хз, то на испытательном выводе 2 генерируется прямоугольный сигнал  $50\text{ Hz}$  и тот же самый сигнал в противофазе - на испытательном выводе 3. Испытательный вывод 1 подключается к ГНД. Ток ограничен резисторами  $680\text{ }\Omega$ . Это будет отображено, как «50Хз», в конце первой строки ЛЦД-дисплея. Сигнал  $50\text{ Hz}$  будет сгенерирован 30 раз в течение 2 секунд. Если у Вас есть частотомер или осциллограф, то Вы можете проверить требуемые временные характеристики

сигнала. Рисунок 5.68 показывает осциллограмму кривой  $50\ Hz$  на обоих испытательных выводах для ATmega с кварцем.

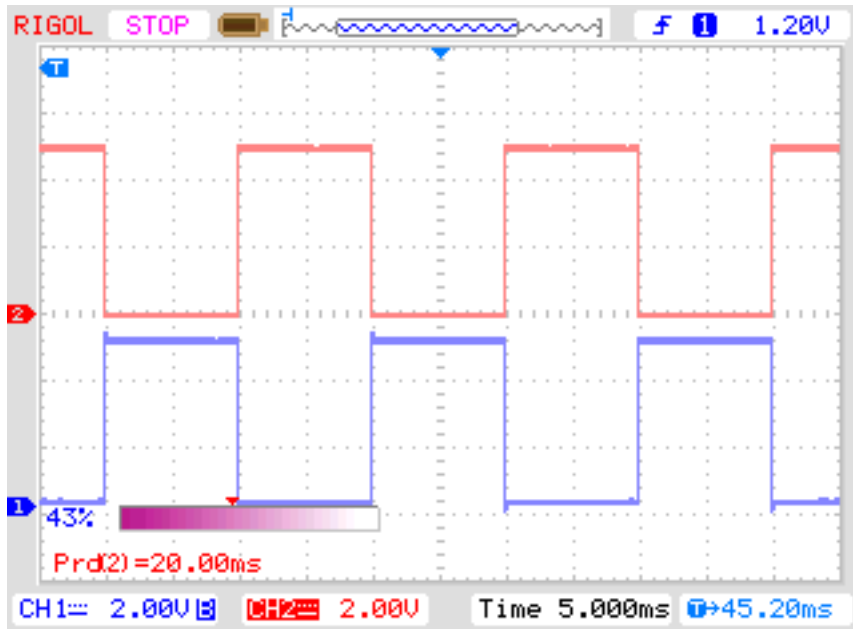


Рис. 5.68. Осциллограмма  $50\ Hz$  на выводах 2 и 3

Если Вы не используете кварц, результат может быть неточным. Точная частота и период важны для измерения величины ёмкости. Вы можете прервать долговременную генерацию сигнала  $50\ Hz$ , нажав на кнопку **ТЕСТ**. Тогда программа продолжит обычную задачу измерения.

### 5.5.1 Некоторые результаты функции самопроверки

На нижеследующих рисунках показаны результаты самопроверок 9 различных микроконтроллеров ATmega168 и 6 микроконтроллеров ATmega328.

Номер теста	Тип измерения	теоретич. зн.	Рисунок
Тест 1	банд гап Реф	1100	5.69
Тест 2	РЛ-Меан	0	5.70а
Тест 3	РХ-Меан	0	5.70б
Тест 5	РХ-Лош	0	5.71а
Тест 6	РХ-Хигх	0	5.71б
Тест 8	Р оут Ло	131	5.72а
Тест 9	Р оут Хи	151	5.72б
Тест 10	Цап зеро оффсет	30	5.73
Тест 11	Референце цоррецион	0	5.74

Таблица 5.8. Таблица самопроверок

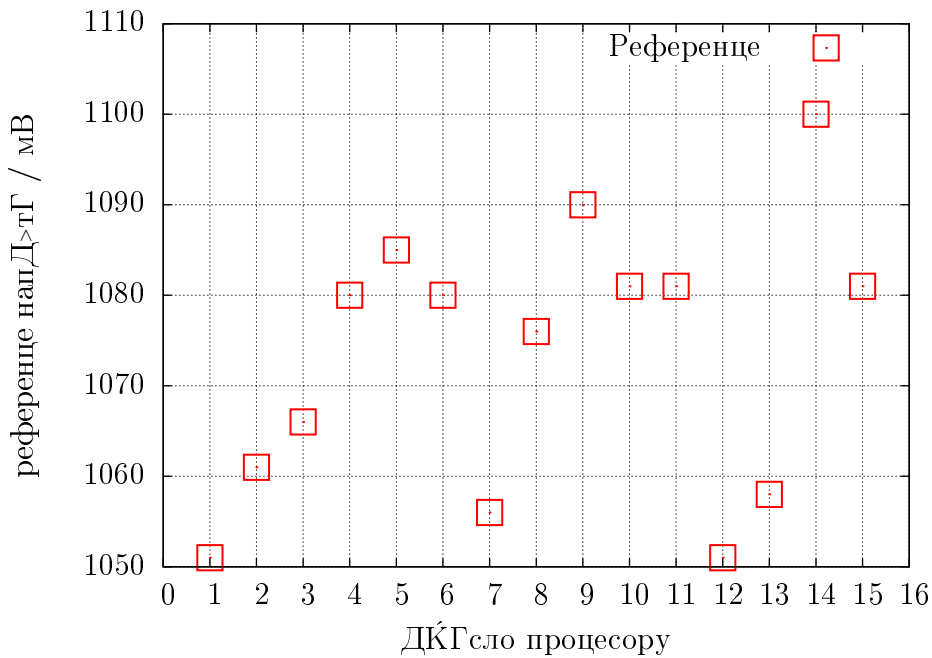
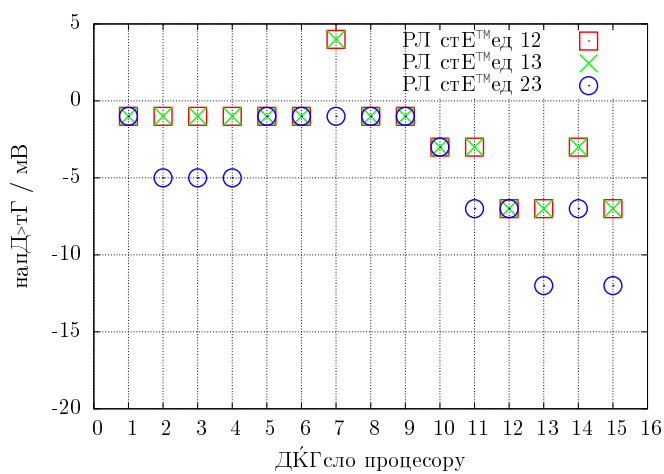
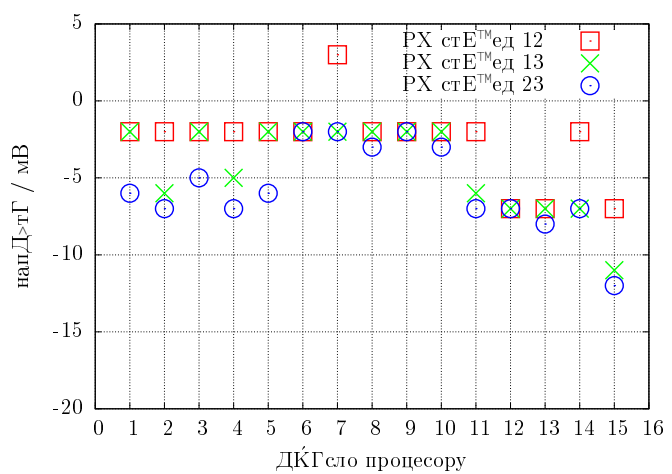


Рис. 5.69. Самопроверка: Внутренний ИОН

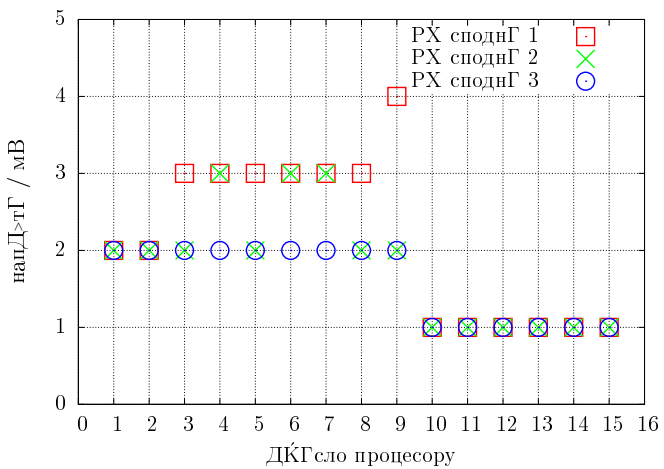


(а) Сопротивление 680  $\Omega$

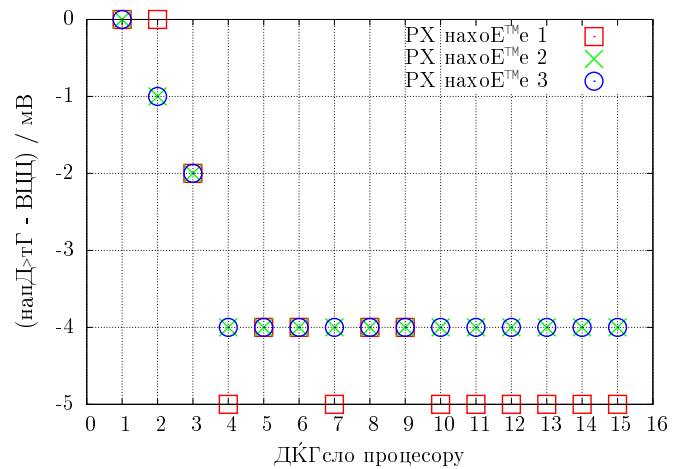


(б) Сопротивление 470  $k\Omega$

Рис. 5.70. Самопроверка: Отклонение среднего напряжения от идеального

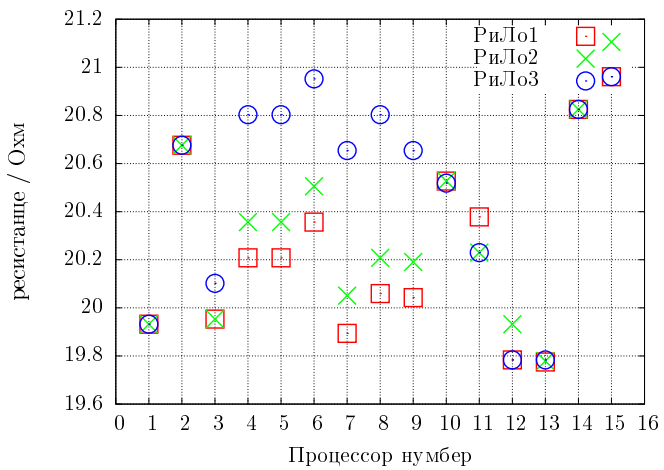


(а) Сопротивления  $470\text{ k}\Omega$  к  $0\text{ V}$

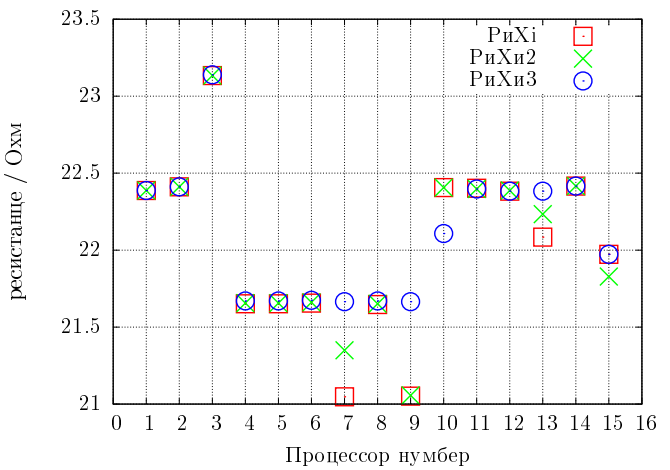


(б) Сопротивление  $470\text{ k}\Omega$  к  $5\text{ V}$

Рис. 5.71. Самопроверка: Входное напряжение



(а) Сопротивление  $680\text{ }\Omega$  к  $5\text{ V}$



(б) Сопротивление  $680\text{ }\Omega$  к  $0\text{ V}$

Рис. 5.72. Самопроверка: Выходное сопротивление

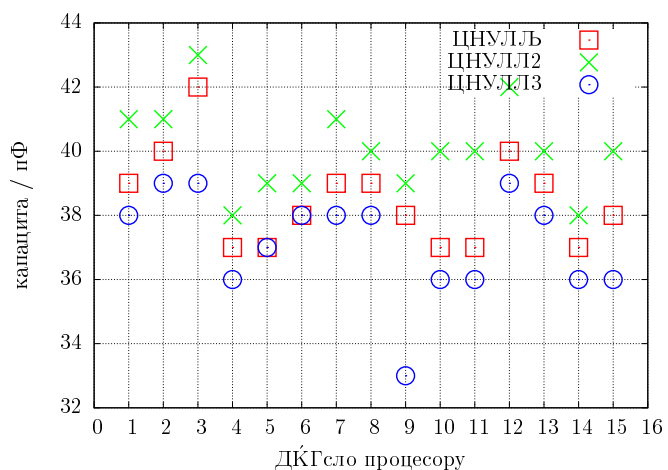


Рис. 5.73. Самопроверка: Смещение нуля при измерении ёмкости

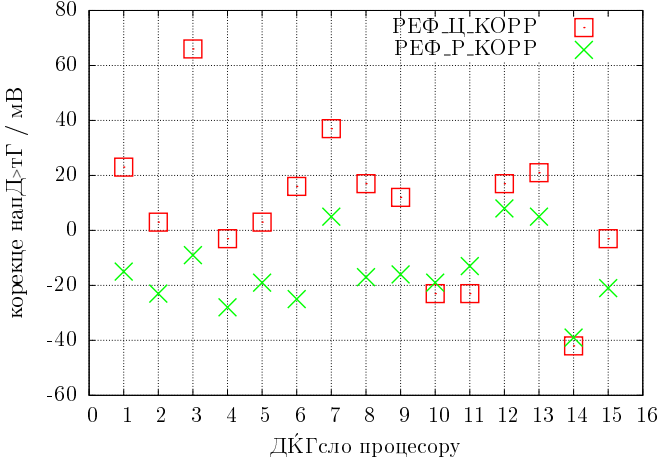


Рис. 5.74. Самопроверка: Величина коррекции после автокалибровки

Наконец, я хотел бы показать Вам на рисунке 5.75 различие внешнего напряжения на выводе АРЕФ, измеренного мультиметром, и измеренного внутренним АЦП опорного напряжения для 15 различных АТмега и найденных напряжений коррекции (РЕФ\_P\_KOPP) после автокалибровки рисунок 5.75. Вы можете видеть, что значения автокалибровки почти соответствуют внешним измеренным значениям.

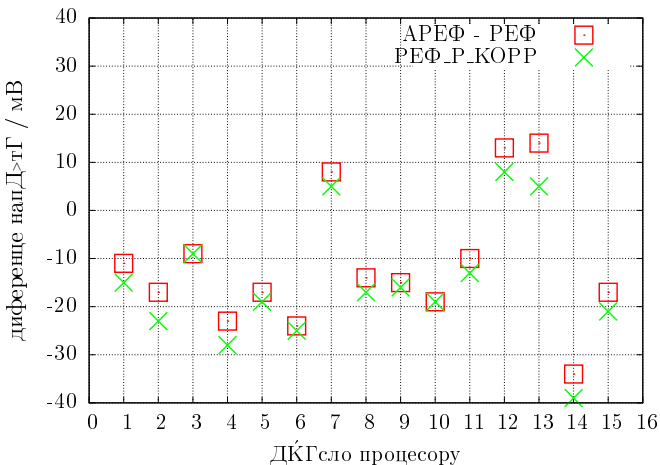


Рис. 5.75. Самопроверка: Различие напряжений ИОН, замеренных на внешнем выводе мультиметром и внутренним АЦП

## 5.6 Измерение частоты

Начиная с версии 1.10к в меню дополнительных функций можно выбрать пункт «Фречуенцы» (измерение частоты). Стандартное измерение частоты осуществляется подсчетом количества задних фронтов входного сигнала по входу T0 (ПД4) за одну секунду. Для получения периода счета в 1 секунду счетчик 1 используется с делителем 256:1 частоты процессора. Для получения 1 секундного интервала за один проход можно использовать 16 разрядный счетчик ATmega с частотой процессора 16  $MHz$  и с делителем. Для запуска и остановки счетчика 0 используется регистры сравнения B и A счетчика 1. Чтобы избежать ошибки задержки при опросе результата сравнения сигналов событий, использующая обработчики прерываний событий запуска и остановки счетчика 1. Времена задержек в обеих подпрограммах обслуживания прерываний практически равны. Для поддержания точности периода 1 секунда постоянная задержка незначительна. При анализе на ассемблере, разница во времени может быть скорректирована.

Для частот ниже 25  $kHz$  проводится стандартное измерение с последующим измерением периода времени. Это дополнительное измерение следует только после стандартного измерения частоты. Измерение времени будет сделано путем подсчета количества прерываний по входу ПЦИНТ20 (ПД4) счетчиком 0. При измерении периода импульса ширина как положительного, так и отрицательного полупериодов, должна быть не менее 10  $\mu s$ . Счетчик 0 используется на максимальной тактовой частоте. Разрешение составляет 125  $ns$  для 8  $MHz$ . При превышении подсчета периодов измерений разрешение может быть уменьшено. При использовании 125 периодов измерения, среднее разрешение для одного периода составит 1  $ns$ . Для предотвращения неточности запуска и остановки счетчика 0, запуск будет произведен по первому, а останов по последнему изменению на контакте прерывания ПЦИНТ20 по той же самой процедуре обслуживания прерывания. Количество периодов выбрано так, чтобы можно было измерить время около 10 миллионов тактов частоты процессора. При таком выборе ошибка составит всего 0,1  $ppm$ . С тактовой частотой 8  $MHz$  время измерения составляет около 1,25 секунды. При определенной, таким образом, средней величине периода, частота вычисляется затем с более высоким разрешением.

Процедуру проверки проводили так: два Тестера измеряли друг друга. Первый тест: частоты генерируются Тестером 2 и измеряются Тестером 1. После этого Тестеры меняются местами, и измерения повторяются. На рисунке 5.76 представлены результаты обеих серий измерений. Почти постоянные отклонения можно объяснить небольшой разницей частот двух кварцев.

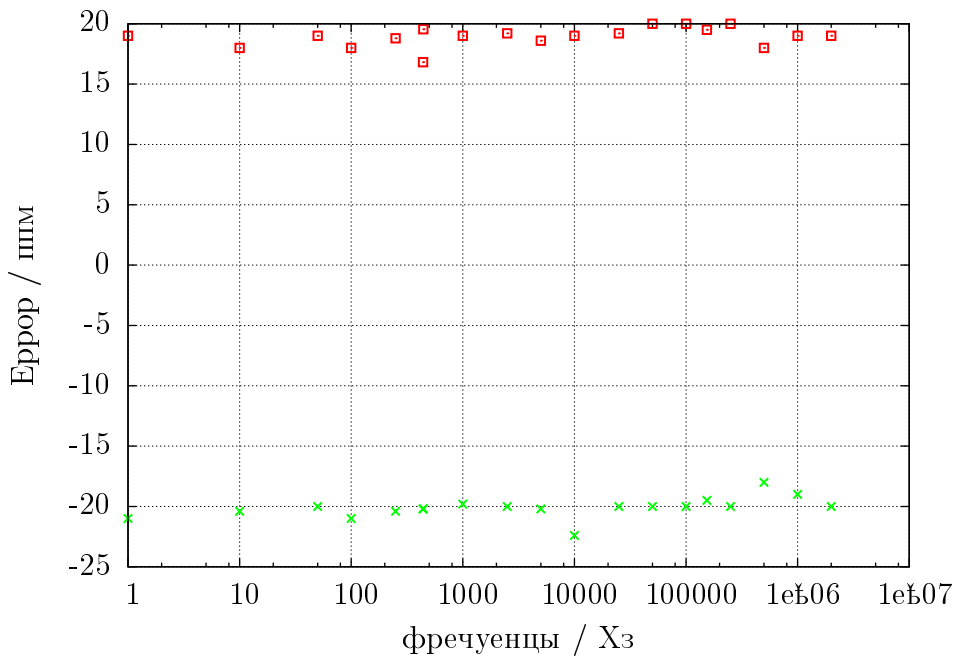


Рис. 5.76. Относительная погрешность измерения частоты

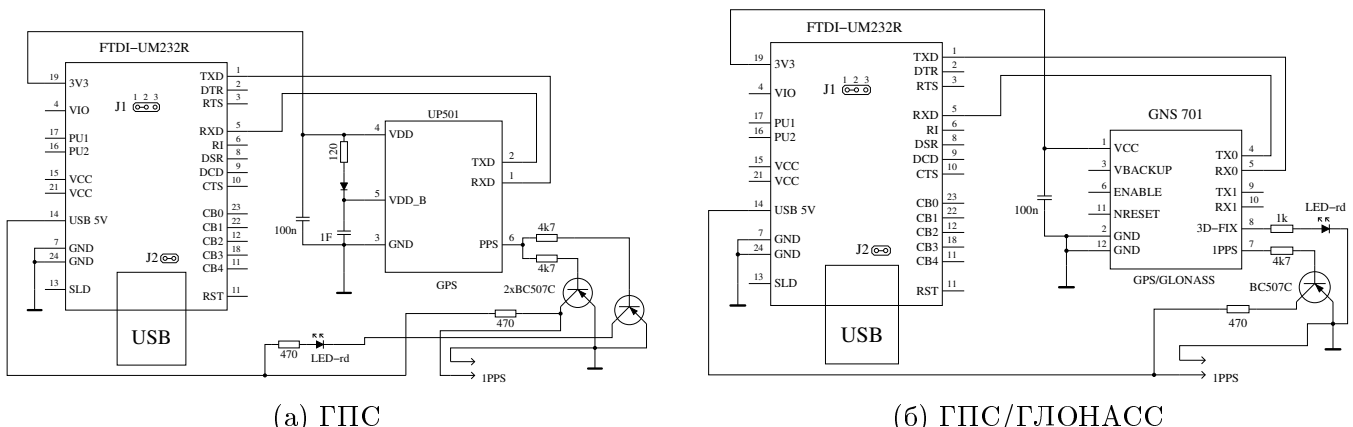
### 5.6.1 Калибровка частоты по ГПС- или ГЛОНАСС-приёмникам

Подстройку частоты кварца можно осуществить установив подстроечный конденсатора (5 – 25  $pF$ ). Успешно протестирована калибровка частоты кварца Тестера импульсами 1ППС с применением ГПС приемника **УП501** от **Фастраш Лтд.** или с использованием ГПС/ГЛОНАСС приемника **ГНС701** от **Глобал Навигации Системс ГмбХ.** Измеряемый период можно точно настроить на 1000,000 ms. Только последняя цифра может отличаться на единицу. Конечно, частота кристалла зависит от температуры. Поэтому вы не можете ожидать очень хорошую стабильность долгое время.

На рисунке 5.77 приведена схема подключения УМ232 УСБ-последовательного контроллера и приемника к компьютеру.

Конвертер УМ232 автоматически поддерживает два напряжения 5 V и 3,3 V для питания шемы от УСБ.

Для работы приемника подключение к компьютеру не обязательно. Только питание 5 В необходимо подать УСБ контроллеру.



## 5.6.2 Калибровка частоты с помощью тактового модуля

Чтобы настроить частоту кристалла транзисторного тестера, вы должны сначала заменить один из конденсаторов в обвязке кварца на триммер. Преимущество использования модулей РТЦ для калибровки частоты вместо модулей ГПС или ГЛОНАСС заключающаяся в том, что Вам не нужно находиться в зоне видимости спутника. Вы можете настроить частоту почти в любом месте. Я исследовал модули часов с чипом DS3231 и печатной платой с «ЗС-042». Обследованные модули, вероятно, производятся в Китае, и все платы оснащены чипом DS3231M. Микросхема DS3231M использует резонатор MEMC (Мицро Елецтро Мечаникал Систем) вместо чипа DS3231CH, который использует кристалл с  $32\text{ }768\text{ }Hz$ . Модифицированный резонатор MEMC также используется чипом ДЦВ301. На рисунке 5.78 показан один из используемых модулей.

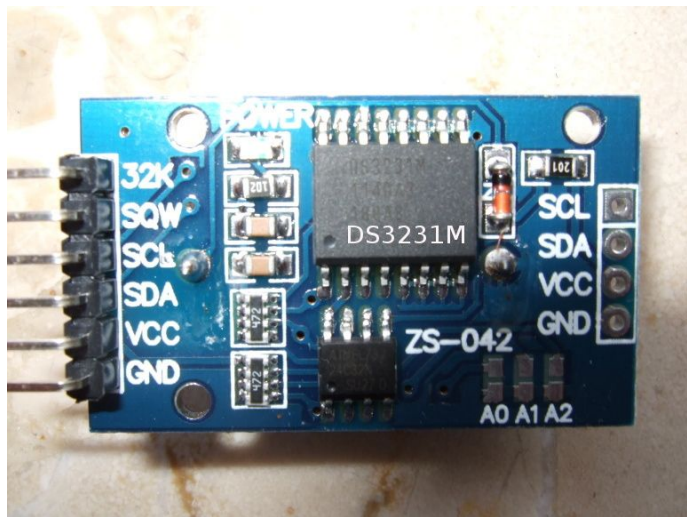


Рис. 5.78. Один из протестированных DS3231 модулей

Обе версии чипов DS3231 используют внутреннее измерение температуры для управления базовой частотой таким образом, что дрейф частоты в широком диапазоне при изменении температуры почти полностью компенсируется. К сожалению, предоставленный сигнал  $32\text{ }kHz$  для чипа DS3231M не может использоваться для калибровки частоты. При измерении я получил разные частоты:  $32\text{ }641\text{ }Hz$ ,  $32\text{ }710\text{ }Hz$ ,  $32\text{ }730\text{ }Hz$  и  $32\text{ }748\text{ }Hz$  для всех четырех тестируемых модулей. Все эти частоты находятся далеко от ожидаемой точной частоты  $32\text{ }768\text{ }Hz$ . Если Вы подключаете модули к Ардуино УНО, Вы также можете использовать вывод 1ППС ( $1\text{ }Hz$ ) с выхода СЧЩ. Этот выход настолько стабилен и точен, что его можно использовать для калибровки. Даташит DS3231M обещает для 1ППС вывода точность  $pt5\text{ }ppm$  для полного температурного диапазона от  $-45^{\circ}C$  до  $+85^{\circ}C$ , а точность  $32\text{ }kHz$  на выводе документируется только  $\pm 2.5\%$  ( $25000 ppm$ ).

Лист данных чипа DS3231CH обещает точность  $pt3,5 ppm$  для полного диапазона температур от  $-40^{\circ}C$  до  $+85^{\circ}C$  и точность  $\pm 2 ppm$  для температуры между  $0^{\circ}C$  и  $+40^{\circ}C$ . В чипе DS3231CH используется внутренний тактовый кристалл с частотой  $32\text{ }768\text{ }Hz$ , частота которого стабилизируется переключаемыми конденсаторами в широком температурном диапазоне. При известном температурном дрейфе кристалла и измерении температуры частота контролируемого кристалла почти постоянна. Чтобы проверить эти чипы, я заменил чипы DS3231M чипами DS3231CH для всех четырех модулей.

С откалиброванным транзисторным тестером (модель  $16\text{ }MHz$ ) я измерил выходную частоту всех модулей с одним и тем же результатом  $32,76800\text{ }kHz$ . Во время измерений, очень редко, наблюдалась разница в  $0,03\text{ }Hz$ . Эта разница составляет только  $1 ppm$ . Дробное количество  $1\text{ }Hz$  отображается только, если частота вычисляется для измерения периода. Предел для измерения

периода изменен с  $25\text{ kHz}$  до  $33\text{ kHz}$ , чтобы сделать измерение периода для сигнала  $32\text{ 768 Hz}$  более точным.

# Глава 6

## Генератор сигналов

Режимы генерации различных сигналов доступны только для ATmega328. Итак, Вы должны включить меню дополнительных функций опцией ЩИТХ\_МЕНУ в Макефиле. Меню дополнительных функций вызываеца продолжительным (» 300 ms) нажатием на кнопку **ТЕСТ**. Функции дополнительного меню отображаюся во второй строке дисплея. Вы можете выбрать отображаемую функцию длительным нажатием кнопки **ТЕСТ**. Следующая функция дополнительного меню отображаеца автоматически через 5 секунд автоматически или после короткого нажатия кнопки **ТЕСТ**.

### 6.1 Генератор частоты

Генератор частоты запускаеца, если Вы выбрали «ф-Генератор» (Генератор частоты) длительным нажатием кнопки **ТЕСТ** из меню дополнительных функций. Сигнал частоты выводиця через резистор 680  $\Omega$  на тестовый контакт ТЬ. Тестовый контакт ТЬ программно подключаетя к ГНД.

Частоты создаюся при помощи 16-разрядного счетчика из тактовой частоты ЦПУ (8 MHz или 16 MHz). Задать значение генерируемой частоты можно для каждого разряда, начиная с разряда единиц 1 Hz от 0 до 9. Для самого высокого разряда 100 kHz значение изменяеца от 0 до 20. Таким образом, можно задать значение частоты до 2 MHz. Без энкодера значение цифры разряда может быть только увеличено при коротком (< 0.8 с) нажатии клавиши. С помощью поворотного энкодера Вы можете изменить значение цифры разряда в любом направлении. Более длительное нажатие клавиши позволяет выбирать старший разряд для задания цифры генерируемой частоты. Дополнительный символ в первой позиции отображает направление изменения цифры в разряде. Символ > показывает, что будет выбрано следующее, более высокое значение. Символ < означает, что будет выбрано более низкое значение (вплоть до 1 Hz). Если выбран самый высокий разряд 100 kHz, то символ > заменяеца символом Р. В этом состоянии более длительное нажатие сбрасывает значение частоты к ишодному значению 1 Hz. Поскольку не каждая из выбранных частот может быть корректно сгенерирована, разница заданного значения с генерируемой частотой отображаеца в строке 3 или за значением частоты. Если удерживать клавишу нажатой в течение длительного (> 2 с) времени, Вы можете вернуться в диалоговое окно функции для выбора других дополнительных функций.

### 6.2 Широтно-импульсный генератор

Широтно-импульсный генератор запускаеца, если Вы выбрали функцию «10-Бит ПШМ» (16-битный ШИМ) длительным нажатием кнопки **ТЕСТ** из меню дополнительных функций. Частота через резистор 680  $\Omega$  выводиця на тестовый контакт ТЬ. Тестовый контакт ТЬ программно

подключаеца к ГНД. Частота выходного сигнала всегда равна частоте ЦПУ разделенной на 1024. Для ЦПУ с тактовой частотой 8  $MHz$  частота выходного сигнала составляет 7812,5  $Hz$ . При нажатии кнопки **TEST**, возможно изменение ширины только положительного импульса. При кратковременном нажатии кнопки **TEST**, Вы можете увеличивать ширину импульса до 99 % с шагом 1 %. При более длительном удержании кнопки, изменение ширины импульса происходит с шагом 10 %. Если значение ширины импульса достигает 99 %, то из результата вычитаеця 100. При значении ширины импульса 0 % генерируеца положительный импульс самой малой ширины.

# Глава 7

## Известные ошибки и проблемы

Версия 1.12к программного обеспечения

1. Германиевые диоды (АТ28) не определяются никогда. Это, вероятно, вызвано обратным током. Охлаждение диода может помочь уменьшить ток утечки.
2. В биполярных транзисторах защитный диод коллектор - эмиттер не может быть обнаружен, если ток ИЦЁ большой. До сих пор проблема возникла только с германиевыми транзисторами с диодом не на том же кристалле.
3. Коэффициент усиления германиевых транзисторов может быть завышен из-за большого значения тока утечки. В этом случае напряжение база-эмиттер будет очень низким. Охлаждение транзистора может помочь получить более правильный коэффициент усиления.
4. Величина ёмкости в обратном направлении для мощных диодов Шоттки, таких, например, как МБР3045ПТ, не может быть измерена, если подключен только один диод. Причина - слишком большой ток утечки этого диода. Иногда измерение возможно при охлаждении диода.
5. Иногда выводится сообщение о неправильном обнаружении точного 2,5 V ИОН, когда порт ПЦ4 никуда не подключен (вывод 27). Вы можете избежать этого поведения, установив дополнительный подтягивающий резистор на ВЦЦ.
6. Диодная функция управляющего вывода симистора не может быть исследована.
7. Иногда происходит сброс во время измерения ёмкости, что говорит о проблеме с Броун Оут Левел 4,3 V для АТмега168 или АТмега328. Причина не известна. Сброс исчезает, если Броун Оут Левел установить на 2,7 V.
8. При использовании СЛЕЕП МОДЕ микроконтроллера ток питания ВЦЦ изменяется больше, чем при использовании предыдущих версий программного обеспечения. Вы должны увеличить блокировочные конденсаторы, если замечаете какие-либо проблемы. Керамические конденсаторы 100 nF должны быть помещены около выводов питания АТмега. Использование СЛЕЕП МОДЕ можно отключить опцией ИНХИБИТ\_СЛЕЕП\_МОДЕ в Макефиле.
9. Часто не измеряются tantalовые электролитические конденсаторы. Они могут быть обнаружены, как диод или могут быть не обнаружены вообще. Иногда помогает отключение-подключение.
10. Выводы «исток» и «сток» не могут быть определены корректно в JFET транзисторах. Причина в симметричности их структуры. Вы можете заметить эту проблему, поменяв местами в тестовых контактах «сток» и «исток», а на дисплее отобразится предыдущее расположение выводов. Я не вижу никакой возможности корректно определить выводы

этих транзисторов. Но, перестановка местами «сток» и «исток» в схемах, как правило, не вызывает каких либо проблем.

# Глава 8

## Специальные модули программного обеспечения

Некоторые изменения были сделаны, чтобы сохранить место во Флаш-памяти. Вывод на ЛЦД дисплей номера выводов был сделан в форме «лцд\_дата('1'ÿпин)». Операция добавочного сохранения для каждого вызова «лцд\_тестпин(уинт8\_т пин)» была добавлена к лцд\_роутинес.ц.

Псевдовызов в форме «\_делав\_мс(200)» выполнен, не как обращение к библиотеке и задержка осуществлена в цикле для каждого обращения. Если у Вас в программе будет много обращений к различным местам, то это будет занимать много памяти. Все эти псевдовызовы заменены вызовами моей, специально написанной, библиотеки, которая использует только 74 байта Флаш памяти (при 8 MHz), но позволяет обращаться от щайл1ус () до щайл5с () с шагом 1,2,3,4,5,10,20... Проще включают Щатч Дог Ресет для всех обращений выше 50 ms. Каждая задержка обращения обычно нуждается только в одной инструкции (2 Быте). Ожидание промежуточного обращения с величиной, такой как 8 ms, нуждается в двух обращениях (5 ms и 3 ms или два обращения по 4 ms). Я не знаю более экономичной реализации, когда используется много обращений к задержкам в Вашей программе. Обращения не используют регистров, только СП в РАМ для возвращения из подпрограмм (самое большое 28-байтовое пространство стека в текущей версии). Полный список функций:

щайл1ус(), щайл2ус(), щайл3ус(), щайл4ус(), щайл5ус(), щайл10ус(),  
щайл20ус(), щайл30ус(), щайл30ус(), щайл40ус(), щайл50ус(), щайл100ус(),  
щайл200ус(), щайл300ус(), щайл400ус(), щайл500ус(), щайл1мс(),  
щайл2мс(), щайл3мс(), щайл4мс(), щайл5мс(), щайл10мс(),  
щайл20мс(), щайл30мс(), щайл40мс(), щайл50мс(), щайл100мс(),  
щайл200мс(), щайл300мс(), щайл400мс(), щайл500мс(), щайл1с(),  
щайл2с(), щайл3с(), щайл4с() и щайл5с();

Эти 36 функций с 37 командами включены в Щатч Дог Ресет! Нет реального способа сократить эту библиотеку. Если делается самая малая задержка обращения, то она не точно соответствует времени задержки. Только задержка обращения выше 50 ms в одном цикле удлиняется до 100 ms из-за интегрирования в Щатч Дог Ресет.

Часто используемая последовательность обращений «щайл5мс(); РеадАДЦ...();» заменена обращением «Щ5мсРеадАДЦ(...);». То же самое сделано для последовательности «щайл20мс(); РеадАДЦ(...);» которая заменена одним обращением «Щ20мсРеадАДЦ(...);».

Функция РеадАДЦ дополнительна написана на языке ассемблера для повышения эффективности работы кода. Функционально идентичная. Ц-версия функции РеадАДЦ также доступна, как источник.

# Глава 9

## Список текущих дел и новые идеи

1. Добавлять и улучшать документацию.
2. Подумать о том, как можно замерить реальное внутреннее выходное сопротивление порта Б (переключение резистора порта) вместо принятия, что порты одинаковы.
3. Может ли разрядка конденсаторов стать быстрее, если отрицательный вывод дополнительно подключить через резистор  $680\ \Omega$  к ВЦЩ (Ь)?
4. Проверить, может ли Тестер использовать представление значений с плавающей запятой. Риск перегрузки ниже. Нет желания одновременно использовать умножение и деление, чтобы получить умножение с плавающей запятой. Но я не знаю, каким объемом должна быть Флеш память, необходимая для библиотеки.
5. Написать Руководство пользователя для того, чтобы конфигурировать Тестер опциями Макефиле и описать методику построения.
6. Если ток удержания триистора не может быть достигнут с резистором  $680\ \Omega$  он безопасен для подключения катода непосредственно к ГНД и анода непосредственно к ВЦЩ на очень короткое время? Ток может достигнуть больше, чем  $100\ mA$ . Порт будет поврежден? Что с электропитанием (стабилизатор напряжения)?
7. Проверять порт после самопроверки!
8. Идея нового проекта: версия УСБ без LCD-дисплея, питание от УСБ, обмен с ПЦ по УСБ.
9. Замена функции самплингАДЦ, которая использует такт процессора управлением временем сдвига АЦП С'Х.
10. Проверка точности измерения маленьких конденсаторов методом самплингАДЦ.
11. Проверка точности измерения маленьких катушек методом самплингАДЦ.

# Литература

- [1] [https://gitgithub.com/cvn2github/transistorstester/blob/master/Doku/trunk/pdftest/german/tester.pdf](https://github.com/cvn2github/transistorstester/blob/master/Doku/trunk/pdftest/german/tester.pdf)
- [2] Маркус Фрејек *AVR-Транзистортестер*,. Ембеддед Пројеџц Јоурнал, 11. Аусгабе, 2011
- [3] Atmel Corporation *8-бит AVR щитх 8КБытес Ин-Систем Программабле Флаш - ATmega8(L)*,. Руководство, 24863-AVR-02/11, 2011
- [4] Atmel Corporation *8-бит AVR щитх 4/8/16/32КБытес Ин-Систем Программабле Флаш - ATmega48 - ATmega328*,. Руководство, 8271Д-AVR-05/11, 2011
- [5] Atmel Corporation *Atmel AVR126: АДЦ оф мегаAVR ин Сингле Ендед Моде*,. Замечания по применению, 8444A-AVR-10/11, 2011
- [6] Atmel Corporation *Atmel AVR121: Енханцинг АДЦ ресолутион бы оверсамплинг*,. Замечания по применению, 8003A-AVR-09/05, 2005
- [7] [http://ен.шикибоокс.орг/шки/ЛаTeX\\_Документация\\_по\\_ЛаTeX](http://ен.шикибоокс.орг/шки/ЛаTeX_Документация_по_ЛаTeX),. Руководство по языку разметки ЛаTeX, 2012
- [8] [http://ен.шикибоокс.орг/шки/Гнуплот\\_Документация\\_по\\_Гнуплот](http://ен.шикибоокс.орг/шки/Гнуплот_Документация_по_Гнуплот),. Документация по инструменту построения Гнуплот, 2012
- [9] Шикипедиа [http://де.шикипедиа.орг/шки/ЕчуивалентъСериесъРесистанце\\_Что\\_такое\\_ECR\\_на\\_немецком\\_языке](http://де.шикипедиа.орг/шки/ЕчуивалентъСериесъРесистанце_Что_такое_ECR_на_немецком_языке). Стандартизация и эквивалентная шема конденсатора, 2012
- [10] [http://щщ.шфиг.орг/усерман\\_Документация\\_по\\_Шфиг](http://щщ.шфиг.орг/усерман_Документация_по_Шфиг),. Документация инструмента интерактивного рисования Шфиг, 2009
- [11] [http://доцс.гимп.орг/2.6/де\\_Документация\\_по\\_гимп](http://доцс.гимп.орг/2.6/де_Документация_по_гимп). Документация программы И mage Маниполатион Програм, 2010
- [12] [http://щщ.микроонтроллер.нет/артиклес/AVR-Транзистортестер\\_документация\\_по\\_Транзистор\\_Тестеру](http://щщ.микроонтроллер.нет/артиклес/AVR-Транзистортестер_документация_по_Транзистор_Тестеру), Интернет статья, 2009-2011
- [13] [http://щщ.микроонтроллер.нет/артиклес/AVRДУДЕ\\_документация\\_к\\_интерфейсу\\_аврдуде\\_программатора](http://щщ.микроонтроллер.нет/артиклес/AVRДУДЕ_документация_к_интерфейсу_аврдуде_программатора), Интернет статья, 2004-2011
- [14] [http://щщ.микроонтроллер.нет/топиц/131804\\_Тема\\_Маркус](http://щщ.микроонтроллер.нет/топиц/131804_Тема_Маркус), Тема на форуме, 2009
- [15] [http://щщ.микроонтроллер.нет/артиклес/AVRъТранзистортестер\\_Краткое\\_описание\\_новых\\_особенностей\\_Транзистор\\_Тестера\\_Карл-Хайнз\\_K](http://щщ.микроонтроллер.нет/артиклес/AVRъТранзистортестер_Краткое_описание_новых_особенностей_Транзистор_Тестера_Карл-Хайнз_K), Интернет статья, 2012
- [16] [http://щщ.микроонтроллер.нет/топиц/248078\\_Тема\\_Карл-Хайнз](http://щщ.микроонтроллер.нет/топиц/248078_Тема_Карл-Хайнз), Тема и новые версии микропрограммного обеспечения, 2012

- [17] [хттп://щщщ.микроцонтроллер.нет/артиклес/ЩинАВР](http://щщщ.микроцонтроллер.нет/артиклес/ЩинАВР) Информация о ЩинАВР на немецком языке, Интернет статья, 2012
- [18] [хттп://соурцефорг.нет/проекты/шинавр/файлес](http://соурцефорг.нет/проекты/шинавр/файлес) Ишодники ЩинАВР пакетов, Ресурс для загрузки, 2012
- [19] [хттп://щщщ.микроцонтроллер.нет/топиц/248078?лаге15#2922341](http://щщщ.микроцонтроллер.нет/топиц/248078?лаге15#2922341) Патч для ЩинАВР, установка фюзов в ардуине, Ресурс для загрузки, 2012
- [20] [хттп://щщщ.ориентдисплы.цом/пдф/СТ7565.пдф](http://щщщ.ориентдисплы.цом/пдф/СТ7565.пдф) Документация к графическому контроллеру СТ7565, Ресурс для загрузки, 2014
- [21] Машим Интегратед Продуцц, Инц. [хттп://машиминтегратед.цом/ДС3231: Ештремелы Ацуурате И<sup>2</sup>Ц-Интегратед РТЦ/ТЦШО/Црыстал](http://машиминтегратед.цом/ДС3231: Ештремелы Ацуурате И<sup>2</sup>Ц-Интегратед РТЦ/ТЦШО/Црыстал), Дата Шеет, 19-5170;Рев 10; 3/15, 2015
- [22] Машим Интегратед Продуцц, Инц. [хттп://машиминтегратед.цом/ДС3231M: 5ппм И<sup>2</sup>Ц Рейл-Тиме Цлоук](http://машиминтегратед.цом/ДС3231M: 5ппм И<sup>2</sup>Ц Рейл-Тиме Цлоук), Дата Шеет, 19-5312;Рев 7; 3/15, 2015